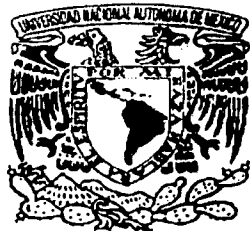


01130  
5



UNIVERSIDAD NACIONAL AUTÓNOMA DE MÉXICO

FACULTAD DE INGENIERÍA

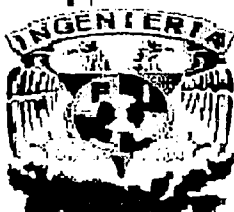
*Selección de un modelo matemático  
apropiado para cálculo de niveles de  
atenuación por lluvia para  
radiocomunicaciones vía satélite en banda Ku*

TESIS

QUE PARA OBTENER EL TÍTULO DE  
INGENIERO EN TELECOMUNICACIONES

P R E S E N T A N:

*Mariana Hilda Avila Arciniega  
Karolina López de Llergo Uribe*



ASESOR: *Ing. Víctor Damián Pinilla Morán*  
CODIRECTOR: *Ing. Delfina Reyes Ávalos*

MÉXICO, D. F. 2003

D.F.



**UNAM – Dirección General de Bibliotecas**

**Tesis Digitales**  
**Restricciones de uso**

**DERECHOS RESERVADOS ©**  
**PROHIBIDA SU REPRODUCCIÓN TOTAL O PARCIAL**

Todo el material contenido en esta tesis está protegido por la Ley Federal del Derecho de Autor (LFDA) de los Estados Unidos Mexicanos (México).

El uso de imágenes, fragmentos de videos, y demás material que sea objeto de protección de los derechos de autor, será exclusivamente para fines educativos e informativos y deberá citar la fuente donde la obtuvo mencionando el autor o autores. Cualquier uso distinto como el lucro, reproducción, edición o modificación, será perseguido y sancionado por el respectivo titular de los Derechos de Autor.

# PAGINACIÓN DISCONTINUA

Este es un documento que ilustra la paginación discontinua. La página 1 comienza en la parte superior izquierda y continúa hasta la mitad de la página. La página 2 comienza en la mitad inferior de la página 1 y continúa hasta el final. La página 3 comienza en la parte superior izquierda y continúa hasta la mitad de la página. La página 4 comienza en la mitad inferior de la página 3 y continúa hasta el final. La página 5 comienza en la parte superior izquierda y continúa hasta la mitad de la página. La página 6 comienza en la mitad inferior de la página 5 y continúa hasta el final. La página 7 comienza en la parte superior izquierda y continúa hasta la mitad de la página. La página 8 comienza en la mitad inferior de la página 7 y continúa hasta el final. La página 9 comienza en la parte superior izquierda y continúa hasta la mitad de la página. La página 10 comienza en la mitad inferior de la página 9 y continúa hasta el final.

*Agradecemos primeramente a Dios por tráernos y  
guiarnos a lo largo de la vida hasta este momento.*

*A nuestra Universidad, por darnos algo más que una  
carrera, porque no sólo pasamos por las aulas, sino que  
fuimos parte de algo más, por el espíritu PUMA, porque  
nos permitió divertirnos, desarrollarnos físicamente y  
crecer intelectualmente no sólo en nuestra área de  
estudio, sino como personas completas.*

*A nuestra Facultad de Ingeniería porque nos permitió  
conocer muchas facetas de la vida y por toda la gente  
que conocimos aquí, los amigos, compañeros y maestros  
algunos de los cuales nos son muy queridos.*

*Especialmente a Víctor Pinilla, que nos ayudó y nos  
guió a lo largo de todo un año en esta tesis, por ser  
profesor, amigo y a veces hasta mediador...*

*Gracias a Delfina Reyes por ayudarnos y creer en  
nosotros, por darnos ánimo siempre y encomendarnos  
este proyecto.*

*A Juan Ramón Tejada por su invaluable ayuda y  
aportación en esta tesis.*

## **KAROLINA Y MARIANA**

Autorizo a la Dirección General de Bibliotecas de la  
UMAM a difundir en formato electrónico e impreso el  
contenido de mi trabajo excepcional.

NOMBRE: Mariana Hilda Vilá

Lacinięga

FECHA: 31-oct-2003

FIRMA: Marianna Lacinięga

B

*En el viaje de nuestras vidas...no hay mayor crimen que  
matar un sueño, ni mayor virtud que realizarlo. por  
eso, agradezco a todos los que de alguna manera han  
hecho posible alcanzar mi caro anhelo.*

*Agradezco infinitamente a mi Padre quien forjó mi  
destino y ha guiado mis pasos. Un caudal de gratitud a  
mi adorada Madre de quien aprendí al verla a ser  
una mujer de lucha, y que con sus consejos me  
acompaña a diario, con el mismo amor y cariño que  
cuando me trajo al mundo... Mi mar de ternura para mi  
querido hermano Eduardo con quien he compartido los  
días alegres y tristes de mi vida, a mis fieles amigos  
Norma, Verónica, Cintia, Elsie, Héctor, Toño, Edgar,  
Alejandro, Salvador, Javier, Federico, Marcos y  
Nicolás, sin los cuales no habría podido ser la mujer  
que soy.*

*Gracias a Karolina por aguantar mis quejas, mis  
flojeras y todo lo demás.*

*Agradezco todo el cariño y ayuda que me brindó Juan  
Ramón Tejada a lo largo de estos 5 años.*

*Y muy especialmente a Rodrigo cuya compañía y  
sincera amistad constituyen para mí un recuerdo  
inolvidable.*

*Con Amor  
MARIANA*

C

*Quiero agradecer principalmente a quienes me ayudaron y apoyaron en la realización de esta tesis: mi papá por desvelarse conmigo, Mauricio por darme tu tiempo y tu cariño, Adriana y Violeta.*

*Gracias a mis padres por enseñarme a luchar y lograr lo que quiero y por darme todo lo que han podido.  
¡He aquí su herencia!*

*A Karina por ayudarme en tantas ocasiones con mis tareas.*

*A todos mis amigos que han estado conmigo: Ana, Violeta, Omar<sup>2</sup>, Dante, Brenda, César, Vero, Marcos, Arely, Coral, Rodrigo, a todos mis amigos del CELE y de primer semestre, Jaime, Alex, Octavio, Jorge, Raúl Porta, Melina, Chayo y a todos los demás que han influido en mí a lo largo de mi vida.*

*A los maestros que han dejado una huella en mí; sobre todo Pinilla, a quien tanta lata le he dado últimamente. Gracias por tu amistad y por todo.*

*Finalmente gracias a Mariana que aguantó mis regaños y lo demás todo el año. Después de todo logramos adaptarnos y trabajar juntas como un buen equipo.*

*—Lo que hace más importante a tu rosa, es el tiempo que le has dedicado.*

**KAROLINA**



# ÍNDICE

Índice .....	I
Introducción .....	IV
CAPÍTULO 1	
ANTECEDENTES .....	1
1.1 Comunicaciones vía satélite.....	1
1.1.1 Modelos de enlace del sistema satelital .....	2
1.2 Bandas de frecuencias utilizadas en la comunicación vía satélite .....	3
1.3 Órbitas satelitales útiles.....	6
1.3.1 Órbita Geoestacionaria .....	9
1.3.1.1 Parámetros típicos de la órbita geoestacionaria.....	13
1.3.1.2 Patrones de radiación: huellas.....	13
1.3.2 Reutilización de frecuencias .....	13
1.4 El segmento espacial .....	14
1.5 El segmento terrestre .....	15
1.5.1 Posicionamiento de la antena .....	16
1.5.1.1 Latitud - Longitud .....	16
1.5.1.2 Ángulos de vista .....	18
1.6 Satélites mexicanos.....	20
CAPÍTULO 2	
CARACTERÍSTICAS DE LA BANDA Ku.....	23
2.1 ¿Porqué banda Ku? .....	23
2.2 Servicios comerciales .....	24
2.3 Factores de propagación en la banda KU .....	27
2.3.1 Efectos en la ionosfera .....	31
2.3.2 Efectos en la troposfera.....	31
2.3.2.1 Atenuación por partículas en suspensión: tormentas de arena.....	32
2.3.2.2 Efectos sobre la polarización.....	32
2.3.2.3 Atenuación por absorción de gases .....	32
2.3.2.4 Atenuación por hidrometeoros .....	33

---

CAPÍTULO 3

CARACTERÍSTICAS Y SISTEMAS DE LLUVIA .....	43
3.1 Tipos de lluvia .....	44
3.1.1 Lluvia estratiforme .....	44
3.1.2 Lluvia convectiva .....	44
3.1.3 Precipitación monzónica .....	44
3.1.4 Tormenta ciclónica tropical.....	45
3.2 Datos de precipitación .....	45
3.3 Estimación de la razón de lluvia .....	47
3.4 Características principales de la lluvia.....	48
3.4.1 Macroestructura de la lluvia.....	49
3.4.1.1 Estructura horizontal de la lluvia .....	49
3.4.1.2 Estructura vertical de las precipitaciones .....	53
3.4.2 Microestructura de la lluvia.....	58
3.4.2.1 Distribución del tamaño de las gotas .....	58
3.4.2.2 Forma y orientación de los hidrometeoros.....	59
3.4.2.3 Velocidad terminal .....	59
3.4.2.4 Temperatura de las gotas de lluvia.....	60
3.4.3 Características estadísticas de la intensidad de lluvia en un punto.....	60
3.4.3.1 Distribución acumulativa de la intensidad de lluvia .....	60
3.4.3.2 Conversión de la distribución de la intensidad de lluvia en estadísticas equivalentes referidas a 1 minuto .....	63
3.4.3.3 Modelos para la distribución de la intensidad de lluvia .....	63
3.4.3.4 Estadísticas de la duración de las lluvias.....	64
3.5 Atenuación específica .....	65
3.6 Predicciones de la atenuación producida por la lluvia en trayectos terrestres, realizadas a partir de datos sobre la intensidad de precipitación.....	68
3.6.1 Estadísticas sobre un solo trayecto .....	68
3.6.2 Estadísticas sobre diversidad de trayectos .....	70
3.7 Predicciones de atenuación debida a la lluvia en trayectos tierra-espacio a partir de datos sobre la intensidad de la precipitación en forma de lluvia.....	71
3.7.1 Estadísticas sobre un solo emplazamiento .....	71
3.7.2 Estadísticas sobre diversidad de emplazamientos .....	72
3.7.3 Atenuación diferencial a lo largo de dos trayectos que terminan en una estación terrena .....	72

---

CAPÍTULO 4

MODELOS DE PRECIPITACIÓN Y ATENUACIÓN POR LLUVIA .....	73
4.1 Modelos para la predicción de la atenuación debida a la lluvia .....	73
4.2 Modelo de Rice-Holmberg.....	75
4.2.1 Modelo matemático .....	75

## ÍNDICE

---

4.3 Modelo UIT-R .....	80
4.3.1 Método general .....	80
4.4 Modelo Global - Crane .....	83
4.4.1 Predicción de razón de lluvia puntual superficial.....	83
4.4.2 Predicción de razón de lluvia y atenuación específica a lo largo de una trayectoria de propagación .....	87
4.4.3 Predicción de la variación vertical de atenuación específica .....	90
4.4.4 Aplicación paso por paso del modelo de predicción de atenuación .....	92
4.5 Tabla comparativa y algoritmos.....	95
4.5.1 Tabla comparativa.....	95
4.5.2 Diagramas de flujo .....	96

## CAPÍTULO 5

DETERMINACIÓN DE LOS NIVELES DE ATENUACIÓN POR LLUVIA .....	99
5.1 Análisis de los datos de precipitación pluvial.....	101
5.1.1 Recopilación de datos .....	102
5.1.2 Resultados obtenidos .....	103
5.1.2.1 Modelos de precipitación resultantes.....	115
5.1.3 Comparación de los resultados obtenidos con los distintos modelos .....	117
5.2 Aplicación en los modelos de predicción de atenuación.....	119
5.2.1 Desarrollo de una aplicación de los modelos de predicción en los modelos de atenuación .....	120
5.2.2 Tabla comparativa de los resultados .....	127
5.3 Análisis de resultados .....	128
5.3.1 Dependencia de la frecuencia.....	128
5.3.2 Dependencia del tipo de polarización.....	129
Conclusiones .....	131
Bibliografía .....	133
Anexo A .....	A1
Anexo B .....	B1
Anexo C .....	C1

## INTRODUCCIÓN

A finales de los años 50s fueron lanzados los primeros satélites artificiales. Hoy en día, cientos de satélites orbitan la tierra, siendo la tecnología satelital vital para las comunicaciones.

Las bandas de transmisión más utilizadas en satélites comerciales son la banda C (4 - 6 GHz) y la banda Ku (12 - 14 GHz). Ésta última se ve afectada en su paso por la atmósfera por las fuerzas de la naturaleza, como lo es la lluvia.

Al pasar una señal a través de gotas de lluvia ocurre un fenómeno conocido como atenuación, que es un debilitamiento del nivel de la señal y es causado por absorción y dispersión de la onda radioeléctrica al contacto con las gotas de lluvia ya que éstas son de tamaño parecido a la longitud de onda en el caso de la banda Ku.

Para evitar la pérdida de la comunicación se le agrega a la señal un margen de atenuación por lluvia en el cálculo del enlace. Sólo por unos pocos minutos, durante las lluvias más pesadas se interrumpirá el enlace.

Estos márgenes de atenuación son calculados en función del clima de cada lugar aplicados a un modelo matemático, esto es, por zonas hidrometeorológicas. El problema es que estas últimas son propuestas de manera diferente por cada modelo así que se debe seleccionar el modelo óptimo en la obtención de los márgenes para cada localidad en particular.

El objetivo del presente trabajo es analizar y comparar las características y los resultados que arrojan distintos modelos matemáticos para el cálculo de niveles de atenuación por lluvia en banda Ku y a partir de este análisis, establecer cual es el método o métodos que resulten apropiados para ser utilizados en los cálculos de enlace del satélite Satmex 6 en la República Mexicana.

Por lo tanto, analizaremos también las zonas hidrometeorológicas manejadas hasta ahora por Satmex y las compararemos con las de los modelos de Crane y la Unión Internacional de Telecomunicaciones (UIT).

Es importante mencionar que se utilizarán los datos de lluvia de algunas localidades más actualizados, puesto que los márgenes que se utilizan actualmente están basados en datos anteriores a 1985 y no podemos tener la certeza de que éstos sean totalmente confiables debido a los cambios en el clima a nivel mundial. De tal modo, que podrían verse modificados los niveles de atenuación para algunas zonas hidrometeorológicas.

En el capítulo 1 se resumirán los principios básicos de las comunicaciones satelitales, sus características y las bandas utilizadas. En el capítulo 2 se presentarán las características de la banda Ku y los efectos que sufre la señal durante una transmisión. En el capítulo 3 se hará lo propio con la lluvia, hablando de su macroestructura y microestructura; se explicará la atenuación específica y las predicciones de atenuación debida a lluvia a partir de datos sobre la intensidad de ésta. El capítulo 4 trata de los modelos matemáticos más utilizados para caracterizar la precipitación y atenuación por lluvia. Finalmente, en el capítulo 5 se determinarán los niveles de atenuación por lluvia para ciudades representativas de cada zona hidrometeorológica de la República Mexicana y se hará la comparación de los diferentes modelos.

## CAPITULO 1

# ANTECEDENTES

### 1.1 COMUNICACIONES VIA SATELITE

En general, un satélite es cualquier objeto que recorre una órbita alrededor de un cuerpo celeste de masa prominente. El término se usa comúnmente para designar objetos fabricados para orbitar la Tierra. Hay satélites de tipo meteorológico, de reconocimiento militar, de comunicaciones, de observaciones astronómicas y de navegación, entre otros [1].

Un satélite puede definirse como un repetidor de radio espacial. Un sistema satelital consiste de uno o varios satélites, una o más estaciones en tierra para controlar su funcionamiento y una red de estaciones terrenas, que proporcionan las facilidades para transmisión y recepción del tráfico de comunicaciones a través del sistema de satélite.

En el caso de radiodifusión directa de televisión vía satélite, por ejemplo, el servicio que se da es de tipo unidireccional por lo que normalmente se requiere una estación transmisora única, que emite los programas hacia el satélite y varias estaciones terrenas de recepción solamente que toman las señales provenientes del satélite. Existen otros tipos de servicios que son bidireccionales donde las estaciones terrenas son de transmisión y de recepción.

Un satélite en órbita *geoestacionaria* [2], es decir, moviéndose a la misma velocidad angular que la Tierra y aparentemente quieto sobre ella, permite cubrir desde una altura de 36.000 km la tercera parte de la superficie terrestre, de modo que es posible conseguir comunicaciones a cualquier parte del mundo con tres satélites situados a 120° entre si.

### 1.1.1 MODELOS DE ENLACE DEL SISTEMA SATELITAL

Un enlace satelital es un enlace radioeléctrico entre una estación terrena receptora y una transmisora por medio de un satélite. Esencialmente, un sistema satelital está constituido por un enlace ascendente o de subida (*up link*), un cambio de frecuencia en un transpondedor satelital y un enlace descendente o de bajada (*down link*) [3].

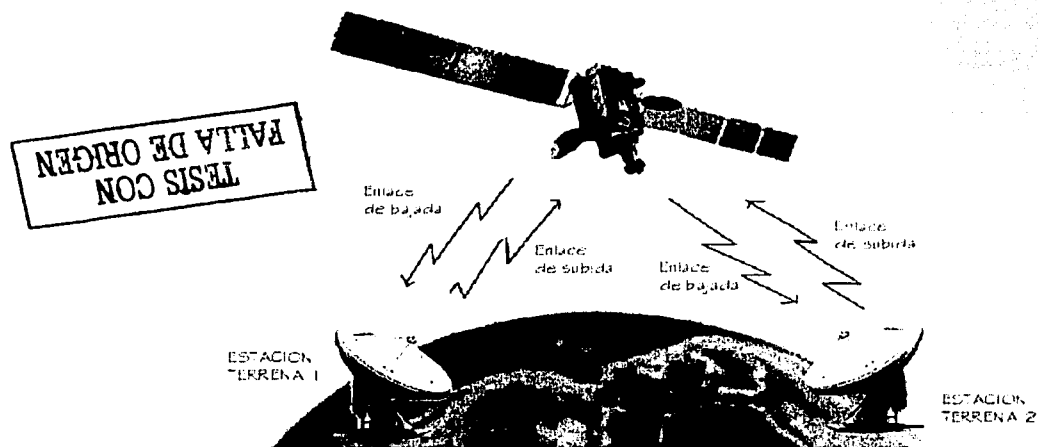


Figura 1.1 Partes de un enlace satelital

#### Enlace de subida

Es la transmisión de la estación terrena hacia el satélite. El principal componente dentro de la sección *de subida*, de un sistema satelital, es el transmisor de la estación terrena.

#### Transpondedor

La palabra transpondedor es la traducción de la palabra en inglés *transponder*, que se formó de las palabras *transmitemer-responder*. Su función básica es cambiar la frecuencia de la señal de una frecuencia de subida (mayor) a una frecuencia de bajada (menor).

Cada canal de radio frecuencia (RF) del satélite requiere de un transpondedor separado [4].

**TESIS CON  
FALLA DE ORIGEN**

**Enlace de Bajada**

Es la transmisión del satélite hacia la estación terrena. Para un enlace de bajada, el transmisor es fijo, puesto que está en el satélite. La potencia que corresponde a cada canal depende del ancho de banda que esté ocupando dentro del transpondedor. Y por lo tanto, el componente dentro de la sección de bajada de un sistema satelital, que va a determinar la señal recibida es el receptor de la estación terrena.

**Enlaces cruzados**

Esto se realiza usando enlaces cruzados entre satélite o enlaces intersatelitales (ISL). Una desventaja de usar un ISL es que el transmisor y receptor son enviados ambos al espacio. Consecuentemente, la potencia de salida del transmisor y la sensibilidad de entrada del receptor se limitan.

## **1.2 BANDAS DE FRECUENCIAS UTILIZADAS EN LA COMUNICACIÓN VIA SATÉLITE**

Las longitudes de onda diferentes poseen propiedades diferentes. Las longitudes de onda largas pueden recorrer grandes distancias y atravesar obstáculos. Las grandes longitudes de onda pueden rodear edificios o atravesar montañas, pero cuanto mayor sea la frecuencia (y por tanto, menor la longitud de onda), más fácilmente pueden detenerse las ondas.

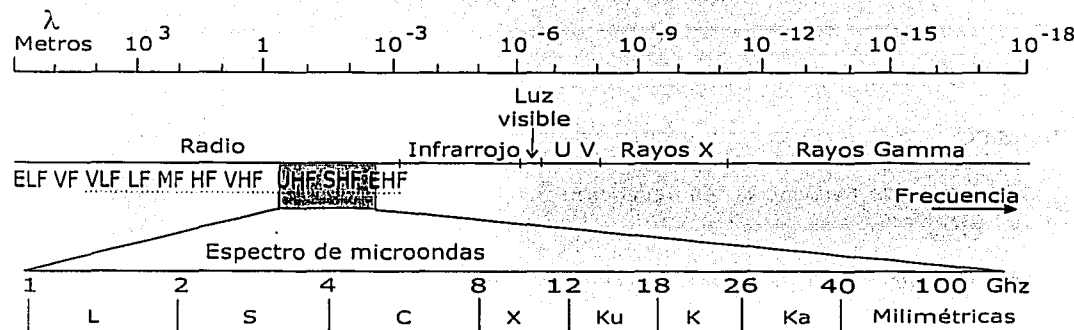


Figura 1.2 Espectro electromagnético

El espectro electromagnético está dividido en varias regiones. A la región de menor frecuencia del espectro se le conoce como espectro radioeléctrico u ondas de radio. En la parte alta del espectro radioeléctrico se encuentran las microondas, que son las que se utilizan para enlaces satelitales, pues soportan servicios con mayor ancho de banda. Despues de las ondas de radio se encuentran los rayos infrarrojos y la luz visible. El infrarrojo cercano y la luz visible son utilizadas para comunicaciones con fibras ópticas. Despues de la luz visible se encuentran los rayos ultravioleta, que no son utilizados en comunicaciones, pero tienen otras aplicaciones, así como los rayos X. En la parte más alta del espectro se encuentran los rayos gamma y cósmicos [5].

Cuando las frecuencias son lo suficientemente altas (del orden de decenas de gigahertz), las ondas pueden ser detenidas por objetos como las gotas de lluvia, dado que su tamaño es comparable a su longitud de onda, provocando el fenómeno denominado desvanecimiento o atenuación por lluvia o "*rain fade*". Para superar este fenómeno se necesita bastante más potencia, lo que implica transmisores más potentes o antenas más directivas, que provocan que el precio del satélite aumente [6].

Concretamente, las bandas utilizadas en los sistemas de satélites son:

### Banda L.

- *Rango de frecuencias:* 1.53-2.7 GHz.
- *Ventajas:* grandes longitudes de onda pueden penetrar a través de las estructuras terrestres; precisan transmisores de menor potencia.
- *Inconvenientes:* poca capacidad de transmisión de datos.

### Banda C

- *Rango de frecuencias:* en recepción 3.7 - 4.2 GHz, y en transmisión 5.925-6.425 GHz.
- *Ventajas:* disponibilidad mundial, tecnología barata, robustez contra atenuación por lluvia.

- *Inconvenientes:* antenas grandes (1 a 3 metros), susceptible de recibir y causar interferencias desde satélites adyacentes y sistemas terrestres que comparten la misma banda (Se necesitaría en algunos casos recurrir a técnicas de espectro esparcido y CDMA).

#### Banda Ku.

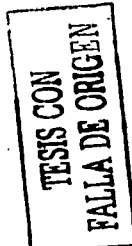
- *Rango de frecuencias:* en recepción 11.7-12.7 GHz, y en transmisión 14-14.5 GHz.
- *Ventajas:* longitudes de onda medianas que traspasan la mayoría de los obstáculos y transportan una gran cantidad de datos. Uso más eficiente de las capacidades del satélite ya que, al no estar tan influenciado por las interferencias, se pueden usar técnicas de acceso mas eficientes como FDMA o TDMA frente a CDMA que hace un uso menos eficaz del ancho de banda. Antenas más pequeñas (0.6 a 1.8 m)
- *Inconvenientes:* la mayoría de las ubicaciones están adjudicadas, es más sensible a las atenuaciones por lluvia.

#### Banda Ka.

- *Rango de frecuencias:* 18-31 GHz.
- *Ventajas:* amplio espectro de ubicaciones disponible; las longitudes de onda transportan grandes cantidades de datos.
- *Inconvenientes:* son necesarios transmisores muy potentes; sensible a interferencias ambientales [7].

En la siguiente tabla se muestran las bandas y sus rangos de frecuencia [8]:

Tipo de Banda	Rango de Frecuencias
L	1.53-2.70 GHz
S	2.70-3.50 GHz
C	Downlink: 3.70-4.20 GHz Uplink: 5.925-6.425 GHz
X	Downlink: 7.250-7.745 GHz Uplink: 7.900-8.395 GHz
Ku (Europa)	Downlink: FSS*: 10.70-11.70 GHz DBS*: 11.70-12.50 GHz Telecom: 12.50-12.75 GHz



\* FSS: Servicio fijo por satélite, excepto radiodifusión (*Fixed Satellite Service*).

TESS CON  
FALLA DE ORIGEN

Tipo de Banda	Rango de Frecuencias
Ku (Europa)	Uplink: FSS y Telecom: 14.0-14.8GHz DBS: 17.300-18.100 GHz
Ku (América)	Downlink: FSS: 11.70-12.20 GHz DBS: 12.20-12.70 GHz Uplink: FSS: 14.00-14.50 GHz DBS: 17.30-17.80 GHz
Ka	Uplink: 30 GHz Downlink: 20 GHz

Tabla 1.1 Bandas satelitales

### 1.3 ÓRBITAS SATELITALES ÚTILES

Existen varios tipos de órbitas que describen los satélites artificiales, los cuales pueden clasificarse de acuerdo a [2]:

- a) Su distancia de la Tierra (geosíncrona, geostacionaria, de baja altura, de media altura y excéntricas).
  - **Órbita Geosíncrona:** Es una órbita circular con un período de un día sideral. Para tener este período la órbita debe tener un radio de 42,164.2 km. (desde el centro de la Tierra).
  - **Órbita Geoestacionaria (GEO):** Este tipo de órbita posee las mismas propiedades que la geosíncrona, pero debe de tener una inclinación de cero grados respecto al plano del ecuador y viajar en la misma dirección en la cual rota la Tierra. Un satélite geoestacionario aparece estar en la misma posición relativa a algún punto sobre la superficie de la Tierra, lo que lo hace muy atractivo para las comunicaciones a gran distancia.
  - **Órbitas de Baja Altura (LEO):** Estas órbitas se encuentran en el rango de 640 km a 1,600 km entre las llamadas región de densidad atmosférica constante y la región

\* DBS: Servicio directo de radiodifusión por satélite (*Direct Broadcast Service/Satellite*).

de los cinturones de Van Allen. Los satélites de órbita baja circular son muy usados en sistemas de comunicaciones móviles.

- *Órbitas de Media Altura (MEO):* Son las que van desde 9,600 km hasta la altura de los satélites geosíncronos. Los satélites de órbita media son muy usados también en las comunicaciones móviles.

b) Su plano orbital con respecto al Ecuador (ecuatorial, inclinada y polar).

- *Órbitas Ecuatoriales:* En este tipo de órbita la trayectoria del satélite sigue un plano paralelo al ecuador, es decir tiene una inclinación de 0°.
- *Órbitas Inclinadas:* En este caso la trayectoria del satélite sigue un plano con un cierto ángulo de inclinación respecto al ecuador.
- *Órbitas Polares:* En esta órbita el satélite sigue un plano paralelo al eje de rotación de la Tierra pasando sobre los polos y perpendicular al ecuador.

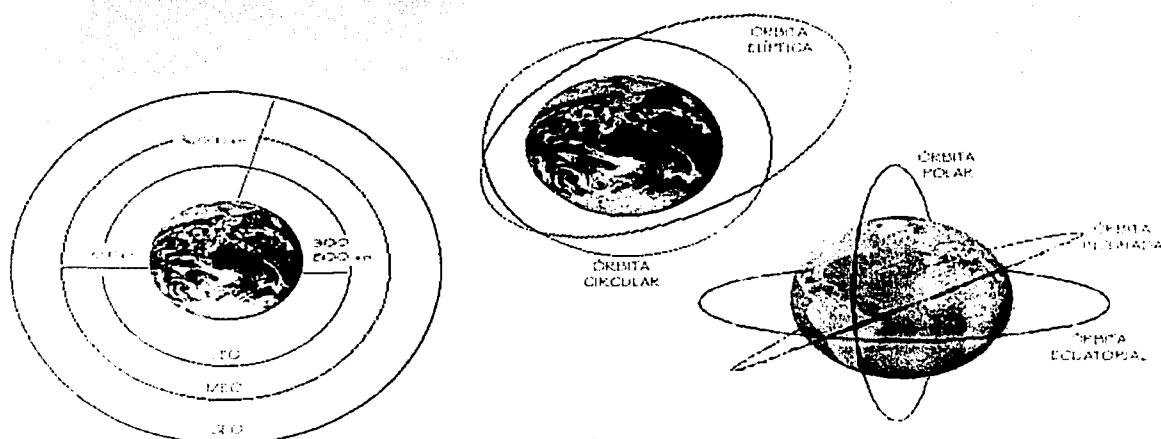
c) La trayectoria orbital que describen (circular y elíptica).

- *Órbitas circulares:* Se dice que un satélite posee una órbita circular si su movimiento alrededor de la Tierra es precisamente una trayectoria circular. Este tipo de órbita es la que usan los satélites geosíncronos.
- *Órbitas elípticas (Molniya):* Estos satélites tienen una órbita de geometría elíptica de gran excentricidad con un ángulo de inclinación generalmente elevado. Este tipo de órbita poseen un perigeo (aprox. 600km) y un apogeo (aprox. 40000km).

Los satélites con órbitas circulares se mantienen más o menos a la misma distancia de la Tierra pero su posición respecto a la superficie varía cada momento. Es la más común y conocida de las órbitas. Por su parte los satélites de órbitas elípticas, tienen la característica de permanecer más tiempo viendo un mismo lugar de la Tierra, y sus órbitas son mucho más largas.

Los satélites no síncronos o también llamados orbitales, giran alrededor de la Tierra en un patrón elíptico o circular de baja altitud. Si el satélite está girando en la misma dirección que la rotación y a una velocidad angular superior que la de la Tierra, la órbita se llama órbita progrado. Si el satélite está girando en la dirección opuesta a la rotación de la Tierra, o en la misma dirección, pero a una velocidad angular menor que ésta, la órbita se llama órbita retrograda.

De esta manera, los satélites no síncronos están alejándose continuamente o cayendo a la Tierra y no permanecen estacionarios con relación a ningún punto en particular de la Tierra. Pasan por arriba de un determinado punto entre 4 y 6 veces al día. La duración de cada pase varía dependiendo de la órbita, pero en promedio podemos decir que entre 10 y 18 minutos están disponibles para que los operemos. Tenemos pues más de una hora diaria para usarlo.



**TESIS CON  
FALLA DE ORIGEN**

Figura 1.3 Órbitas satelitales

Una desventaja de los satélites orbitales es la necesidad de equipo complicado y costoso para rastreo en las estaciones terrenas. Cada estación terrenas debe localizar el

satélite conforme está disponible en cada órbita y después unir sus antenas al satélite y localizarlo cuando pasa por arriba. Una gran ventaja de los satélites orbitales es que los motores de propulsión no se requieren a bordo de los satélites para mantenerlos en sus órbitas respectivas.

Otros parámetros característicos de los satélites orbitales son el apogeo y perigeo. El apogeo es la distancia más lejana a la Tierra que un satélite orbital alcanza; el perigeo es la distancia mínima; la línea colateral es la línea que une al perigeo con el apogeo en el centro de la Tierra.

#### Patrones orbitales

Una vez lanzado un satélite permanece en órbita debido a que la fuerza centrífuga, causada por su rotación alrededor de la Tierra, es contrabalanceada por la atracción gravitacional de la Tierra. Entre más cerca gire de la Tierra el satélite, más grande es la atracción gravitacional y mayor será la velocidad requerida para mantenerlo alejado de la Tierra. Los satélites de baja altitud tienen órbitas cercanas a la Tierra (160 a 480 km de altura), viajan aproximadamente a 28160 km/hr. A esta velocidad se requiere aproximadamente de 1 1/2 horas para girar alrededor de toda la Tierra. Consecuentemente el tiempo que el satélite está visible en una estación terrena en particular, es solamente 1/4 h o menos por órbita. Los satélites de altitud media (9600 a 19300 km de altura) tienen un período de rotación de 5 a 12 horas y permanecen a la vista de una estación terrena específica de 2 a 4 horas por órbita. Los satélites geosíncronos de alta altitud (30570 a 40200 km de altura) viajan aproximadamente a 11070 km por hora y tiene un período de rotación de 24 horas, exactamente el mismo que la Tierra. De esta manera, permanecen en una posición fija con respecto a una estación en Tierra específica y tienen un tiempo de disponibilidad de 24 horas.

##### 1.3.1 ORBITA GEOESTACIONARIA

Se denomina Órbita Síncrona Geoestacionaria a una órbita circular en la cual el período de traslación de un satélite, natural o artificial, coincide con el período de

rotación del astro en torno al cual orbita. Como mencionamos en el punto anterior, si esta órbita es ecuatorial, el resultado es que el satélite se mantiene permanentemente fijo en el firmamento para un observador situado justo debajo de él. En el caso de la Tierra, la altitud de la órbita geoestacionaria sobre el nivel del mar es de 35786 km [9].

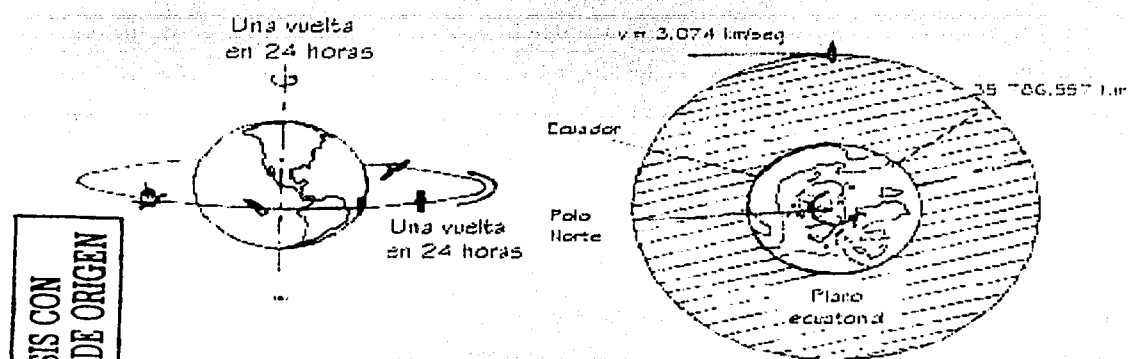


Figura 1.4 Órbita geoestacionaria

**TESIS CON  
FALLA DE ORIGEN**

La órbita geoestacionaria es utilizada por los satélites de comunicaciones, debido a que permite que éstos se encuentren situados permanentemente sobre un mismo lugar. Si se coloca en ella un satélite que rote alrededor del eje polar de la Tierra, con su misma dirección y en el mismo período sideral que el de su rotación, ese satélite mantiene inmovilidad en relación con nuestro planeta. Tal es el grado de ocupación, que esta región del espacio empieza a estar saturada.

Tres son los elementos básicos que determinan la fijeza y estabilidad relativas de estos satélites:

1. Posición ecuatorial (longitud).
2. Su período de rotación equivalente a 23 horas, 56 minutos, 4 segundos, aproximadamente y
3. Su altura.

Del período del satélite y de la atracción de la masa total de la Tierra, aplicada a su centro, se deducen, usando la tercera Ley de Kepler, que el radio de la órbita geoestacionaria y su altura nominal son de 42.164.175 km y 35 786.557 Km, respectivamente.

Sobre un satélite geoestacionario actúan fuerzas o factores naturales y artificiales.

De los primeros, el fundamental es la fuerza de la gravedad, que permite al satélite mantenerse a la altura requerida. Otros factores secundarios como el achatamiento de la tierra, la forma elíptica del ecuador, la atracción del sol y la luna y la presión de la radiación solar tienden, al contrario, a desplazar el satélite de su altura y posición nominales e inclinación con respecto a la Tierra. Las fuerzas artificiales, producidas por el hombre hacen posible la colocación del satélite en órbita y mantenerlo en esas velocidades y posición. El satélite se sitúa dentro de un cubo imaginario de unos 70 km de arista [8].

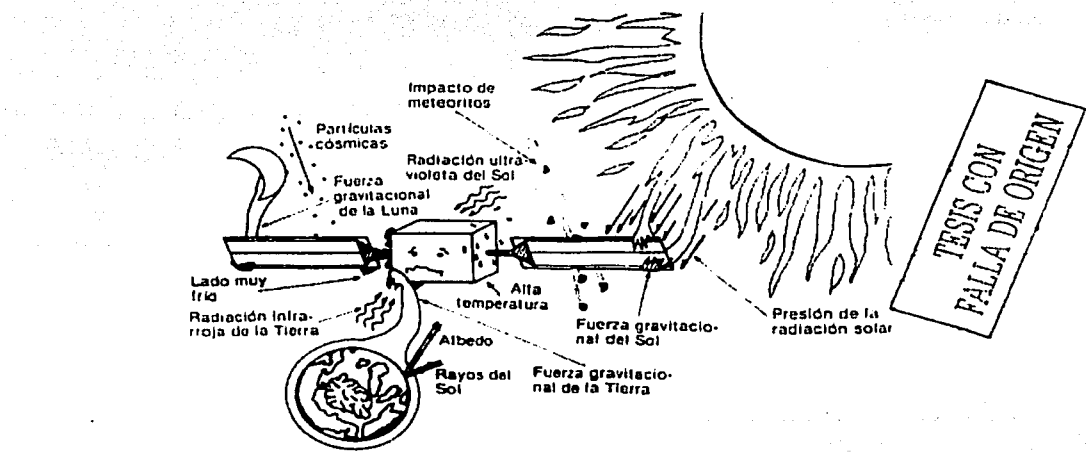


Figura 1.5 Fuerzas y otros factores que alteran la estabilidad del funcionamiento de un satélite

La órbita geoestacionaria es un recurso natural limitado, como lo reconoce el Convenio Internacional de Telecomunicaciones [10]. Esta limitación, que se traduce en la

práctica en la posibilidad real de saturación de la órbita, proviene de los siguientes hechos:

1. Saturación física de toda la órbita o de uno o más segmentos de la misma, debido a la colocación en ella de un número mayor de satélites de los que pueden operar sin interferencias, pues los satélites están colocados aproximadamente cada 2°.
2. Posibilidad de colisiones entre satélites, sobre todo cuando se coloquen en órbita las grandes superestructuras que se proyectan para transmisión de energía solar.
3. Privación de la energía solar que utilizan los satélites pequeños para su operación, debido a la sombra que proyectarían esas grandes estructuras.
4. Saturación del espectro de frecuencias que se utilizan para las comunicaciones por satélites.

De estas limitaciones, la última es la más inminente y se advierte ya en los complicados procedimientos que deben observarse para la asignación de esas frecuencias.

Cada satélite geoestacionario ofrece la ventaja de 24 horas de servicio sobre aproximadamente un tercio de la superficie terrestre. Esta clase de satélites utiliza un sistema de antenas fijas, bastante más simple que el que se usa para satélites colocados en otras órbitas.

El tema del carácter y utilización de la órbita geoestacionaria ha sido uno de los más sensibles y difíciles en la agenda de las Naciones Unidas. Luego de muchos años de debates y de posiciones antagónicas entre los países industrializados y de aquellos en vías de desarrollo, durante el 39º período de sesiones de la Subcomisión de Asuntos Jurídicos de la Comisión de las Naciones Unidas sobre la Utilización Pacífica del Espacio Ultraterrestre (COPUOS), que tuvo lugar en Viena del 27 de marzo al 7 de abril de 2000, se obtuvo de las partes que acepten que el tema del acceso equitativo a la órbita sincrónica geoestacionaria está bien reglamentado por la UIT.

**1.3.1.1 Parámetros típicos de la órbita geoestacionaria.**

PARÁMETROS DE UNA ÓRBITA GEOESTACIONARIA IDEAL	
Período del satélite (T)	23 hr, 56 min., 4 seg.
Radio de la Tierra (r)	6,377 km
Altitud del satélite (h)	35,779 km
Radio de la Órbita (d = r+h)	42,157 km
Inclinación (respecto al ecuador)	0
Velocidad tangencial del satélite (v)	3.074 km/seg
Excentricidad de la órbita	0

Tabla 1.2 Parámetros típicos de la órbita geoestacionaria

**1.3.1.2 Patrones de radiación: huellas**

Se llama *huella satelital* a la representación geográfica del patrón de radiación de la antena de un satélite. Las líneas de contorno representan los límites de la densidad de potencia de igual recepción, que es más fuerte en el centro de la huella satelital y más débil en su orilla.

**1.3.2 REUTILIZACIÓN DE FRECUENCIAS**

Cuando se llena una banda de frecuencia asignada, se puede lograr la capacidad adicional para reutilizar el espectro de la frecuencia. Incrementando el tamaño de una antena, el ancho del haz de la antena también se reduce, es decir, se hace más directiva. Por lo tanto, diferentes rayos de la misma frecuencia pueden ser dirigidos a diferentes áreas geográficas de la Tierra. Esto se llama reutilizar la frecuencia. Otro método para reutilizar la frecuencia es usar la polarización dual. Diferentes señales de información se pueden transmitir a diferentes receptores de estaciones terrenas usando la misma banda de frecuencias, simplemente orientando sus polarizaciones electromagnéticas de una manera ortogonal ( $90^\circ$  fuera de fase). La polarización dual es menos efectiva debido a que la atmósfera de la Tierra tiene una tendencia a reorientar o repolarizar una onda electromagnética conforme pasa. Reutilizar es, simplemente, otra manera de incrementar la capacidad de un ancho de banda limitado [11].

## 1.4 EL SEGMENTO ESPACIAL

Un satélite de comunicaciones comprende un conjunto de tecnologías que se agrupan para un fin: proporcionar una plataforma de retransmisión. Cada tecnología, o varias de ellas, constituye un subsistema, y la conjunción de subsistemas formará el satélite.

En la siguiente tabla se presentan los subsistemas de un satélite típico de comunicaciones, con su función y principales características cuantitativas [6].

Subsistema	Función	Principales características cuantitativas
Comunicaciones	Amplificar las señales y cambiar su frecuencia	Potencia del Transmisor, ancho de banda, G/T.
Eléctrico	Suministrar electricidad con los niveles adecuados de voltaje y corriente	Voltaje, corriente.
Antenas	Recibir y transmitir señales de radiofrecuencia	Ancho de haz, orientación, ganancia, saturación de densidad de flujo de portadora.
Estructura	Alojar todos los equipos y darle rigidez al conjunto. Sostiene al satélite durante el lanzamiento	Frecuencias de resonancia, fuerzas estructurales.
Posición y orientación	Mantiene las antenas apuntadas a las estaciones terrenas y las células solares al sol	Tolerancias de role, pitch y yaw.
Control Térmico	Mantiene los rangos de temperatura adecuados durante la vida del satélite, con y sin eclipses.	Rango de temperatura media del satélite y rangos para componentes críticos.
Propulsión	Mantiene la posición orbital, controla las correcciones de altitud, cambios orbitales y despegue en la órbita inicial.	Impulso específico, masa de propelente y aceleración.
Telecontrol, rastreo y comando (TT&C)	Monitorea el estado del satélite, sus parámetros orbitales y controla sus operaciones.	Precisión de medidas de velocidad y posición, número de puntos de telemetría y número de comandos.
Satélite completo	Proporcionar operaciones de comunicaciones satisfactorias entre las estaciones terrenas	Masa, potencia primaria, tiempo de vida útil, número de canales y tipos de señales.

Tabla 1.3 Subsistemas de un satélite

TESIS CON  
FALLA DE ORIGEN

Al diseñar un satélite es primordial conocer exactamente su peso, pues esto es de gran importancia al ponerlo en órbita, dado que el costo del lanzamiento depende del peso del satélite. Se debe contar con un cohete de lanzamiento que contenga al satélite. Cada uno de los subsistemas del satélite supone un porcentaje de masa respecto al total. La masa total de transpondedores y antenas se denomina carga útil [12].

## 1.5 EL SEGMENTO TERRESTRE.

### Estaciones terrenas

Una estación terrena satelital es un conjunto de equipo de comunicaciones y de cómputo que puede ser terrestre (fijo y móvil), marítimo o aeronáutico. Las estaciones terrenas pueden ser usadas en forma general para transmitir y recibir señales del satélite. Pero en aplicaciones especiales solo pueden recibir o solo pueden transmitir. A continuación se enumeran cada uno de los subsistemas básicos que integran una estación terrena satelital [13].

1. Antena
  - a. Diplexor
  - b. Motores de movimiento
  - c. Alimentador y plato reflector
2. Transmisor
  - a. Multiplexor
  - b. Modulador
  - c. Convertidor de frecuencia
  - d. Amplificador de alta potencia (HPA)
3. Receptor
  - a. Amplificador de bajo ruido (LNA)
  - b. Convertidor de frecuencia reductor
  - c. Demodulador
  - d. Demultiplexor

4. Rastreo

- a. Control de apuntamiento de la antena
- b. Receptor de rastreo
- c. Servomecanismo del antena
- d. Entrada de datos de apuntamiento

5. Alimentación de energía eléctrica

- a. Red eléctrica comercial
- b. Planta y baterías locales

**TESIS  
FALLA DE ORIGEN**

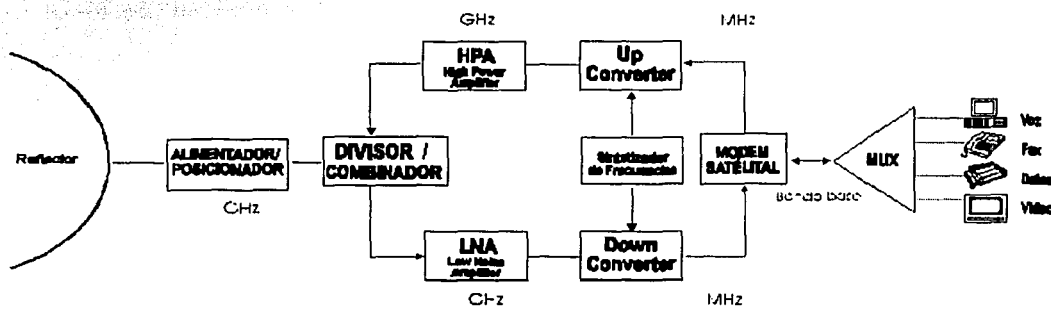


Figura 1.7 Diagrama genérico de una estación terrena transmisora/receptora

### 1.5.1 POSICIONAMIENTO DE LA ANTENA

Para el posicionamiento de la antena debemos tomar en cuenta parámetros como son la latitud y longitud relativa, ángulo azimut y de elevación [3].

#### 1.5.1.1 Latitud - Longitud

Como primera medida para describir el paso de un satélite en órbita, deberemos designar un punto de observación o un punto de referencia. Este punto podrá tratarse de un lugar distante, tal como una estrella, o un punto en la superficie de la Tierra, o también el centro de la Tierra, que a su vez es el centro de gravedad del cuerpo principal.

En caso de tomar como lugar de observación un punto en la superficie de la Tierra, deberemos estar en condiciones de localizar dicho punto mediante algún método. Este método de localización es a través meridianos. Estas líneas conforman un cuadriculado sobre la superficie de la Tierra. Las líneas verticales se denominan Longitud y las líneas horizontales se denominan Latitud.

Las líneas de Longitud se extienden desde el Polo Norte al Polo Sur, es decir, son círculos iguales al contorno de la Tierra que se interceptan en los polos. Se ha definido por convención, como primer meridiano o Longitud cero grados, al meridiano que pasa por la ciudad de Greenwich, UK, tomando el nombre de dicha ciudad.

En total son 360 líneas, lo que equivale a 180 círculos completos. De esta manera se componen los 360 grados de Longitud, partiendo desde la línea de Longitud  $0^{\circ}$  hacia el Este. Las líneas de Latitud están conformadas por 180 círculos paralelos y horizontales, siendo el círculo mayor el ubicado en la línea del Ecuador denominada Latitud cero grados. De esta forma existen  $90^{\circ}$  hacia el hemisferio Norte, denominados Latitud Positiva y  $90^{\circ}$  hacia el hemisferio Sur, denominados Latitud Negativa.

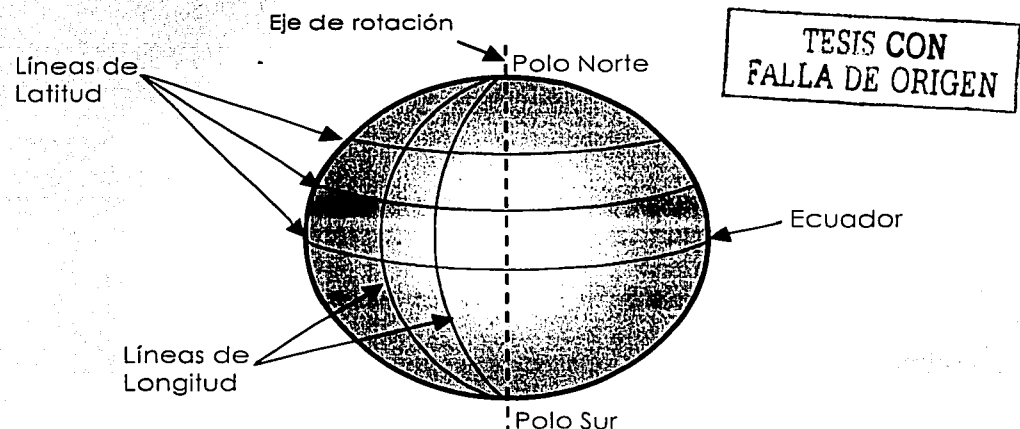


Figura 1.8 Líneas de Latitud y Longitud

Por lo tanto mediante la intersección de las coordenadas de Latitud y Longitud podremos localizar un punto que este sobre la superficie de la Tierra. En cuanto a un satélite, este se encuentra en el espacio, y su posición puede ser estimada con una Latitud, una Longitud y una altura. Dicha altura estará referida a un punto sobre la Tierra que es la intersección de la recta que une al satélite con el centro de la Tierra y la superficie terrestre.

### 1.5.1.2 Ángulos de vista

Para orientar una antena desde una estación terrena hacia un satélite, es necesario conocer el ángulo de elevación y azimut. Éstos se llaman ángulos de vista.

#### Ángulo de elevación

El ángulo de elevación es el ángulo formado entre la dirección de viaje de una onda radiada desde una antena de estación terrena y la horizontal, o el ángulo de la antena de la estación terrena entre el satélite y la horizontal. Entre más pequeño sea el ángulo de elevación, mayor será la distancia que una onda propagada debe pasar por la atmósfera de la Tierra. Como cualquier onda propagada a través de la atmósfera de la Tierra, sufre absorción y también puede contaminarse severamente por el ruido. De esta forma, si el ángulo de elevación es demasiado pequeño y la distancia de la onda que está dentro de la atmósfera de la Tierra es demasiado larga, la onda puede deteriorarse hasta el grado que proporcione una transmisión inadecuada. Generalmente,  $5^\circ$  es considerado como el mínimo ángulo de elevación aceptable.

#### Azimut

Azimut se define como el ángulo de apuntamiento horizontal de una antena. Se toma como referencia el Norte como cero grados, y si continuamos girando en el sentido de las agujas del reloj, hacia el Este, llegaremos a los  $90^\circ$  de Azimut. Hacia el Sur tendremos los  $180^\circ$  de Azimut, hacia el Oeste los  $270^\circ$  y por último llegaremos al punto

inicial donde los  $360^{\circ}$  coinciden con los  $0^{\circ}$  del Norte. El ángulo de elevación y el azimut, dependen ambos, de la latitud de la estación terrena, así como el satélite en órbita.

Para un satélite geosíncrono, en una órbita ecuatorial, el procedimiento es el siguiente: de un buen mapa se determina la latitud y longitud de la estación terrestre, luego conociendo la longitud del satélite en interés, se calcula la diferencia ( $\Delta L$ ), entre la longitud del satélite y la longitud de la estación terrena. Entonces, de la siguiente figura determinamos el azimut y ángulo de elevación para la antena (ingresando al gráfico con la diferencia  $\Delta L$ , y con la latitud de la estación terrena).

TESIS CON  
FALLA DE ORIGEN

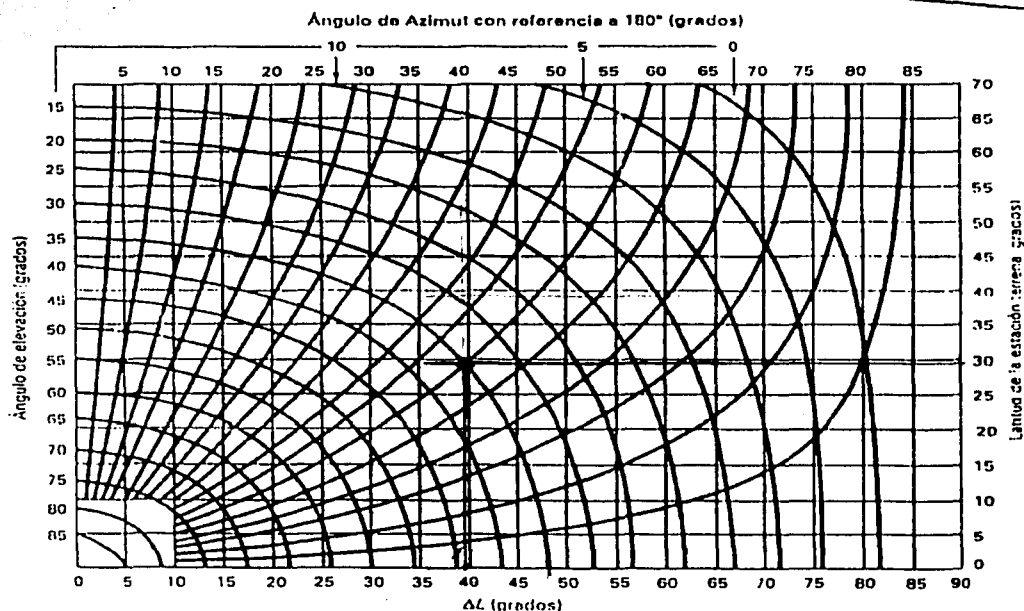


Figura 1.9 Azimut y ángulo de elevación para las estaciones terrenas situadas en el hemisferio norte (referidas a  $180^{\circ}$ )

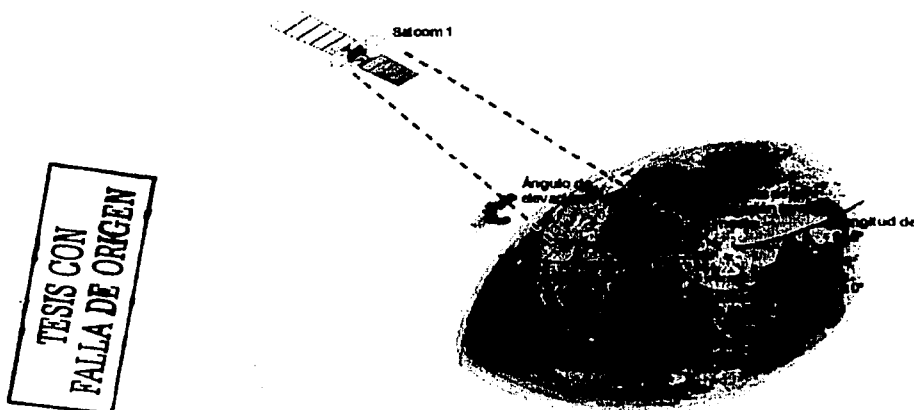


Figura 1.10 Ángulos de vista (Azimut y ángulo de elevación)

## 1.6 SATÉLITES MEXICANOS

La fundación del sistema de satélites mexicanos data de finales de los años sesenta. Los primeros años de la década de los ochenta fueron de búsqueda de capacidad en algunos satélites extranjeros, de modo que a mediados de 1981 se empezó a rentar espacio en tres satélites: 2 del consorcio INTELSAT, para comunicaciones nacionales e internacionales y el norteamericano Westar III, para cubrir las emisiones de la televisión mexicana a ciudades del vecino país del norte.

El 17 de junio de 1985 fue lanzado el **Morelos I** desde el Centro Espacial de Cabo Cañaveral, Florida, por medio del transbordador espacial Discovery, y el 29 de agosto de ese mismo año, inició finalmente sus operaciones al enlazar la casa en donde nació José María Morelos y Pavón, en Morelia Michoacán, y la Torre Central de Telecomunicaciones de México, D.F. Cinco meses después, el 26 de noviembre del mismo año, despegó el transbordador Atlantis, con el **Morelos II** [14].

En 1989, se tomó la decisión para el emplazamiento especial de un nuevo satélite nacional, que por Acuerdo del Ejecutivo Nacional sería denominado "**Solidaridad**". La saturación del Sistema Morelos, apresuró la autorización para la realización inmediata de las gestiones a fin de iniciar el proceso de licitación del Sistema de Satélites Solidaridad, lanzados en 1993-94, con lo que se iniciaba la sustitución del Morelos I y II y la segunda generación de comunicaciones espaciales para México.

En 1997 se privatizaron los satélites que eran propiedad del Estado, constituyendo la empresa Satélites Mexicanos, S.A. de C.V. (Satmex).

**Satmex 5** es el primer satélite puesto en órbita bajo contrato de una empresa privada, y es el único satélite latinoamericano con cobertura en todo el continente en una sola huella satelital. Este satélite ha apoyado a la empresa Satmex para que proporcione servicios en el ámbito regional y continental. Su gran capacidad en banda Ku permitió la transmisión de señales de televisión directa al hogar a antenas menores de 1 m de diámetro; su PIRE y sus márgenes de G/T le dan capacidad suficiente para hacer radiodifusión digital con gran confiabilidad. Además, los haces de cobertura le brindan servicio a casi todo el continente americano.

**Satmex 6** El más reciente satélite de Satélites Mexicanos. Con una inversión total de cerca de 300 millones de dólares (entre costos por diseño, construcción, lanzamiento y operación), el satélite de 5.6 toneladas de peso total está programado para lanzarse en el segundo semestre de 2003 desde las plataformas de Arianespace, en la Guyana Francesa [14][15][16].

En la tabla 1.4 se muestra un resumen de los satélites mexicanos con sus características.

CAPÍTULO 1

SATELITE	ORBITA	LANZAMIENTO	TRANSPORTE	MISIÓN	ESTATUS	COBERTURA	FRECUENCIA
MORELOS-1	Geostacionario 113.5°W	Junio 17, 1985 7:33:00 a.m. EST Florida, USA	DISCOVERY STS 51-G	Comunicaciones	Fuera de servicio Mar-94		
MORELOS-2	Geostacionario 117.8°W	Noviembre 26, 1985 7:29:00 p.m EST Florida, USA	ATLANTIS STS 61-B	Comunicaciones	Operativo	México y sur de USA	Banda C 5.925 a 6.425 GHz (rx) 3.7 a 4.2 GHz (tx) Banda Ku 14 a 14.5 GHz (rx) 11.7 a 12.2 GHz (tx)
SOLIDARIDAD-1	Geoestacionario 109.2°W	Noviembre 20, 1993 1:17 UT Kourou, Guyana Francesa	ARIANE 4 Type 44LP V61	Comunicaciones	Operativo	BANDA C: Los Angeles, San Antonio y Miami México, Argentina, Chile, Venezuela, Colombia y América Central	36 MHz Banda C
						BANDA C: Los Angeles y San Antonio México, Belice y Guatemala	72 MHz Banda C
						BANDA Ku: Principales ciudades USA, México, Guatemala, Belice y Cuba	54 MHz Banda Ku
SOLIDARIDAD-2	Geoestacionario 113.0°W	Octubre 8, 1994 1:07 UT Kourou, Guyana Francesa	ARIANE 4 Type 44L V68	Comunicaciones	Operativo	BANDA C: México, Sur USA, Centro América Caribe, América del Sur excepto Brasil.	Banda C 5.9 a 6.4 GHz (Rx 3.7 a 4.2 GHz (Tx)
						BANDA Ku: México Ciudades de USA	Banda Ku 14 a 14.5 GHz (Rx) 11.7 a 12.2 GHz (Tx)
						BANDA L: México y su mar territorial	Banda L 14.248 a 14.265 GHz (Rx) 1.528 a 1.559 GHz (Tx) y 1.629 a 1.66 GHz (Rx) 11.9515 a 11.9685 GHz (Tx)
UNAMSAT-1	_____	Marzo 28, 1995 9:00 GMT Plesetsk, Rusia	START	Experimental	Destruido en lanzamiento		
UNAMSAT-B	Polar LEO (Low Earth Orbit) 83° de inclinación	Septiembre 5, 1996 Plesetsk, Rusia	KOSMOS 3M	Experimental	Fuera de servicio Sept. 6, 1996		<b>FALLA DE ORIGEN</b>
SATMEX-5	Geoestacionario 116.8°W	Diciembre 6, 1998 10:43 UT Kourou, Guyana Francesa	ARIANE 4 Type 42L	Comunicaciones	Operativo	BANDA C: Principales ciudades de USA, México, Argentina, Venezuela, Colombia, Chile, América Central y el Caribe BANDA Ku: Principales ciudades de USA, México, Argentina, Venezuela, Colombia, Chile, América Central y el Caribe	36 MHz Banda C 36 MHz Banda Ku

Tabla 1.4 Resumen de los satélites mexicanos con sus características

## CAPITULO 2

# CARACTERÍSTICAS DE LA BANDA Ku

### 2.1 ¿PORQUÉ BANDA KU?

Las comunicaciones satelitales están actualmente en el proceso de una evolución, moviéndose de las bandas de frecuencia que han estado en uso por décadas, -banda C, banda X, SHF, etc.- a bandas más altas localizadas arriba de 10 GHz. Estas bandas, designadas como banda Ku (11.2-14.5 GHz), banda Ka (17-30 GHz) y banda EHF (30 a 300 GHz), ofrecen anchos de banda amplios, y tasas de transmisión de datos altas.

Las ventajas de esas bandas son disminuidas por el incremento de los problemas de propagación conforme la frecuencia de operación se incrementa. La atenuación causada por lluvia en la trayectoria puede ser un problema muy serio, por lo cual se requiere de un cuidadoso diseño y "*márgenes de lluvia*" adecuados para el éxito en el rendimiento de los sistemas.

Hay otros mecanismos de propagación que afectan el rendimiento de un sistema de comunicación satelital los cuales deben también ser tomados en cuenta por el planeador del sistema. Estos incluyen la atenuación por gases, nubes y nieblas, depolarización por partículas de hielo y lluvia, centelleo y ruido atmosférico. Sin embargo, el más dominante es el efecto de atenuación debido a la lluvia [17].

Por lo anterior y considerando la necesidad que el país tiene de caracterizar sus comunicaciones satelitales, banda Ku, y la gran influencia que la lluvia tiene en la propagación electromagnética en esa banda, se propuso la presente tesis cuyo objetivo fue la selección de un modelo de precipitación pluvial para ser utilizado en las

comunicaciones satelitales en la sombra del satélite Satmex 6 en banda Ku, y a su vez un estudio del comportamiento de los modelos de predicción de atenuación por lluvia más importantes en la actualidad.

## 2.2 SERVICIOS COMERCIALES

Como mencionamos en el capítulo anterior, el rango de la banda Ku es de 11.2 a 14.5 GHz. Por ser un recurso limitado, el ancho de banda debe ser regulado de manera internacional [5].

La organización que se encarga de la asignación de las bandas de frecuencia es la Unión Internacional de Telecomunicaciones UIT, específicamente en las Conferencias Mundiales de Radiocomunicaciones (CMRs).

La UIT divide al mundo en tres regiones:

Región 1: Europa, CEI, Mongolia, Turquía, Medio Oriente y África.

Región 2: América.

Región 3: Asia y Oceanía.

Las CMRs tienen el poder para atribuir bandas de frecuencia a los servicios de radiocomunicaciones en las tres regiones. Posteriormente, estas atribuciones son inscritas en el Cuadro de Atribución de Frecuencias del Reglamento de Radiocomunicaciones, donde también se incluyen los Planes de Adjudicación y de Asignación de Frecuencias [18].

Debido a la escasez del espectro, cada banda de frecuencia puede ser atribuida de dos maneras: atribuciones exclusivas (para un solo servicio de radiocomunicación) o atribuciones con compartición de frecuencias (dos o más servicios de radiocomunicaciones). En éste último hay dos categorías para los servicios, pueden ser servicios primarios, que tienen prioridad, o servicios secundarios, que no deben causar interferencia con los servicios primarios.

La siguiente tabla muestra la atribución para la región 2 de la UIT de la banda Ku[19].

Rango de Frecuencia	Ancho de Banda	Servicios Atribuidos
11.7 - 12.1 GHz	400 MHz	FIJO FIJO POR SATÉLITE (espacio - Tierra) Móvil salvo móvil aeronáutico
12.1 - 12.2 GHz	100 MHz	FIJO POR SATÉLITE (espacio - Tierra)
12.2 - 12.7 GHz	500 MHz	FIJO MÓVIL salvo móvil aeronáutico RADIODIFUSIÓN RADIODIFUSIÓN POR SATÉLITE
12.7 - 12.75 GHz	50 MHz	FIJO FIJO POR SATÉLITE (Tierra - espacio) MÓVIL salvo móvil aeronáutico
12.75 - 13.25 GHz	500 MHz	FIJO FIJO POR SATÉLITE (Tierra - espacio) MÓVIL Investigación espacial (espacio lejano) (espacio-tierra)
13.25 - 13.4 GHz	150 MHz	EXPLORACIÓN DE LA TIERRA POR SATÉLITE (activo) INVESTIGACIÓN ESPACIAL (activo) RADIONAVEGACIÓN AERONÁUTICA
13.4 - 13.75 GHz	350 MHz	EXPLORACIÓN DE LA TIERRA POR SATÉLITE (activo) INVESTIGACIÓN ESPACIAL RADIOLOCALIZACIÓN Frecuencias patrón y señales horarias por satélite (Tierra - espacio)
13.75 - 14 GHz	250 MHz	FIJO POR SATÉLITE (Tierra - espacio) RADIOLOCALIZACIÓN Frecuencias patrón y señales horarias por satélite (Tierra - espacio) Investigación espacial
14 - 14.25 GHz	250 MHz	FIJO POR SATÉLITE (Tierra - espacio) RADIONAVEGACIÓN Investigación espacial Móvil por satélite (Tierra - espacio) salvo móvil aeronáutico por satélite
14.25 - 14.3 GHz	50 MHz	FIJO POR SATÉLITE (Tierra - espacio) RADIONAVEGACIÓN Investigación espacial Móvil por satélite (Tierra - espacio) salvo móvil aeronáutico por satélite

Rango de Frecuencia	Ancho de Banda	Servicios Atribuidos
14.3 - 14.4 GHz	100 MHz	FIJO POR SATÉLITE (Tierra - espacio) Móvil por satélite (Tierra - espacio) salvo móvil aeronáutico por satélite Radionavegación por satélite
14.4 - 14.47 GHz	70 MHz	FIJO FIJO POR SATÉLITE (Tierra - espacio) MÓVIL salvo móvil aeronáutico Investigación espacial (espacio - Tierra) Móvil por satélite (Tierra - espacio) salvo móvil aeronáutico por satélite
14.47 - 14.5 GHz	30 MHz	FIJO FIJO POR SATÉLITE (Tierra - espacio) MÓVIL salvo móvil aeronáutico Móvil por satélite (Tierra - espacio) salvo móvil aeronáutico por satélite Radioastronomía

Tabla 2.1 Atribución para la región 2 de la UIT de la banda Ku

Deben tomarse las siguientes consideraciones para las frecuencias de la tabla anterior (CMR-97):

En la Región 2, en la banda 11.7 - 12.2 GHz, los transpondedores de estaciones espaciales del servicio fijo por satélite pueden ser utilizados adicionalmente para transmisiones del servicio de radiodifusión por satélite, a condición de que dichas transmisiones no tengan una p.i.r.e. máxima superior a 53 dBW por canal de televisión y no causen interferencia. Esta banda está limitada a servicios nacionales y regionales con previo acuerdo entre las administraciones interesadas (CMR-97 S5.485 y S5.488).

Como atribución adicional en la región 2, la banda 12.2 - 12.7 GHz está también atribuida al servicio fijo por satélite (espacio-Tierra) a título primario, su utilización está limitada a los sistemas de satélites no geoestacionarios y está también limitada a servicios nacionales y regionales. (CMR-97 S5.487A). Los servicios de radiocomunicación terrenal existentes y futuros no causarán interferencia perjudicial a los servicios de radiocomunicación espacial (CMR-97 S5.490).

**TESIS CON  
FALLA DE ORIGEN**

La banda 14 – 14.5 GHz puede ser utilizada, en el servicio fijo por satélite (Tierra-espacio), para enlaces de conexión destinados al servicio de radiodifusión por satélite (S5.506).

En resumen, la banda Ku está atribuida para servicio fijo, móvil y radiodifusión por satélite, radiodifusión, exploración de la tierra por satélite, investigación espacial y frecuencias patrón y señales horarias por satélite. Esto es, la banda Ku, está destinada casi exclusivamente a servicios por satélite.

De acuerdo a las atribuciones de la tabla anterior, los servicios comerciales que se proveen por satélites mexicanos en banda Ku son de voz, datos, Internet, radio, video digital y videoconferencia entre otros.

## 2.3 FACTORES DE PROPAGACIÓN EN LA BANDA KU

Para comunicaciones vía satélite deben tomarse en cuenta los diferentes factores de propagación atmosférica de las ondas electromagnéticas. La atmósfera no permite el paso de toda la radiación electromagnética, pues para ciertas longitudes de onda es un medio transparente y para otras es un medio opaco. En las longitudes de onda donde la atmósfera se comporta como un medio transparente, se dice que ésta presenta ventanas [17][5].

Las bandas utilizadas para las comunicaciones por satélite fueron cuidadosamente elegidas para evitar estas frecuencias y por tanto la absorción gaseosa es prácticamente despreciable en casi todos los enlaces comerciales. La atenuación resultante es comúnmente menor de 1 dB.

Existen dos bandas de frecuencia donde la absorción es elevada. La primera banda de absorción, causada por el vapor de agua, se encuentra centrada sobre 22.2 Ghz, mientras la segunda banda, causada por el oxígeno, está centrada sobre 60 Ghz. La absorción a cualquier frecuencia es una función de la temperatura, la presión, la humedad de la atmósfera y el ángulo de elevación.

En banda Ku hay factores que pueden impedir las comunicaciones, como lo son:

- Atenuación por partículas en suspensión (tormentas de arena)
- Atenuación por gases
- Atenuación por hidrometeoros
- Polarización
- Ruido
- Variaciones en el ángulo de llegada
- Coherencia del ancho de banda
- Degradación de la ganancia de la antena

Otros mecanismos que alteran la propagación de las ondas radioeléctricas son la reflexión, refracción ionosférica y troposférica, difracción, esparcimiento ionosférico y troposférico. Como consecuencias de esto, se pueden presentar multitrayectorias y pérdidas de propagación [21][20][17].

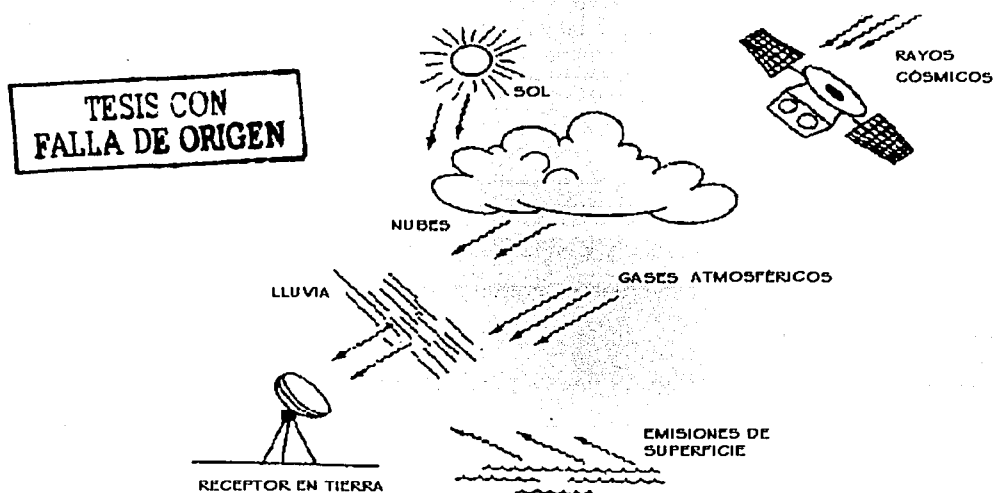


Figura 2.1 Factores de ruido y atenuación en enlaces de bajada

**TESIS CON  
FALLA DE ORIGEN**

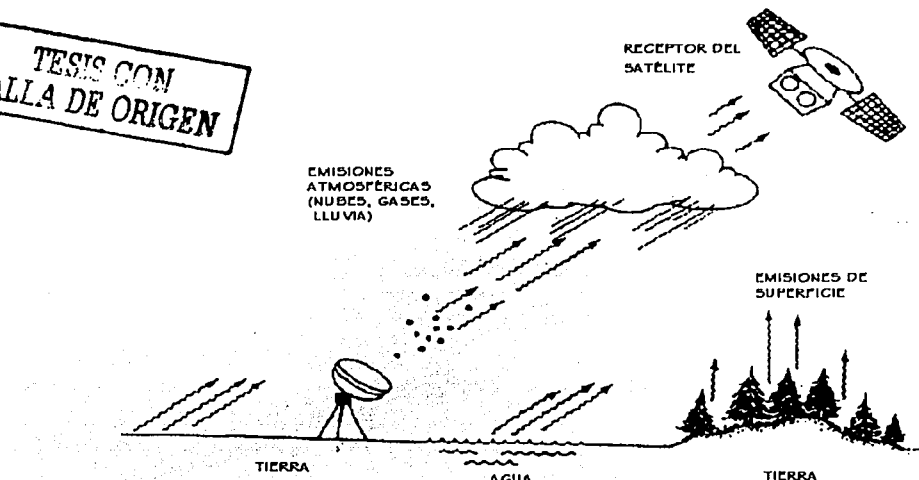


Figura 2.2 Factores de ruido y atenuación en enlaces de subida

Varias técnicas han sido desarrolladas y están siendo continuamente depuradas para cuantificar estos efectos con el fin de mejorar la fiabilidad en el diseño del sistema. Debido a la aleatoriedad asociada con tales procesos, técnicas estadísticas son usadas para modelar sus efectos en la propagación de ondas de radio.

En la mayoría de las frecuencias de interés comercial, la absorción atmosférica es relativamente poco importante. La atenuación es nula con cielo despejado pero puede aumentar a valores mayores durante condiciones de propagación desfavorables.

Los deterioros más importantes de la propagación ocurren en la troposfera e ionosfera. Las primeras decenas de kilómetros de la atmósfera en la que se forman las nubes y la lluvia es conocida como la troposfera, y la región ionizada en el espacio extendiéndose desde aproximadamente 80 a 100 km constituye la ionosfera, también conocida como termosfera, a causa de las altas temperaturas (ver figura 2.3). La ionización en esta región está causada por la interacción de la radiación solar con las moléculas de gas. Por tanto, el contenido de electrones de la atmósfera es alto durante el día y también durante períodos de elevada actividad solar [5].

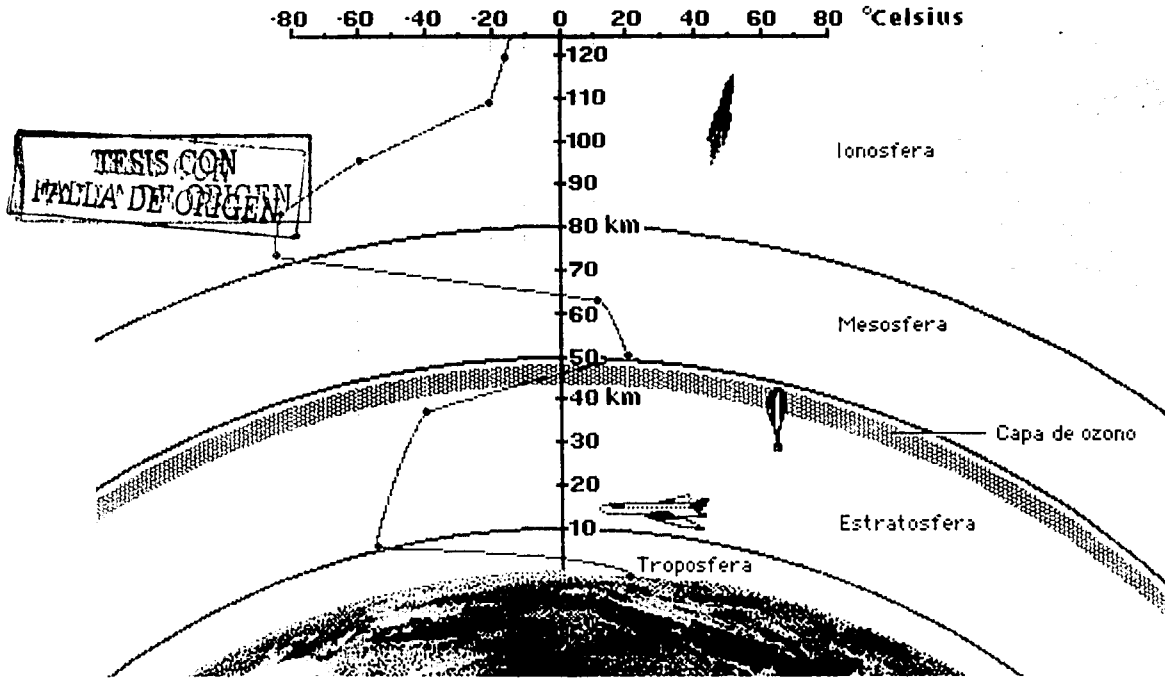


Figura 2.3 Capas de la atmósfera.

Por encima de los 10 Ghz, la absorción en la troposfera comienza a ser significativa. Los principales elementos que absorben energía RF en la troposfera son el agua y el oxígeno. El vapor de agua condensado existente en la atmósfera como lluvia, granizo, hielo, niebla, nubes o nieve, llamados hidrometeoros, produce los deterioros más significativos para la propagación de las ondas de radio [17].

Cabe mencionar que todos los fenómenos que afectan a la propagación de los enlaces satélite-Tierra están recogidos en las recomendaciones UIT [18].

FALLA DE ORIGEN

### 2.3.1 EFECTOS EN LA IONOSFERA

En la ionosfera se presentan principalmente efectos como el centelleo ionosférico y la rotación de la polarización o efecto Faraday.

Fluctuaciones rápidas de la amplitud de la señal, de su fase, de su polarización o de su ángulo de llegada son conocidas como centelleo (*scintillation*). En la ionosfera, el centelleo ocurre debido a las variaciones de pequeña escala del índice de refracción en función de la frecuencia y causadas por concentraciones locales de la ionización. Esto provoca (al igual que en el caso del centelleo troposférico) curvatura en la trayectoria de la onda, variación de la velocidad de la onda y del tiempo de propagación. El centelleo ionosférico decrece a razón de  $1/f$  (donde  $f$  es la frecuencia) cuando la frecuencia de radio aumenta. La mayor influencia del centelleo se encuentra por debajo de 4 GHz.

El centelleo ionosférico es independiente del ángulo de elevación del trayecto.

La rotación de la polarización de una onda de radio, es causada por la interacción de la onda radioeléctrica con los electrones de la ionosfera, en presencia del campo magnético de la Tierra.

Pero estos efectos son insignificantes para frecuencias mayores a 10 GHz, por lo tanto no se toman en cuenta para comunicaciones en banda Ku.

### 2.3.2 EFECTOS EN LA TROPOSFERA

En la troposfera se presentan efectos como centelleo, desvanecimiento por multirayectorias, refracción, desviación del haz e incremento de la temperatura de ruido, pero estos efectos no afectan a señales en banda Ku [17][22].

Los efectos en la troposfera que afectan grandemente a esta banda son la atenuación por hidrometeoros y absorción de gases.

### 2.3.2.1 Atenuación por partículas en suspensión: tormentas de arena

La atenuación específica (dB/km) es inversamente proporcional a la visibilidad y depende enormemente de la humedad de las partículas. A 14 GHz esta atenuación es del orden de 0.03 dB/km para partículas secas y de 0.65 dB/km para partículas con un 20% de humedad. Si la longitud del trayecto es de 3 km, la atenuación puede llegar a alcanzar 1 dB o 2 dB.

### 2.3.2.2 Efectos sobre la polarización

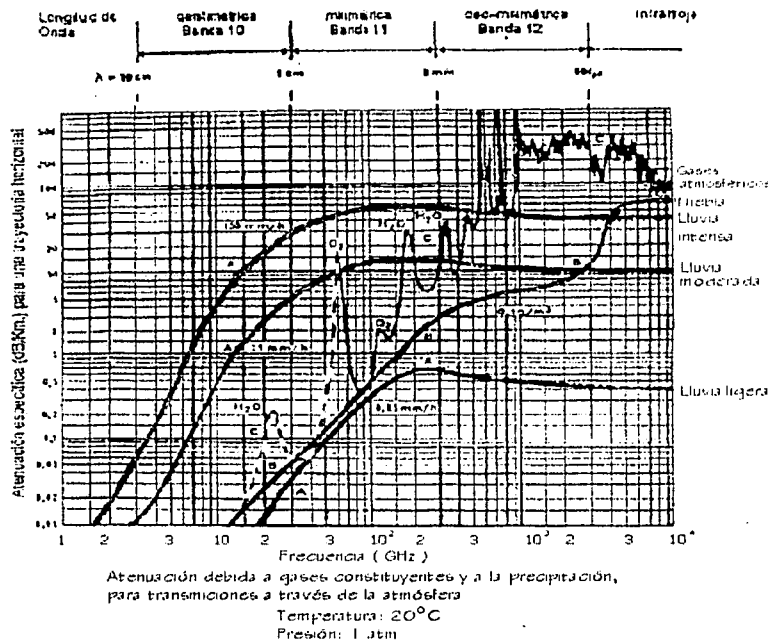
Las ondas electromagnéticas sufren una depolarización en su trayectoria debido a la naturaleza no esférica de los hidrometeoros. El grado del cambio en la polarización de una onda incidente depende del tipo de polarización de la onda y del tamaño, forma y orientación de los hidrometeoros.

### 2.3.2.3 Atenuación por absorción de gases

De los gases que conforman la atmósfera, sólo para el oxígeno y el vapor de agua se ha encontrado que tienen frecuencias de resonancia en las bandas de interés para las comunicaciones. Podemos observar la atenuación específica por vapor de agua y oxígeno en la figura 2.4. Las frecuencias de resonancia más importantes debajo de 100 GHz, son de 22.235 GHz para vapor de agua y entre 53.5 y 65.2 para oxígeno.

Pero, como podemos apreciar en la figura 2.4, para frecuencias menores a 20 GHz, la atenuación es menor a 0.5 dB.

Cuando se compara con la atenuación por hidrometeoros y otros efectos, la absorción atmosférica es generalmente muy pequeña en comparación, a excepción de enlaces con ángulos de elevación muy pequeños en ambientes húmedos.



TESIS CON  
FALLA DE ORIGEN

Figura 2.4 Atenuación debido a gases y lluvia

### 2.3.2.4 Atenuación por hidrometeoros

Las precipitaciones son de mayor importancia para sistemas que operan a frecuencias mayores a 10 GHz. Las precipitaciones pueden presentarse de diversas formas en la atmósfera. El término general que se refiere a productos de vapor de agua condensada en la atmósfera es hidrometoro. Dentro de los hidrometeoros se encuentran la lluvia, granizo, nieve, niebla, nubes y hielo.

#### Atenuación por granizo, hielo y nieve

Los hidrometeoros como el granizo, hielo y nieve producen menor atenuación en las trayectorias de las ondas radioeléctricas, ya que la constante dieléctrica del hielo es menor que la constante dieléctrica del agua.

Se ha encontrado que, en ausencia de atenuación, se presenta una intensa depolarización causada por cristales de hielo a grandes altitudes, que están frecuentemente asociados con tormentas. La depolarización por hielo, por lo tanto, frecuentemente precede o sigue a una lluvia. Pero estos cristales a gran altura no son detectables con aparatos de medición por lo tanto no existe un modelo de predicción.

#### Atenuación por niebla y nubes

Las nubes y la niebla consisten en general de pequeñas gotas de lluvia de diámetro de menos de 0.1 mm, mientras que las gotas de lluvia miden entre 0.1 y 10 mm de diámetro típicamente. La humedad relativa dentro de una nube suele estar muy cercana al 100%. Nubes de gran altitud, como las cirrus, se componen de cristales de hielo que no contribuyen substancialmente a la atenuación, pero pueden causar efectos de depolarización.

El contenido de agua líquida en nubes puede variar de 0.05 a 2 g/m<sup>3</sup> típicamente.

En la siguiente tabla se resume la relación típica del tipo de nubes con el radio de las gotas y la concentración de agua.

Tipo de nube	Agua líquida (g/m <sup>3</sup> )	Radio promedio (μm)
Cúmulo	0.15	4.9
Estratocúmulo	0.16	4.8
Estratos (sobre tierra)	0.27	5.2
Altoestratos	0.46	6.2
Estratos (sobre agua)	0.49	7.6
Cúmulo congestus	0.67	9.2
Cúmulonimbus	0.98	14.8
Nimbostratos	0.99	9.0

Tabla 2.2 Relación típica del tipo de nubes con el radio de las gotas y la concentración de agua

Debido al pequeño tamaño de las gotas, se puede usar la aproximación Rayleigh en el cálculo de la atenuación específica para nubes y niebla. Esta aproximación es sólo válida para frecuencias menores a 100 GHz.

El coeficiente de atenuación [ $k_c$ ] para niebla y nubes empleando la aproximación Rayleigh es:

$$k_c = 0.4343 \frac{6\pi}{\lambda} M \operatorname{Im} \left\{ \frac{m^2 - 1}{m^2 + 2} \right\}$$

Donde  $M$  es el contenido de agua líquida en  $\text{g/m}^3$ ,  $\lambda$  es la longitud de onda en mm, y  $m$  es el índice de refracción de las gotas de agua y es un número complejo.  $\operatorname{Im}$  denota la parte imaginaria.

La atenuación en banda Ku es menor de 1dB, incluso para los tipos de nubes más intensos.

Las capas de niebla se extienden típicamente de 50 a 100 metros sobre la superficie terrestre y pueden alcanzar hasta 0.4 g/m. Debido a que las capas son tan delgadas, la atenuación por niebla en un enlace satelital será muy pequeña, y puede ser despreciable para frecuencias debajo de 100 GHz.

#### Atenuación por lluvia

A frecuencias superiores a 10 GHz la lluvia es un factor dominante en la propagación, tanto en lo referente a la atenuación como en la depolarización del campo electromagnético. El efecto de las gotas de lluvia sobre la propagación se debe a que la energía electromagnética es absorbida y convertida en calor y parte de las ondas se dispersan, alejándose de la dirección de propagación, por otro lado debido a la forma de las gotas de lluvia de esferoides oblicuos, las componentes horizontal y vertical de las ondas electromagnéticas no sufren atenuación similar (la componente horizontal se atenúa más que la vertical) generando una rotación de la onda hacia la componente vertical. Los efectos de la lluvia sobre la propagación dependen del número de gotas (razón de lluvia) y la distribución de forma y tamaño. Otro problema que produce la

TESIS CON  
FALLA DE ORIGEN

lluvia en la propagación es el aumento de la temperatura de ruido en la estación terrena, debido a la radiación térmica de las gotas de lluvia.

La figura 2.5 muestra la magnitud relativa de las variaciones (atenuación) debido al vapor de agua (absorción gaseosa), una nube de agua líquida, y lluvia que se supone sea excedida durante al menos el 2% del año sobre una trayectoria cenit\*.

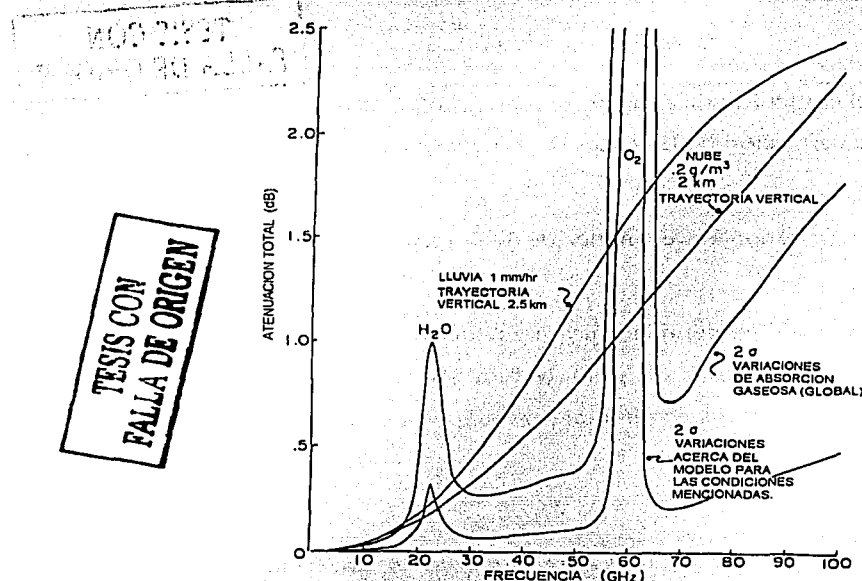


Figura 2.5 Valores de atenuación a ser excedidos en un 2% del año en latitudes medias.

### Efectos en la propagación

La tropósfera y los hidrometeoro (lluvia, nieve, nubes, etc.) que contiene, pueden degradar los enlaces de comunicación satelital en cuatro formas [23].

- Reducción de amplitud
- Incremento de ruido térmico
- Incremento de interferencia
- Modulación de la señal

\* Cenit: Intersección de la vertical de un lugar con la esfera celeste, por encima de la cabeza del observador

### **Reducción de amplitud**

La amplitud de la señal recibida es reducida debido a la absorción y/o dispersión por oxígeno, vapor de agua, gotas de lluvia y partículas de nubes y niebla. De estos, la absorción por oxígeno en la banda de 55-65 GHz tiene el efecto más grande. La atenuación en esta banda es tan grande que hace la comunicación virtualmente imposible.

### **Incremento de ruido térmico**

La energía radiada por el medio absorbente troposférico (oxígeno, vapor de agua, gotas de lluvia, etc.) es incoherente y de banda amplia. Esta energía es recibida por la antena de la estación terrena con la señal del enlace de bajada, y aparece en la salida del receptor como ruido térmico (indistinguible del ruido térmico generado en el receptor). El efecto de la energía de ruido recibida es tomada en cuenta por la suma de una temperatura de ruido atmosférico a la temperatura de ruido de la estación terrena.

Despreciando las fuentes extraterrestres como el sol, la temperatura de ruido atmosférico es cero cuando la atenuación es cero, y se acerca asintóticamente a la temperatura del medio conforme la atenuación se incrementa. El efecto del ruido térmico sobre el rendimiento del sistema es reducir la relación portadora a ruido del enlace de bajada. Sin embargo, como el incremento de ruido térmico es aditivo, la magnitud del efecto depende enormemente de la temperatura de ruido de la estación terrena en ausencia de ruido atmosférico.

### **Incremento de interferencia**

Sistemas que emplean polarización ortogonal para re-usar el espectro están sujetas a auto-interferencia a través de *crosstalk* o diafonía\* entre canales de polarización opuesta. El grado de auto-interferencia se establece por la eficiencia del satélite y la estación terrena y por los efectos de depolarización de gotas de lluvia y cristales de hielo

\* Diafonía: Perturbación electromagnética producida en un canal de comunicación por el acoplamiento de este con otro u otros vecinos.

en la trayectoria. La depolarización por lluvia se incrementa con la razón de lluvia y la frecuencia.

La depolarización por nubes de hielo de grandes altitudes está asociada normalmente con tormentas pero puede ocurrir en ausencia de atenuación por lluvia. El efecto de depolarización sobre el canal de comunicación depende del tipo de modulación usado. El efecto de interferencia por depolarización es fundamentalmente diferente de la reducción de amplitud o los efectos de incremento de ruido de propagación, en que el incremento de la potencia de enlace no reduce la interferencia, esto es porque se incrementa la potencia de la señal deseada y la señal interferente simultáneamente. La polarización cruzada, sin embargo puede ser reducida empleando una red especial de rotación adaptiva sobre la alimentación de la antena.

Otro tipo de interferencia que puede empeorar el enlace es la interferencia intersistemas. La lluvia puede causar dispersión de energía electromagnética fuera de la línea de vista, resultando un incremento en la disminución de la potencia del enlace de subida por el haz recibido de un satélite adyacente.

### **Modulación de la señal**

Estaciones terrenas, operando en bajos ángulos de elevación, están sujetas al centelleo causado por turbulencia troposférica. Esta consiste de rápidas fluctuaciones aleatorias en la amplitud y fase de la señal. Los efectos del centelleo de la señal dependen del tipo de modulación usado y del rendimiento del receptor. El espectro de potencia de la fluctuación cae rápidamente con el incremento de la frecuencia.

### **Atenuación por lluvia en transmisiones satelitales**

En general, la atenuación por lluvia se produce por el comportamiento del agua como dieléctrico imperfecto y por la dispersión de la energía en direcciones diferentes de propagación.

La atenuación de señal debido a la lluvia es una característica de las transmisiones de microondas y satelitales, siendo estas últimas las que nos interesan en el presente trabajo.

Cuando se opera en frecuencias desde la banda Ku en adelante, la intensidad de la señal satelital puede ser temporalmente reducida bajo condiciones de lluvia severa. El nivel de atenuación es producto de varias variables, y para minimizar su efecto, se incluye un margen de lluvia, cuando se diseñan sistemas de comunicación satelital; esto es, las estaciones terrenas ubicadas en áreas de lluvia pesada se diseñan con más potencia de transmisión.

El margen de lluvia es la cantidad de potencia extra agregada a la intensidad de señal, de tal forma que el servicio no sea afectado por la atenuación por lluvia durante precipitaciones normales. En la mayoría de los casos la reducción en la intensidad de señal debido a la lluvia no sobrepasa el umbral del margen de lluvia y no tiene ningún efecto perceptible sobre la transmisión, por lo cual debe de considerarse el margen de lluvia adecuado para el posible ahorro en la potencia del sistema.

Como las señales de satélite viajan a través de la atmósfera, una célula de lluvia donde quiera en la trayectoria de señal ocasionará alguna reducción en la intensidad de una transmisión; como la lluvia se forma únicamente en la tropósfera que se extiende 15 km sobre la tierra, una señal que viaja a través de una célula de lluvia experimentará atenuación durante una porción pequeña de su trayectoria de transmisión. Las transmisiones terrestres de microondas son más susceptibles a los efectos de la atenuación por lluvia porque sus trayectorias de señal están totalmente en la tropósfera, y la señal puede pasar a través de una célula entera de lluvia [23].

Cuánto tiempo una transmisión será afectada por la atenuación por lluvia y cuan profunda será la atenuación, puede ser determinado por la cantidad de precipitación. Generalmente, la intensidad de la señal puede ser afectada de dos a tres minutos durante una precipitación promedio, y hasta 15 minutos para períodos de lluvia sumamente pesada. Sin embargo, los períodos de atenuación de hasta 15 minutos son

muy raros, y aunque la intensidad de la señal pudiera ser afectada, no habrá ningún efecto perceptible sobre la transmisión mientras la atenuación no exceda el umbral del margen de lluvia destinado.

Los patrones climáticos y el ángulo de elevación deben también ser considerados. Las diversas regiones cubiertas por la huella del satélite experimentan diferentes patrones climáticos, y las antenas en cada región se colocan en diferentes ángulos de elevación.

Por ejemplo, hay una diferencia considerable entre el patrón climático de Hermosillo, Son. y México, D.F. Aunque llueve más frecuentemente en México D.F., en Hermosillo se tienen precipitaciones en algunos casos más pesadas que en el D.F., aunque estos son muy esporádicos. Consiguientemente, las transmisiones desde Hermosillo experimentarán períodos de atenuación en algunos casos más profunda pero menos frecuentes que en México D.F.

El ángulo de elevación en el cual la antena es apuntada hacia el satélite es también un factor. Este ángulo es dependiente de la latitud y la longitud de la estación terrena. Entre más baja sea la latitud de la estación terrena, el ángulo de elevación será más alto, y menor la atmósfera a través de la cual la señal debe viajar. Entre más alta sea la latitud, el ángulo de elevación baja, y, por lo tanto, será más la atmósfera a través de la cual la señal debe viajar, y aumentará la probabilidad de que la señal viaje a través de la lluvia. Así pues la longitud de la parte de la trayectoria de propagación que pasa a través de la tropósfera varía inversamente al ángulo de elevación. Por lo cual, pérdidas de propagación, ruido y depolarización también se incrementan con el decrecimiento del ángulo de elevación.

La atenuación por lluvia es ligeramente sensible al tipo de polarización siendo la polarización horizontal la más afectada. La depolarización es también sensible a la polarización, y la polarización circular es la que resulta más afectada.

En cuanto a la altitud de la estación terrena, por la disminución de la tropósfera en sitios de mayores altitudes los deterioros son menores.

La temperatura de ruido de la estación terrena determina la contribución relativa de la temperatura de ruido atmosférico a la temperatura de ruido del sistema, y de este modo determina también el efecto del ruido atmosférico sobre la razón señal a ruido del enlace de bajada.

La cantidad y naturaleza de precipitación pluvial en la vecindad de la estación terrena son los factores primarios en la determinación de la frecuencia y extensión de la mayoría de los deterioros de propagación. Los deterioros causados por lluvia dependen de la razón de precipitación pluvial, pero también el tipo de lluvia es tan importante como la cantidad acumulativa de precipitación pluvial. El tipo y extensión abarcada por una nube y las características de humedad local son otros factores meteorológicos que determinan la magnitud de los deterioros de propagación [24].

El margen de lluvia es un componente del margen de enlace, y es un cálculo de atenuación esperada de lluvia sobre un porcentaje de un año. Se calcula con base en los datos de precipitación, ángulo de elevación, y patrones climáticos. Este margen da a cada cliente más potencia que la que se necesita en cualquier tiempo determinado, para que cuando la atenuación de lluvia ocurra, rara vez afecte su servicio [13].

Con base en el margen de enlace y el margen de atenuación por lluvia incorporado, cada cliente debe típicamente contar con especificaciones de desempeño de segmento espacial a 99.9 por ciento del tiempo sobre un año de servicio para 14 -12 GHz,. Esto reduce la posibilidad de que la atenuación por lluvia afecte el servicio, y restringe los efectos a períodos de lluvia muy pesados e infrecuentes.

Para describir la naturaleza de la propagación de las ondas de radio y la precipitación y determinar la atenuación por lluvia de una onda radioeléctrica, se asume lo siguiente:

1. La intensidad de la onda decae exponencialmente al propagarse a través de la lluvia.

2. Las gotas de lluvia son gotas de agua esféricas, que absorben y dispersan energía de las ondas incidentes.
  3. La contribución de cada gota de lluvia es aditiva e independiente de otras gotas.

La atenuación por lluvia depende del tamaño de las gotas, la distribución del tamaño de las gotas, la tasa de lluvia, y la sección transversal de atenuación. Los primeros tres parámetros son características de la estructura de la lluvia, sin embargo, la sección transversal de atenuación depende de la frecuencia y de la temperatura. Todos estos parámetros varían espacial y temporalmente de modo aleatorio, por lo tanto para los análisis de atenuación por lluvia deben hacerse análisis estadísticos [24].

## CAPITULO 3

# CARACTERÍSTICAS Y SISTEMAS DE LLUVIA

Los efectos de atenuación de la troposfera y la naturaleza estadística de esos efectos son determinados por las características macroscópicas y microscópicas de sistemas de lluvia [20].

Las características macroscópicas incluyen factores tales como el tamaño, distribución y movimiento de las células de lluvia, altura de la capa brillante (altura isotérmica<sup>\*</sup> de 0° C) y cristales de hielo. Las características microscópicas incluyen la distribución de tamaño densidad y forma de gotas de lluvia y cristales de hielo. Los efectos combinados ambas características determinan la distribución acumulativa de atenuación contra el tiempo, la duración de desvanecimiento y los períodos de atenuación específica contra la frecuencia [17].

A continuación, se presenta información sobre los tipos de lluvia, datos de precipitación y la estimación de la razón de lluvia, pasando después a la macroestructura y microestructura de la lluvia [25].

### 3.1. TIPOS DE LLUVIA

#### 3.1.1 LLUVIA ESTRATIFORME

En las regiones de latitud media, la precipitación estratiforme es el tipo de lluvia el cual tiene extensiones horizontales estratificadas de cientos de km, duraciones

---

\* Isotérmica o isoterma: Curva para la representación cartográfica de los puntos de la Tierra con la misma temperatura

mayores a una hora y razones de lluvia menores que 25 mm/h. Este tipo de lluvia usualmente ocurre durante los meses de primavera y otoño, y resulta de las temperaturas frías en alturas verticales de 4 - 6 km. Para aplicaciones de comunicaciones las lluvias estratiformes representan una razón de lluvia la cual que ocurre en un períodos suficientemente grandes que el margen de enlace debe definirse para que exceda la atenuación asociada con una razón de lluvia de 25 mm/h.

### **3.1.2 LLUVIA CONVECTIVA**

La lluvia convectiva se origina del movimiento atmosférico vertical. El flujo convectivo ocurre en una célula que tiene una extensión horizontal de varios kilómetros. La célula usualmente se extiende a alturas mayores que la altura promedio isotérmica de 0°C, en lugares con fuertes corrientes ascendentes y descendentes. Por el movimiento del frente y el movimiento deslizante, las duración de las razón de lluvia alta son usualmente de pocos minutos.

### **3.1.3 PRECIPITACIÓN MONZÓNICA**

Esta precipitación se debe a secuencia de bandas de precipitación convectiva intensa seguidas de intervalos de precipitación estratiforme. Las bandas tienen por lo general 50 km de ancho, centenares de km de largo y producen intensas lluvias que duran varias horas.

### **3.1.4 TORMENTA CICLÓNICA TROPICAL**

Las tormentas ciclónicas tropicales (huracanes) regularmente pasan sobre el sureste del bordo del mar durante el período de agosto a octubre. Estas tormentas circulares son típicamente de 50 a 200 km de diámetro moviéndose a 20 km por hora, se extiende a alturas de hasta 8 km y tiene razones de lluvia más altas que 22.5 mm/h.

Las tormentas se caracterizan por varias bandas en espiral que terminan en regiones de precipitación intensa en torno a la región central u ojo del ciclón. Las bandas contienen también regiones de precipitación convectiva intensa.

### 3.2 DATOS DE PRECIPITACIÓN

Los datos colectados por los servicios climatológicos de los E.U. y Canadá son una excelente base de datos para la estimación de la razón de lluvia. Sin embargo, las mediciones en el sitio son aún la técnica más exacta pero muy laboriosa para adquirir estadísticas de razón de lluvia.

En los E.U. el Centro Nacional de Datos Climáticos prepara y mantiene grabaciones extensas de precipitación obtenidas de las Oficinas de Servicios Climáticos sobre 12,000 agencias de observación. Estos datos de lluvia están disponibles en diferentes clases de documentos, los cuales cuentan con datos de precipitaciones horarias, diarias, promedios mensuales y anuales. Si se desea más información respecto a razones de lluvia alta asociadas con tormentas, ésta puede ser obtenida para la mayoría de los sitios en donde se ubican las Oficinas de Servicios Climáticos. Estos sitios generalmente cuentan con medidores *tipping bucket* y "cartas de medición normalizadas". Los medidores *tipping bucket* generalmente acumulan el número de eventos de precipitación de 0.01 pulgadas en un día. Además, algunos medidores emplean una carta de lectura (cartas de registro triple de operaciones grabadas) similares a las que se muestran en la figura 3.1, y por aproximación se puede aproximar el tiempo entre extremos de razón de lluvia.

El medidor de "cartas de medición normalizadas" es también capaz de proveer información de razón de lluvia y es el instrumento principal utilizado para proveer datos de precipitación de 5 minutos a una hora. La medición se logra leyendo directamente de la carta de 24 horas del medidor. Un ejemplo se muestra en la figura 3.2, en la cual midiendo la pendiente de la línea, se pueden obtener razones de lluvia de hasta 5 minutos de resolución y aún razones de lluvia de 1 minuto pueden ser

inferidas de algunas cartas. Lo anterior hace que estas cartas sean la mejor fuente de información para razones de resolución pequeña.

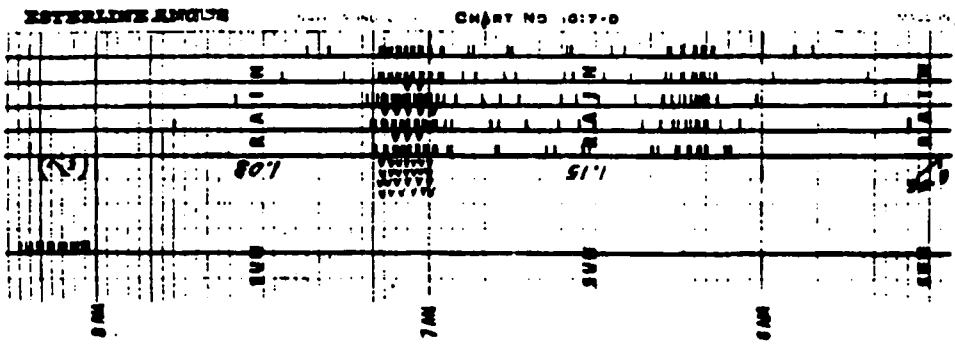


Figura 3.1 Ejemplo con el medidor "Tipping bucket"

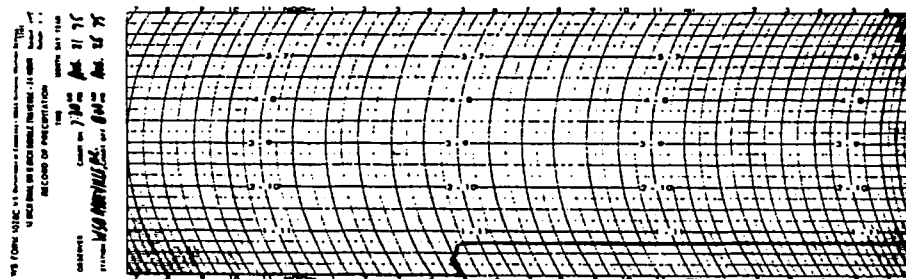


Figura 3.2 Ejemplo de las "Cartas de medición normalizadas".

Bodtman y Ruthroff [26] han demostrado una técnica de estimación de distribuciones de razón de lluvia directamente de estas cartas de medición de lluvia con una resolución de 1 minuto. Como el cálculo derivado de las cartas es notoriamente inexacto, se necesita de un procesamiento considerable para obtener resultados exactos, especialmente en razones de lluvia altas.

Muchos países preparan datos meteorológicos similares a los E.U. En México, el Servicio Meteorológico Nacional almacena cartas de datos con precipitaciones acumuladas promedios por mes y año para un gran número de localidades, además de datos de precipitaciones acumuladas por hora para un cierto número de observatorios ubicados en el territorio nacional. También para algunos lugares se cuenta con cartas como la mostrada en la figura 3.2; para propósitos de este trabajo se consideraron los datos de precipitaciones acumuladas por hora para cada una de las localidades seleccionadas, además de las precipitaciones máximas por hora durante cierto número de años para las localidades en cuestión.

### 3.3 ESTIMACIÓN DE LA RAZÓN DE LLUVIA

La medición de la razón de lluvia es un proceso inexacto por la naturaleza discreta de la precipitación. Obviamente, la razón de lluvia se calcula midiendo la acumulación de lluvia para un período de tiempo conocido en un punto. El período de tiempo más corto reportado por los servicios climáticos de E.U. y Canadá es 5 minutos y para México el período de tiempo reportado en el Servicio Meteorológico Nacional es de 1 hora. Asumiendo que la razón de lluvia es uniforme para el período de tiempo reportado, la razón de lluvia calculada en el punto y la razón de lluvia puntual instantánea son iguales. Sin embargo surge la pregunta de cómo varía la razón de lluvia conforme el tiempo de integración varía. La variación entre los tiempos de integración de 2 y 5 minutos se espera sea significante para razones de lluvia altas. La figura 3.3 muestra que para razones de lluvia por debajo de 50 mm/h el error debido al tiempo de integración es pequeño.

Este efecto es debido a que eventos de razón de lluvia baja tienden a ser espacial y temporalmente uniformes, mientras razones de lluvia entre 50 y 120 mm/h son dominados por lluvias convectivas no uniformes espacial y temporalmente.

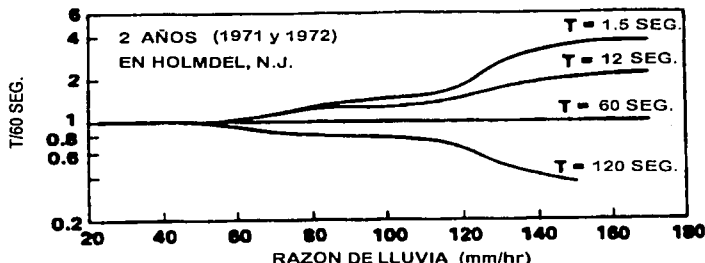
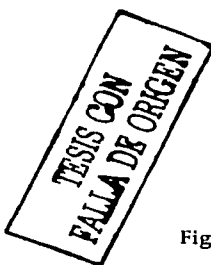


Figura 3.3 Distribución de razón de lluvia vs tiempo de integración en Holmdel NJ

Únicamente las células más severas crean razones de lluvia superiores a 120 mm/h y son altamente variables. Por lo tanto, un pico significante de razón de lluvia dos o tres veces tan alto como el promedio de 1 minuto, puede ocurrir para un segundo durante el período de un minuto.

El impacto de variar los tiempos de integración puede ser significante para mediciones de estadísticas de razón de lluvia acumulativa (relacionadas con estadísticas de atenuación acumulativas y mediciones de duración de razón de lluvia relacionadas a la duración de desvanecimiento de atenuación). Lin [27] determinó experimentalmente el efecto del tiempo de integración sobre estadísticas acumulativas.

### 3.4 CARACTERÍSTICAS PRINCIPALES DE LA LLUVIA

- Macroestructura de la lluvia

Estructura horizontal de la lluvia:

Aplicación de la dispersión producida por la lluvia

Aplicación de la atenuación producida por lluvia

Estructura vertical de las precipitaciones:

Variación vertical de la reflectividad

- Variación vertical de la atenuación específica
- Altura de la isoterma de 0°C y altura de la lluvia
- Microestructura de la lluvia
  - Distribución del tamaño de las gotas
  - Forma y orientación
  - Velocidad terminal
  - Temperatura de las gotas
- Características estadísticas de la intensidad de lluvia en un punto
  - Distribución acumulativa de la intensidad de lluvia.
  - Conversión de la distribución de la intensidad de lluvia en estadísticas equivalentes a 1 minuto
  - Modelos para la distribución de la intensidad de lluvia
  - Estadísticas de la duración de la lluvia

### **3.4.1 MACROESTRUCTURA DE LA LLUVIA**

#### **3.4.1.1 Estructura horizontal de la lluvia**

La lluvia no es homogénea en el plano horizontal. Mediciones realizadas con sistemas de radar indican la existencia de zonas de precipitación, a menudo con regiones interiores más pequeñas en que los índices de precipitaciones son más elevados. Estas regiones localizadas de mayor índice de pluviosidad, denominadas nominalmente células de lluvia, pueden ocasionalmente hallarse aisladas.

Desafortunadamente no existe actualmente una morfología adecuada de la estructura de las precipitaciones. Se sabe que la estructura horizontal debe depender del tipo de lluvia, de la topografía y de la profundidad de la capa potencialmente inestable que producen las células convectivas y que dicha información debe obtenerse en diferentes latitudes de regiones marítimas y continentales. Por otra parte, para aplicaciones de la propagación radioeléctrica, las descripciones

estadísticas necesarias para las células y para las variaciones espaciales de la intensidad de la lluvia en las grandes zonas de precipitación más débil dependen de cada aplicación particular.

### Distribuciones de términos grandes

Los tipos de lluvia ciclónica y estratiforme cubren grandes regiones geográficas, por lo que la distribución espacial de la caída de lluvia total de una de esas tormentas se supone es uniforme. De igual forma, la razón de lluvia promediada sobre varias horas se supone similar para sitios alejados hasta 10 km.

Sin embargo, las tormentas convectivas están localizadas y tienden a dar origen a distribuciones de caída de lluvia y razón de lluvia espacialmente no uniformes para una tormenta dada.

### Distribuciones horizontales de términos cortos

Se han empleado radares operando en frecuencias que no se atenuan para estudiar los componentes horizontal y vertical de los sistemas de lluvia convectiva. Una distribución horizontal típica -observada en 1.4 grados de elevación- se muestra en la figura 3.4, para un aguacero en Nueva Inglaterra [28].

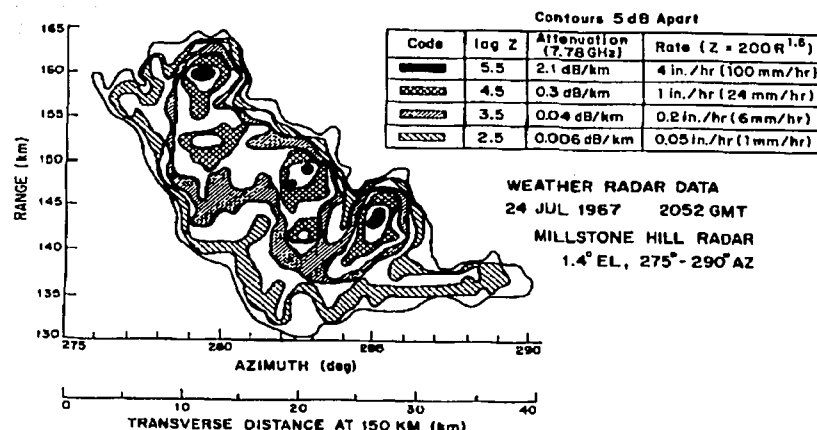


Figura 3.4 Mapa de radar climático para un aguacero en Nueva Inglaterra

TESIS CON  
FALLA DE ORIGEN

Aquí las variaciones de razón de lluvia de 100:1 son observadas sobre rangos de 10 km para un aguacero conteniendo cuatro células intensas. Similares mediciones han sido hechas por Goldhirsh, en Wallops Island VA, donde ha observado también que las células de lluvia son alargadas sobre la dirección noreste-suroeste (la dirección de movimiento). Esta dirección también se correlaciona muy bien con la dirección de viento media o promedio. El impacto de este resultado es que el desvanecimiento era máximo y la ganancia de diversidad espacial mínima en la dirección noreste-suroeste.

#### **Aplicación a la dispersión producida por la lluvia**

Los efectos de dispersión se producen principalmente cuando en el volumen común de los haces de la antena se encuentra una célula de lluvia intensa. Por tanto, las mediciones de alta resolución son importantes para determinar la anchura de la célula. Para su aplicación en los métodos estadísticos de predicción de la dispersión debida a la lluvia como factor de interferencia, se ha definido la extensión horizontal de la célula de lluvia como el área que contiene un valor máximo de la reflectividad, y está limitada por los puntos en que la reflectividad es igual a la mitad de los valores de cresta (-3 dB).

El diámetro de la célula [D] parece tener una probabilidad de distribución [P(D)] exponencial de la forma:

$$P(D) = \exp(-D/D_0) \quad 3.1$$

donde  $D_0$  es el diámetro medio de la célula, que es función del índice pluviométrico de cresta  $R_{cresta}$ . Los resultados de mediciones mediante radar en Europa y en los Estados Unidos indican que el diámetro medio  $D_0$  disminuye ligeramente al aumentar  $R_{cresta}$  (cuando  $R_{cresta} > 10$  mm/h). Esta relación parece seguir una ley exponencial:

$$D_0 = a R_{cresta}^b \quad 3.2$$

para  $R_{cresta} > 10 \text{ mm/h}$ . Se han señalado valores del coeficiente  $a$ , que van de 2 a 4, y del coeficiente  $b$ , que van de 0.08 a 0.25. Suponiendo que el perfil espacial de la célula de lluvia sigue una ley exponencial, la distribución de la intensidad máxima de la lluvia puede obtenerse a partir de la distribución puntual del índice pluviométrico.

Los valores del diámetro medio de la célula pueden utilizarse para definir el volumen común que interviene en la interferencia debida a la dispersión provocada por las precipitaciones. No obstante, al evaluar el acoplamiento por la dispersión debida a la lluvia, debe tenerse debidamente en cuenta la atenuación, tanto en el exterior como en el interior del volumen común.

#### Aplicación a la atenuación producida por las lluvias

Para predecir la atenuación, la situación suele ser más compleja. Se sabe que las células se agrupan frecuentemente dentro de regiones de lluvia a veces denominadas pequeñas zonas de dimensiones medias. Por consiguiente, los enlaces terrenales de más de 10 km pueden atravesar más de una célula dentro de una región de lluvia. Además, como debe tenerse en cuenta el efecto atenuador de la lluvia de intensidad más baja que circunda la célula, cualquier modelo que se utilice para calcular la atenuación debe tomar en consideración estas regiones más amplias. La extensión lineal de estas regiones de lluvia aumenta al disminuir la intensidad de la lluvia y puede llegar hasta varias decenas de kilómetros.

La mejora por diversidad de ubicación o de trayecto resulta de la naturaleza no homogénea de las precipitaciones. Los valores máximos de atenuación se presentan generalmente cuando hay una célula intensa a lo largo del trayecto de propagación. La probabilidad de que haya una segunda célula intensa simultáneamente a lo largo de un segundo trayecto separado del primero por distancias del orden de 10 km o más, es pequeña, produciéndose la mejora por diversidad cuando se utiliza diversidad de trayecto o de ubicación con comutación. Si la atenuación producida por las zonas de lluvia más amplias, fuera de las células, produce la degradación del

sistema, en tal caso se requieren distancias de separación mucho mayores para obtener una mejora importante por diversidad.

### 3.4.1.2 Estructura vertical de las precipitaciones

Se requiere información sobre la estructura vertical y extensión de las precipitaciones para predecir la atenuación en un trayecto oblicuo y para calcular la interferencia debida a la precipitación por la lluvia.

Las observaciones realizadas con radar proporcionan las únicas mediciones directas de la estructura vertical de las precipitaciones. Sobre la base de estas observaciones, se han definido dos tipos principales de precipitaciones:

- Precipitaciones estratiformes, que se caracterizan por una delgada capa horizontal la cual tiene mayor reflectividad y se denomina banda brillante.
- Precipitaciones convectivas, que se caracterizan por regiones en forma de columnas casi verticales de mayor reflectividad.

Pueden darse ambos tipos de precipitaciones en distintas regiones de la misma tormenta, y se ha observado que son las formas básicas que se producen en los sistemas principales de precipitación en todo el mundo.

#### Distribuciones verticales de términos cortos

Los radares calibrados son ideales también para la medición de los perfiles verticales de eventos de lluvia. Los perfiles de reflectividad media para un grupo de células de lluvia medidos desde la tierra como una función de la razón de lluvia, se presentan en la figura 3.5, [29].

Los números en paréntesis son el número de células medidas y la abcisa es el factor de reflectividad. Estos resultados experimentales demuestran claramente que la razón de lluvia es uniforme hasta cuatro km de altitud y después se decremente

dramáticamente para altitudes en el rango de 6 a 8 km, el decremento se asocia también con la altura isotérmica de 0° C.

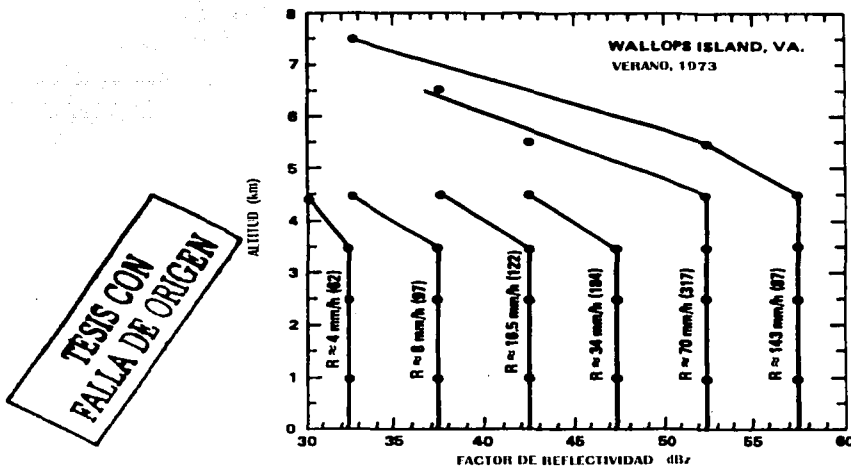


Figura 3.5 Factor de reflectividad medio obtenido en Wallops Island, VA

Sobre la isoterma existen hidrometeoro en forma de cristales de hielo y nieve. Estos hidrometeoro no contribuyen significativamente a la atenuación pero originan efectos de depolarización.

#### Variación vertical de la reflectividad

En general, los perfiles del factor de reflectividad del radar en función de la altura, muestran pocos cambios por debajo de una determinada altura de transición. Esto es cierto para los perfiles equiprobables y los perfiles medianos basados en un análisis de las distintas células de lluvia. La región que se halla por debajo de la altura de transición está constituida preponderadamente por lluvia y contribuye tanto a la atenuación como a la dispersión.

Para la lluvia estratiforme, existe una capa estrecha de reflectividad aumentada en las proximidades de la altura de transición; la dimensión de esta capa es de unos 300 metros en promedio, aunque a veces puede alcanzar valores de hasta 1 km. Esta

capa, conocida también como la banda brillante, se compone principalmente de nieve y de nieve en fusión.

La región por encima de la altura de transición es una mezcla de hielo y nieve que no produce atenuación importante en frecuencias inferiores a unos 60 GHz. Los cristales de hielo en los cirros y cirrostratos pueden producir valores de reflectividad muy grandes y tienen lugar para porcentajes del año del 1 al 10%, según la región climatológica.

Los perfiles por encima de la transición muestran un descenso con la altura que parece depender del clima. La pendiente justo por encima de la altura de transición varía entre alrededor de 3 y 9 dB/km. Es de esperar que la pendiente aumente para alturas mayores.

Es de esperar que la altura de transición se halle estrechamente relacionada con la altura isotérmica 0º C, que depende de la latitud, del clima, y de la estación. Para la precipitación estratiforme se ha observado que la variación estacional de esta altura guarda una correlación con la temperatura del suelo [30].

#### **Variación vertical de la atenuación específica**

La información sobre la variación vertical de la reflectividad puede utilizarse para determinar la variación vertical de la atenuación específica, una vez que esté adecuadamente determinada la altura de la fase de agregación de las partículas de precipitación.

Para la precipitación estratiforme, ello conduce al modelo de tres regiones distintas, cada una de las cuales contiene partículas de precipitación en fase de agregación homogénea. La primera región, que va desde el suelo hasta la altura inmediatamente inferior a la de transición, contiene únicamente partículas líquidas y en ella la atenuación específica es independiente de la altura. La segunda región es una capa estrecha, de unos 300 metros, alrededor de la altura de transición y contiene principalmente partículas de nieve en fusión, y su contribución a la atenuación puede

no ser despreciable debido a la gran atenuación específica de la nieve húmeda. La tercera región se encuentra por encima de la altura de transición; contiene únicamente hielo y nieve, y contribuye poco a la atenuación a frecuencias inferiores a 60 GHz.

El valor de la altura de transición de la precipitación estratiforme se acerca al valor de la altura isotérmica de 0° C de la atmósfera, pues en este tipo de precipitación los desplazamientos verticales del aire son pequeños.

Para la precipitación fuertemente convectiva, la situación es mucho más compleja. Se producen intensos movimientos verticales del aire que dan lugar a la mezcla en gran escala de distintos tipos de partículas; por ejemplo, se sabe que en algunas células convectivas pueden encontrarse gotas de lluvia superfrías muy por encima de la altura isotérmica de 0° C. No obstante, en una primera aproximación, puede tomarse la altura isotérmica de 0° C como la altura que separa la región que contiene únicamente partículas líquidas (en la que el valor de la atenuación específica es independiente de la altura), y la región por encima de ésta, que contiene únicamente partículas de hielo y nieve cuya contribución a la atenuación es despreciable.

#### Altura isotérmica de 0° C y la altura de la lluvia

Tal como se vio en el punto anterior, a menudo se supone que la altura de la transición entre la parte inferior de la atmósfera que contiene únicamente partículas líquidas y la parte superior que contiene únicamente partículas en congelación, es idéntica a la altura de la isoterma de 0° C. Generalmente, la altura isotérmica puede variar con el tiempo. Como primera indicación del valor de esta altura pueden utilizarse valores promedio, de los cuales se definen los siguientes:

$h_{FS}$ : valor medio de la altura isotérmica de 0° C en los meses de verano.

$h_{FR}$ : valor medio de la altura isotérmica de 0° C en condiciones de lluvia.

La selección adecuada de los eventos se realiza en función de los umbrales apropiados de intensidad de las precipitaciones, lo que puede llevar en teoría a un

valor dependiente de la intensidad de las precipitaciones o de su probabilidad. No obstante, para valores de la intensidad de las precipitaciones correspondientes a porcentajes de tiempo de 0.1 a 0.001% esta dependencia es muy débil.

Otro parámetro de la altura referido a la lluvia es:

$h_R$ : altura aparente de la lluvia para la previsión de la atenuación debida a la lluvia.

Este parámetro da el análisis de los datos de atenuación media equiprobable y de intensidad puntual de las precipitaciones en el marco de un modelo elegido. En el caso ideal, si el modelo simple de estructura vertical y horizontal de las precipitaciones utilizado para la predicción de atenuación es válido,  $h_R \approx h_{FR}$ .

Una estimación provisional de la dependencia de  $h_{FR}$  respecto de la latitud es:

$$h_{FR}(\text{km}) = \begin{cases} 4.0 & \text{para } 0 < \varphi < 36^\circ \\ 4.0 - 0.075(\varphi - 36) & \text{para } \varphi \geq 36^\circ \end{cases} \quad 3.3$$

donde  $\varphi$  es la latitud (grados).

El valor de  $h_{FR}$  para la región tropical se estima suponiendo una temperatura media de la superficie durante la lluvia de  $25^\circ\text{C}$  y un gradiente vertical adiabático saturado de unos  $6^\circ\text{C}/\text{km}$ . Para las latitudes más elevadas, los valores de  $h_{FR}$  se estimaron a partir de datos obtenidos en emplazamientos del hemisferio Norte en donde las lluvias más importantes se producen en verano. También puede preverse una desviación considerable del valor de  $h_{FR}$  si la estación de lluvias importante difiere mucho de la del verano.

Uno de los modelos geofísicos de atenuación causada por la lluvia [31], indica que la isoterma de  $0^\circ\text{C}$  corresponde a la altura de la lluvia excedida durante el 1% del tiempo y que la isoterma de  $-5^\circ\text{C}$  corresponde a la altura de la lluvia excedida durante el 0.001% del tiempo.

### 3.4.2 MICROESTRUCTURA DE LA LLUVIA

Las distribuciones de tamaño, forma y orientación de las gotas de lluvia pueden variar dentro de una tormenta. Algunas observaciones muestran que como medida, la distribución del tamaño de gotas es relativamente estable, variando fundamentalmente con la intensidad de la precipitación.

#### 3.4.2.1 Distribución del tamaño de las gotas

Muchos investigadores han estudiado la distribución del tamaño de las gotas como una función de la razón de lluvia y del tipo de la actividad de tormenta. Las tres distribuciones usadas más comúnmente son:

- Laws and Parsons (LP)
- Marsall-Palmer (MP)
- Joss-thunderdtom (J-T) and drizzle (J-D)

La distribución de Laws y Parsons [32], se ha mostrado útil en la estimación de la atenuación y de las propiedades de dispersión de la lluvia hasta frecuencias de 40 GHz aproximadamente. Las concentraciones relativas de pequeñas gotas con diámetros inferiores a 0.5 mm no se ajustan al modelo de distribución de Laws y Parsons y algunas veces se hace uso de la distribución de Marshal-Palmer [33], para remediar el efecto. La concentración relativa de pequeñas gotas puede variar fuertemente y la utilización de un modelo único de distribución puede no ser adecuado para todos los lugares.

En general la distribución Laws & Parsons se usa para propósitos de diseño porque ha sido ampliamente probada comparándola con mediciones de razones de lluvia alta y baja. En un régimen de razón de lluvia mayor a 25 mm/h y a una frecuencia arriba de 10 GHz, los valores LP dan atenuaciones de lluvia específica más altas que los valores J-T de Joss [34].

La distribución de Joss difiere de las demás en que está especificada generalmente para dos tipos de lluvia: Lluvia de tormenta o convectiva y llovizna.

Para las intensidades de lluvia elevadas de más importancia en el diseño de los sistemas de comunicaciones, y a frecuencias superiores de 10 GHz, la distribución de Laws y Parsons da atenuaciones específicas superiores a los de la distribución de Joss para las lluvias de tormenta. Por otra parte, la distribución de Joss para la llovizna da atenuaciones específicas mayores para intensidades de lluvia bajas y para estas frecuencias elevadas.

### 3.4.2.2 Forma y orientación de los hidrometeoros

Las gotas que caen asumen una forma realmente esférica cuando están sujetas solamente a los efectos de la gravedad y de la tensión de la superficie del agua. La fuerza de gravedad proporciona la fuerza principal de orientación para las gotas de lluvia. Las gotas pueden vibrar y oscilar mientras caen pero la forma neta es esférica aplastada con el eje de simetría casi vertical. Fuerzas horizontales debidas a gradientes verticales del viento pueden hacer que la orientación media se incline unos grados. Pruppacher y Pitter [35], establecieron un modelo de la forma de las gotas en función de su tamaño., las observaciones en la atmósfera tienden a demostrar relaciones axiales más pequeñas que las calculadas por el modelo para las gotas del mismo volumen.

### 3.4.2.3 Velocidad terminal

Gunn y Kinzer [36] registraron las velocidades terminales de las gotas de lluvia en función del tamaño de las gotas. Las mediciones se efectuaron en condiciones de calma en el laboratorio, pero se han supuesto para aplicarse en la atmósfera. Las velocidades de las gotas dependen de la densidad del aire y, por lo tanto, son una función de la altura. Las observaciones con radares muestran que, por término medio, el valor de reflectividad varía poco con la altura por debajo de la altura de lluvia. Por consiguiente, el número y tamaño de las gotas y el contenido de agua líquida en un volumen de gotas varía poco con la altura. Como la velocidad terminal depende de la altura, el flujo de agua líquida o índice de pluviosidad depende consecuentemente de la altura. Como la atenuación específica depende principalmente del contenido de

agua líquida, la atenuación específica varía poco con la altura por debajo de la altura de lluvia.

#### **3.4.2.4 Temperatura de las gotas de lluvia**

Las gotas de lluvia que caen tienen una temperatura que se aproxima a la temperatura de la ampolla del termómetro húmedo para la temperatura, presión y humedad del aire circundante. Pueden existir pequeñas gotas de lluvia a temperaturas por debajo de los  $0^{\circ}\text{C}$ , especialmente en regiones de corrientes ascendentes de tormentas convectivas y en nieblas muy frías. Las mezclas de hielo y agua pueden existir también en regiones de corrientes descendentes por debajo de la altura isotérmica de  $0^{\circ}\text{C}$ . Por término medio, el número significativo de gotas de gran tamaño de agua líquida que contribuyen a la atenuación debida a la lluvia se observan entre la altura isotérmica de  $0^{\circ}\text{C}$  y la superficie.

### **3.4.3 CARACTERÍSTICAS ESTADÍSTICAS DE LA INTENSIDAD DE LLUVIA EN UN PUNTO**

#### **3.4.3.1 Distribución acumulativa de la intensidad de lluvia**

Las mediciones efectuadas con pluviómetros de respuesta rápida indican que las lluvias de gran intensidad tienden a concentrarse en períodos de tiempo breves, normalmente unos cuantos minutos. Por lo tanto, las distribuciones acumulativas experimentales de la intensidad de lluvia dependen del tiempo de integración empleado. Los valores acumulativos mensuales, diarios y en algunos casos, horarios de las precipitaciones en forma de lluvia, que se consiguen fácilmente en las publicaciones de los diversos servicios meteorológicos, no pueden utilizarse directamente para obtener distribuciones acumulativas de intensidad de lluvia durante pequeños porcentajes de tiempo.

Siempre que existan datos apropiados sobre intensidad de lluvia en una localidad determinada, convendrá utilizarlos para determinar la distribución acumulativa correspondiente. En ausencia de esa información, pueden emplearse los

datos extrapolados por algunos autores como los propuestos por el UIT-R mostrados en la tabla 3.1 y figura 3.6.

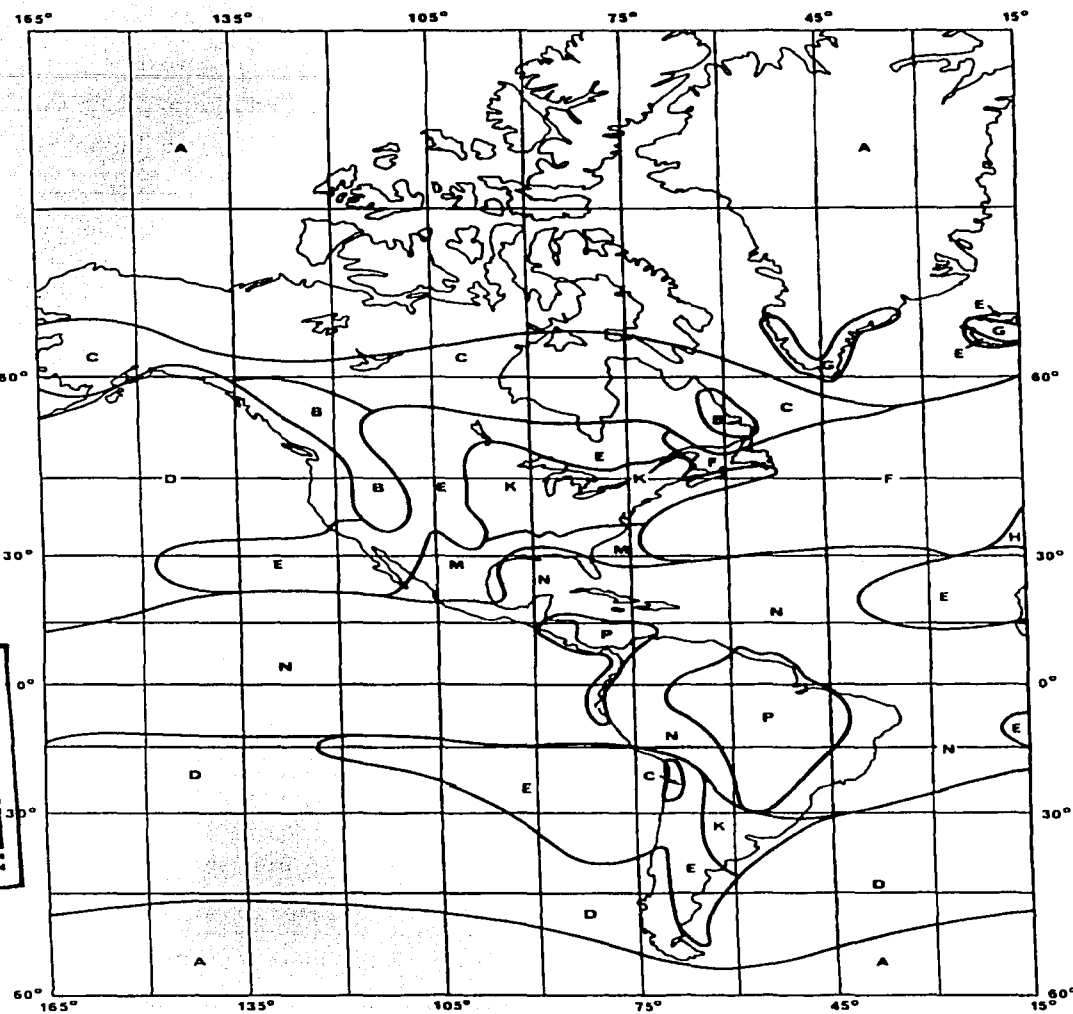


Figura 3.6 Mapa de zonas de lluvia (UIT-R)

Porcentaje de tiempo (%)	A	B	C	D	E	F	G	H	J	K	L	M	N	P
1.0	<0.5	1	2	3	1	2	3	2	8	2	2	4	5	12
0.3	1	2	3	5	3	4	7	4	13	6	7	11	15	34
0.1	2	3	5	8	6	8	12	10	20	12	15	22	35	65
0.03	5	6	9	13	12	15	20	18	28	23	33	40	65	105
0.01	8	12	15	19	22	28	30	32	35	42	60	63	95	145
0.003	14	21	26	29	41	54	45	55	45	70	105	95	140	200
0.001	22	32	42	42	70	78	65	83	55	100	150	120	180	250

Tabla 3.1 Zonas de lluvia y precipitación pluvial según UTT-R

Los datos presentados en la figura 3.6 y en la tabla 3.1 identifican diversas zonas hidrometeorológicas. Son de fácil empleo y su uso es sugerido en los casos que no se cuenta con datos propios en la localidad. Las distribuciones acumulativas medias que se presentan en la tabla se fundan en los mejores datos actualmente disponibles. En la práctica, la transición en el comportamiento de la lluvia entre una zona y la siguiente no será abrupta. Las distribuciones acumulativas de la intensidad de lluvia variarán entre una localidad y otra, dentro de una zona determinada, y pueden variar considerablemente de un año a otro.

#### 3.4.3.2 Conversión de la distribución de la intensidad de lluvia en estadísticas equivalentes referidas a 1 minuto

Teniendo en cuenta el carácter rápidamente variable de la precipitación en cualquier punto, la distribución acumulativa de la intensidad de lluvia observada dependerá del tiempo eficaz de muestreo del pluviómetro.

A los efectos de convertir los datos obtenidos con un pluviómetro que tenga un tiempo de integración de minutos en estadísticas equivalentes de 1 minuto se puede definir un factor de conversión  $\rho_t$  [37].

$$\rho_t(P) = R_i(P)/R_r(P)$$

3.4

donde  $R_i$  y  $R_r$  son los índices de intensidad de lluvia excedidos con igual probabilidad,  $P$ , durante los tiempos de integración.

### 3.4.3.3 Modelos para la distribución de la intensidad de lluvia

Las lluvias de gran intensidad son difíciles de registrar y medir experimentalmente y además son sumamente variables de un año a otro. Sin embargo, para el diseño de sistemas, las intensidades de lluvia máximas suelen ser de gran interés y es conveniente disponer de un modelo matemático adecuado para la distribución.

Con intensidades de lluvia medias que permiten hacer mediciones exactas, su distribución acumulativa puede aproximarse adecuadamente mediante una ley log-normal. La gama para la que esta relación puede suponerse válida depende ligeramente de la región climatológica, pero típicamente se extiende de 2 mm/h a unos 50 mm/h. La desviación típica de esta distribución está influida considerablemente por el tiempo de integración empleado en el muestreo y análisis de los datos.

Aunque la ley log-normal de distribución parece proporcionar la mejor aproximación en el caso de intensidades de lluvia bajas, los estudios efectuados sobre mediciones realizadas en Canadá indican que, para tiempos de integración cortos, una relación de ley exponencial permite aproximar satisfactoriamente la distribución acumulativa total más allá de unos 5 mm/h.

Se ha propuesto también como aproximación de la distribución de las intensidades de lluvia la función gamma, aunque esta función no parece ser aplicable generalmente en muchas regiones climatológicas. Un análisis reciente indica que la distribución de la intensidad de la lluvia se describe mejor mediante un modelo que se aproxima a una distribución log-normal para intensidades de lluvia pequeñas y presenta una distribución gamma para grandes intensidades de lluvia.

Este modelo puede expresarse por la ecuación:

$$P(R \geq r) = \frac{ae^{-ur}}{r^b} \quad r \geq 2 \text{ mm/h} \quad 3.5$$

donde  $a$  y  $b$  se derivan de la intensidad de lluvia excedida durante el 0.01% del tiempo.  $R$  es la razón de lluvia.

Los valores:

$$\begin{aligned} a &= 10^{-4} R_{0.01}^b \exp(uR_{0.01}) \\ b &= 8.22R_{0.01}^{-0.584} \\ u &= 2.5 \times 10^{-2} \end{aligned} \quad 3.6$$

proporcionan un buen ajuste a las distribuciones observadas en la mayoría de los emplazamientos.

#### 3.4.3.4 Estadísticas de la duración de las lluvias

La distribución estadística de la duración de las lluvias que exceden umbrales preestablecidos es también de interés para prever la fiabilidad de las comunicaciones. Estudios realizados en Japón, Francia e Italia indican que esta distribución es aproximadamente log-normal. Mediciones realizadas en Italia y Grecia indican que las duraciones medianas de las lluvias son aproximadamente inversamente proporcionales a los valores de umbral de la intensidad de lluvia [24].

### 3.5 ATENUACIÓN ESPECÍFICA

La lluvia produce absorción y dispersión de las ondas radioeléctricas. Estos efectos se combinan para producir atenuación. Aunque todas las frecuencias están sometidas a estos efectos, la atenuación sólo es importante en frecuencias superiores a varios gigahertz y para porcentajes de tiempo en los que la precipitación es intensa.

Suponiendo que las gotas son esféricas, puede relacionarse la atenuación específica producida por la lluvia  $\gamma_R$  (dB/km) a una frecuencia determinada y para la intensidad de lluvia  $R$  (mm/h), conociendo: el índice complejo de refracción del agua

a la temperatura de las gotas de lluvia, la velocidad terminal y la distribución del tamaño de las gotas de lluvia.

Los cálculos de la atenuación específica en una frecuencia dada en función de la intensidad de la lluvia dependen considerablemente de la microestructura supuesta de la lluvia (distribución del tamaño, temperatura, velocidad terminal y forma de las gotas de lluvia).

La distribución del tamaño de las gotas de lluvia de Laws y Parsons es la más corrientemente utilizada para calcular la atenuación específica, y ha sido objeto de muchas pruebas. Se basa en mediciones para intensidades de lluvia de hasta 50 mm/h, pero puede extrapolarse para intensidades superiores. También se han empleado para los cálculos de la atenuación específica otras distribuciones del tamaño de las gotas representadas por una función exponencial negativa tales como las de Marshall- Palmer, y Joss. La distribución de Joss difiere de las demás en que esta especificada generalmente para dos tipos de lluvia: Lluvia de tormenta ó convectiva y llovizna. Para las intensidades de lluvia elevadas de más importancia en el diseño de los sistemas de comunicaciones, y a frecuencias superiores de 10 GHz, la distribución de Laws y Parsons da atenuaciones específicas superiores a los de la distribución de Joss para las lluvias de tormenta. Esta diferencia es específicamente grande a frecuencias superiores a 100 GHz.

Por otra parte, la distribución de Joss para la llovizna da atenuaciones específicas mayores para intensidades de lluvia baja y para estas frecuencias elevadas. Las variaciones de temperatura de las gotas con respecto al valor supuesto sólo tienen importancia en frecuencias inferiores a 20 GHz y pueden ser causa de divergencias.

A causa de la forma no esférica de las gotas de lluvia, las ondas con polarización horizontal sufren una atenuación superior a las polarizadas verticalmente. Las atenuaciones específicas para polarizaciones vertical y horizontal y frecuencias de

hasta 100 GHz pueden obtenerse mediante cálculos extensos que tienen en cuenta la forma no esférica de las gotas de lluvia [38].

Para las aplicaciones prácticas, puede hallarse aproximadamente la relación entre el coeficiente de atenuación  $\gamma_R$  (dB/km) y la intensidad de lluvia R (mm/h) para una frecuencia determinada, mediante la ley exponencial [39]

$$\gamma_R = kR^\alpha$$

FALLA DE ORIGEN

3.7

En el supuesto de que las gotas sean esféricas, Olsen calculó los valores de  $k$  y  $\alpha$  correspondientes a varias frecuencias entre 1 y 1000 GHz para diversas temperaturas de las gotas de lluvia y distribuciones del tamaño de las gotas; en la tabla 3.2 se muestran tales cálculos para una temperatura de lluvia de 0°C, la cual ha resultado ser la más aplicable en E.U. y Canadá.

FREC (GHz)	k					$\alpha$				
	LP <sub>L</sub>	LP <sub>H</sub>	MP	J-T	J-D	LP <sub>L</sub>	LP <sub>H</sub>	MP	J-T	J-D
10	1.17x10 <sup>-2</sup>	1.14x10 <sup>-2</sup>	1.36x10 <sup>-2</sup>	1.69x10 <sup>-2</sup>	1.14x10 <sup>-2</sup>	1.178	1.189	1.150	1.076	0.968
11	1.50x10 <sup>-2</sup>	1.52x10 <sup>-2</sup>	1.73x10 <sup>-2</sup>	2.12x10 <sup>-2</sup>	1.41x10 <sup>-2</sup>	1.171	1.167	1.143	1.065	0.977
12	1.86x10 <sup>-2</sup>	1.96x10 <sup>-2</sup>	2.15x10 <sup>-2</sup>	2.62x10 <sup>-2</sup>	1.72x10 <sup>-2</sup>	1.162	1.150	1.136	1.052	0.985
15	3.21x10 <sup>-2</sup>	3.47x10 <sup>-2</sup>	3.68x10 <sup>-2</sup>	4.66x10 <sup>-2</sup>	2.82x10 <sup>-2</sup>	1.142	1.119	1.118	1.010	1.003
19.04	5.59x10 <sup>-2</sup>	6.24x10 <sup>-2</sup>	6.42x10 <sup>-2</sup>	8.68x10 <sup>-2</sup>	4.76x10 <sup>-2</sup>	1.123	1.091	1.001	0.957	1.017
19.3	5.77x10 <sup>-2</sup>	6.46x10 <sup>-2</sup>	6.62x10 <sup>-2</sup>	8.99x10 <sup>-2</sup>	4.90x10 <sup>-2</sup>	1.122	1.089	1.100	0.954	1.018
20	6.26x10 <sup>-2</sup>	7.09x10 <sup>-2</sup>	7.19x10 <sup>-2</sup>	9.83x10 <sup>-2</sup>	5.30x10 <sup>-2</sup>	1.119	1.083	1.097	0.946	1.020

Tabla 3.2 Coeficientes  $k$  y  $\alpha$  para una temperatura de lluvia 0°C

LP<sub>L</sub> y LP<sub>H</sub> se refieren a las distribuciones Laws y Parsons asociadas a razones de lluvia de 1.27 a 50.8 mm/h y 25.4 a 152.4 mm/h respectivamente, MP se refiere a la distribución Marsall-Palmer. Joss-thunderdrom (J-T) y drizzle (J-D) se refieren a las distribuciones de Joss para tormentas y llovizna respectivamente.

También se han calculado los valores de  $k$  y  $\alpha$  para una distribución de Laws y Parsons del tamaño de las gotas de lluvia y una temperatura de las gotas de 20°C,

suponiendo que las gotas tengan forma de esferoides achataados y estén alineadas, con un eje de rotación vertical y dimensiones relacionadas con las gotas esféricas de igual volumen. Estos valores que son apropiados para la polarización horizontal y vertical, se presentan en la tabla 3.3 (designados  $k_H$ ,  $\alpha_H$ ,  $k_V$  y  $\alpha_V$ ). Los valores  $k$  y  $\alpha$  a frecuencias diferentes de las indicadas en la tabla pueden obtenerse mediante interpolación utilizando una escala logarítmica para la frecuencia y para  $k$  y una escala lineal para  $\alpha$ .

### MÉTODO 30 AÑOS

Para la polarización lineal y circular, los coeficientes de la ecuación 3.7, pueden calcularse mediante los valores de la tabla 3.3 utilizando las ecuaciones aproximadas siguientes:

**TESIS CON  
FALLA DE ORIGEN**

$$k = \frac{k_H + k_V + (k_H - k_V) \cos^2 \theta \cos 2\tau}{2} \quad 3.8$$

$$\alpha = \frac{k_H \alpha_H + k_V \alpha_V + (k_H \alpha_H - k_V \alpha_V) \cos^2 \theta \cos 2\tau}{2k}$$

donde  $\theta$  es el ángulo de elevación del trayecto y  $\tau$  es el ángulo de inclinación de la polarización con respecto a la horizontal ( $\tau = 45^\circ$  para la polarización circular).

Frecuencia GHz	$k_H$	$k_V$	$\alpha_H$	$\alpha_V$
1	0.0000387	0.0000352	0.912	0.880
2	0.000154	0.000138	0.963	0.923
4	0.000650	0.000591	1.121	1.075
6	0.00175	0.00155	1.308	1.265
7	0.00301	0.00265	1.332	1.312
8	0.00454	0.00395	1.327	1.310
10	0.0101	0.00887	1.276	1.264
12	0.0188	0.0168	1.217	1.200
15	0.0367	0.0335	1.154	1.128
20	0.0751	0.0691	1.099	1.065

Tabla 3.3 Coeficientes de regresión para estimar el valor de la atenuación específica

### 3.6 PREDICCIONES DE LA ATENUACIÓN PRODUCIDA POR LA LLUVIA EN TRAYECTOS TERRESTRES, REALIZADAS A PARTIR DE DATOS SOBRE LA INTENSIDAD DE PRECIPITACIÓN

#### 3.6.1 ESTADÍSTICAS SOBRE UN SOLO TRAYECTO

La atenuación producida por la lluvia en un trayecto puede calcularse integrando la atenuación específica a lo largo de todo el trayecto, si se conoce el comportamiento de la intensidad de precipitación en dicho trayecto.

Dada la considerable variabilidad de las estadísticas de atenuación en diferentes años y distintas localidades, parece muy prometedora la posibilidad de obtener esas estadísticas a partir de datos meteorológicos a largo plazo.

Se han supuesto varios métodos para producir estadísticas de atenuación producida por la lluvia, a partir de las mediciones de la intensidad de lluvia cerca del trayecto. Todos estos métodos utilizan la relación entre la atenuación específica y la intensidad de lluvia que se examina en el punto precedente, y que depende de la microestructura de la lluvia. Las principales diferencias en los métodos residen en los modelos utilizados para describir la estructura espacial-temporal de la intensidad de lluvia.

El método de tormenta sintética genera las estadísticas de atenuación convirtiendo los perfiles de intensidad de lluvia/tiempo, registrados en un punto, en perfiles intensidad de lluvia/distancia, utilizando la velocidad de traslación de la célula de lluvia, que se calcula bastante bien sobre la base de la velocidad del viento determinada al nivel de 700 mb mediante una radiosonda convencional. Aunque este método requiere una base de datos muy detallada, representa una técnica con un alto grado de realismo físico. Por tanto, es posible utilizar esta técnica para investigar

otras características de la atenuación, como estadísticas de la duración, métodos de escala de frecuencias y conversión de la longitud efectiva del trayecto. Todos los demás métodos utilizan la distribución acumulativa del índice de lluvia medido en un punto [40]. Un método deriva el perfil estadístico de la lluvia a lo largo del trayecto sobre la base de una sola célula de lluvia en forma adecuada. Este método ha sido cuidadosamente probado con datos europeos y ha dado resultados satisfactorios. En una ampliación reciente de este método, se ha sustituido el concepto de una sola célula de lluvia por una distribución estadística de los tamaños de las células de lluvia, lo que parece eliminar la sensibilidad del modelo a la aproximación logarítmico-normal de distribución de la intensidad de la lluvia.

Otros métodos caracterizan el perfil estadístico de la lluvia sencillamente mediante un coeficiente de reducción que puede derivarse de la función de autocorrelación espacial de la lluvia o de mediciones basadas en pluviómetros de respuesta rápida distribuidos a lo largo de una línea, o, finalmente, de una ley semiempírica. La multiplicación del índice de lluvia en un punto por este coeficiente de reducción da el índice medio equivalente de lluvia en el trayecto.

Otro procedimiento consiste en aplicar el coeficiente de reducción a la longitud real del trayecto, lo que da una longitud equivalente en la que puede suponerse que la intensidad de lluvia es constante. Un método de este tipo [40], supone que la distribución de la atenuación presenta una pendiente constante y requiere sólo el coeficiente de reducción durante el 0.01% del tiempo. En sentido estricto, este coeficiente de reducción de cualquier manera que se aplique, es una función del índice de lluvia, de la probabilidad, de la frecuencia, de la longitud del trayecto y del clima. Los diversos modelos mencionados anteriormente suponen una dependencia simple de uno o dos parámetros solamente. Si, no obstante, la distribución acumulativa a largo plazo del índice de lluvia se conoce en forma segura, se considera más conveniente utilizarlo plenamente y predecir la atenuación causada por la lluvia.

tomando como base los índices de lluvia que se rebasan para las fracciones de tiempo de interés [41].

Si se requieren predicciones para porcentajes de tiempo que rebasen aproximadamente el 0.1% hay que tener presente que las mediciones de la intensidad de lluvia tienden a ser cada vez menos precisas a medida que disminuye la intensidad de lluvia. En particular, la atenuación causada por los gases puede ser no despreciable en estos porcentajes de tiempo y se tiene que agregar a la predicción causada por la lluvia.

### 3.6.2 ESTADÍSTICAS SOBRE DIVERSIDAD DE TRAYECTOS

La diversidad de trayectos parece ser un medio efectivo de aumentar la longitud máxima de un enlace alcanzando a la vez los objetivos de disponibilidad fijados con anterioridad. Sin embargo, dada la complejidad del problema, las técnicas para predecir las estadísticas de atenuación conjunta de trayectos en tandem se hallan todavía en fase inicial de desarrollo. Se ha utilizado la técnica de tormenta sintética, examinada en el punto precedente, cuando se dispone de los necesarios antecedentes de la intensidad de la lluvia en el tiempo. Se requiere más información sobre la estructura estadística de la intensidad de la lluvia en una zona para desarrollar modelos que permitan predecir la mejora de la diversidad de trayectos a partir de estadísticas de la intensidad de la lluvia en un punto.

### 3.7 PREDICCIONES DE ATENUACIÓN DEBIDA A LA LLUVIA EN TRAYECTOS TIERRA-ESPACIO A PARTIR DE DATOS SOBRE LA INTENSIDAD DE LA PRECIPITACIÓN EN FORMA DE LLUVIA

#### 3.7.1 ESTADÍSTICAS SOBRE UN SOLO EMPLAZAMIENTO

Igual que sucede en el caso de los trayectos terrestres, parece muy deseable la posibilidad de deducir estadísticas de atenuación en el trayecto a partir de datos meteorológicos a largo plazo. Sin embargo, teniendo en cuenta que está implicada la estructura vertical de la precipitación a demás de la estructura horizontal, el problema es bastante más complejo.

A fin de tener en cuenta la estructura vertical, se han investigado varias técnicas basadas en datos distintos a las distribuciones de la atenuación y de la intensidad de la lluvia. Algunas de estas técnicas [31] y [40], son ampliaciones de las desarrolladas para los trayectos terrestres. Otras, estrictamente derivadas de trayectos tierra-espacio, parten del supuesto de modelos estadísticos para los perfiles verticales del contenido de agua líquida [42], o de la intensidad de lluvia [43]. En todos estos métodos se incluye una estimación de la altura de la lluvia, basada habitualmente en la altura isotérmica de 0°C. En uno de los métodos [31], la altura de la lluvia está descrita dependiendo de la latitud y de la probabilidad de aparición. En éste y otros métodos [40], [41], se supone que la estructura de la lluvia es constante desde la superficie hasta la altura de la lluvia.

En un método propuesto para calcular las estadísticas de atenuación en más del 1% del tiempo, se calculan las estadísticas de la intensidad de la lluvia para este porcentaje de tiempo a partir de una relación empírica entre la precipitación total anual y la altura de la lluvia, basándose en una relación empírica con la temperatura en la superficie.

**3.7.2 ESTADÍSTICAS SOBRE DIVERSIDAD DE EMPLAZAMIENTOS**

Dada la estructura no homogénea de la lluvia en las direcciones horizontal y vertical, un segundo trayecto tierra-espacio paralelo al primero y rebasado por lo menos en varios kilómetros puede estar sometido a una atenuación menor que el primero, reduciéndose de esta manera los requisitos de margen. No obstante, las técnicas de predicción de la atenuación para las configuraciones de diversidad de emplazamientos se hallan en la fase inicial de desarrollo.

**3.7.3 ATENUACIÓN DIFERENCIAL A LO LARGO DE DOS TRAYECTOS QUE TERMINAN EN UNA ESTACIÓN TERRENA**

Se han investigado [44] los efectos conjuntos de la atenuación debida a la lluvia a lo largo de dos trayectos que terminan en una estación terrena, uno de los cuales parte de una estación espacial deseada y el otro de una estación espacial interferente. Para este problema son importantes las estadísticas de la atenuación diferencial, a condición de que la atenuación de la señal deseada sea menor que el margen de desvanecimiento.

## CAPITULO 4

# MODELOS DE PRECIPITACIÓN Y ATENUACIÓN POR LLUVIA

Diversos estudios muestran que un enlace no se ve afectado por la presencia de lluvia a lo largo de toda la trayectoria del mismo ni durante todo el tiempo que dura, por lo que hay que considerar que la lluvia únicamente afecta al enlace durante un período de tiempo finito y a lo largo de un segmento de su trayectoria. Así mismo, la distribución o cantidad de agua durante una tempestad no es uniforme; si la variable es el tiempo, la intensidad se incrementa por momentos, para después disminuir. El mismo fenómeno es observado, si se toma como variable a la altura.

### 4.1 MODELOS PARA LA PREDICCIÓN DE LA ATENUACIÓN DEBIDA A LA LLUVIA

Se han desarrollado modelos para determinar la atenuación que puede sufrir una onda electromagnética al propagarse en cuerpos de agua. Estos modelos toman como parámetros la frecuencia utilizar, la intensidad de la lluvia en la localidad del enlace y la disponibilidad deseada del mismo. En la siguiente tabla se listan algunos de los modelos propuestos para el cálculo de atenuación por lluvia:

MODELO	ORIGEN	NOTAS
UIT-R	INTERNACIONAL	UIT-R Rec P 618-4, 1991
CCIR	INTERNACIONAL	Reporte 564-3, 1986
BRASIL	BRASIL	UIT-R para regiones tropicales
JAPÓN	JAPÓN	UIT-R para bajas disponibilidades
DAH	USA	Actualización del modelo UIT
MODELO RICE-HOLMBERG	USA	Basado en radar
DOS COMPONENTES	USA	Procedimiento matemático complejo.
LEITAO-WATSON	UK	Basado en radar
MISME-WAITDEUFEL	FRANCIA	Extensión de su modelo terrestre 1975
ExCell (Exponential CELL model)	ITALIA	Estimación de atenuación por celdas individuales
SPAIN	ESPAÑA	Para lluvia intensa
SAM (Simple Attenuation Model)	USA	Perfeccionado para simplicidad
GLOBAL DE CRANE	USA	Ampliamente utilizado para la planeación de sistemas
Robert M. Manning	USA	Diseñado para las comunicaciones satelitales del ACTS ( <i>Advanced Communications Technology Satellite</i> )

Tabla 4.1 Modelos propuestos para el cálculo de atenuación por lluvia

Para el estudio del fenómeno diversos investigadores han diseñado modelos que proveen estadísticas de razón de lluvia y modelos de predicción de atenuación por lluvia los cuales usan las estadísticas de razón de lluvia. Entre los modelos más importantes en la actualidad a nivel mundial se encuentran los de Rice-Holmberg, Global-Crane y UIT-R.

En el presente capítulo se tratarán los modelos citados, concluyendo con una tabla comparativa de dichos modelos y sus algoritmos.

## 4.2 MODELO DE RICE-HOLMBERG

Todos los modelos de predicción disponibles para las estadísticas de atenuación por lluvia basan sus predicciones en modelos de distribución de razón de lluvia. El modelo Rice-Holmberg [45] es uno de los últimos, y se basa en datos climatológicos locales, para calcular las estadísticas de probabilidad de excedencia de razón de lluvia.

Los parámetros Rice-Holmberg se tienen escalados en mapas y fueron calculados de:

- Acumulaciones promedios anuales de precipitación pluvial
- Distribuciones en promedios de 15 años con intervalos de registros de 6, 12 y 24 horas
- Número de días con tormenta
- Acumulaciones de precipitación excesiva de duración corta
- Máxima acumulación de precipitación mensual en un período de 30 años

El desarrollo original del modelo fue basado en observaciones de razón de lluvia extrema promediada en 5 minutos y por hora. El mayor problema con este modelo es la incertidumbre en la forma de distribución de razón de lluvia entre 0.001% y 0.1% del año.

### 4.2.1 MODELO MATEMÁTICO

El modelo estadístico se basa en la suma de modos exponenciales individuales de razones de precipitación pluvial, cada uno con una razón promedio característica  $\bar{R}$ , así pues:

$$\text{Precipitación pluvial} = \text{Modo 1 de lluvia} + \text{Modo 2 de lluvia} \quad 4.1$$

donde la distribución exponencial descrita como "Modo 1 de lluvia" corresponde al análisis físico de tormentas, mientras "Modo 2 de lluvia", es toda la demás lluvia.

El promedio de lluvia total anual  $M$  es la suma de contribuciones  $M_1$  y  $M_2$  de los dos modos:

$$M = M_1 + M_2 \quad (\text{mm}) \quad 4.2$$

y la razón de "lluvia de tormenta",  $M_1$ , al total de lluvia  $M$  es definida como:

$$\beta = \frac{M_1}{M} \quad 4.3$$

El número de horas de períodos t-min de lluvia para la cual se excede una razón de precipitación de lluvia puntual superficial  $R$  es la suma de contribuciones de los dos modos:

$$T_t(R) = T_{1t}q_{1t}(R) + T_{2t}q_{2t}(R) \quad (\text{h}) \quad 4.4$$

Los factores  $q_{1t}(R)$  y  $q_{2t}(R)$  son los complementos de las probabilidades de tiempo acumulativas. Esto es, cada factor  $q$  es el tiempo que una razón  $R$  es excedida por Modo 1 y Modo 2 de lluvia dividida por el número total de horas  $T_{1t}$  o  $T_{2t}$ .

Considerando que un año promedio tiene 8766 horas, tenemos que  $\frac{T_t(R)}{8766}$  es el porcentaje "promedio" anual durante el cual razones de precipitación pluvial en promedios t-min, exceden  $R$  mm/h.

Los promedios totales anuales de períodos t-min de precipitación pluvial de los modos 1 y 2 son  $T_{1t}$  y  $T_{2t}$  expresados en h. Los promedios anuales de precipitación pluvial Modo 1 y Modo 2 son:

$$R_{1t} = \frac{M_1}{T_{1t}} \quad (\text{mm/h}) \quad 4.5$$

$$R_{2t} = \frac{M_2}{T_{2t}} \quad (\text{mm/h}) \quad 4.6$$

TESIS CON  
FALLA DE ORIGEN

Es importante notar que  $M_1$  y  $M_2$  no son funciones de  $t$ , dado que la cantidad de precipitación colectada sobre largos períodos de tiempo no depende del intervalo de registro de términos cortos  $t$ . Pero el número total de horas  $T_{1t}$  o  $T_{2t}$  de intervalos de t-min lluviosos (colectando al menos 0.01 en o 0.254 mm de lluvia por intervalo) dependerá de  $t$ .

Para el caso más general donde  $t > 1$  min, se requiere de otro parámetro de predicción además de los dos que han sido definidos como  $M$  y  $\beta$ . Este parámetro adicional es el número de horas  $D$  en  $D/24$  días lluviosos. Las fórmulas propuestas aquí para  $q_{11}(R)$  y  $q_{21}(R)$  asumen que el número de días lluviosos en un promedio anual es:

$$\frac{D}{24} = 1 + \frac{M}{8} \text{ (días lluviosos)} \quad 4.7$$

donde  $D$  está en horas y  $M$  en milímetros.

Para  $t=1$  min, las fórmulas más generales son casi independientes de  $D$ , así que:

$$q_{11}(R) = e^{-R/R_{11}} \quad 4.8$$

$$q_{21}(R) = 0.35e^{-0.453074R/R_{21}} + 0.65e^{-2.857143R/R_{21}} \quad 4.9$$

y el promedio anual Modo 1 y Modo 2 de razones  $R_{11}$  y  $R_{21}$ , son aproximadamente 33.333 y 1.75505 mm/h, respectivamente para  $t=1$  min. Así pues (4.4) puede ser escrita como:

$$T_1(R) = M \{0.03\beta e^{-0-03R} + 0.2(1-\beta)[e^{-0.258R} + 1.86e^{-1.63R}]\} \text{ (h)} \quad 4.10$$

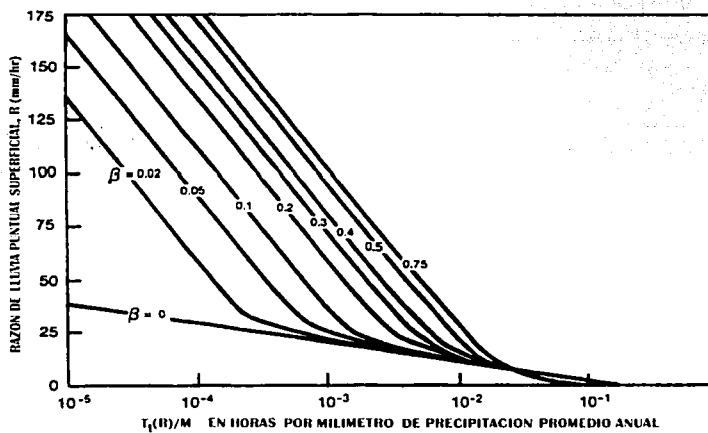
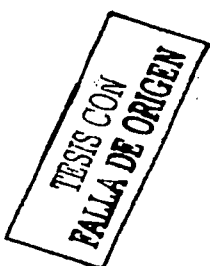


Figura 4.1 Distribuciones de tiempo acumulativas normalizadas

Para estimar  $T_i(R)$  dado  $R$  o para estimar  $R$  dado  $T_i(R)$  es necesario primero referirse a las figuras 4.2 y 4.3 para obtener  $M$  y  $\beta$  respectivamente para el punto de interés.

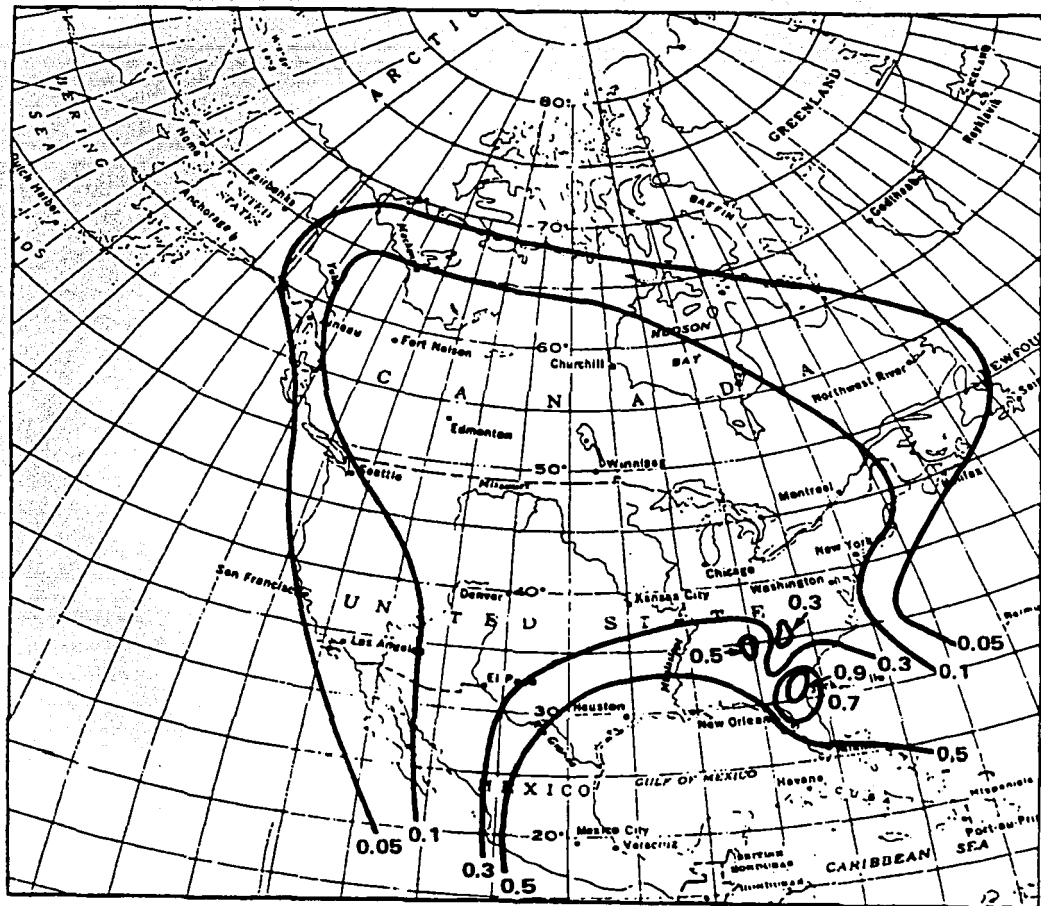


Figura 4.2 Parámetro  $\beta$  para el modelo Rice-Holmberg

Si  $R$  es conocido, entonces  $T(R)/M$  se lee de figura 4.1 para el valor apropiado de  $\beta$  y es multiplicado por  $M$  para estimar  $T_i(R)$ .

**TESIS CON  
FALLA DE ORIGEN**

Si  $T_i(R)$  es conocido, o calculado como 87.66 % del promedio anual para el cual  $R$  es excedido, entonces  $T_i(R)$  se divide primero por  $M$  antes que  $R$  sea leído de la figura 4.1 para el valor apropiado  $\beta$ .

TESIS CON  
FALLA DE ORIGEN

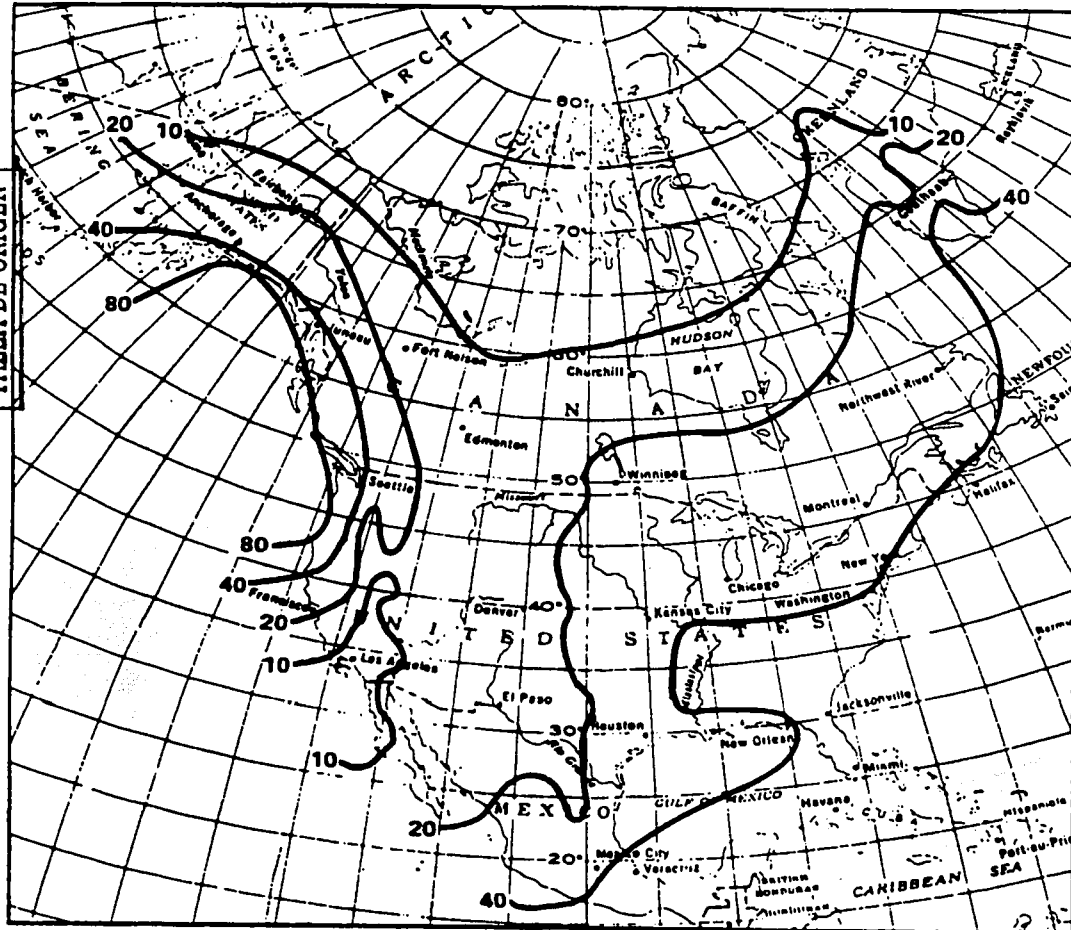


Figura 4.3 Precipitación anual media en pulgadas (Rice-Holmberg)

### 4.3 MODELO UIT-R

El CCIR adoptó un procedimiento para la predicción de atenuación causada por lluvia en su XV asamblea plenaria en 1982.

El procedimiento provee las bases para los cálculos de atenuación por lluvia requeridos para planeación internacional, y actualmente ha tomado el nombre de modelo UIT-R [41].

El modelo UIT-R tiene sus propios parámetros basados en zonas climáticas de lluvia. Este modelo usa mapas de zonas de lluvia y distribuciones de razón de lluvia predefinidas para cada zona y provee las estadísticas de atenuación dados los parámetros de enlace y geográficos.

Para calcular las estadísticas de atenuación debida a la lluvia en trayectos oblicuos en un punto determinado es preciso conocer los parámetros siguientes:

- Frecuencia
- Latitud de la estación terrena
- Altitud sobre el nivel del mar
- Ángulo de elevación al satélite
- Razón de precipitación pluvial puntual en la localidad para el 0.01% de un promedio anual

#### 4.3.1 MÉTODO GENERAL

A continuación se describe el procedimiento que se sigue en el cálculo de atenuación por lluvia siguiendo el modelo UIT-R.

El primer elemento involucra un mapa (ver figura 3.6 y anexo A) de 14 zonas climáticas de lluvia con distribuciones acumulativas de intensidad de precipitación pluvial para cada región específica. Las razones de lluvia se dan para tiempos de excedencia de 0.001 a 1.0%.

**Paso 1:**

El UIT-R asume que la extensión horizontal de la lluvia es coincidente con la altura isotérmica de 0° C, la cual varía con la localidad, época del año, hora del día, etc.

Un valor promedio de la altura isotérmica 0° C se usa en el modelo UIT-R y se obtiene de:

$$h_R = \begin{cases} 4.0 & (\text{km}), \quad \text{para } 0 < \phi < 36^\circ \\ 4.0 - 0.075(\phi - 36) & (\text{km}), \quad \text{para } \phi \geq 36^\circ \end{cases} \quad 4.11$$

donde  $\phi$  es la latitud de la estación terrena.

**Paso 2:**

La longitud de trayectoria inclinada a través de la lluvia  $L_s$  se determina geográficamente del ángulo de elevación ( $\theta$ ) y la altura sobre el nivel del mar ( $h_s$ ).

Para  $\theta \geq 5^\circ$

$$L_s = \frac{h_R - h_s}{\sin \theta} \quad (\text{km}) \quad 4.12$$

Para  $\theta < 5^\circ$

$$L_s = \frac{2(h_R - h_s)}{\left( \sin^2 \theta + \frac{2(h_R - h_s)}{R_e} \right)^{1/2} + \sin \theta} \quad (\text{km}) \quad 4.13$$

**TESIS CON  
FALLA DE ORIGEN**

**Paso 3:**

La longitud de trayectoria proyectada sobre la superficie  $L_G$  se obtiene a partir de la siguiente ecuación:

$$L_G = L_s \cos \theta \quad (\text{km}) \quad 4.14$$

**Paso 4:**

Se aplica un factor de reducción para tomar en cuenta la no-uniformidad horizontal de lluvia para el 0.01% del año. Este factor está dado por:

$$r_{0.01} = \frac{1}{1 + 0.045L_g} \quad 4.15$$

**Paso 5:**

Obtener la intensidad de lluvia  $R_{0.01}$  excedida durante el 0.01% de un año medio.

Si no se puede obtener este dato a partir de fuentes locales, se utiliza el mapa de la figura 3.6 y la tabla 3.1

**TESIS CON  
FALLA DE ORIGEN**

**Paso 6:**

La atenuación específica para 0.01% de un promedio anual se determina de la relación de leyes de potencia:

$$\gamma_R = k(R_{0.01})^\alpha \text{ (dB/km)} \quad 4.16$$

Los coeficientes de la relación en la frecuencia y polarización de interés pueden ser obtenidos de la tabla 3.3

**Paso 7:**

La atenuación excedida para 0.01% de un promedio anual es entonces obtenida de:

$$A_{0.01} = \gamma_R L_s r_{0.01} \text{ (dB)} \quad 4.17$$

**Paso 8:**

La atenuación excedida para otros porcentajes, en un rango de 0.001 a 1, son determinados por:

$$A_p = 0.12 A_{0.01} p^{-(0.546+0.043 \log p)} \quad 4.18$$

## 4.4 MODELO GLOBAL - CRANE

En años recientes se ha hecho énfasis en el establecimiento de técnicas predictivas para la estimación estadística de la distribución de probabilidad de atenuación para una trayectoria particular.

Para la estimación del problema hay dos diferentes enfoques: uno basado únicamente en el uso de un gran número de observaciones de atenuación en diferentes frecuencias, localidades y trayectorias geométricas, y otro basado en la síntesis de valores de atenuación de datos meteorológicos. Actualmente la última es más prometedora, porque se dispone de una amplia base de datos para usarla en la estimación de funciones de distribución requeridas para modelar trayectorias de atenuación.

Para la predicción de atenuación sobre una trayectoria inclinada, se deben modelar las variaciones verticales en la intensidad de lluvia y en estado de hielo o agua. En frecuencias abajo de 60 GHz, la atenuación causada por partículas heladas tales como nieve o cristales de hielo es muy pequeña y puede ser despreciada.

El modelo Global - Crane [31] presentado a continuación puede ser usado sobre trayectorias terrestres o inclinadas. Se basa en observaciones geofísicas de razón de lluvia, estructura de la lluvia, y la variación vertical de la temperatura atmosférica.

### 4.4.1 PREDICCIÓN DE RAZÓN DE LLUVIA PUNTUAL SUPERFICIAL

Dado que no existe teoría para el cálculo de una distribución de razón de lluvia puntual superficial, las distribuciones estimadas son empíricas y deben ser desarrolladas de los datos disponibles de las observaciones de acumulación de lluvia.

#### Modelo regional:

Crane, en el procesamiento de datos de precipitación excesiva de 15 estaciones de Nueva Inglaterra y del este del estado de Nueva York, encontró que la media y la

varianza de los datos obtenidos de 7 años y 15 estaciones fueron estadísticamente idénticos con la media y la varianza para una estación en Boston. La media de razón de lluvia fue 100 mm/h, y la desviación estándar de 35 por ciento para las 15 estaciones muestra y para Boston la media de razón de lluvia fue 91 mm/h y la desviación estándar el 48 por ciento.

Este resultado implica que los mapeos regionales son útiles para la representación de distribuciones de razón de lluvia para su aplicación en localidades diferentes de la estación observadora.

Inicialmente Barry y Chorley [46], definieron 10 regiones climáticas para los EU, las cuales fueron definidas sobre bases de temperatura, altura del terreno, acumulación de lluvia promedio y tipo de vegetación, y no sobre bases de similitud en distribución de razón de lluvia.

Una comparación posterior de las funciones de distribución producidas para cada región climática dio como resultado una reducción del número de regiones climáticas de lluvia requeridas para describir las distribuciones de razón de lluvia, resultando 5 regiones climáticas. Estas regiones climáticas aunque forjadas para los EU, fueron subsecuentemente empleadas para describir regiones climáticas de lluvia del mundo entero.

En el desarrollo de un nuevo modelo global climático de lluvia para su uso en el diseño de sistemas de comunicación, el número de regiones escogidas para representar las variaciones en razones de lluvia fue extendido de 5 a 8 regiones para un mejor énfasis en la variación con la latitud.

El nuevo modelo desarrollado se presenta en las figuras 4.4 y 4.5, como se observa, los Estados Unidos están aún mapeados por 5 regiones, aunque la región D está subdividida en tres subregiones para proveer una interpolación de las supuestas distribuciones de lluvia para describir mejor las variaciones climáticas dentro de la región para aplicaciones de diseño.

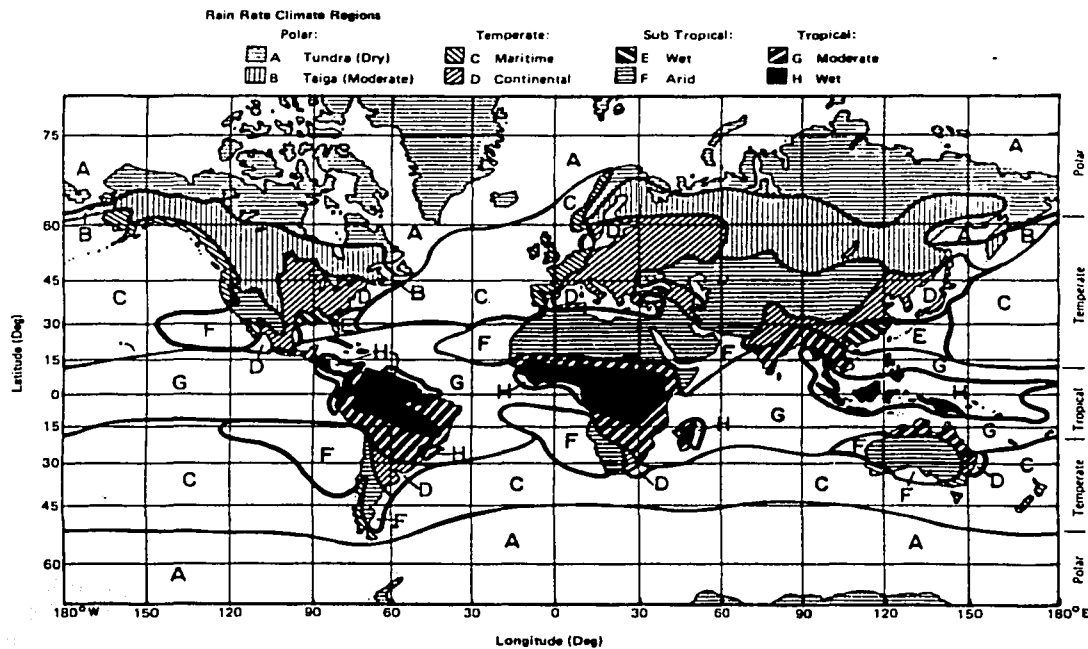


Figura 4.4 Regiones climáticas de razón de lluvia (Global-Crane)



Figura 4.5 Regiones de razón de lluvia en los E.U. y norte de México

Tomando en consideración datos de nubes por satélite, observaciones de razón de lluvias en radiómetros de microondas, y datos de frecuencia de precipitaciones, se logró extender las regiones climáticas de lluvia sobre los océanos.

Las mediciones disponibles de distribuciones de razón de lluvia fueron obtenidas para cada una de las regiones climáticas, y se usaron para obtener la distribución de razón de lluvia media para la región. Las distribuciones resultantes para cada una de las 8 regiones climáticas se describen en la figura 4.6 y en la tabla 4.2

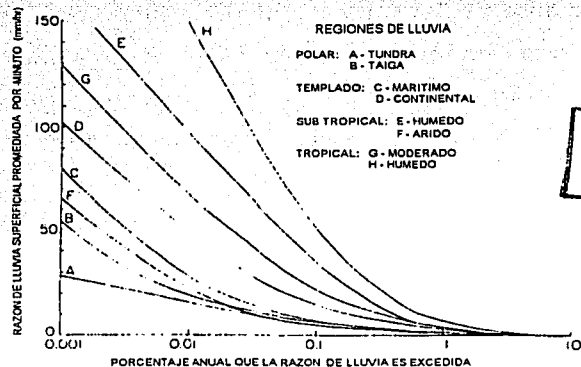


Figura 4.6 Funciones de distribución de precipitación

Porcentaje anual	Regiones climáticas de lluvia									
	A	B	C	D <sub>1</sub>	D <sub>2</sub>	D <sub>3</sub>	E	F	G	H
0.001	28	54	80	90	102	127	164	66	129	251
0.002	24	40	62	72	86	107	144	51	109	220
0.005	19	26	41	50	64	81	117	14	85	178
0.01	15	19	28	37	49	63	98	23	67	147
0.02	12	14	18	27	35	48	77	14	51	115
0.05	8.0	9.5	11	16	22	31	52	8.0	33	77
0.1	5.5	6.8	7.2	11	15	22	35	5.5	22	51
0.2	4.0	4.8	4.8	7.5	9.5	14	21	3.2	14	31
0.5	2.5	2.7	2.8	4.0	5.2	7.0	8.5	1.2	7.0	13
1.0	1.7	1.8	1.9	2.2	3.8	4.0	4.0	0.8	3.7	6.4
2.0	1.1	1.2	1.2	1.3	1.8	2.5	2.0	0.4	1.6	2.8
Número de estaciones de datos	0	25	44	15	99	18	12	20	2	11

Tabla 4.2 Distribuciones de precipitación vs. porcentaje anual en que es excedida

La región D, como un resultado de los refinamientos usados para preparar las distribuciones finales, mapea un gran número de razones de lluvia en una excedencia de probabilidad dada. Para su aplicación dentro de México, la región D está limitada por la región G en el sureste y por las regiones E y F al norte y oeste.

Son posibles posteriores subdivisiones, pero dependen de la disponibilidad de datos de razón de lluvia adecuados y de un mejor entendimiento de los efectos locales del terreno, y de los tipos de tormentas regionales y movimientos.

El modelo climático de lluvia resultante provee datos de distribución de razón de lluvia necesarios para la estimación de la atenuación. Las regiones fueron escogidas para mapear áreas con variaciones en los valores de distribución de razón de lluvia aproximadamente idénticos año a año y localidad a localidad.

#### **4.4.2 PREDICCIÓN DE RAZÓN DE LLUVIA Y ATENUACIÓN ESPECÍFICA A LO LARGO DE UNA TRAYECTORIA DE PROPAGACIÓN**

Un modelo para la predicción de razón de lluvia puntual superficial es únicamente el primer paso en el desarrollo del modelo para la predicción de atenuación. La lluvia es característicamente inhomogénea en el plano horizontal y se requiere de un modelo estadístico para proveer una estimación del efecto de inhomogeneidad sobre la estimación de la atenuación.

Los parámetros del fluido dinámico usados para caracterizar el flujo son débilmente dependientes del clima; por lo tanto, la estructura horizontal de lluvia podría no depender de la región climática. De ahí que, datos sobre el tamaño de célula de lluvia, espaciamiento y la variación condicional punto a trayectoria en razón de lluvia, puedan ser obtenidos de diferentes localidades geográficas y regiones climáticas de lluvia. Crane contó con datos en un número limitado de localidades obtenidos de una línea de mediciones a lo largo de una trayectoria y los analizó para proveer una relación condicional punto a trayectoria para longitudes de 5, 10 y 22.5 km.

La razón de lluvia de trayectoria promedio fue graficada contra la razón de lluvia puntual superficial para igual excedencia de probabilidad. La razón de lluvia superficial fue usada como la variable independiente, porque los valores de razón de lluvia son una mejor medida de la intensidad de lluvia cuando los datos son obtenidos de varias regiones climáticas. El valor de trayectoria promedio se expresa como un factor de trayectoria promedio efectiva  $r$ , donde:

$$r = \frac{R}{R_p}$$

TESIS CON  
FALLA DE ORIGEN

4.19

donde  $\bar{R}$  es la razón de lluvia de trayectoria promedio y  $R_p$  es la razón de lluvia puntual superficial.

Asumiendo independencia entre las razones anteriores, el valor de razón de lluvia de trayectoria integrada ( $\bar{R}D$ ) para una trayectoria de longitud  $D_2$ , es igual al valor para una trayectoria de longitud  $D_1$ , cuando la probabilidad de excedencia es ajustada por las longitudes relativas de las trayectorias:

$$P(\bar{R}_1 D_1) = P(\bar{R}_2 D_2) \cdot \left[ \frac{D_1}{D_2} \right]. \quad \bar{R}D = \bar{R}_1 D_1 = \bar{R}_2 D_2 \quad 4.20$$

donde  $P(\bar{R}D)$  es la probabilidad de que  $\bar{R}$  sea excedida sobre una trayectoria de longitud  $D$ . Los parámetros de la relación de ley de potencias fueron establecidos empíricamente para distancias de 0 a 22.5 km. La ley de potencias es expresada por:

$$r = \gamma(D) R_p^{\delta(D)} \quad \bar{R} = r R_p = \gamma R_p^{(1+\delta)} \quad 4.21$$

donde  $\delta(D)$  y  $\gamma(D)$  están dados en la figura 4.7 (a) y (b).

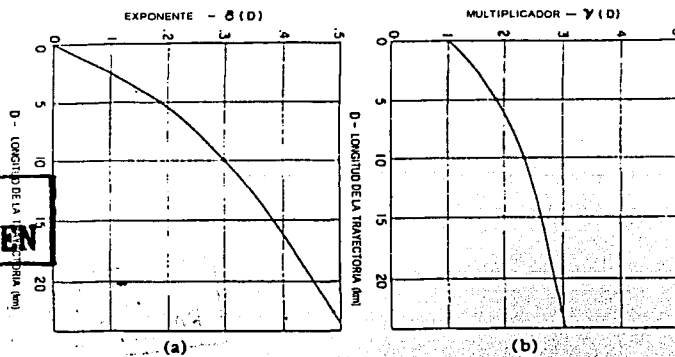


Figura 4.7 Parámetros multiplicador y exponente de la ley de potencias

Para trayectorias más grandes que 22.5 km el valor  $\bar{R}D = rR_p D$  es idéntico al valor  $r'R_p D_0$  para una trayectoria  $D_0 = 22.5$  km pero el valor  $R'_p$  que es usado para el cálculo en la trayectoria de 22.5 km se obtiene de la función de distribución de razón de lluvia en la probabilidad de ocurrencia  $P'$ ,  $P' = (22.5/D) \cdot P$ , donde  $P$  es la probabilidad de interés.

Este modelo de trayectoria promedio produce la razón deseada entre la razón de lluvia en un punto y la razón de lluvia promedio sobre una trayectoria horizontal de longitud  $D$ . La atenuación específica, sin embargo es una función no lineal de la razón de lluvia puntual, por lo tanto el modelo no es adecuado para la estimación de la atenuación. Se requiere de un modelo estadístico de la razón de lluvia instantánea perfilada sobre la trayectoria, el cual entonces puede ser integrado para producir el valor de atenuación deseado.

El modelo adecuado resulta cuando dos funciones exponenciales se usan para mapear el rango de distancias de 0 – 22.5 km, uno de 0 a  $d$  km y otro de  $d$  a 22.5km. El modelo resultante para atenuación (o razón de lluvia de trayectoria integrada) esta dado por:

$$A(R_p, D) = \begin{cases} kR_p^{\alpha} \left[ \frac{e^{uad} - 1}{u\alpha} - \frac{b^{\alpha} e^{cad}}{c\alpha} + \frac{b^{\alpha} e^{cad}}{c\alpha} \right] & d \leq D \leq 22.5(\text{km}) \\ kR_p^{\alpha} \left[ \frac{e^{uad} - 1}{u\alpha} \right] & 0 < D \leq d \end{cases} \quad 4.22$$

donde A esta en dB,  $R_p$  en mm/h, la atenuación específica en dB/km está relacionada a la razón puntual superficial por  $kR^{\alpha}$  y los coeficientes permanentes son constantes empíricas del modelo exponencial.

$$u = \frac{\ln[be^{cd}]}{d}, \quad d \text{ en km} \quad 4.23$$

$$b = 2.3R_p^{-0.17}, \quad R_p \text{ en mm/h} \quad 4.24$$

$$c = 0.026 - 0.03 \ln R_p \quad 4.25$$

$$d = 3.8 - 0.6 \ln R_p$$

TESIS CON  
FALLA DE ORIGEN

#### 4.4.3 PREDICCIÓN DE LA VARIACIÓN VERTICAL DE ATENUACIÓN ESPECÍFICA

El modelo punto a trayectoria predice la variación de la razón de lluvia a lo largo de una trayectoria horizontal y es adecuado para usarlo en el diseño de sistemas de comunicación terrestre. Para trayectorias inclinadas, la variación de atenuación específica en el eje vertical es también importante. Observaciones de radar muestran que la lluvia esta caracterizada sobre el promedio por una constante reflectiva de la superficie a la altura isotérmica de 0°C.

Un modelo útil para la estructura vertical de atenuación específica asume por lo tanto un valor constante desde la superficie hasta la altura isotérmica de 0°C. El valor de atenuación específica se deduce de la razón de lluvia puntual superficial usando una relación derivada teóricamente y basada en el análisis de los datos de distribución de tamaño de gota.

La altura isotérmica de  $0^{\circ}\text{ C}$  varía con las condiciones meteorológicas. El promedio zonal y temporal (promediado en una latitud y longitud constante), de la altura isotérmica de  $0^{\circ}\text{ C}$  varía de 4.7 km en los trópicos a 4.1 km en  $40^{\circ}$  latitud.

La altura isotérmica de  $0^{\circ}\text{ C}$  tiene una marcada dependencia temporal. Cuando se adapta a la variación temporal de la ocurrencia de las razones de lluvia altas, la altura isotérmica de  $0^{\circ}\text{ C}$  que se usa para la predicción de atenuación depende de la latitud y de la probabilidad de ocurrencia (ver figura 4.8).

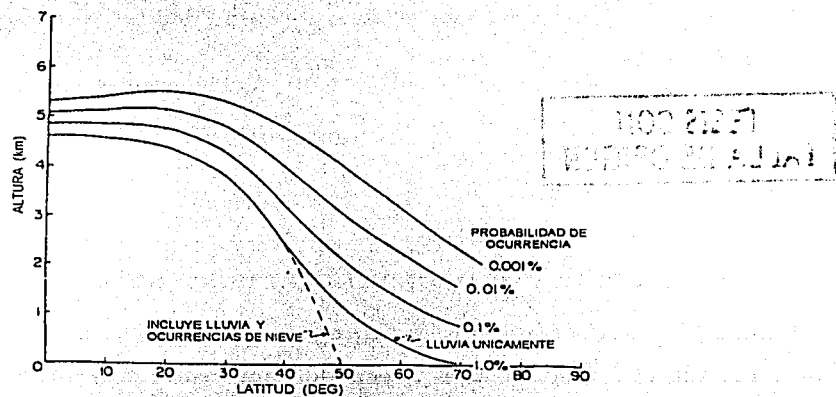


Figura 4.8 Altura isotérmica de  $0^{\circ}\text{ C}$

Para la estimación de la incertidumbre del modelo, la incertidumbre temporal rms en la altura  $0^{\circ}\text{ C}$  fue 500 m o aproximadamente 13 por ciento del promedio de altura estimada.

El modelo completo para la estimación de la atenuación sobre una trayectoria vertical, comienza con la determinación de la distancia vertical entre la altura de la estación terrena y la altura isotérmica de  $0^{\circ}\text{ C}$  ( $H - H_0$ , donde  $H_0$  es la altura de la estación) para el porcentaje del año o  $R_p$  de interés. La proyección superficial de la trayectoria entre la superficie y los  $0^{\circ}\text{ C}$  isotérmicos es usada para calcular D:

$$D = \begin{cases} (H - H_0) / \tan \theta, & \theta \geq 10^\circ \\ E\Psi, & \theta < 10^\circ \end{cases} \quad \Psi \text{ en radianes,} \quad 4.27$$

donde:

$$\Psi = \operatorname{sen}^{-1} \left[ \frac{\cos \theta}{(H + E)} \left( \sqrt{(H_0 + E)^2 \operatorname{sen}^2 \theta + 2E(H - H_0) + H^2 - H_0^2} - (H_0 + E) \operatorname{sen} \theta \right) \right]$$

$E$  es el radio efectivo de la tierra (8500 km) y  $\theta$  es el ángulo de elevación.

La atenuación superficial proyectada es calculada de la ecuación 4.22, y finalmente, el valor para la trayectoria inclinada  $A_s$  es estimada usando la constante de atenuación específica bajo  $H$  por:

$$A_s = \frac{LA(D)}{D} \quad 4.28$$

donde:

$$L = \begin{cases} \frac{D}{\cos \theta}; & \theta \geq 10^\circ \\ \sqrt{(E + H_0)^2 + (E + H)^2 - 2(E + H_0)(E + H) \cos \Psi}; & \theta < 10^\circ \end{cases}$$

TESIS CON  
FALLA DE ORIGEN

#### 4.4.4 APLICACIÓN PASO POR PASO DEL MODELO DE PREDICCIÓN DE ATENUACIÓN

Paso 1:

Determinar la distribución de razón de lluvia  $R_p$ .

1a) Localizar los puntos finales de trayectoria (terrestres) o la estación terrena sobre el mapa y determinar la región de lluvia climática A-H en la figura 4.4

1b) Obtener la distribución de razón de lluvia de la tabla 4.2

Paso 2:

Establecer la longitud de trayectoria superficial proyectada  $D$ .

2a) Para trayectoria terrestres, D es la separación entre antenas.

2b) Para trayectorias inclinadas, la distancia D es calculada de:

**TESIS CON  
FALLA DE ORIGEN**

$$D = \begin{cases} \frac{H(P) - H_0}{\tan \theta} & \theta \geq 10^\circ \\ E\Psi & \theta < 10^\circ \end{cases}$$

(ver ecuación 4.27)  $\Psi$  en radianes

donde  $\theta$  es el ángulo de elevación,  $H_0$  es la altura de estación y  $H(P)$  es la altura 0°C isotérmica obtenida por interpolación para el porcentaje de tiempo P de interés de la figura 4.8, Interpolar  $H(P)$  contra  $\log P$ , y usar una línea recta para relacionar H a  $\log P$ .

2c) Si  $D > 22.5$  km, usar  $D_0 = 22.5$  km y una nueva razón de lluvia puntual  $R'_p$  para la probabilidad de ocurrencia modificada.

$$P' = P \left[ \frac{D_0}{D} \right]$$

para subsecuentes cálculos.

#### Paso 3:

Determinar k y  $\alpha$  para la frecuencia de interés de las tablas.

#### Paso 4:

Calcular el valor de atenuación superficial proyectado A, de la  $R_p$  y D (o  $R'_p$  y  $D_0$ ).  $R_p$  es la razón de lluvia obtenida de la distribución de razón de lluvia para la probabilidad de ocurrencia de interés P:

$$A(R_p, D) = \begin{cases} kR_p^\alpha \left[ \frac{e^{u\alpha d} - 1}{u\alpha} - \frac{b^\alpha e^{cad}}{c\alpha} + \frac{b^\alpha e^{cad}}{c\alpha} \right] & d \leq D \leq D_0 \\ kR_p^\alpha \left[ \frac{e^{uad} - 1}{u\alpha} \right] & D < d \\ kR^\alpha [H(P) - H_0] & D = 0 \\ & (\theta = 90^\circ) \end{cases}$$

donde:

$$u = \frac{\ln[be^{cd}]}{d}$$

$$b = 2.3R_p^{-0.17}$$

$$c = 0.026 - 0.03 \ln R_p$$

$$d = 3.8 - 0.6 \ln R_p$$

**TESIS CON  
FALLA DE ORIGEN**

#### Paso 5:

Ajuste para la altura a lo largo de una trayectoria inclinada (No aplicable para enlaces tierra-tierra). Ver ecuación 4.28 para  $\theta < 10^\circ$

$$A_s = \frac{LA(R_p, D)}{D} = \frac{A(R_p, D)}{\cos \theta} \quad \theta \geq 10^\circ$$

donde  $A_s$  es la atenuación de trayectoria inclinada.

## 4.5 TABLA COMPARATIVA Y ALGORITMOS

### 4.5.1 TABLA COMPARATIVA

TÉSIS CON  
FALLA DE ORIGEN

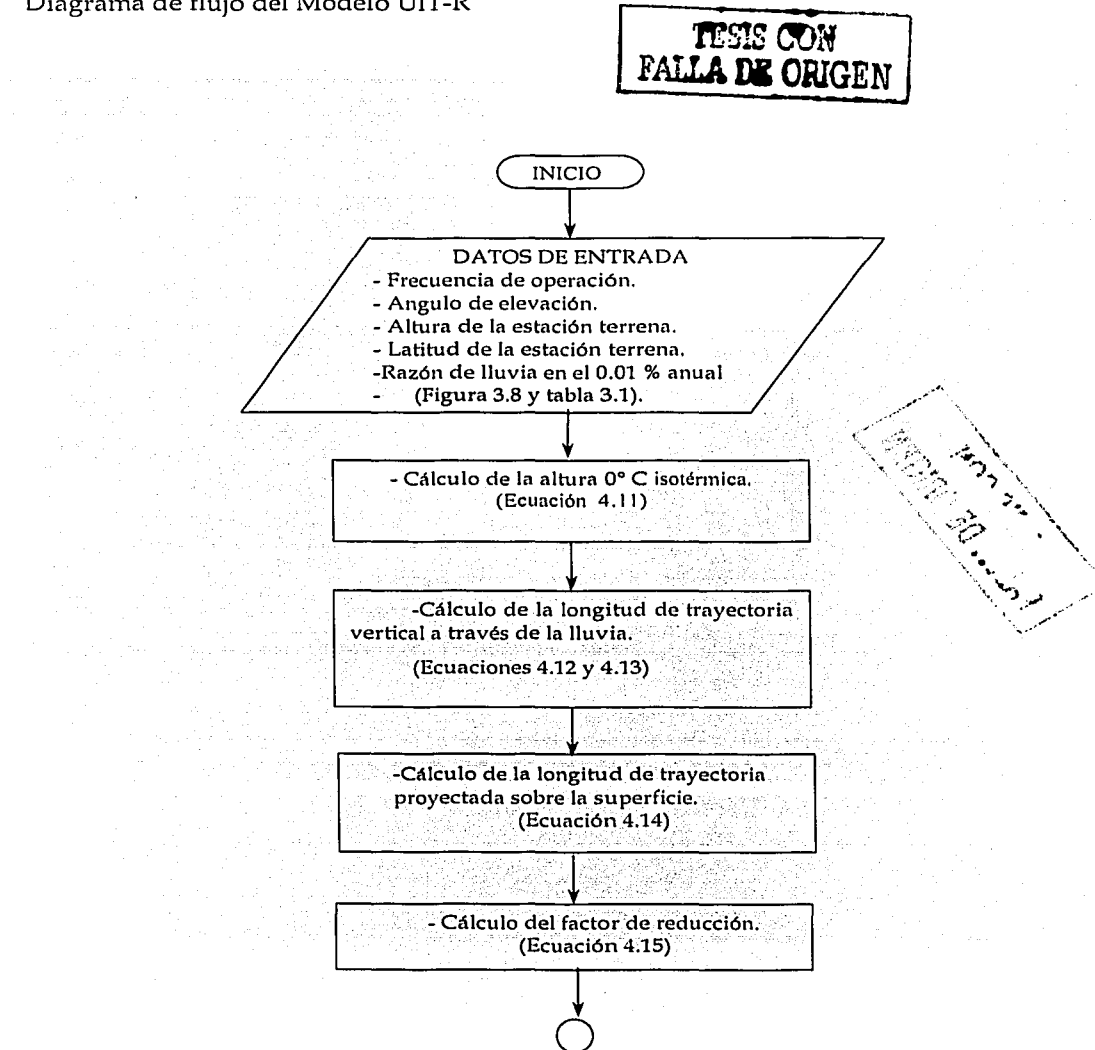
En la siguiente tabla se comparan los diferentes modelos discutidos.

MODELO	DATOS DE ENTRADA	SALIDAS	COMENTARIOS
Rice - Holmberg	<ul style="list-style-type: none"> <li>Precipitación pluvial media anual de la locación.</li> <li>Razón de tormentas a lluvia total.</li> </ul>	Distribuciones de precipitación pluvial acumulativas. (Estadísticas de razón de lluvia).	<ul style="list-style-type: none"> <li>Considera dos modos de lluvia: Tormentas y lluvia uniforme.</li> <li>Los parámetros se tienen escalados en mapas y fueron calculados basándose en datos climatológicos locales.</li> <li>Su mayor problema es la incertidumbre de las distribuciones de razón de lluvia entre 0.001% y 0.1% del año.</li> <li>Se aplica globalmente.</li> </ul>
Global-Crane	<ul style="list-style-type: none"> <li>Parámetros geográficos de la estación terrena: Latitud, altura sobre el nivel del mar.</li> <li>Parámetros de enlace: Frecuencia, ángulo de elevación al satélite.</li> <li>Razón de precipitación pluvial para un porcentaje del año.</li> </ul>	Atenuación por lluvia asociada con un porcentaje de tiempo de excedencia. (Estadísticas de atenuación).	<ul style="list-style-type: none"> <li>Usa mapas de zonas de lluvia y distribuciones medias de lluvia predefinidas para cada zona.</li> <li>Cuenta con 12 zonas climáticas de lluvia.</li> <li>Aplicado globalmente</li> </ul>
UIT-R	<ul style="list-style-type: none"> <li>Parámetros geográficos de la estación terrena: Latitud, altura sobre el nivel del mar.</li> <li>Parámetros de enlace: Frecuencia, ángulo de elevación al satélite.</li> <li>Razón de precipitación pluvial para el 0.01% del año.</li> </ul>	Atenuación por lluvia asociada con un porcentaje de tiempo de excedencia. (Estadísticas de atenuación).	<ul style="list-style-type: none"> <li>Usa mapas de zonas de lluvia y distribuciones medias de lluvia predefinidas para cada zona.</li> <li>Cuenta con 15 zonas climáticas de lluvia.</li> <li>Aplicado globalmente</li> </ul>

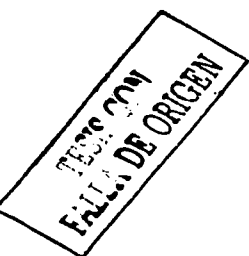
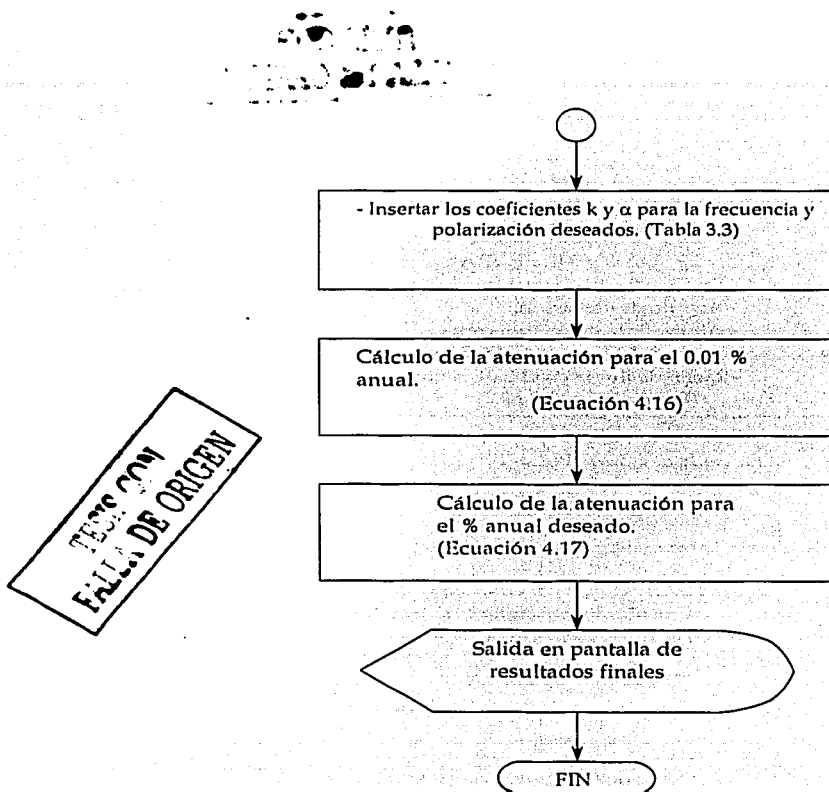
Tabla 4.3 Comparaciones entre los diferentes modelos estudiados

#### 4.5.2 DIAGRAMAS DE FLUJO

Diagrama de flujo del Modelo UIT-R

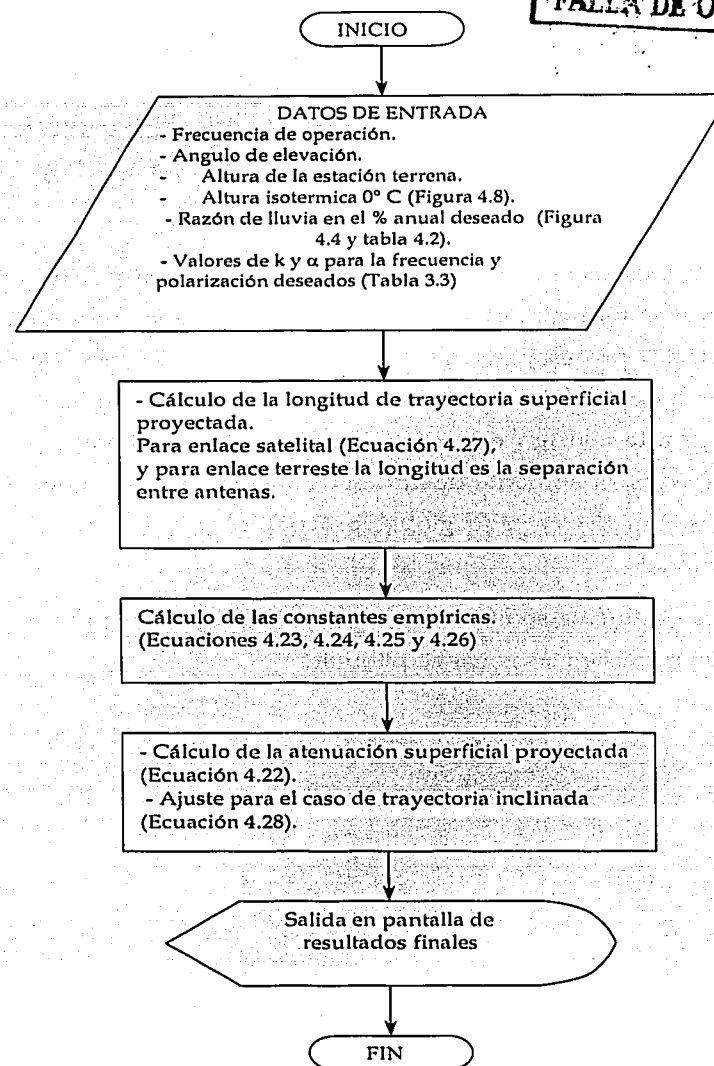


## Diagrama de flujo del Modelo UIT-R (continuación)



## Diagrama de flujo del Modelo de Global-Crane

**TESIS CON  
FALLA DE ORIGEN**



TESIS CON  
FALLA DE ORIGEN

## CAPITULO 5

# DETERMINACIÓN DE LOS NIVELES DE ATENUACIÓN POR LLUVIA

El último siglo se ha caracterizado por un impresionante desarrollo tecnológico. Viajar al espacio, erradicar enfermedades anteriormente consideradas mortales, comunicarse a grandes distancias, procesar y transferir colosales volúmenes de información en cuestión de segundos son hoy cosa de todos los días. Sin embargo, esta revolución tecnológica ha traído consigo elevados costos ambientales, como la deforestación, la extinción de especies, el aumento de la desertificación, la contaminación del aire y del agua y cambios climáticos a nivel global, provocando grandes cambios en la tasa de precipitación pluvial.

En el mapa siguiente se observa como se distribuyen las precipitaciones anuales, situándose los máximos en las zonas ecuatoriales.

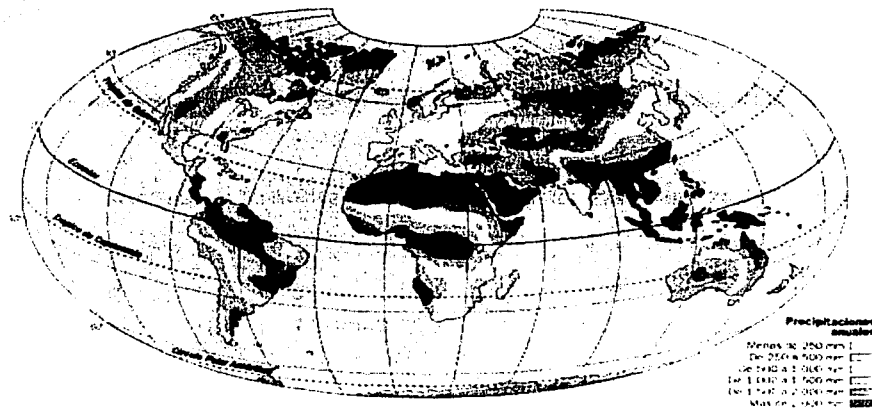


Figura 5.1 Mapa de distribución de precipitaciones

Las precipitaciones inferiores a 250 mm corresponden a desiertos; en cambio las precipitaciones superiores a 1000 mm corresponden a zonas muy lluviosas [47].

Estos cambios climáticos provocaron la necesidad de actualizar los márgenes de atenuación por lluvia que utilizaba Satmex, requiriendo un nuevo estudio de las precipitaciones a lo largo de la cobertura del satélite Satmex 6, que será lanzado próximamente. La huella del satélite Satmex 6 para banda Ku se muestra en la figura 5.2 [14].



Figura 5.2 Cobertura del Satmex 6 para banda Ku

El algoritmo que realizamos en el presente trabajo es utilizable para cualquier satélite que transmita en banda Ku y en cualquier localidad, siempre y cuando se disponga de los datos climatológicos correspondientes.

Dada la dificultad para obtener los datos para todas las localidades en la cobertura del satélite Satmex 6 en todo el continente, el estudio se realizó para la República Mexicana, donde el Servicio Meteorológico Nacional es la unidad administrativa del

Mexicana, donde el Servicio Meteorológico Nacional es la unidad administrativa del gobierno federal responsable de brindar el servicio de consulta de información climatológica a todo usuario que lo requiera, para considerar el recurso natural del clima y su variabilidad en la planeación, operación y evaluación de las diferentes actividades del país. En todo caso, para extender los resultados de este trabajo a otras regiones dentro de la cobertura satelital, sólo es necesario disponer de los datos pluviales correspondientes.

El Banco Nacional de Datos Climatológicos incluye registros históricos de la red climatológica nacional (5000 estaciones), red sinóptica de superficie y altura (77 observatorios y 11 estaciones de radio sondeo), con registros en algunos casos desde fines del siglo XIX hasta la fecha[48]. La facilidad de acceso de los datos no es la óptima, principalmente por el tiempo que tarda el SMN en proporcionar los mismos, en forma impresa, lo que implica la captura y adecuación de la información. Para los fines del presente trabajo, se eligió una ciudad representativa para tres regiones hidrometeorológicas diferentes. Para la selección de las ciudades se tomó como base la división que hacen los modelos de precipitación pluvial Global-Grane y el UIT-R para la República Mexicana, así como la disposición que existe de los datos de las diferentes ciudades, los cuales ubican a cada una de las ciudades en una de tres regiones distintas como se puede observar en las figuras 3.8 y 4.4. Coatzacoalcos Ver., la Cd. de México y Hermosillo Son., fueron las ciudades seleccionadas que tienen precipitaciones alta, media y baja respectivamente.

## 5.1 ANÁLISIS DE LOS DATOS DE PRECIPITACIÓN PLUVIAL

Una vez con los fundamentos teóricos presentados en el capítulo 4 sobre los modelos de predicción de precipitación pluvial y atenuación por lluvia, se procedió al desarrollo de los modelos de precipitación pluvial.

Para la presentación de los modelos obtenidos se uso de los formatos gráficos de estadísticas acumulativas propuestos por la NASA, esto con la intención de facilitar la

comparación de los resultados obtenidos con los propuestos por Global-Crane, UIT-R y Rice-Holmberg. Las estadísticas acumulativas dan una estimación de la precipitación acumulada en un tiempo total, durante un período amplio; una atenuación o razón de lluvia se espera exceda una cantidad dada. Las estadísticas obtenidas con un sólo año de datos no son recomendables ya que se espera tengan grandes fluctuaciones año tras año debido a la gran variabilidad del clima por lo cual, se deben considerar al menos 5 años de datos para obtener estadísticas confiables y estables. Para nuestro propósito se consideraron 10 años de datos de precipitación pluvial para cada uno de los sitios estudiados.

### 5.1.1 RECOPILACIÓN DE DATOS

Para la obtención de los datos de precipitación pluvial se acudió al Servicio Meteorológico Nacional, en donde se proporcionaron datos para un período de diez años para cada una de las ciudades estudiadas.

El formato impreso en que se proporcionan los datos con los que se desarrolló el estudio se presenta en la figura 5.3, en donde, como se observa, los datos son valores de precipitaciones horarias acumuladas, dadas en milímetros. Así pues, las unidades de razón de lluvia se obtienen directamente siendo éstas mm/h.

En realidad la razón de lluvia es un número que es imposible medir de manera exacta. En la práctica el dispositivo utilizado para hacer la medición (pluviómetro) cuenta con una charola de almacenamiento de área finita ( $\text{mm}^2$ ). Así el volumen de agua colectado en la sonda ( $\text{mm}^3$ ) es entonces dividido por el área para producir  $\text{mm}^3/\text{mm}^2 = \text{mm}$ , y finalmente se divide por el tiempo de acumulación (h) logrando  $\text{mm}/\text{h}$ . El tiempo de acumulación o tiempo en que se toma lectura tras lectura se denomina tiempo de integración.

Actualmente el tiempo de integración más utilizado para obtener modelos de precipitación es de 5 minutos, aunque algunos investigadores opinan que el tiempo de integración exacto varía dependiendo de la localidad. Para nuestro estudio se utilizó el

## ANÁLISIS DE LOS DATOS DE PRECIPITACIÓN POR LLUVIA

tiempo de integración de 1 hora debido a la disponibilidad de los datos de acuerdo a Lin [27], quien indica que para lugares con umbrales de lluvia menores a 76 mm/h el tiempo de integración adecuado para obtener su distribución de razón de lluvia es una hora. En nuestro caso, la razón de lluvia máxima promedio en una hora, para la Cd. de Coatzacoalcos, no rebasa 76 mm/h, por lo cual se deduce que los resultados obtenidos son confiables, aunque convendría verificarlos en la práctica.

Al utilizar un tiempo de integración de una hora se tiene la limitante de no poder modelar para porcentajes menores que el 0.01% anual; sin embargo, se cubre el requisito importante en los sistemas de comunicación de contar con una disponibilidad del 99,99%.

**Figura 5.3** Formato de los datos proporcionados por el Servicio Meteorológico Nacional

### 5.1.2 RESULTADOS OBTENIDOS

Desarrollando un análisis acumulativo de los datos de precipitación se obtuvieron las tablas y gráficos de estadísticas acumulativas de precipitación pluvial, mostradas mas adelante.

Su desarrollo es el siguiente:

TESIS CON  
FALLA DE ORIGEN

1. Se consideraron  $24 \times 365 = 8760$  datos de precipitación y a la vez éste es el número de horas para cada año que equivalen a un 100 % en tiempo.
2. Los 8760 datos se agruparon de mayor a menor y progresivamente se obtuvieron los porcentajes equivalentes.

Para la ciudad de Coatzacoalcos Ver., en el año de 1996, las precipitaciones máximas fueron 45.8 y 35.4 mm/h. Resultando que para una hora, que es igual al 0.011 % anual se obtiene una precipitación de al menos 45.8 mm/h, y para el 0.023 % anual (2 horas) se obtiene una precipitación de al menos 35.4 mm/h. A continuación se presentan los resultados anuales, tanto en tablas como en gráficas, en donde se visualizan las estadísticas acumulativas.

No. HRS	% ANUAL	AÑOS										PROM. [mm/h]
		1996	1995	1993	1992	1991	1990	1989	1988	1987	1986	
1	0.0115	45.8	48	48	75.4	82	49	76.2	51.8	60.2	67.2	60.36
2	0.0231	35.4	47.3	45.2	51	46.9	46.4	44.5	39.7	47.6	62.4	46.64
3		31.5	41	37	50.4	37.2	44.9	41.5	39.7	42.9	44.6	41.07
4		30.4	40	36.6	42.7	37.1	39.6	38.5	37.7	33.8	43.5	37.99
5	0.0578	30.1	37.5	32.4	40.8	36.8	39.6	36.8	36.4	32	40.7	36.31
6		29.9	36.5	32	35.9	35.4	37.7	36.6	34.7	28	35.6	34.23
7		28	36	31.9	35.8	34.7	36.1	35.1	31.3	27.9	35.1	33.19
8		27.8	34	31.3	29.2	35.8	35.2	27.9	30.8	26.8	34.4	31.32
9	0.1041	27.2	30.5	30.8	29	32.1	34.4	25.7	29.6	26.6	32.8	29.87
10	0.1157	27	30.5	30.8	26.2	30	32.8	24.8	28.1	25	30.2	28.54
11		25.8	30	29	26	28.9	31.6	24.3	28	24.9	29.7	27.82
12		25.7	28.5	29	24.7	28.5	30	24.3	27.4	24	27.9	27
13		24.2	27.5	28.2	24	26.5	29.4	23.2	25.4	22.5	27.3	25.82
14		23.5	26	27.2	23.9	25.4	29.3	22.6	25.3	21.7	26.8	25.17
15	0.1736	22.5	25	27	21.6	24.5	28.8	22.5	24.8	21.1	26.1	24.39

**ANÁLISIS DE LOS DATOS DE PRECIPITACIÓN POR LLUVIA**

**COATZACOALCOS VER.**

No. IIRS	% ANUAL	AÑOS										PROM. [mm/h]
		1996	1995	1993	1992	1991	1990	1989	1988	1987	1986	
16		22.4	25	26.7	21.5	24.5	27.9	22.1	22.8	21	25.2	23.91
17	0.1967	22.1	24	25.7	21.4	22.9	26.2	20.7	21.4	20.9	25.2	23.05
18		21.6	24	25.6	21.2	22.4	24	20	21.2	19.2	23.7	22.29
19		20.9	23.4	25	21.1	21	23.3	20	20.5	19.2	22.3	21.67
20	0.2314	20.9	23.2	23.9	20.7	21	22.6	19.8	20.4	18.5	20.6	21.16
21		20.5	23	23.5	20.6	20.1	22.4	19.6	19.8	18.3	19.6	20.74
22		19.6	22.2	23	20.5	20	20.4	19.6	19.8	17.9	19.4	20.24
23		19.5	21.1	22.6	19.3	20	20	19.5	19.7	17.3	19.1	19.81
24		19.3	20.8	21.5	19.3	18.7	18.9	19	19.4	17.2	18.8	19.29
25	0.2893	18.4	20.5	21	17.8	18.5	18.3	18.4	18.9	16.7	18.8	18.73
26		18.2	20.3	19.7	16.5	18.1	18.2	17.4	17.8	16.6	18.5	18.13
27		18.1	20	19.5	16.1	17.8	17.7	17	17.4	16.5	18.4	17.85
28		18.1	20	19.2	16	17.5	17.5	16.8	17.2	16.3	18.3	17.69
29		18	20	19	15.9	17.5	17	16.7	17	16.2	17.9	17.52
30	0.3472	17.3	20	18.9	15.8	17.3	16.2	16.5	16.5	16.1	17.7	17.23
31		16.5	20	18.9	15.7	17.3	14.8	16.5	16.4	15.5	17.2	16.88
32		16.4	19.5	18.4	15.6	17.1	14.4	16.4	15.8	15.4	16.5	16.55
33		16.2	19.4	18.2	14.8	17.1	14.1	16	15.7	14.8	16.3	16.26
34		15.8	19	18	14.7	16.5	14	16	15.5	14.8	16.1	16.04
35	0.405	15.4	19	18	14.6	16.5	14	15.6	15.3	14.8	16.1	15.93
36		15.3	19	18	14.4	16.2	13.9	14.9	14.3	14.7	15.9	15.66
37		15.3	18	17.8	14.4	16.2	13.7	14.7	14.2	14.5	15.4	15.42
38		14.2	17.8	17.5	14.1	16	13.6	14.5	14.2	14.1	15.2	15.12
39		14	17.5	17.4	14.1	15.6	13.2	14.2	13.6	14.1	15.1	14.88
40	0.4629	13.8	17.5	17.3	14	15.5	13.1	13.4	13.4	14	15.1	14.71
41		12.5	17.3	17	13.9	15.2	12.5	13.4	13.4	14	14.8	14.4
42		12.3	17.1	17	13.7	15.2	12.2	13.2	13	13.6	14.4	14.17
43	0.497	12.3	17	17	13.5	15.1	12.1	12.2	12.5	13.3	14.4	13.94
44		12.2	16.8	16.1	13.5	14.6	11.9	21.1	12.5	13.1	14.4	14.62
45	0.5298	12.1	16.8	16	13.5	14.5	11.8	11.8	12.2	13	14.3	13.6
46		12	16.5	14.5	13.4	14.4	11.7	11.5	11.9	21.1	14.1	14.11
47		12	16.3	14.2	13.4	14.3	11.5	11.3	11.8	12	13.6	13.04
48		11.9	16	13.5	13	14	11.3	11	11.7	11.9	13.6	12.79
49		11.9	16	13.3	12.7	13.8	11.2	10.6	11.6	11.8	13.6	12.65
50	0.5787	11.5	16	13.1	12.6	13.8	10.8	10.4	11.5	11.7	13.6	12.5
51		11.2	15.5	13	12.5	13.8	10.7	10.2	11.3	11.2	12.8	12.22
52		10.9	15	12.5	12.4	13.6	10.6	9.9	11.1	11	12.5	11.95
53		10.9	15	12.2	11.8	13.6	10.6	9.9	10.8	10.9	12.4	11.81
54		10.8	13.8	12.2	11.7	13.5	10.4	9.8	10.8	10.7	12.2	11.59
55	0.6365	10.8	13.2	11.4	11.7	13.1	10.2	9.7	10.7	10.2	12	11.3

**TESTS CON  
FALLA DE ORIGEN**

No. HRS	% ANUAL	AÑOS										PROM. [mm/hr]
		1996	1995	1993	1992	1991	1990	1989	1988	1987	1986	
56		10.6	13	10.3	11.4	13	10.1	9.7	10.7	10.1	12	11.09
57		10.4	13	10.3	10.7	12.7	10.1	9.4	10.2	9.9	11.8	10.85
58		10.4	12.8	10.2	10.4	12.4	10	9.4	10.1	9.8	11.8	10.73
59		10.4	12.7	10.2	10.3	12.4	10	9.4	10	9.5	11.8	10.67
60	0.6944	10.2	12.7	10	10.2	12.3	10	9.4	9.8	9.4	11.8	10.58
61		10.2	12.5	10	10.2	12	10	9.3	9.7	9.3	11.7	10.49
62		10.2	12.2	9.9	10.1	12	9.9	9.3	9.7	8.9	11.7	10.39
63		10.2	12.2	9.8	9.9	11.9	9.8	9.2	9.7	8.9	11.7	10.33
64		10.1	12	9.8	9.8	11.6	9.7	9.1	9.7	8.9	11.5	10.22
65	0.7523	10.1	12	9.8	9.6	11.5	9.6	9.1	9.6	8.8	11.4	10.15
66		10.1	12	9.7	9.6	11.1	9.6	9	9.5	8.7	11.3	10.06
67		10.1	11.8	9.7	9.5	10.9	9.5	8.9	9.5	7.9	11.3	9.91
68		10	11.7	9.6	9.3	10.8	9.4	8.9	9.4	7.8	11.3	9.82
69		9.9	11.5	9.6	9.3	10.6	9.4	8.9	9.3	7.7	10.9	9.71
70	0.8101	9.9	11	9.4	9.2	10.4	9.3	8.8	9.1	7.5	10.5	9.51
71		9.7	10.8	9	9.2	10.4	9.3	8.7	9	7.3	10.5	9.39
72		9.5	10.8	9	8.7	10.3	9.2	8.7	9	7.2	10.4	9.28
73		9.5	10.8	9	8.7	10	9	8.7	8.9	7	10.4	9.2
74		9.2	10.5	8.9	8.6	10	8.9	8.6	8.9	7	10.3	9.09
75	0.868	9	10.5	8.8	8.6	10	8.7	8.5	8.8	6.7	10.2	8.98
76		9	10.5	8.6	8.5	9.7	8.6	8.4	8.8	6.7	10.1	8.89
77		9	10.3	8.4	8.5	9.6	8.5	8.4	8.6	6.5	10	8.78
78		8.8	10	8.3	8.4	9.6	8.5	8	8.5	6.5	10	8.66
79		8.8	10	8.2	8.4	9.5	8.4	8	8.4	6.4	10	8.61
80	0.9259	8.4	10	8.2	8.4	9.3	8.3	7.8	8.4	6.3	9.9	8.5
81		8.2	10	8.2	8.1	9.3	8.3	7.4	8.4	6.2	9.7	8.38
82		8.1	10	8.1	8	9	8.2	7.4	8.2	6.2	9.5	8.27
83		8.1	9.6	8.1	7.8	8.8	7.9	7.3	8	6.1	9.4	8.11
84		8	9.5	8	7.5	8.8	7.8	7.2	8	6	9.3	8.01
85	0.9837	8	9.2	8	7.5	8.8	7.7	7	7.9	5.9	9.3	7.93
86	0.9953	8	9	8	7.4	8.7	7.5	6.9	7.8	5.9	9.3	7.85
87		8	9	8	7.3	8.5	7.5	6.9	7.7	5.9	9.2	7.8
88		7.9	9	7.7	7.2	8.4	7.4	6.7	7.7	5.8	9.1	7.69
89		7.4	9	7.7	7.2	8.2	7.3	6.6	7.6	5.7	9	7.57
90	1.0416	7.4	8.5	7.7	7.2	8	7.3	6.2	7.6	5.7	8.8	7.44
100	1.1574	6.6	7.2	7.2	6.4	7.4	6.3	5.8	7.1	5.2	7.6	6.68

Tabla 5.1 Precipitaciones acumulativas durante los años 1996-1986 en la Cd. De Coatzacoalcos Ver.

**TESIS CON  
FALLA DE ORIGEN**

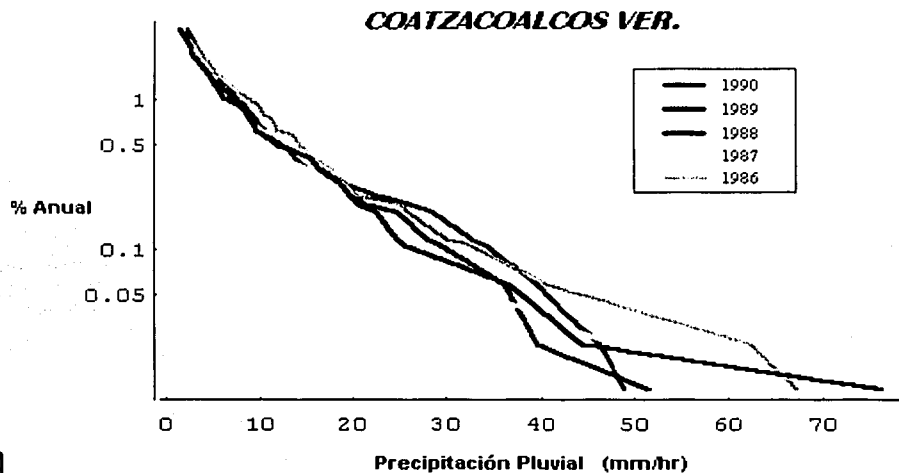


Figura 5.4 Gráfica de precipitación acumulativa para la Cd. de Coatzacoalcos, Ver durante los años 1986 - 1990

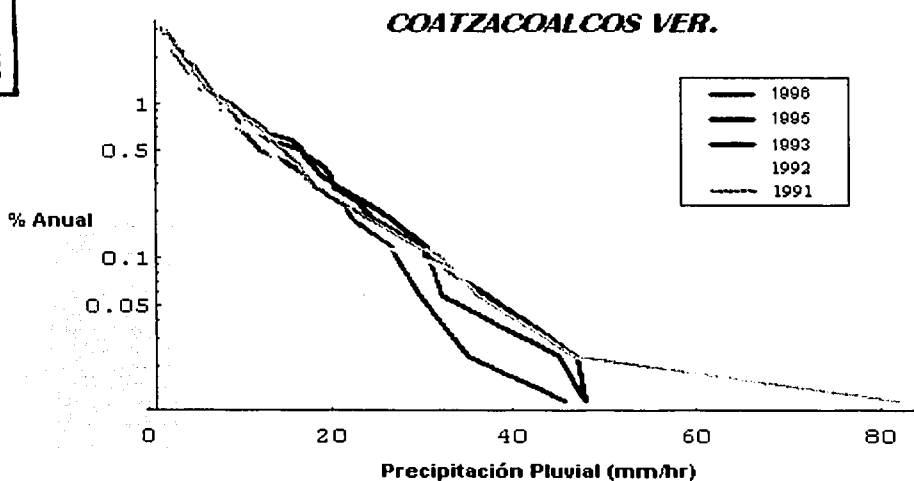


Figura 5.5 Gráfica de precipitación acumulativa para la Cd. de Coatzacoalcos, Ver durante los años 1991-1996

## MÉXICO D.F.

No. HRS	% ANUAL	AÑOS										PROM. [mm/h]
		1996	1995	1994	1993	1992	1991	1990	1989	1988	1987	
1	0.0115	30.2	27.1	39	34.5	33.1	42.4	38.7	33.6	30	24.4	33.3
2	0.0231	23	27	27	30.9	31.3	28	26.8	20.5	26.4	19.9	26.08
3	0.0347	21.2	25	22	24.5	28.7	27.6	23	19.7	16.1	15.7	22.35
4	0.0462	18.8	23.6	19.6	20.4	22.5	25.5	21.1	17.6	15.1	15.5	19.97
5	0.0578	17.6	16.1	18.3	17	22.2	25	19.2	16.8	14.7	15.2	18.21
6	0.069444	17.6	15.3	17.4	16.4	20	24.5	17.1	13.8	14.3	14.9	17.13
7	0.081018	17.1	12.3	15.4	14.7	17.4	22	15.8	13.7	13.9	13.9	15.62
8	0.092592	16.9	12.2	15.2	14.1	16.5	18.4	15.4	11.3	13.2	13.8	14.7
9	0.104166	16	11.9	14.6	13.5	15.2	16.4	13	11	12.9	13	13.75
10	0.11574	14.8	11.2	13.2	12	14.4	15.8	11.5	9.4	12.9	12.5	12.77
11	0.127314	14.3	10.9	12.4	11.8	13.8	15.2	11.4	9.4	11.9	12.1	12.32
12	0.138888	14.3	10.7	11.5	11.5	13	14	11.3	8.6	11.7	12	11.86
13	0.150462	14.1	10.2	10.7	11.2	12.8	13.2	11.2	8.3	11.6	11.6	11.49
14	0.162036	13.2	10	10.2	10.9	12.3	12.9	11.1	8	11.3	11.1	11.1
15	0.17361	11.7	10	10.1	10.7	12.1	12.6	11	7.9	11.1	11	10.82
16	0.185184	11.3	10	10	10.4	12	12.2	10.6	7.6	10.5	10.8	10.54
17	0.196758	10.5	9.1	9.2	10.1	11.4	11.9	10.4	7.5	10.1	10.5	10.07
18	0.208332	10.2	8.6	9	9.8	11	11.8	9.4	7.1	10	10.2	9.71
19	0.219906	8.6	8.4	8.8	9.3	10	11.3	9	7	9.9	10	9.23
20	0.23148	8	8.4	8.4	9.2	9.3	11.1	8.4	6.9	9.6	10	8.93
21	0.243054	7.6	8.4	8.1	9.2	9.2	10.5	8.1	6.7	9.4	9.7	8.69
22	0.254628	7.5	8.2	7.9	8.9	9.2	10.1	7.8	6.6	8.9	9.2	8.43
23	0.266202	7.3	8.2	7.7	8.6	9.1	10	7.6	6.5	8.7	9.2	8.29
24	0.277776	6.9	8	7.6	8	9.1	10	7.1	6.5	8.4	7.7	7.93
25	0.28935	6.8	8	7.5	7.6	9.1	9.5	7	6.4	8.4	7.6	7.79
26	0.300924	6.6	7.8	7.3	7.5	8.8	8.9	6.7	6	8	7.4	7.5
27	0.312498	6.3	7.7	7.1	7.4	8.8	8.5	6.4	5.7	8	7.3	7.32
28	0.324072	6.2	7.4	7	7.1	8.8	8.3	6.2	5.5	7.8	6.8	7.11
29	0.335646	5.7	7.2	6.9	7.1	8.5	8.2	6.1	5.5	7.3	6.8	6.93
30	0.34722	5.7	7.1	6.8	7	8.3	8.1	5.9	5.4	7.1	6.6	6.8
31	0.358794	5.7	7.1	6.6	7	8.2	8	5.7	5.2	7.1	6.5	6.71
32	0.370368	5.7	7.1	6	6.8	8	7.8	5.7	4.9	6.9	6.5	6.54
33	0.381942	5.3	6.8	6	6.7	7.8	7.7	5.7	4.8	6.6	6.3	6.37
34	0.393516	5.2	6.4	5.9	6.6	7.6	7.6	5.7	4.7	6.6	6.3	6.26
35	0.40509	5	6.4	5.8	6.5	7.5	7.5	5.6	4.7	6.3	6.1	6.14
36	0.416664	4.8	6.3	5.7	6.5	7.4	7	5.6	4.7	6.2	5.5	5.97

**ANÁLISIS DE LOS DATOS DE PRECIPITACIÓN POR LLUVIA**

No. HRS	% ANUAL	MÉXICO D.F.										PROM. [mm/h]
		AÑOS										
1996	1995	1994	1993	1992	1991	1990	1989	1988	1987			
37	0.428238	4.8	6.3	5.6	6.4	7.2	7	5.3	4.4	6.1	5.4	5.85
38	0.439812	4.8	6.3	5.5	6.3	6.4	7	5.3	4.4	6	5.4	5.74
39	0.451386	4.7	5.9	5.2	6.3	6.3	6.9	5.2	4.4	5.8	5.3	5.6
40	0.46296	4.7	5.6	5.1	6.3	6.3	6.9	5.2	4.4	5.8	5.3	5.56
41	0.474534	4.7	5.6	5	6.2	6.2	6.9	5.1	4.3	5.7	5.2	5.49
42	0.486108	4.4	5.4	5	6.1	6	6.7	5.1	4.2	5.4	5.2	5.35
43	0.497682	4.2	5.1	5	5.9	6	6.7	5	4.1	5.1	5.1	5.22
44	0.509256	4.1	4.5	4.9	5.8	6	6.5	5	4	5.1	5	5.09
45	0.52083	4	4.4	4.5	5.6	6	6.4	4.7	3.9	5	4.7	4.92
46	0.532404	4	4.4	4.5	5.4	5.9	6.2	4.7	3.9	5	4.7	4.87
47	0.543978	3.8	4.2	4.4	5.4	5.8	6.2	4.7	3.8	5	4.7	4.8
48	0.555552	3.8	4	4.3	5.4	5.7	6	4.7	3.8	4.9	4.6	4.72
49	0.567126	3.8	4	4.3	5.4	5.5	5.9	4.6	3.7	4.9	4.4	4.65
50	0.5787	3.7	4	4.3	5.4	5.5	5.8	4.5	3.6	4.9	4.3	4.6
51	0.590274	3.5	4	4.2	5.2	5.4	5.8	4.5	3.5	4.7	4.3	4.51
52	0.601848	3.4	3.9	4.2	4.8	5.3	5.8	4.4	3.4	4.7	4.3	4.42
53	0.613422	3.3	3.9	4	4.8	5.3	5.7	4.3	3.3	4.6	4.1	4.33
54	0.624996	3.2	3.8	4	4.6	5.2	5.6	4.3	3.2	4.3	4.1	4.23
55	0.63657	3.2	3.6	4	4.4	5.2	5.3	4.1	3	4.2	4	4.1
56	0.648144	3.2	3.6	3.8	4.3	5.1	5.2	4.1	3	4.2	3.9	4.04
57	0.659718	3.2	3.6	3.8	4.3	5.1	5.1	4	2.9	4.2	3.9	4.01
58	0.671292	3.1	3.5	3.7	4.3	5	5	4	2.8	4	3.9	3.93
59	0.682866	3.1	3.5	3.6	4.3	4.9	5	4	2.8	4	3.6	3.88
60	0.69444	3.1	3.4	3.6	4.3	4.8	5	3.9	2.8	4	3.5	3.84
61	0.706014	3	3.4	3.5	4.3	4.6	4.9	3.8	2.7	3.9	3.5	3.76
62	0.717588	3	3.4	3.4	4.1	4.6	4.9	3.8	2.6	3.8	3.5	3.71
63	0.729162	3	3.4	3.3	4.1	4.6	4.9	3.8	2.6	3.8	3.4	3.69
64	0.740736	2.9	3.4	3.3	4	4.5	4.8	3.6	2.6	3.7	3.4	3.62
65	0.75231	2.9	3.4	3.3	4	4.5	4.7	3.5	2.6	3.7	3.3	3.59
66	0.763884	2.9	3.4	3.2	4	4.5	4.6	3.4	2.5	3.7	3.3	3.55
67	0.775458	2.8	3.3	3.1	3.9	4.5	4.5	3.4	2.5	3.6	3.2	3.48
68	0.787032	2.8	3.3	3.1	3.9	4.4	4.4	3.4	2.5	3.4	3.1	3.43
69	0.798606	2.8	3.2	3	3.8	4.2	4.3	3.3	2.4	3.3	3	3.33
70	0.81018	2.8	3.2	2.9	3.7	4.2	4.3	3.3	2.4	3.3	3	3.31
71	0.821754	2.8	3.2	2.9	3.7	4	4.3	3.3	2.4	3.2	2.9	3.27
72	0.833328	2.8	3.1	2.9	3.6	4	4.2	3.2	2.4	3.1	2.9	3.22
73	0.844902	2.7	3.1	2.8	3.5	4	4.2	3.2	2.3	3	2.8	3.16

TESTS CON  
FALLA DE ORIGEN

No. HRS	% ANUAL	AÑOS										PROM. [mm/h]
		1996	1995	1994	1993	1992	1991	1990	1989	1988	1987	
74	0.856476	2.6	3.1	2.8	3.5	4	4.1	3.2	2.3	3	2.8	3.14
75	0.86805	2.5	3	2.6	3.5	3.9	4.1	3.2	2.2	3	2.8	3.08
76	0.879624	2.5	2.9	2.6	3.3	3.8	3.9	3.1	2.2	3	2.7	3
77	0.891198	2.5	2.9	2.6	3.3	3.8	3.9	3.1	2.2	2.9	2.7	2.99
78	0.902772	2.4	2.9	2.6	3.2	3.8	3.8	3.1	2.2	2.9	2.7	2.96
79	0.914346	2.4	2.9	2.5	3.2	3.7	3.8	3	2.1	2.8	2.7	2.91
80	0.92592	2.4	2.8	2.5	3.1	3.5	3.8	3	2.1	2.8	2.7	2.87
81	0.937494	2.4	2.8	2.5	3.1	3.5	3.8	2.9	2.1	2.7	2.7	2.85
82	0.949068	2.3	2.8	2.5	3.1	3.5	3.8	2.9	2	2.7	2.6	2.82
83	0.960642	2.3	2.7	2.4	3	3.5	3.7	2.8	2	2.7	2.6	2.77
84	0.972216	2.3	2.7	2.4	3	3.4	3.6	2.7	2	2.6	2.6	2.73
85	0.98379	2.3	2.7	2.4	3	3.4	3.6	2.7	2	2.5	2.5	2.71
86	0.995364	2.3	2.7	2.3	2.8	3.4	3.5	2.7	2	2.5	2.5	2.67
87	1.006938	2.3	2.6	2.3	2.8	3.4	3.4	2.7	1.9	2.5	2.4	2.63
88	1.018512	2.3	2.6	2.3	2.7	3.3	3.4	2.7	1.9	2.5	2.4	2.61
89	1.030086	2.3	2.6	2.3	2.7	3.2	3.4	2.7	1.9	2.5	2.4	2.6
90	1.04166	2.3	2.6	2.3	2.7	3.1	3.4	2.6	1.8	2.4	2.3	2.55
100	1.1574	1	2.4	2.1	2	2.8	3.3	2.2	1.7	2.2	2.1	2.18

Tabla 5.2 Precipitaciones acumulativas durante los años 1987-1996 en la Cd. de México D.F.

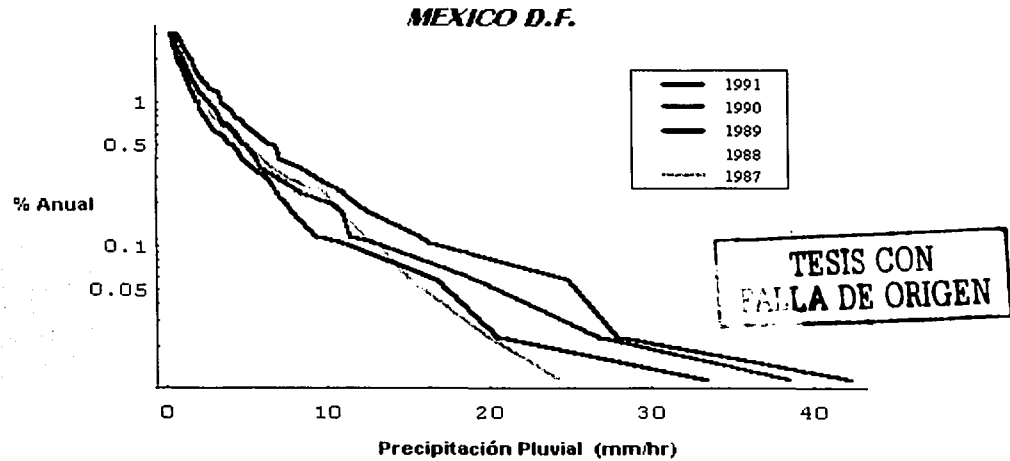


Figura 5.6 Gráfica de precipitación acumulativa en la Cd. de México D.F. durante los años 1987-1991

**ANÁLISIS DE LOS DATOS DE PRECIPITACIÓN POR LLUVIA**

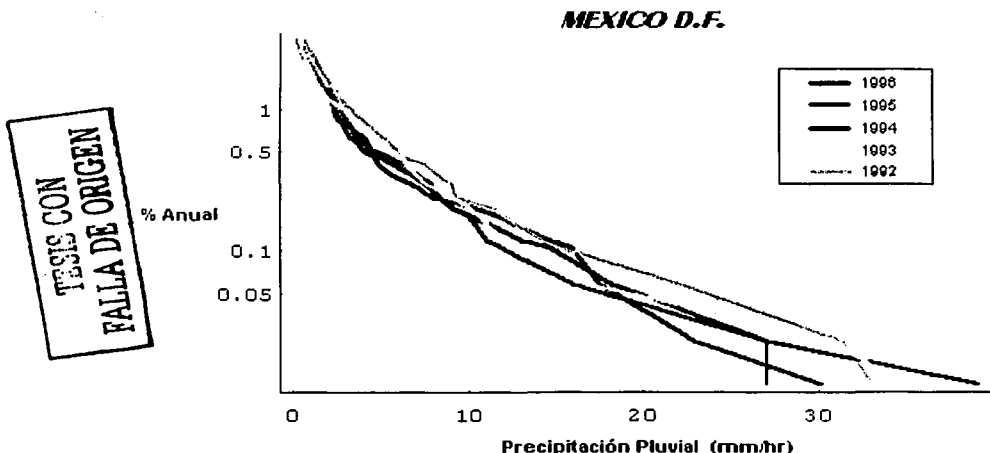


Figura 5.7 Gráfica de precipitación acumulativa en la cd. de México D.F. durante los años 1992-1996

No. HRS	% ANUAL	AÑOS										PROM. [mm/h]
		1996	1995	1994	1993	1992	1987	1986	1985	1984	1983	
1	0.0115	50.5	30.4	23	34.7	27.2	30.3	58.5	36.8	45.8	37.1	37.43
2	0.0231	35.5	29.3	17.6	23	22	21.1	47.5	35.1	44.9	19.2	29.52
3	0.0347	19.4	20.5	15.6	22	20.3	13.6	45.5	35	20.1	18.4	23.04
4	0.0462	17.5	20.2	14.5	20.5	20	8.9	40.2	31.5	19.8	17.3	21.04
5	0.0578	10.5	16.5	13.5	13.5	20	5.8	36	14.5	19.7	16.5	16.65
6	0.0694	8.4	11.6	13.2	12.6	17.8	5.2	35.8	11.7	15.5	16.1	14.79
7	0.0810	6.6	10	13.2	11.6	16.5	4.3	30.2	10.8	15.2	14.1	13.25
8	0.0925	4.3	7.8	12.2	10.5	15.5	3.8	12.4	9.9	12.9	11.5	10.08
9	0.1041	4	7.3	12.1	10.5	10.2	3.8	11.7	8.6	12.8	10	9.1
10	0.115	3.2	6.3	11	10	10	3.7	9.4	8.3	12.3	9.7	8.39
11	0.1273	3.2	6	11	6.6	10	3.3	8.4	8	11.9	9.5	7.79
12	0.1388	3.2	5.7	10.1	5.8	9.2	3.3	6.7	8	10.8	9.5	7.23
13	0.1504	2.8	5	9.9	5.5	9.1	3.1	6.5	7.6	9.5	9.5	6.85
14	0.1620	2.4	4.9	9.7	5.2	8.6	2.6	5.4	7.2	8.8	9.2	6.4
15	0.1736	2.4	4.6	8.1	4.6	7.6	2.5	4.4	6.8	8.2	8.8	5.8
16	0.1851	2.3	4.5	8	4.2	7.5	2.4	4.1	6.8	8.2	8.3	5.63
17	0.1967	1.9	4.3	7.9	4	7.5	2.3	4.1	6.1	8	8	5.41
18	0.2083	1.8	3.8	7.8	3.9	7.5	2.1	4	6	7.4	8	5.23
19	0.2199	1.4	3.7	6.7	3.5	7.4	2	3.9	5.6	7	7.2	4.84
20	0.23148	1.1	3.4	6.3	3.4	6.9	1.9	3.2	5.4	6.4	7	4.5

## HERMOSILLO SON.

No. HRS	% ANUAL	AÑOS										PROM. [mm/h]
		1996	1995	1994	1993	1992	1987	1986	1985	1984	1983	
21	0.2430	1.1	3.4	5.8	3.1	6.7	1.9	3	5.3	6.3	6.9	4.35
22	0.2546	1	3.3	5.5	3	6.1	1.9	3	5.1	6	6.4	4.13
23	0.2662	0.9	3.2	5.3	2.9	5.8	1.8	3	5	5.7	6.1	3.97
24	0.2777	0.8	2.7	5.1	2.8	5.6	1.7	2.8	4.8	5.5	5.7	3.75
25	0.289	0.8	2.7	5	2.7	5.5	1.6	2.6	4.2	5.5	5.6	3.62
26	0.3009	0.7	2.6	4.8	2.7	5.5	1.6	2.6	4.1	5.5	5.6	3.57
27	0.3124	0.7	2.3	4.8	2.6	5	1.5	2.5	4.1	5.5	5.4	3.44
28	0.3240	0.7	2.2	4.5	2.5	5	1.4	2.3	4	5.1	5.4	3.31
29	0.3356	0.7	2.1	4.3	2.5	4.6	1.4	2.3	3.2	5.1	4.9	3.11
30	0.347	0.6	2	4.3	2.5	4.4	1.4	2.1	2.8	4.9	4.5	2.95
31	0.3587	0.5	1.8	4.3	2.5	4.4	1.4	2.1	2.8	4.8	4.5	2.91
32	0.3703	0.5	1.7	4.3	2.4	4.1	1.3	2	2.7	4.8	4.4	2.82
33	0.3819	0.5	1.7	4.2	2.4	4	1.3	2	2.6	4.7	4.3	2.77
34	0.3935	0.5	1.5	4.1	2.4	3.8	1.3	2	2.6	4.4	4.1	2.67
35	0.405	0.5	1.5	4	2.4	3.7	1.2	1.9	2.4	4.4	3.9	2.59
36	0.4166	0.4	1.4	3.6	2.4	3.5	1.2	1.8	2.1	4.3	3.8	2.45
37	0.4282	0.4	1.4	3.5	2.3	3.5	1.2	1.7	2.1	4.3	3.8	2.42
38	0.4398	0.4	1.4	3.5	2.2	3.5	1.1	1.7	1.9	4.2	3.6	2.35
39	0.4513	0.4	1.4	3.3	2.2	3.5	1.1	1.7	1.9	4.1	3.5	2.31
40	0.462	0.3	1.4	3.3	2.2	3	1.1	1.6	1.8	4.1	3.3	2.21
41	0.4745	0.3	1.3	3.2	2.1	2.6	1	1.6	1.8	4	3.2	2.11
42	0.4861	0.2	1.2	3.2	2	2.6	1	1.5	1.7	4	3.2	2.06
43	0.4976	0.2	1.2	3	2	2.4	0.9	1.5	1.7	3.8	3.1	1.98
44	0.5092	0.2	1.2	3	1.9	2.3	0.9	1.4	1.7	3.7	3	1.93
45	0.5208	0.2	1.2	2.9	1.9	2.3	0.9	1.4	1.7	3.5	2.9	1.89
46	0.5324	0.2	1.2	2.7	1.8	2.3	0.9	1.4	1.6	3.4	2.9	1.84
47	0.5439	0.2	1.1	2.6	1.8	2.2	0.9	1.4	1.6	3.3	2.9	1.8
48	0.5555	0.2	1	2.6	1.7	2.2	0.9	1.3	1.5	3.2	2.8	1.74
49	0.5671	0.2	1	2.6	1.7	2	0.9	1.2	1.5	3.1	2.7	1.69
50	0.5787	0.2	1	2.3	1.6	1.8	0.9	1.2	1.5	3	2.7	1.62
51	0.5902	0.2	0.9	2.2	1.6	1.8	0.8	1.2	1.5	3	2.7	1.59
52	0.6018	0.1	0.9	2.2	1.6	1.8	0.7	1.1	1.4	3	2.6	1.54
53	0.6134	0.1	0.9	2.2	1.5	1.7	0.7	1.1	1.4	2.9	2.6	1.51
54	0.6249	0.1	0.9	2	1.5	1.7	0.7	1.1	1.4	2.8	2.5	1.47
55	0.6365	0.1	0.9	2	1.4	1.7	0.7	1.1	1.3	2.7	2.3	1.42
56	0.6481		0.9	1.9	1.4	1.6	0.6	1	1.3	2.7	2.2	1.5111
57	0.6597		0.9	1.9	1.4	1.5	0.6	1	1.2	2.6	2.2	1.4778
58	0.6712		0.7	1.7	1.4	1.5	0.5	1	1.2	2.6	2.2	1.4222
59	0.6828		0.7	1.5	1.3	1.5	0.5	1	1.1	2.4	2.2	1.3556
60	0.694		0.7	1.5	1.3	1.5	0.5	0.9	1.1	2.4	2.2	1.3444

**ANÁLISIS DE LOS DATOS DE PRECIPITACIÓN POR LLUVIA**

No. IIRS	% ANUAL	AÑOS										PROM. [mm/h]
		1996	1995	1994	1993	1992	1987	1986	1985	1984	1983	
61	0.706014		0.7	1.5	1.3	1.4	0.5	0.9	1	2.3	2.1	1.3
62	0.717588		0.7	1.5	1.3	1.4	0.5	0.9	1	2.3	2	1.2889
63	0.729162		0.6	1.3	1.3	1.3	0.5	0.9	1	2.1	2	1.2222
64	0.740736		0.6	1.3	1.2	1.3	0.5	0.9	1	2.1	1.9	1.2
65	0.75231		0.6	1.2	1.2	1.3	0.5	0.9	1	1.9	1.9	1.1667
66	0.763884		0.6	1.1	1.2	1.2	0.4	0.9	1	1.9	1.8	1.1222
67	0.775458		0.6	1.1	1.2	1.2	0.4	0.9	1	1.9	1.8	1.1222
68	0.787032		0.5	1	1.2	1.1	0.4	0.8	1	1.9	1.8	1.0778
69	0.798606		0.4	1	1.2	1.1	0.3	0.8	0.9	1.8	1.8	1.0333
70	0.81018		0.4	0.9	1	1.1	0.3	0.8	0.9	1.8	1.7	0.9889
71	0.821754		0.4	0.9	1	1.1	0.3	0.8	0.9	1.8	1.7	0.9889
72	0.833328		0.4	0.9	1	1.1	0.3	0.7	0.9	1.8	1.7	0.9778
73	0.844902		0.4	0.9	1	1.1	0.3	0.7	0.9	1.7	1.7	0.9667
74	0.856476		0.4	0.8	0.9	1	0.3	0.7	0.8	1.7	1.7	0.9222
75	0.86805		0.4	0.8	0.9	1	0.3	0.7	0.8	1.6	1.7	0.9111
76	0.879624		0.3	0.8	0.9	1	0.3	0.7	0.7	1.6	1.6	0.8778
77	0.891198		0.3	0.8	0.9	0.9	0.3	0.7	0.7	1.6	1.5	0.8556
78	0.902772		0.3	0.8	0.8	0.9	0.3	0.7	0.7	1.5	1.5	0.8333
79	0.914346		0.3	0.8	0.8	0.9	0.2	0.7	0.7	1.5	1.5	0.8222
80	0.92592		0.3	0.8	0.8	0.8	0.2	0.7	0.7	1.5	1.4	0.8
81	0.937494		0.2	0.7	0.8	0.8	0.2	0.7	0.6	1.5	1.3	0.7556
82	0.949068		0.2	0.7	0.8	0.8	0.2	0.6	0.6	1.5	1.3	0.7444
83	0.960642		0.2	0.7	0.8	0.8	0.2	0.6	0.6	1.4	1.3	0.7333
84	0.972216		0.2	0.7	0.7	0.8	0.2	0.6	0.6	1.4	1.3	0.7222
85	0.98379		0.2	0.7	0.7	0.8	0.2	0.6	0.6	1.4	1.3	0.7222
86	0.995364		0.2	0.7	0.7	0.8	0.2	0.5	0.5	1.4	1.3	0.7
87	1.006938		0.2	0.7	0.7	0.7	0.2	0.5	0.5	1.4	1.3	0.6889
88	1.018512		0.2	0.6	0.6	0.7	0.2	0.5	0.5	1.4	1.2	0.6556
89	1.030086		0.2	0.6	0.6	0.7	0.2	0.5	0.5	1.3	1.2	0.6444
90	1.04166		0.2	0.6	0.6	0.7	0.1	0.5	0.5	1.3	1.2	0.6333
100	1.1574		0.1	0.5	0.5	0.5	0.1	0.4	0.4	1.1	1.1	0.5222

Tabla 5.3 Precipitaciones acumulativas durante los años 1983-87 y 1992-96 en la Cd. de Hermosillo, Son.

**TESIS CON  
FALLA DE ORIGEN**

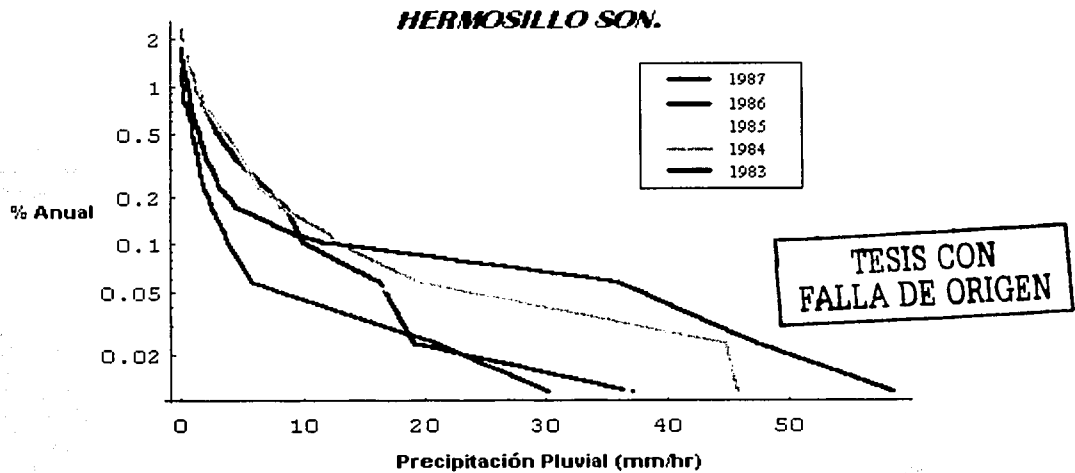


Figura 5.8 Gráfica de precipitación acumulativa en la Cd. de Hermosillo, Son. durante los años 1983-1987

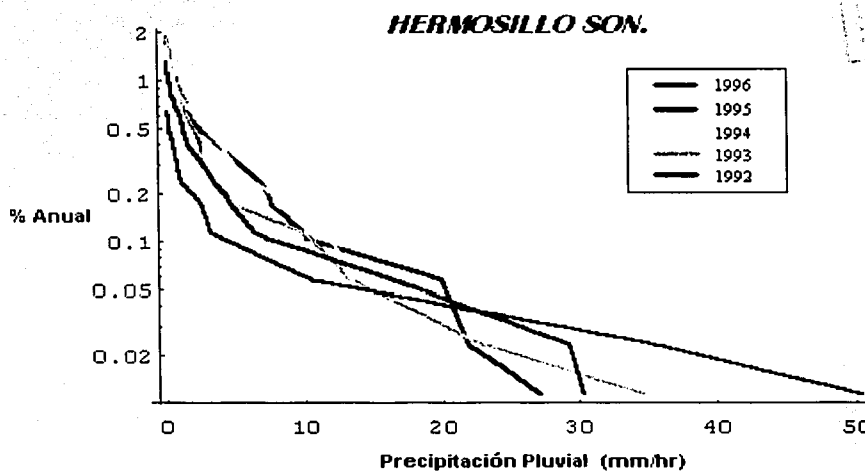


Figura 5.9 Gráfica de precipitación acumulativa en la Cd. de Hermosillo, Son. durante los años 1992-1996

### 5.1.2.1 Modelos de precipitación resultantes

Los datos que obtuvimos representan los modelos de precipitación de cada una de las localidades analizadas, se obtuvo la media del período de 10 años para las mismas. Las modelos en forma de estadísticas de razón de lluvia acumulativa se muestran en las figuras 5.10, 5.11 y 5.12, a estos los llamaremos modelos estadísticos.

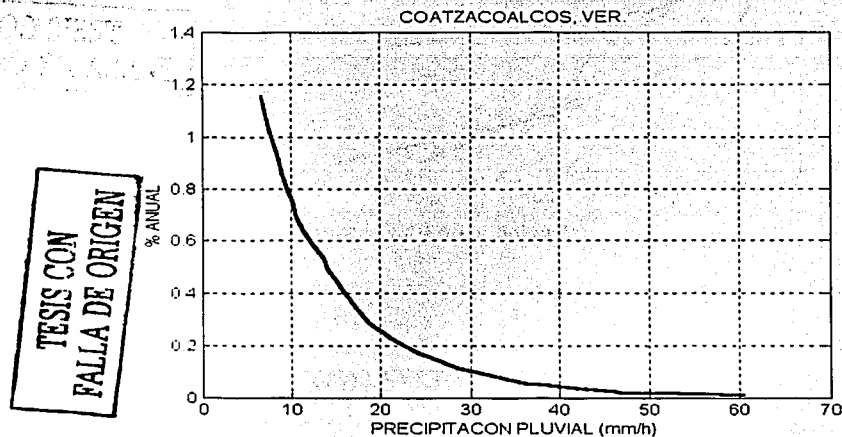


Figura 5.10 Modelo de precipitación para Coatzacoalcos, Ver.

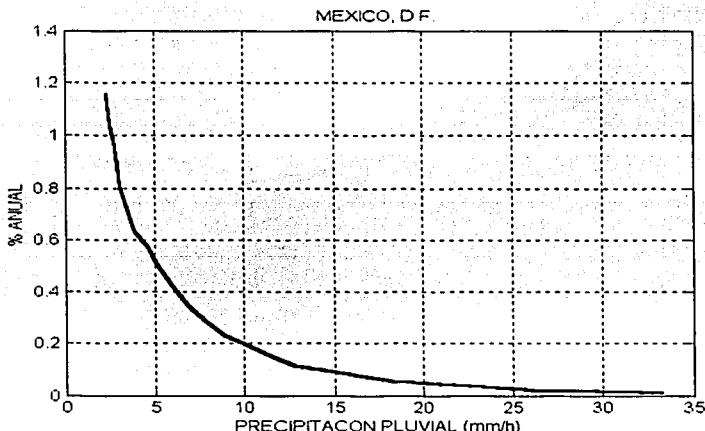


Figura 5.11 Modelo de Precipitación para México D.F.

TESIS CON  
FALLA DE ORIGEN

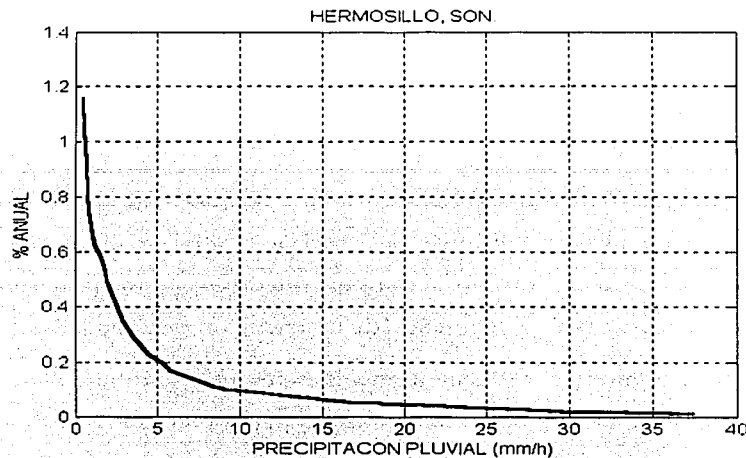


Figura 5.12 Modelo de precipitación para Hermosillo, Son.

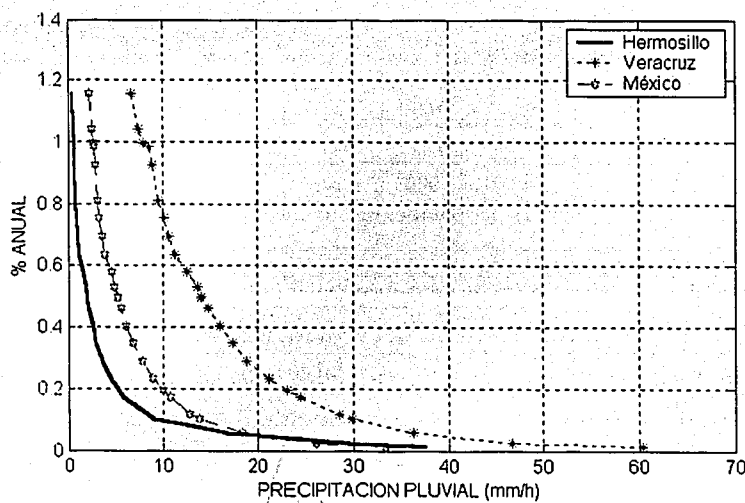


Figura 5.13 Modelo de precipitación para las tres ciudades

### 5.1.3 COMPARACIÓN DE LOS RESULTADOS OBTENIDOS CON LOS DISTINTOS MODELOS

Con el objetivo de conocer el comportamiento de los diferentes modelos de precipitación se presenta a continuación la comparación de los mismos en forma gráfica.

El formato gráfico de estadísticas acumulativas presentado muestra los parámetros razón de lluvia en la abscisa y el porcentaje total de tiempo en la ordenada. Usualmente el porcentaje de tiempo de excedencia es interpretado como una probabilidad y la curva de excedencia estadística como la función de distribución de probabilidad acumulativa.

Para aplicar el modelo de Rice-Holmberg se emplea el desarrollo presentado en el capítulo 4 sección 4.2, el cual hace uso de mapas para obtener los parámetros necesarios para hacer la predicción, los cuales son la precipitación anual promedio  $M$ , y la razón de tormentas  $\beta$  (ver figuras 4.2 y 4.3), se obtienen los resultados presentados en la tabla 5.4.

Nombre del sitio	Ubicación		Parámetros Rice-Holmberg		Precipitación en mm/h y su porcentaje anual			
	Latitud	Longitud	$M$	$\beta$	1 %	0.1 %	0.01 %	0.001 %
México D.F.	19.9	99.1	1000	0.5	3	25	100	180
Coatzacoalcos Ver.	18.1	94.4	2000	0.7	5	51	126	203
Hermosillo Son.	29.1	110.9	500	0.1	1	10	23	90

Tabla 5.4 Resultados para las localidades estudiadas empleando el modelo Rice-Holmberg

La figura 5.14 muestra la comparación para la Cd. de Coatzacoalcos Ver., en donde el modelo que más se aproxima al modelo estadístico es el propuesto por la UIT-R con un error de 4.72%, mientras que los modelos Global-Crane y el de Rice-Holmberg tienen un error del 5.67% y 30.25% respectivamente.

TESIS CON  
FALLA DE ORIGEN

## COATZACOALCOS, VER.

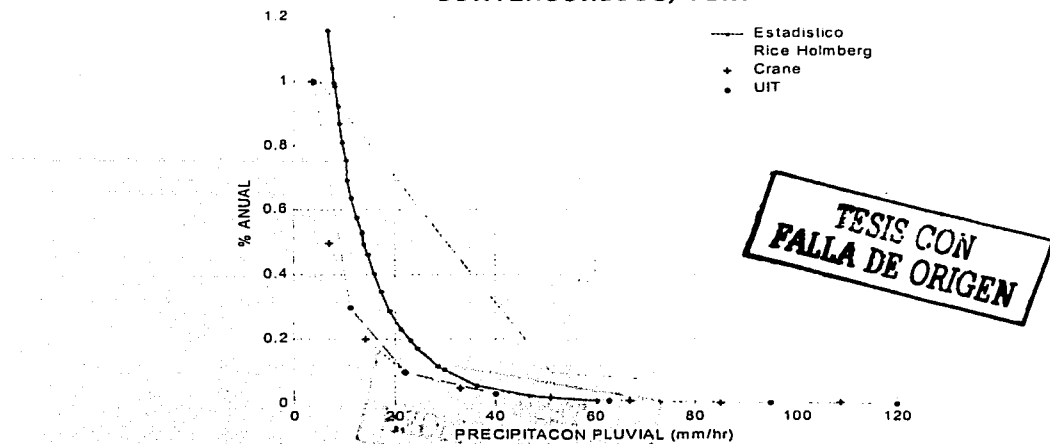


Figura 5.14 Comparación del modelo resultante con los propuestos para la Cd. de Coatzacoalcos Ver.

La figura 5.15 muestra la comparación para la Cd. de México D.F., en donde el modelo que más se aproxima al estadístico es, una vez más, el propuesto por Global-Crane con error del 1%, mientras que los modelos Rice- Holmberg y el de UIT-R tienen un error del 2.4% y 2% respectivamente.

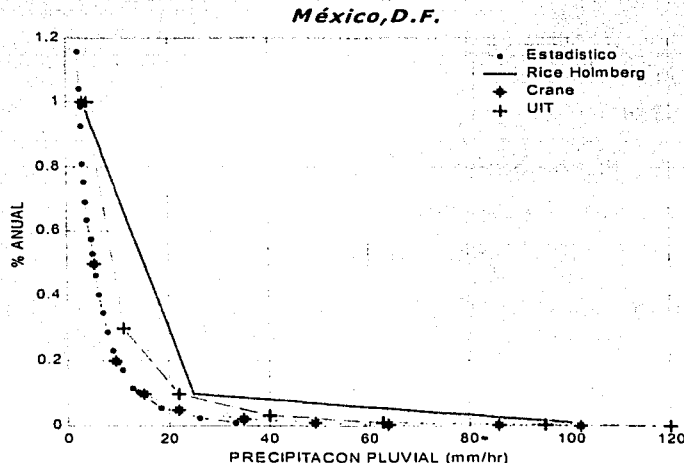


Figura 5.15 Comparación del modelo resultante con los propuestos para la Cd. de México D.F.

Como se observa en la figura 5.16, a diferencia de las dos localidades anteriores, en la Cd. de Hermosillo, Son. el modelo que más se aproxima al obtenido estadísticamente es el propuesto por UIT-R con un error del 3.94%, mientras que los modelos Rice-Holmberg y el Gobal-Crane tienen un error del 4.09% y 4.43% respectivamente.

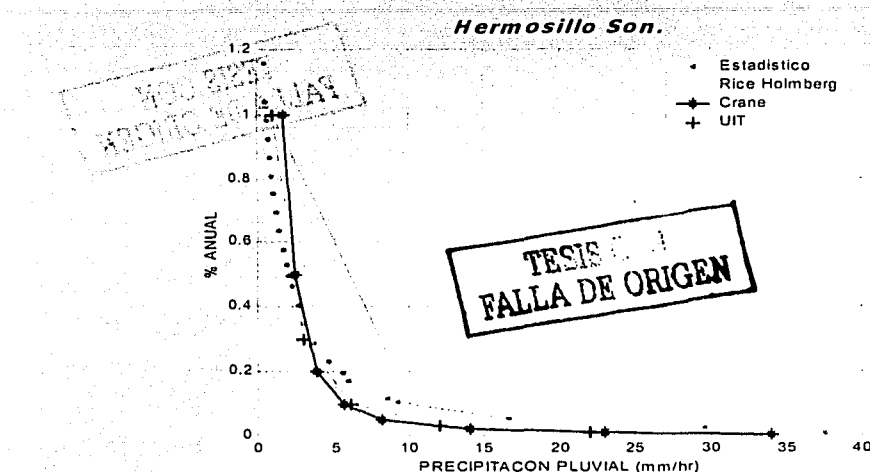


Figura 5.16 Comparación del modelo resultante con los propuestos para la Cd. de Hermosillo Son.

## 5.2 APLICACIÓN EN LOS MODELOS DE PREDICCIÓN DE ATENUACIÓN

Una vez hecha la comparación de los modelos de precipitación pluvial con datos propios de las localidades, el siguiente paso es la aplicación de los mismos, utilizando para ello los programas de cómputo correspondientes.

Un modelo de predicción de atenuación por lluvia sigue un procedimiento para predecir el tiempo en que un enlace estará fuera de servicio debido a la atenuación por lluvia excesiva. El formato de las predicciones de los modelos se presenta en forma de estadísticas de excedencia acumulativas. Las estadísticas de excedencia acumulativas por si solas no dan información acerca de la frecuencia y duración de períodos de

excedencia, sólo dan el tiempo total; sin embargo, la naturaleza de la atenuación por lluvia es tal que los períodos de excedencia son del orden de minutos.

Es de gran interés manifestar el comportamiento de varios de los modelos de predicción de atenuación por lluvia tanto con los modelos de precipitación ya propuestos, como con los modelos de precipitación desarrollados en el capítulo 4. Una vez presentado el comportamiento existirá una base para validar el más adecuado, teniendo en mente que el modelo más apropiado es usando los datos climatológicos locales.

### 5.2.1 DESARROLLO DE UNA APLICACIÓN DE LOS MODELOS DE PREDICCIÓN EN LOS MODELOS DE ATENUACIÓN

Para lograr nuestro propósito se usó un programa desarrollado en lenguaje C, cuyo algoritmo se encuentra en el capítulo anterior, para los modelos de predicción de atenuación por lluvia de Global-Crane y el UIT-R.

Se propuso un enlace satelital en banda Ku en polarización horizontal, empleando el satélite SATMEX 6 que estará ubicado en la posición orbital de 109.2° W, haciendo uso de los parámetros presentados en la tabla 5.5. La obtención de los parámetros se encuentra en el anexo B para todas las localidades del país.

PARÁMETROS	COATZACOALCOS VER.	MÉXICO D.F.	HERMOSILLO SON.
Longitud	94.26°	99.8°	110.58°
Latitud	18.9°	19.2°	29.7°
Altitud	0.012 km	2.2 km	0.210 km
Frecuencia	12.2GHz	12.2GHz	12.2GHz
Ángulo de elevación	62.79°	64.65°	55.97°
Precipitación anual media	2800 mm	790 mm	300 mm

Tabla 5.5 Parámetros del enlace satelital propuesto

TESIS CON  
FALLA DE ORIGEN

Para los modelos UIT-R y Global-Crane se usó la tabla 3.3 para obtener los parámetros dependientes de la frecuencia y polarización de interés, además de los datos de precipitación mostrados de las figuras 5.13 a 5.15.

En las figuras 5.17 y 5.18 se presentan los resultados para la Cd. de México D.F., empleando los modelos de predicción de atenuación por lluvia Global-Crane e UIT-R respectivamente, y haciendo uso de varios modelos de precipitación pluvial. Se presenta también la figura 5.19 como un resumen de ambas figuras.

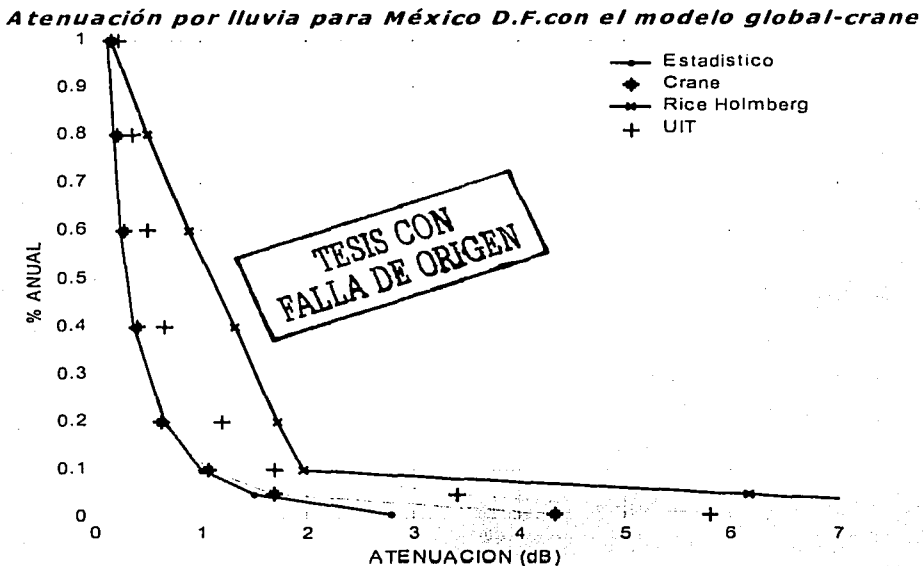


Figura 5.17 Atenuación por lluvia para México D.F. con el modelo Global-Crane

Como se observa, si hacemos uso del modelo de predicción de atenuación por lluvia Global-Crane en su región D (ver figura 4.4), el modelo de precipitación que da valores más próximos a los obtenidos con el modelo de precipitación desarrollado, es el modelo de precipitación Global-Crane, mostrando una diferencia máxima de 1.526 dB y una diferencia mínima de 0.021 dB.

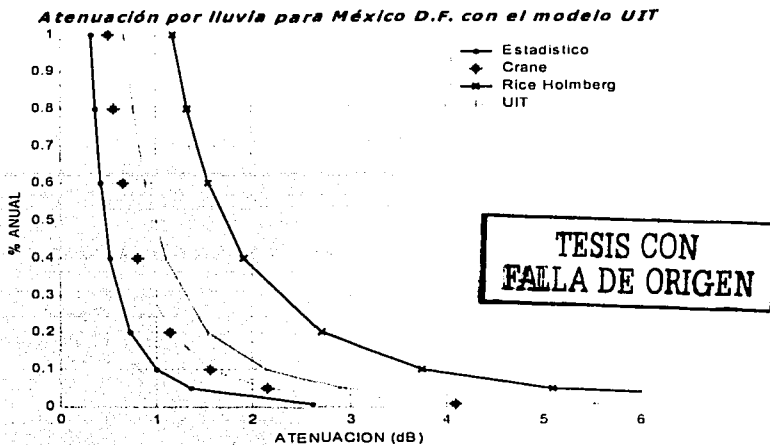


Figura 5.18 Atenuación por lluvia para México D.F. con el modelo UIT-R

De la figura anterior, si hacemos uso del modelo de predicción de atenuación por lluvia UIT-R en su región M (ver figura 3.6), el modelo más aproximado a los valores obtenidos con el modelo de precipitación desarrollado es el modelo de precipitación Global-Crane, mostrando una diferencia máxima de 1.526 dB, y una diferencia mínima de 0.021 dB.

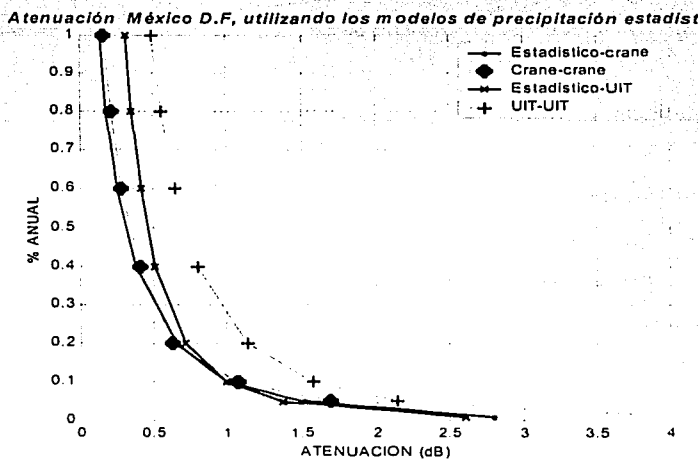


Figura 5.19 Atenuación por lluvia para México D.F. con todos los modelos estudiados

En las figuras 5.20 y 5.21 se presenta el comportamiento para Coatzacoalcos Ver., empleando los modelos de predicción de atenuación por lluvia Global-Crane e UIT-R respectivamente, y haciendo uso de varios modelos de precipitación pluvial. Se presenta también la figura 5.22 como un resumen de ambas figuras.

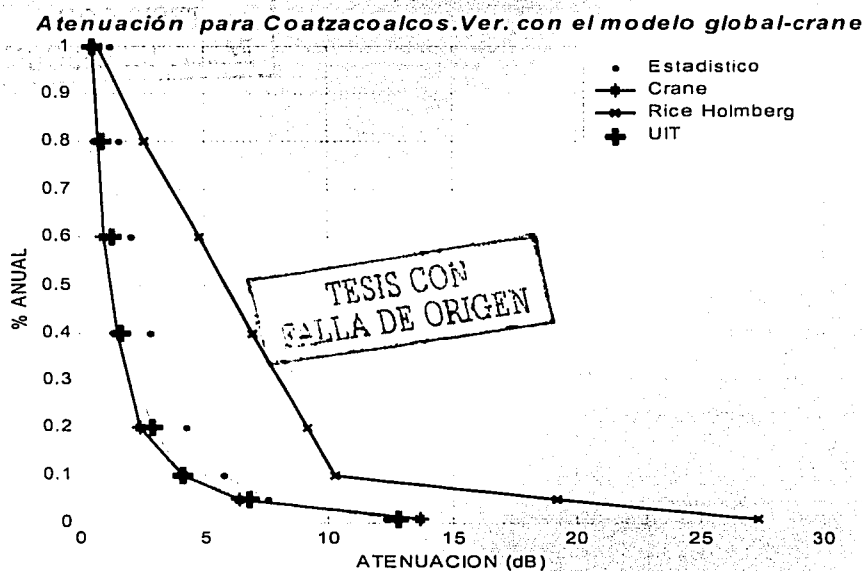


Figura 5.20 Atenuación por lluvia para Coatzacoalcos con el modelo Global-Crane

Como se observa, si hacemos uso del modelo de predicción de atenuación por lluvia Global-Crane en su región G (ver figura 4.4), el modelo más aproximado a los valores obtenidos con el modelo de precipitación desarrollado es el modelo de precipitación de UIT-R, con una gran similitud, mostrando una diferencia máxima de 1.6 dB y una diferencia mínima de 0.5 dB.

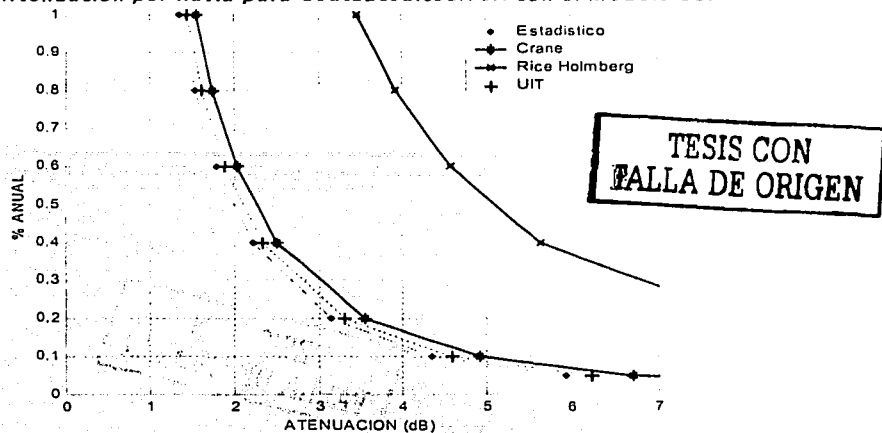
*Atenuación por lluvia para Coatzacoalcos, Ver. con el modelo UIT*

Figura 5.21 Atenuación por lluvia para Coatzacoalcos con el modelo UIT-R

De la figura anterior, si hacemos uso del modelo de predicción de atenuación por lluvia UIT-R en su región N (ver figura 3.8), el modelo más aproximado a los valores obtenidos con el modelo de precipitación desarrollado es el modelo de precipitación de UIT-R, mostrando una diferencia mínima de 0.07 dB y una diferencia máxima en el 0.5dB.

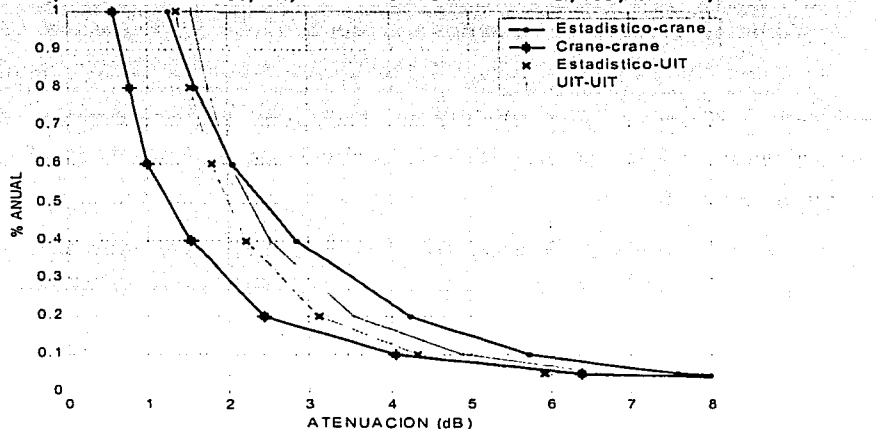
*Atenuación para Coatzacoalcos, Ver., utilizando sus modelos de precipitación y Estadístico*

Figura 5.22 Atenuación por lluvia para México D.F. con todos los modelos estudiados

Para finalizar, en las figuras 5.23 y 5.24 se presentan el comportamiento para la Cd. Hermosillo Son., empleando los modelos de predicción de atenuación por lluvia Global-Crane e UIT-R respectivamente, y haciendo uso de varios modelos de precipitación pluvial. Se presenta también la figura 5.25 como un resumen de ambas figuras.

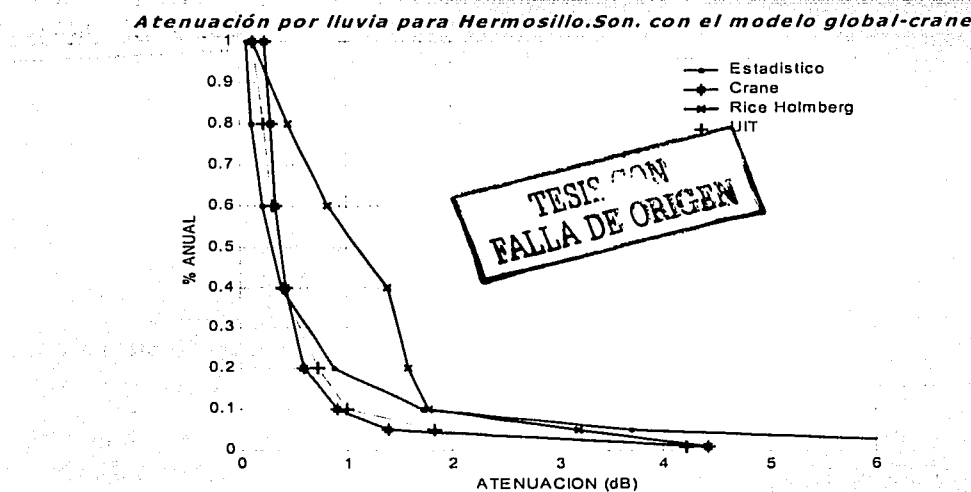


Figura 5.23 Atenuación por lluvia para Hermosillo con el modelo Global-Crane

Como se observa, si hacemos uso del modelo de predicción de atenuación por lluvia Global-Crane en su región F (ver figura 4.4), el modelo más aproximado a los valores obtenidos con el modelo de precipitación desarrollado es el modelo de precipitación UIT-R, mostrando una diferencia mínima de 0.054 dB y una diferencia máxima de 1.8 dB.

De la figura 5.24, si hacemos uso del modelo de predicción de atenuación por lluvia UIT-R en su región E (ver figura 3.8), los modelos más aproximados a los valores obtenidos con el modelo de precipitación desarrollado son los modelos de precipitación de Rice y Global-Crane, los cuales muestran una diferencia mínima 0.3dB y una diferencia máxima de 2.9 dB.

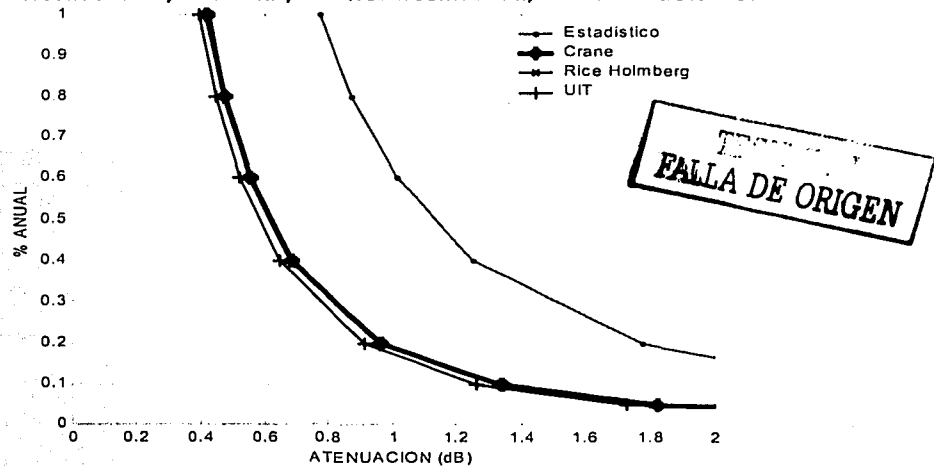
*Atenuación por lluvia para Hermosillo.Son, con el modelo UIT*

Figura 5.24 Atenuación por lluvia para Hermosillo Son. con el modelo UIT-R

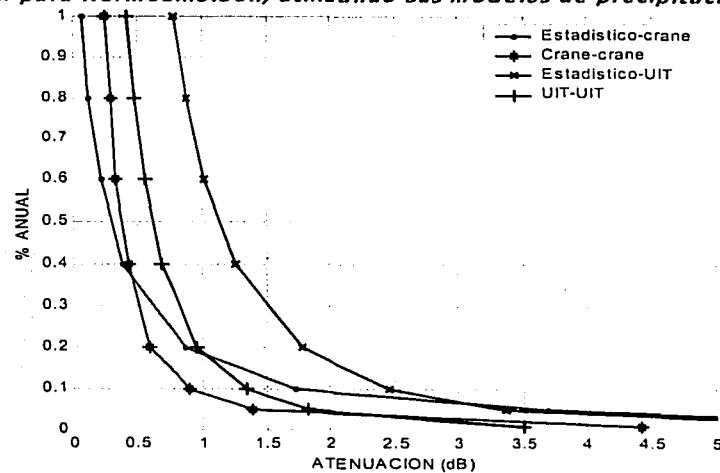
*Atenuación para Hermosillo.Son, utilizando sus modelos de precipitación y estadístico*

Figura 5.25 Atenuación por lluvia para Hermosillo con todos los modelos estudiados

Para cada una de las ciudades, los modelos de predicción de atenuación presentan valores diferentes cuando se emplean los modelos de precipitación obtenidos estadísticamente, lo cual se debe a las diferencias entre los valores supuestos en la distribución global de lluvia (UIT-R y Global-Crane) y los valores obtenidos para el territorio mexicano. Por lo cual se comprueba el porqué de la importancia que tiene la obtención de modelos de precipitación adecuados para las localidades a partir de sus datos climatológicos locales.

Como se muestra en la tabla 5.6 los resultados para Hermosillo y Coatzacoalcos, y generalizando para todo el territorio nacional, se recomendaría utilizar el modelo de precipitación UIT-R en sus regiones E y N y los modelos de predicción de atenuación Global-Crane y Ult-R respectivamente. Para la Cd. de México y generalizando para toda la región M; se recomendaría utilizar el modelo de precipitación Global-Crane y el modelo de predicción de atenuación por lluvia Global - Crane.

Modelo de atenuación		UIT-R				GLOBAL-CRANE			
Modelo de precipitación		Estadist	Crane	Rice	Ult-R	Estadist	Crane	Rice	Ult-R
<b>México D.F</b>									
REGION	99.99%	<b>2.612</b>	4.104	9.778	5.572	<b>2.802</b>	4.328	9.842	5.796
	M-UIT	<b>1</b>	1.571	3.743	2.133	<b>0.998</b>	1.074	1.965	1.690
	D2-Crane	<b>0.314</b>	0.493	1.176	0.670	<b>0.137</b>	0.158	0.158	0.233
<b>Coatzacoalcos Ver.</b>									
REGION	99.99%	<b>11.353</b>	12.854	28.798	11.949	<b>12.302</b>	13.712	27.371	12.844
	N-UIT	<b>4.346</b>	4.921	11.025	4.574	<b>5.749</b>	4.071	10.247	4.071
	G-Crane	<b>1.365</b>	1.545	3.462	1.437	<b>1.250</b>	0.579	0.750	0.579
<b>Hermosillo Son.</b>									
REGION	99.99%	<b>6.439</b>	3.495	3.495	3.311	<b>7.559</b>	4.420	4.420	4.213
	E-UIT	<b>2.465</b>	1.338	1.338	1.267	<b>1.723</b>	0.903	1.773	0.997
	F-Crane	<b>0.774</b>	0.420	0.420	0.398	<b>0.075</b>	0.237	0.129	0.129

Tabla 5.6 Márgenes de atenuación para diferentes localidades y con diferentes modelos de precipitación

### 5.2.2 TABLA COMPARATIVA DE LOS RESULTADOS

La figura 5.26 y la tabla 5.7 muestran las zonas hidrometeorológicas y los márgenes de atenuación que actualmente usa SATMEX para el cálculo de atenuación por lluvia en sus enlaces. Además, la tabla compara nuestros resultados con los valores de SATMEX, lo que nos da una visión mucho más clara de que los valores de atenuación utilizados en la práctica son mayores a los estadísticos, aunque dentro de un rango aceptable.

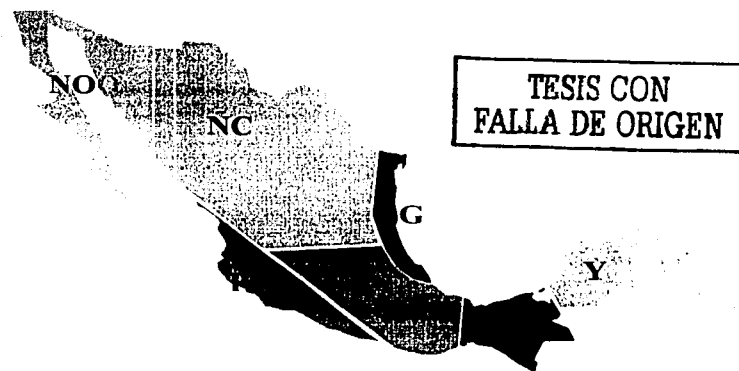


Figura 5.26 Mapa de las zonas hidrometeorológicas de SATMEX

MARGEN DE ATENUACIÓN POR LLUVIA EN BANDA KU (12.2GHz)												
MODELO	SATMEX			UIT-CRANE			UIT-UIT			CRANE-CRANE		
	%ANUAL	0.5%	0.2%	0.1%	0.5%	0.2%	0.1%	0.5%	0.2%	0.1%	0.5%	0.2%
NOR OCCIDENTE NO	0.00	1.00	1.50	0.357	0.719	0.997	0.585	0.913	1.267	0.380	0.593	0.903
CENTRO CE	0.20	2.20	4.30	0.725	1.132	1.57	0.984	1.537	2.133	0.340	0.625	1.074
ISTMO IT	0.50	3.80	6.20	2.271	3.545	4.921	2.110	3.296	4.57	1.262	2.44	4.071

Tabla 5.7 Márgenes de atenuación Rx para diferentes disponibilidades

## 5.3 ANÁLISIS DE RESULTADOS

### 5.3.1 DEPENDENCIA DE LA FRECUENCIA

Como hemos dicho anteriormente, la atenuación por lluvia también depende de la frecuencia. En la sección anterior el análisis se realizó para 12.2 GHz, que es la frecuencia descendente para un enlace satelital en banda Ku. En la figura 5.27 se muestra el comportamiento de la señal para una frecuencia de 14.5 GHz que es la frecuencia ascendente del enlace en dicha banda.

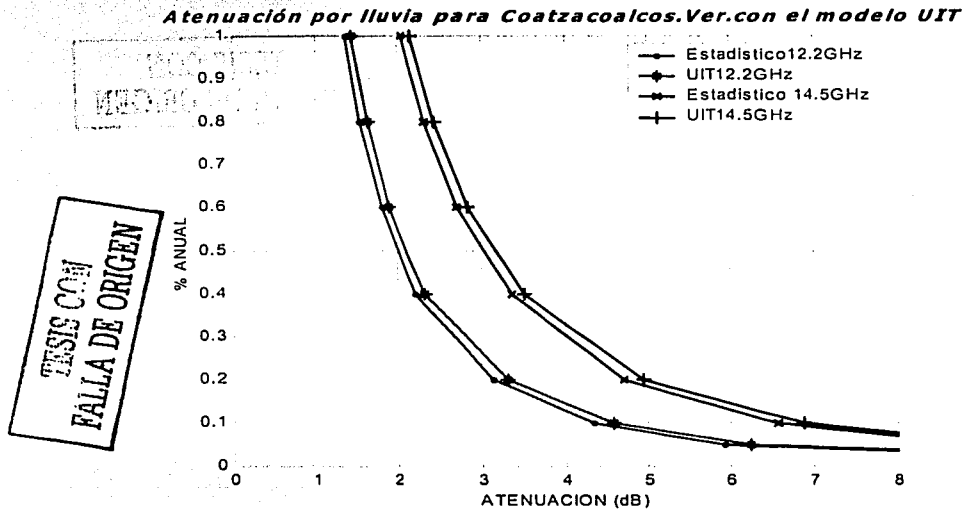


Figura 5.27 Predicciones de atenuación para 12.2GHz. y 14.5GHz.

La figura 5.27 demuestra que la atenuación por lluvia depende totalmente de la frecuencia, por lo que presentará mayor atenuación el enlace ascendente que el descendente. Esa es, de hecho, la razón por la que el enlace descendente utiliza la frecuencia más baja.

### 5.3.2 DEPENDENCIA DEL TIPO DE POLARIZACIÓN

Para verificar la dependencia con respecto al tipo de polarización se consideró el mismo enlace que en el punto 5.3.1 mostrado en la tabla 5.5 para Coatzacoalcos con el modelo de predicción de atenuación UIT-R y se usó la tabla 3.3 para obtener los parámetros dependientes de la frecuencia y polarización, los resultados finales se muestran en la figura 5.27.

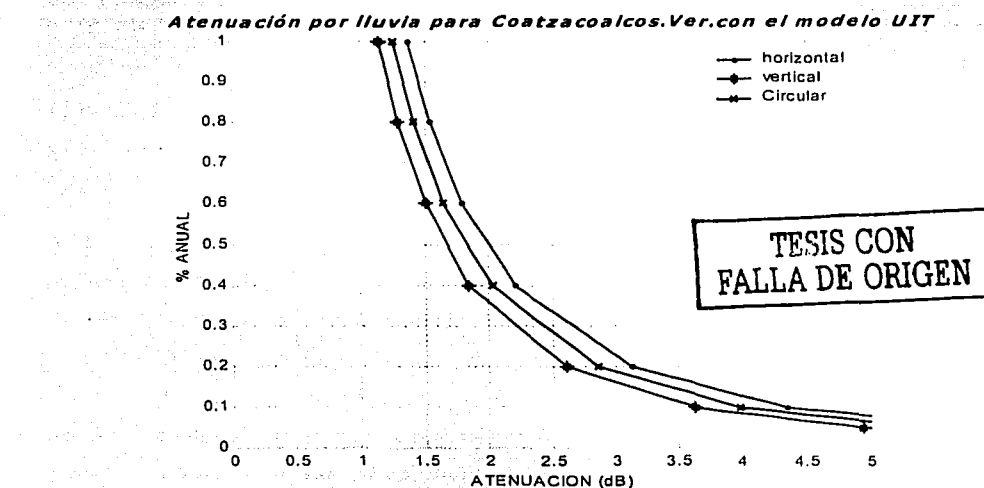


Figura 5.27 Predicciones de atenuación para diferentes polarizaciones

Los resultados de este análisis nos muestran que la polarización horizontal es la más afectada por la lluvia debido a la forma no esférica de las gotas y la polarización vertical la que menos afectada. La polarización circular, al poderse descomponer en sus componentes horizontal y vertical, tiene una atenuación promedio de éstas. Esto concuerda con otros estudios hechos respecto a la dependencia del nivel de una señal con respecto a su polarización.

## CONCLUSIONES

Partiendo de la hipótesis que los modelos de atenuación UIT y Global-Crane, alimentados por el modelo de precipitación pluvial estadístico son las mejores predicciones ya que los datos estadísticos por sí mismos representan el comportamiento real de la lluvia en un lugar específico a lo largo de un período de tiempo determinado, se realizó una comparación de los mismos modelos de atenuación pero ahora alimentados por sus propios modelos de precipitación y por el modelo Rice-Holmberg.

Los resultados de esta comparación nos permiten hacer las siguientes recomendaciones: Utilizar el modelo de precipitación de la UIT-R en sus regiones N y E (ver figura 3.6 y anexo A) y los modelos de predicción de atenuación por lluvia UIT-R y Global-Crane (ver figura 4.4) en cada una de las regiones respectivamente. Y con base en el análisis de los resultados para la Cd. de México ubicada en la región D según el modelo de precipitación Global-Crane se recomienda utilizar el modelo de precipitación Global-Crane y el modelo de predicción de atenuación por lluvia Global-Crane para toda esa región.

Estas diferencias de uso entre modelos de atenuación alimentados por modelos de precipitación radica en éstos últimos. Los modelos de precipitación Rice-Holmberg, UIT y Global-Crane se obtuvieron con datos climatológicos no tan actualizados como lo están en el modelo estadístico.

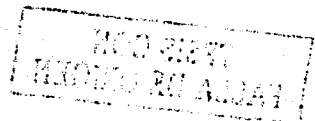
La comparación de esta conclusión parcial, para las tres zonas hidrometeorológicas seleccionadas, con los valores de atenuación utilizados por SATMEX puede observarse en las tablas 5.6 y 5.7.

En dichas tablas se observa que las recomendaciones antes citadas son las más cercanas a los valores que utiliza SATMEX para sus cálculos de enlace.

## CONCLUSIONES

Hemos de agregar que conforme se utilicen períodos mínimos de un año de precipitación pluvial y se disponga al 100% de un enlace dedicado, se podrán actualizar los diferentes modelos de precipitación lo cual, a través de los modelos de atenuación arrojarán márgenes de atenuación más reales.

También es de gran importancia mencionar que actualmente se está investigando la influencia de la lluvia almacenada en la superficie de los reflectores de las antenas, ya que modifica la atenuación de la señal. A partir de esta hipótesis, se recomienda que ésta sea considerada en el diseño de futuros modelos de predicción de atenuación por lluvia, o en su caso, se establezcan factores de atenuación relacionados con la frecuencia y se sumen a las predicciones obtenidas con los modelos ya existentes.



## ANEXO A

### CLASIFICACIÓN DE LAS ZONAS HIDROMETEOROLÓGICAS SEGÚN LA UIT

Como se muestra en los siguientes mapas, la UIT ha dividido al mundo en 14 zonas hidrometeorológicas que presentan diferentes características de precipitación.

Para la obtención de las curvas de las figuras A.1, A.2 y A.3, se han ampliado las distribuciones más allá del 0.3% a porcentajes de tiempo  $p_c$  tan grandes que la intensidad de lluvia se supone próxima a cero, utilizando la expresión:

**TESIS CON FALLA DE ORIGEN**

$$R(p) = R(0.3\%) \left[ \frac{\log(p_c / p)}{\log(0.3)} \right]^2 \text{ mm/h}$$

y utilizando, para  $R(0.3\%)$  y  $p_c$ , los siguientes valores:

Zona Hidrometeorológica	$R(0.3\%)$ mm/h	$p_c$ %
A, B	1.5	2
C, D, E	3.5	3
F, G, H, J, K	7.0	5
L, M	9.0	7.5
N, P	25.0	10

Tabla A.1

Este método es apropiado para la evaluación numérica de la distancia de dispersión por lluvia.

TESIS CON  
FALLA DE ORIGEN

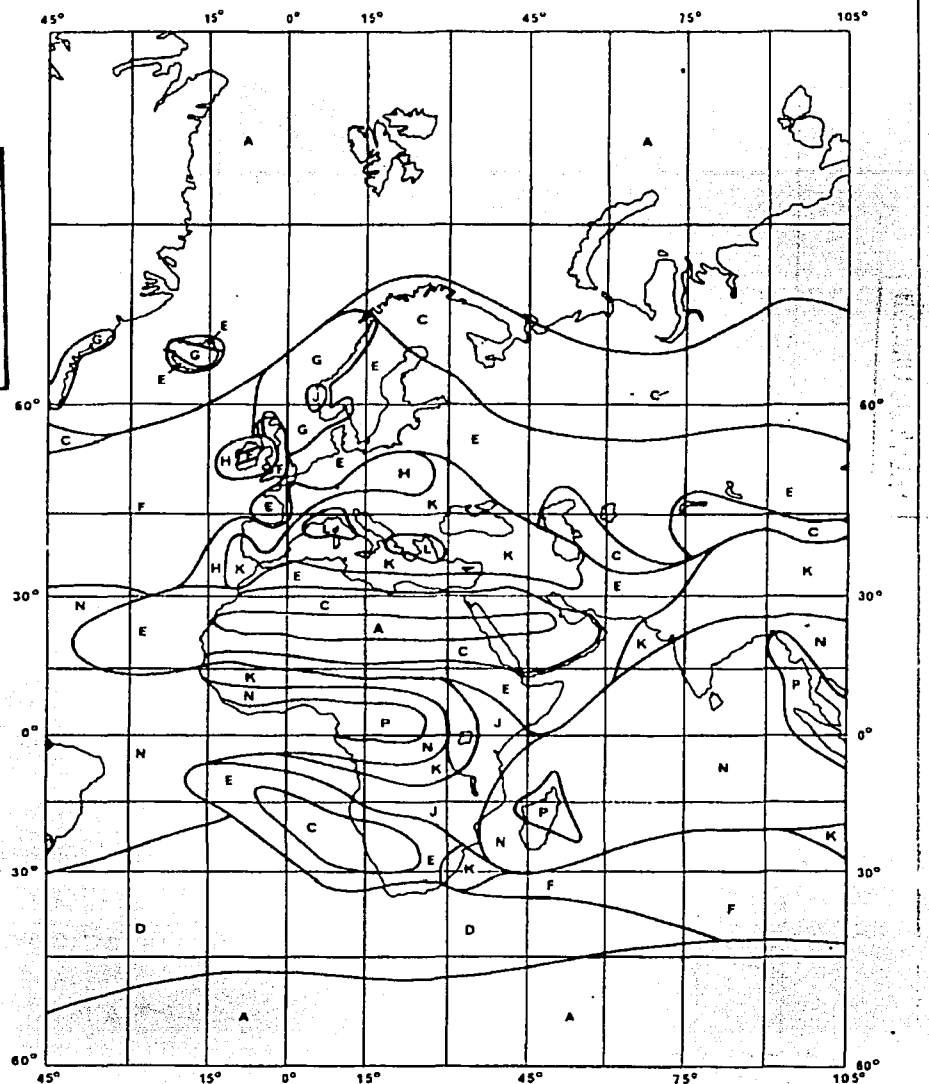


Figura A.1 Mapa de zonas hidrometeorológicas de la región 1 de la UIT

TESIS CON  
FALLA DE ORIGEN

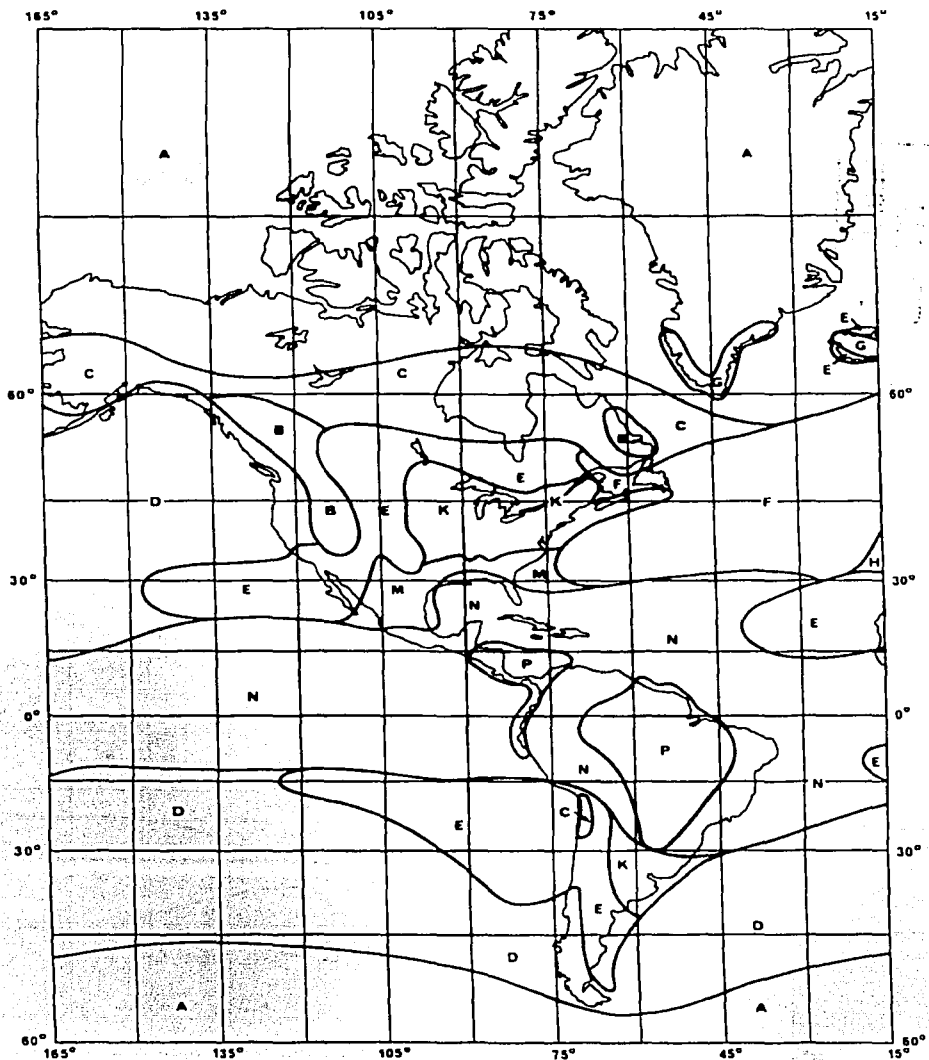


Figura A.2 Mapa de zonas hidrometeorológicas de la región 2 de la UIT

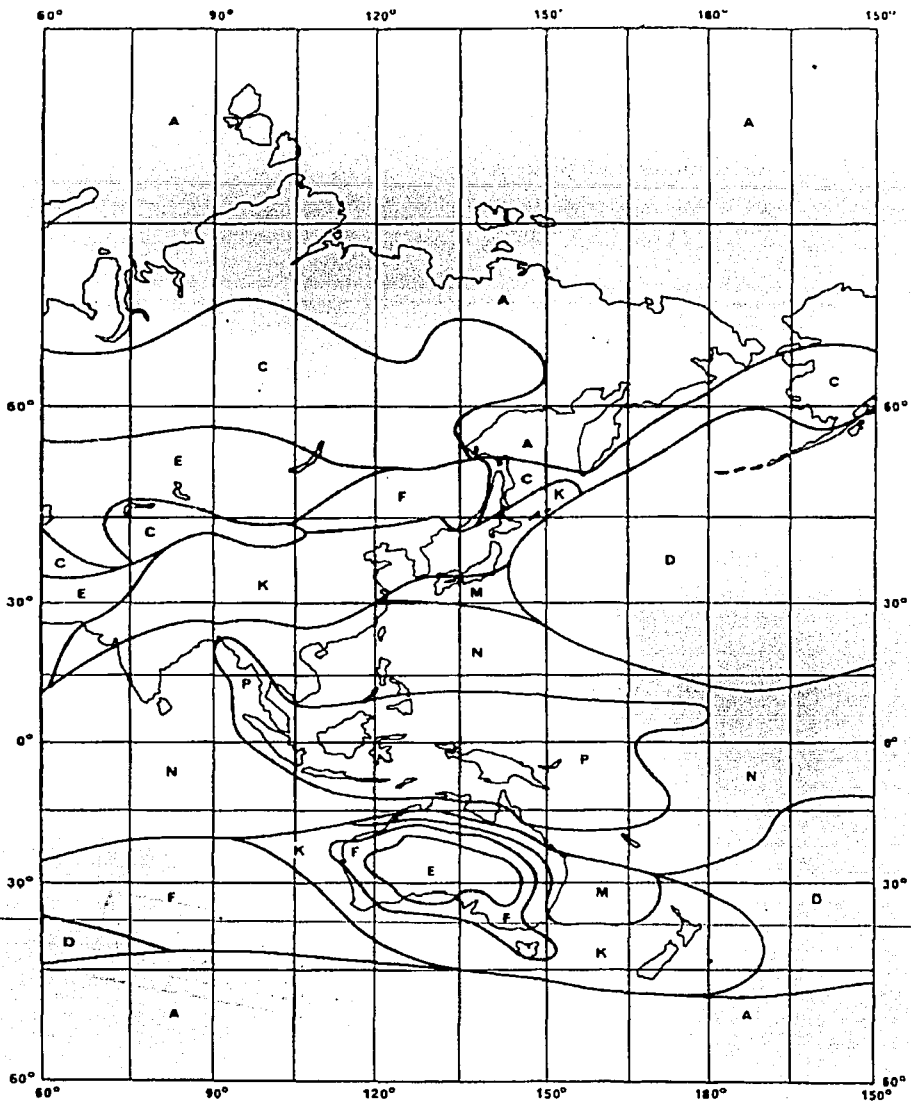


Figura A.3 Mapa de zonas hidrometeorológicas de la región 3 de la UIT

## CLASIFICACIÓN DE LAS ZONAS HIDROMETEOROLÓGICAS SEGÚN LA UIT

Para una evaluación numérica de la razón de lluvia R con un porcentaje deseado  $0.001 \leq p \leq 0.3\%$ , se tienen las siguientes ecuaciones:

Zonas hidrometeorológicas A, B:

$$R = 1.1 p^{-0.465} + 0.25 [\log(p/0.001) \log^3(0.3/p)] - [\log(p/0.1) + 1.1]^2 \text{ mm/h}$$

Zonas hidrometeorológicas C, D, E:

$$R = 2 p^{-0.466} + 0.5 [\log(p/0.001) \log^3(0.3/p)] \text{ mm/h}$$

Zonas hidrometeorológicas F, G, H, J, K:

$$R = 4.17 p^{-0.418} + 1.6 [\log(p/0.001) \log^3(0.3/p)] \text{ mm/h}$$

Zonas hidrometeorológicas L, M:

$$R = 4.9 p^{-0.48} + 6.5 [\log(p/0.001) \log^2(0.3/p)] \text{ mm/h}$$

Zonas hidrometeorológicas N, P:

$$R = 15.6 \left\{ p^{-0.383} + [\log(p/0.001) \log^{1.5}(0.3/p)] \right\} \text{ mm/h}$$

FALLA DE ORIGEN

**ANEXO B**

TESIS CON  
FALLA DE ORIGEN

## **PRECIPITACIÓN MEDIA MENSUAL Y ANUAL EN LA REPÚBLICA MEXICANA**

En el siguiente mapa se muestra con diferentes colores la precipitación media anual en la República Mexicana en el periodo de 1941 al 2000.

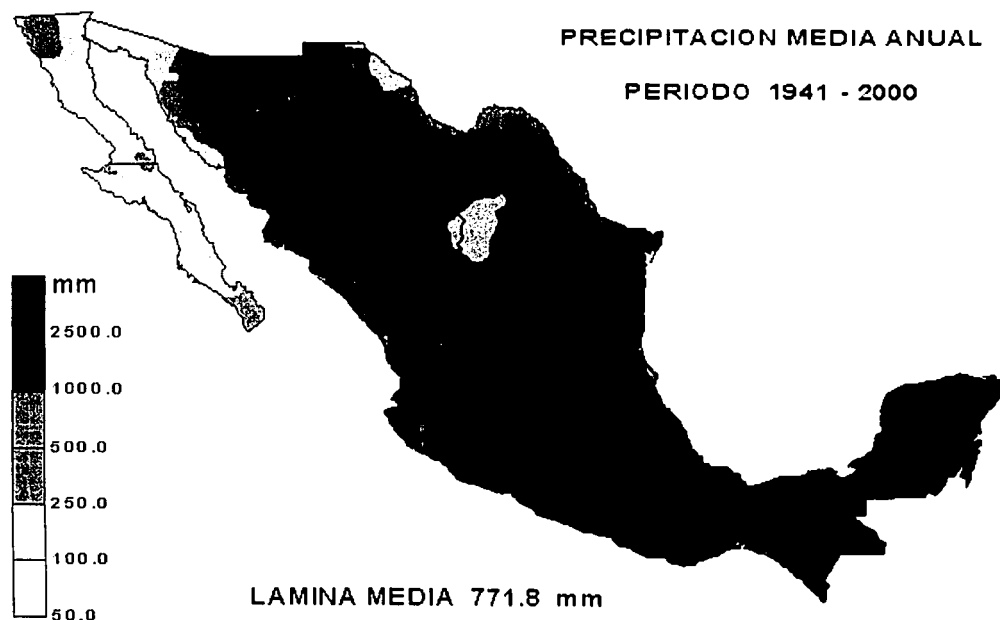
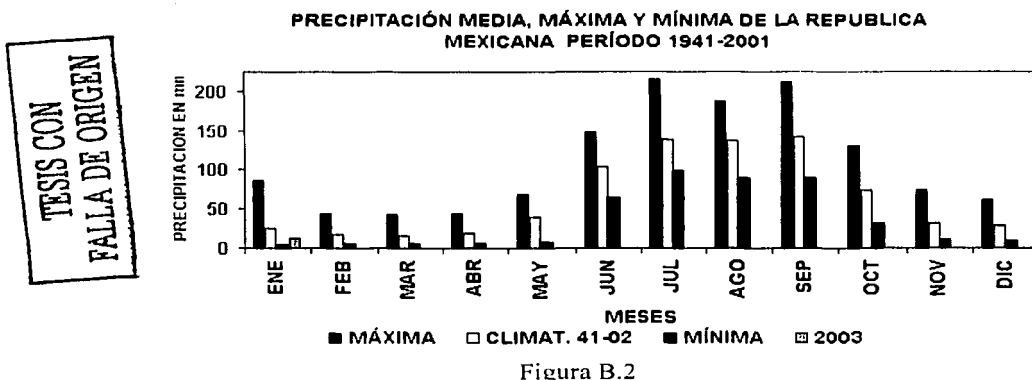


Figura B.1

En la figura B.2 se muestra la precipitación máxima, medida y mínima promedio mensual para las capitales de los Estados (período 1941-2001).



AÑO	Precipitación media mensual y anual en mm Período 1941 - 2002												ANUAL
	ENE	FEB	MAR	ABR	MAY	JUN	JUL	AGO	SEP	OCT	NOV	DIC	
1941	29.5	24.7	21.8	27.8	49.9	120.7	137.9	118.4	184.5	88.0	34.1	46.2	883.5
1942	20.3	20.6	13.0	13.4	47.9	92.0	153.6	177.8	162.7	49.8	41.4	26.8	819.3
1943	35.0	9.8	13.7	13.9	34.4	118.8	119.7	131.9	176.7	72.3	39.1	49.9	815.2
1944	20.0	19.2	25.1	9.3	32.1	117.1	102.9	185.0	200.2	55.7	39.0	18.6	824.2
1945	20.0	10.9	11.5	8.9	24.7	70.1	127.2	146.7	101.6	93.6	12.4	11.2	628.8
1946	35.5	14.7	7.6	31.3	38.7	96.7	105.2	124.8	145.7	94.1	33.0	38.0	765.3
1947	35.8	15.0	11.3	17.6	59.7	98.6	105.6	186.5	124.1	77.4	43.1	56.0	830.7
1948	26.5	25.4	10.3	18.1	45.4	106.2	160.1	108.3	148.8	80.5	38.3	31.4	799.3
1949	45.5	20.0	11.5	17.1	36.7	98.0	122.7	106.7	151.8	64.6	14.0	31.0	719.6
1950	27.2	14.3	22.8	19.0	43.5	103.1	159.1	96.6	121.4	79.7	10.4	9.0	706.1
1951	12.3	8.5	18.9	10.5	42.2	91.3	130.6	127.3	135.9	71.5	23.2	21.4	693.6
1952	10.1	10.1	16.4	32.1	45.0	141.7	143.3	124.8	137.8	42.2	36.5	22.4	762.4
1953	4.7	17.8	10.8	12.2	23.2	83.1	132.0	131.1	95.1	89.2	27.5	26.0	652.7
1954	18.4	12.6	9.7	23.6	52.4	117.2	140.4	127.1	143.2	90.0	15.4	9.1	759.1
1955	29.3	10.8	9.3	8.8	26.4	66.7	215.7	169.4	212.1	97.0	26.7	20.4	892.6
1956	16.5	10.1	6.5	15.0	67.8	115.6	125.7	101.3	114.8	46.9	27.3	20.9	668.4
1957	19.8	23.7	19.2	20.6	41.3	82.3	115.6	108.9	126.5	70.9	15.0	16.7	660.5
1958	47.7	24.3	26.0	9.7	43.5	139.2	153.8	129.4	203.6	130.5	60.9	29.2	997.8
1959	18.3	19.8	8.2	43.9	37.4	122.4	131.7	135.4	89.6	108.7	30.0	30.3	775.7
1960	34.1	10.5	8.5	16.3	27.2	64.9	153.9	149.4	98.8	82.4	27.9	25.5	699.4

**PRECIPITACIÓN MEDIA MENSUAL Y ANUAL EN LA REPÚBLICA MEXICANA**

**Precipitación media mensual y anual en mm**

**Periodo 1941 - 2002**

AÑO	ENE	FEB	MAR	ABR	MAY	JUN	JUL	AGO	SEP	OCT	NOV	DIC	ANUAL
1961	46.7	11.5	10.1	15.3	23.4	130.8	157.7	109.3	118.5	62.0	40.4	20.3	746.0
1962	20.4	9.4	12.9	28.8	24.7	107.8	111.2	107.0	147.2	73.7	24.6	25.9	693.6
1963	15.5	11.3	10.8	18.1	39.4	101.4	162.8	122.3	146.0	55.1	29.5	36.2	748.4
1964	20.0	9.6	14.9	13.1	52.5	106.3	127.3	108.1	148.4	50.6	32.0	46.6	729.4
1965	25.0	22.5	12.8	21.3	28.4	90.6	130.2	142.7	123.2	64.0	27.2	54.0	741.9
1966	27.7	28.2	17.6	28.5	51.5	128.3	131.9	156.0	123.1	93.7	18.6	27.0	832.1
1967	32.5	12.6	22.2	21.0	38.8	116.3	128.0	154.8	179.0	83.2	30.2	50.0	868.6
1968	29.7	32.6	39.8	32.2	40.5	95.3	152.1	135.5	145.1	68.3	30.9	37.3	839.3
1969	23.6	20.9	13.4	13.6	30.8	67.2	156.3	160.9	141.8	66.5	32.1	25.1	752.2
1970	18.7	25.7	13.8	9.6	30.0	123.8	142.4	162.3	183.1	45.8	18.9	8.9	783.0
1971	11.8	7.5	11.1	12.3	33.6	126.4	120.1	163.0	142.9	97.3	26.7	20.8	773.5
1972	23.0	11.0	15.1	15.6	59.3	132.1	156.9	134.3	112.4	73.9	53.0	22.9	809.5
1973	25.9	39.9	9.5	16.3	39.5	135.3	143.8	158.6	149.8	83.8	22.4	20.5	845.3
1974	22.6	16.5	14.6	21.3	36.9	102.9	144.3	122.4	170.6	53.2	36.2	25.2	766.7
1975	25.1	11.0	9.1	8.1	47.3	85.1	153.5	138.4	135.5	63.5	21.0	20.0	717.6
1976	20.0	16.8	12.4	26.4	35.3	107.2	196.8	121.5	142.5	96.0	73.3	29.8	878.0
1977	20.9	10.0	6.0	17.2	36.7	110.8	107.5	128.0	101.1	67.4	30.1	26.2	661.9
1978	19.1	28.5	29.5	12.3	39.1	107.5	142.3	134.3	194.3	92.1	30.0	37.4	866.4
1979	36.5	18.3	17.2	20.4	41.6	98.5	127.2	141.5	116.4	35.7	20.1	43.5	716.9
1980	34.5	23.3	12.5	21.7	34.0	74.2	114.9	157.5	151.9	63.9	35.3	25.8	749.5
1981	56.3	25.9	22.6	41.9	44.9	148.4	149.3	163.5	139.5	87.5	17.5	25.5	922.8
1982	18.5	19.3	13.2	27.5	55.8	64.4	112.8	89.0	111.3	62.8	41.3	53.6	669.5
1983	29.3	44.0	43.1	11.0	41.6	65.2	155.6	143.9	151.4	74.8	40.3	29.5	829.7
1984	54.4	13.4	8.2	8.7	64.7	132.9	176.5	144.1	153.2	52.7	23.8	60.8	893.4
1985	36.0	16.5	15.0	37.2	51.1	126.9	139.8	118.8	106.1	65.5	31.9	25.4	770.6
1986	15.2	14.9	10.7	26.3	57.4	122.7	115.8	103.8	125.2	83.0	36.8	36.2	748.0
1987	20.1	22.0	16.8	21.8	52.6	101.4	152.5	113.8	104.1	32.1	28.2	23.8	689.2
1988	20.2	13.2	17.7	21.7	24.8	121.6	162.4	173.8	123.8	49.7	17.9	18.8	765.6
1989	22.5	12.7	9.7	14.0	26.1	85.7	110.1	158.9	124.1	52.4	34.6	41.1	691.8
1990	23.8	25.8	18.7	14.9	44.7	80.4	201.7	157.7	153.9	92.8	30.8	32.7	877.9
1991	17.9	22.1	10.7	10.2	30.3	99.9	171.5	103.8	155.5	72.2	43.3	59.0	796.4
1992	86.2	30.5	19.0	26.6	51.6	69.1	130.0	132.1	124.7	74.2	39.1	26.2	809.3
1993	43.2	15.3	14.2	15.8	34.2	133.4	117.6	164.1	204.0	70.4	33.0	14.4	859.6
1994	25.5	13.7	13.7	18.9	23.0	70.7	102.0	153.2	129.2	79.4	43.8	45.1	718.2
1995	22.6	22.6	16.2	18.3	38.6	89.1	122.5	179.4	127.4	66.5	35.4	28.2	766.8
1996	5.9	6.0	8.5	15.9	23.4	105.5	112.9	165.9	114.9	66.8	26.5	12.2	664.4
1997	16.8	15.8	28.3	38.5	39.6	75.0	105.6	103.3	115.7	77.1	51.5	24.9	692.1
1998	12.2	16.0	12.8	6.4	7.6	68.9	138.7	139.2	172.5	112.0	43.6	11.1*	741.0

## Precipitación media mensual y anual en mm

Periodo 1941 - 2002

AÑO	ENE	FEB	MAR	ABR	MAY	JUN	JUL	AGO	SEP	OCT	NOV	DIC	ANUAL
1999	8.4	8.2	11.7	14.0	25.1	126.4	154.5	138.0	150.1	80.7	18.6	18.4*	754.1
2000	11.6	11.4	14.3	14.7	68.9	140.4	99.1	130.0	124.6	92.2	37.3	20.7*	765.2
2001	14.8	24.2	18.0	23.7	53.2	89.9	135.1	139.2	146.2	74.0	24.4	23.4*	766.1
2002	14.0	29.6	7.8	8.6	31.2	102.1	135.5	99.2	168.3	81.7	44.1	16.8*	738.9
2003	13.0												

	ENE	FEB	MAR	ABR	MAY	JUN	JUL	AGO	SEP	OCT	NOV	DIC	ANUAL
MÁXIMA	86.2	44	43.1	43.9	68.9	148.4	215.7	186.5	212.1	130.5	73.3	60.8	997.8
CLIMAT. 41-02	25.5	18	15.1	19	39.9	103.4	137.8	136.5	141.5	73.8	31.8	28.9	771.2
MINIMA	4.7	6.0	6.0	6.4	7.6	64.4	99.1	89	89.6	32.1	10.4	8.9	638.8



## ANEXO C

## DATOS PARA CADA MUNICIPIO DEL TERRITORIO NACIONAL

En la siguiente tabla se encuentran los datos geográficos, los ángulos de elevación y azimuth, así como los de la zona de precipitación del modelo Global de Crane de distribución de lluvia y la tasa a 0.01 %, de todos los municipios de nuestro país.

Las localidades están agrupadas por estado. Los estados están ubicados por orden alfabético.

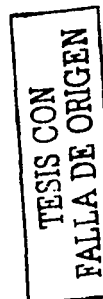
Datos de cada Municipio del Territorio Nacional										
	Longitud (°)		Latitud (°)		Altitud		Azimut		Área	
Satelite SATMEX 6										
<b>Alfredo Víctor Gómez Beltrán</b>										
Emiliano Zapata	21	32	116	17	0.02	52.03	166.15	F	26.011	
Alexandro Toledo	22	40	115	28	0.01	51.546	168.50	F	26.011	
Tuxtla Gutiérrez	22	34	116	34	0.54	51.255	166.18	F	26.011	
Tiquila	22	32	117	3	0.02	51.195	165.62	F	26.011	
Playas de Rosarito	22	21	117	3	0.01	51.996	165.55	F	26.011	
<b>Alfonso Herrera Gómez</b>										
Ciudad Constitución	23	1	111	40	0.05	60.613	174.18	F	26.011	
Santa Rosalia	27	20	112	16	0.04	57.897	173.14	F	26.011	
Paz, La	24	9	110	19	0.03	61.715	177.27	F	26.011	
San José del Cabo	23	3	109	42	0.06	61.008	178.72	F	26.011	
Loreto	26	1	111	21	0.02	59.497	175.11	F	26.011	
<b>Alfonso Reyes</b>										
Calkiní	20	22	90	3	0.01	57.049	221.94	D1	67.834	
Campinal	19	51	90	32	0.01	58.49	224.88	G	101.99	
Ciudad del Carmen	18	39	91	30	0	60.451	221.36	G	101.99	
Champotón	19	21	90	43	0.01	59.021	225.25	G	101.99	

## ANEXO C

Municipio (Compartir)	Latitud Norte Grados Minutos Seg.	Latitud Oeste Grados Minutos Seg.	Altitud metros	Área km²	Relieve de lluvia mm/año	
Acanceh	21	11	98	8	0.02	57.941
Holbox	19	45	89	51	0.09	58.031
Ixtulchén	18	13	92	5	0	60.071
Tenejapa	20	7	98	14	0.01	58.999
Escárcega	18	56	98	44	0.09	50.657
Apul	18	39	89	21	0.26	58.641
Candelaria	18	11	91	3	0.04	60.219
<b>Aspectos geográficos de Coahuila</b>						
Alvarado	27	11	101	25	0.43	57.082
Ciudad Acuña	29	14	101	56	0.28	54.613
Allende	28	21	101	51	0.38	55.466
Atarazas	25	26	100	51	1.66	58.827
Candela	26	50	100	39	0.43	57.239
Castro	26	47	101	26	0.75	57.536
Quintana Roo de Coahuila	26	36	102	4	0.74	57.496
Ecatepec	27	14	101	24	0.45	57.032
Franco I. Madero	25	46	101	16	1.1	59.157
Frontera	26	36	101	27	0.54	57.176
General Cepeda	25	22	101	26	1.47	54.1
Gutiérrez	28	18	101	21	0.22	55.56
Hidalgo	27	47	99	52	0.15	55.951
Jiménez	24	4	101	11	0.25	54.816
Juárez	27	36	101	43	0.27	56.125
Lamadrid	27	2	101	47	0.64	57.562
Matamoros	25	31	101	13	1.11	59.424
Montería	26	54	101	25	0.4	57.401
Morlos	28	24	101	31	0.37	55.401
Méjico Muniz	27	51	101	31	0.49	56.152
Nadadores	27	1	101	35	0.52	57.324
Nava	28	23	101	46	0.32	55.55
Quemado	27	18	102	23	1.11	57.229
Paras de la Fuente	25	26	102	11	1.52	59.242
Piedras Negras	28	42	101	11	0.25	55.166
Progreso	27	25	100	59	0.1	56.707
Ramón Arizpe	25	32	100	57	1.38	58.752
Sabinas	27	32	101	7	0.11	56.255
Sacramento	27	0	101	43	0.6	57.34
Sabinal	25	25	101	0	1.6	58.895
San Buenaventura	27	1	101	13	0.49	57.277
Nueva Rosita	27	56	101	13	0.38	56.211
San Pedro	25	45	102	34	1.09	59.105

TESIS CON  
FALLA DE ORIGEN

Municipio (Cuchilla)	Límite Norte Grados Minutos	Límite Oeste Grados Minutos	Altitud Kilómetros	Elevación msnm	Área en Hectáreas	Tasa de Dens. al 01/03
Santa María del Río	18° 45'	90° 45'	20	2,500	10,000	26,012
El Rosario	18° 45'	90° 45'	21	2,500	10,000	26,028
Vista Alegre	18° 45'	90° 45'	22	2,500	10,000	26,028
Valle Largo	18° 45'	90° 45'	23	2,500	10,000	26,028
Coronango	18° 45'	90° 45'	24	2,500	10,000	26,028
<b>Aspectos geográficos de Colima</b>						
Ciudad de Armería	18° 30'	90° 45'	56	2,000	10,000	195,76
Colima	18° 30'	90° 45'	45	2,000	10,000	196,23
Comala	18° 30'	90° 45'	35	2,000	10,000	196,23
Esquipulas	18° 30'	90° 45'	49	2,000	10,000	196,23
Cuauhtémoc	18° 30'	90° 45'	56	2,000	10,000	196,30
Ixtlahuacán	18° 30'	90° 45'	44	2,000	10,000	196,30
Mazamitla	18° 30'	90° 45'	19	2,000	10,000	196,67
Minatitlán El Mamey	18° 30'	90° 45'	3	2,000	10,000	196,67
Ivánoman	18° 30'	90° 45'	25	2,000	10,000	197,15
Ciudad de Villa de Álvarez	18° 15'	90° 45'	44	2,000	10,000	198,17
<b>Aspectos geográficos de Chiapas</b>						
Ahuatlán	17° 20'	92° 40'	40	1,000	10,000	226,70
Ahuatlán	17° 33'	92° 48'	0,02	2,200	10,000	223,91
Acapetahua	17° 17'	92° 41'	41	1,000	10,000	229,17
Alotenango	17° 44'	92° 2	2	1,25	2,200	227,01
Amatenango	17° 22'	92° 49'	49	0,8	2,200	227,57
Amatenango de la Frontera	17° 26'	92° 7	7	0,87	2,200	229,11
Amatenango del Valle	17° 32'	92° 26'	26	1,82	2,200	226,61
Altérango de la Paz	17° 52'	92° 43'	43	0,64	2,200	227,26
Arriaga	17° 14'	92° 54'	54	0,06	2,200	224,18
Bajío de Ocampo	17° 27'	92° 9	4	0,21	2,200	224,00
Bella Vista	17° 35'	92° 15'	1,57	2,200	226,61	10,000
Bernalzal	17° 48'	92° 17'	17	0,04	2,200	224,61
Bosquejito	17° 0	92° 54'	54	1,16	2,200	223,01
Bonampak, El	17° 4	92° 45'	45	1,06	2,200	225,23
Cahabón	17° 59'	92° 10'	10	0,48	2,200	229,84
Catazapa	17° 11'	92° 3	3	0,01	2,200	225,41
Cintalapa de Figueroa	17° 12'	92° 43'	43	0,53	2,200	221,95
Coapultla	17° 8'	92° 10'	10	1,61	2,200	224,29
Comitán de Domínguez	17° 15'	92° 8'	8	1,00	2,200	227,65
Concepción, La	17° 7'	92° 41'	41	0,74	2,200	226,89
Copanula	17° 6'	92° 11'	11	0,45	2,200	224,25
Chahabulán	17° 58'	92° 17'	17	0,26	2,200	225,58
Chamula	17° 17'	92° 41'	2,26	2,200	2,200	225,76
Chimal	17° 19'	92° 15'	15	2,11	2,200	226,77



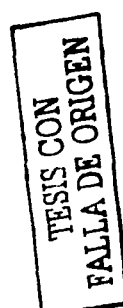
Municipio (Chiapas)	Latitud Norte		Longitud Oeste		Altitud msnm	Anterior		Tasa de Des- eñado (%)
	Grados	Minutos	Grados	Minutos		Elevación	Azimuth	
Chapultepec	17	20	92	45	8	962	223.45	100.00
Cherán	16	55	92	58	132	2,244	223.55	100.00
Chipa de Corzo	16	42	92	57	942	2,451	223.51	100.00
Chipila	16	54	92	47	153	2,234	226.00	100.00
Chivacoxo	16	56	92	56	126	2,811	224.60	100.00
Chivatolo	15	45	92	37	158	3,124	226.25	100.00
Chilón	17	4	92	36	157	2,188	226.15	100.00
Chumula	15	14	92	49	118	3,175	226.32	100.00
Ciudad Victoria (antigua)	17	57	92	56	190	2,673	225.80	100.00
Frontera Comalapa	15	49	92	50	8	1,090	228.67	100.00
Frontera Hidalgo	14	47	92	50	10	637.55	230.21	100.00
Grajales, La	15	30	92	14	134	6,273	228.78	100.00
Haciendas	15	1	92	23	105	6,176	229.14	100.00
Huatán	16	43	92	27	144	2,501	226.30	100.00
Huitupan	17	10	92	41	111	6,232	225.11	100.00
Hustla	15	9	92	28	105	6,376	229.00	100.00
Independencia, La	16	15	92	2	135	6,253	227.83	100.00
Ixtahuacán	17	18	93	1	103	6,2472	224.30	100.00
Ixtamalán	17	26	93	6	103	6,2425	223.91	100.00
Ixtapa	16	48	92	54	112	6,2791	225.33	100.00
Ixtapangajá	17	30	93	10	108	6,2491	221.01	100.00
Ixtapulco	16	40	93	39	154	6,3485	224.13	100.00
Ixtapa	17	4	92	52	165	6,2548	224.96	100.00
Jáuregui	17	36	93	12	114	6,2362	223.48	100.00
Larrainzar	16	53	92	43	21	6,2579	228.53	100.00
Libertad, La	17	41	91	43	012	6,1145	226.04	100.00
Mazapa	15	26	92	54	018	6,3769	227.70	100.00
Margarita, Las	16	19	91	59	132	6,2458	227.80	100.00
Mazapa de Madero	15	23	92	11	111	6,1132	229.08	100.00
Mazatenango	14	52	92	27	012	6,3936	229.55	100.00
Mitula de Dominguez	14	50	92	11	01	6,3733	230.09	100.00
Motacita	16	52	92	38	18	6,2527	225.72	100.00
Motonalá de Mendoza	15	22	92	15	126	6,1389	228.99	100.00
Nicaral, Río	16	26	92	35	07	6,2834	226.53	100.00
Ocosingo	16	54	92	6	04	6,2175	226.62	100.00
Ocotlán	17	11	93	10	145	6,2657	224.15	100.00
Ocosingo villa de Espíritu Santo	16	46	93	22	042	6,1183	224.51	100.00
Otula	17	24	93	20	011	6,2631	221.53	100.00
Ozumba	16	56	93	6	02	6,2859	224.74	100.00
Pachacal	16	47	93	21	2	6,2368	226.32	100.00

TRABAJO CON  
PIRÁMIDES DE ORIGEN

Municipio (Chapar)	Latitud Norte		Longitud Oeste		Altura m.s.n.m.	Anterior	Nuevo
	Grado	Minutos	Grado	Minutos		Junio	Julio
Alto de la Sierra	15	4	92	1	1.375	63.473	229.857
Alto de la Sierra	16	20	92	34	1.378	62.949	226.773
Alto de la Sierra	16	11	92	28	1.387	62.381	225.440
Alto de la Sierra	16	14	92	17	1.384	61.354	225.372
Alto de la Sierra	17	10	92	20	1.382	62.048	225.77
Alto de la Sierra	16	37	92	51	1.386	62.794	225.99
Alto de la Sierra	16	16	92	38	1.381	62.673	225.73
Alto de la Sierra	16	54	92	22	1.384	62.268	226.14
<b>Aspectos geográficos de Chihuahua</b>							
Miguel Almada	23	37	108	31	1.12	51.201	185.26
Ivan Aldama	25	50	105	55	1.27	56.165	186.78
Villa de Ignacio Allende	26	56	105	24	1.34	58.255	188.34
Santa Eulalia	28	36	105	31	1.17	56.426	186.91
Arenas	21	8	106	0	1.13	53.747	183.22
Bacanuchi	26	46	107	15	2.02	56.467	184.15
Moncayo-Balsera	26	37	106	21	1.58	58.36	186.27
Potopas	27	2	107	44	0.64	58.381	183.22
Brownsville	27	51	107	35	2.24	57.417	181.46
San Bernaventura	29	51	107	28	1.56	53.145	184.18
Santa Rosalia de Camarón	27	41	105	10	1.22	57.464	188.61
Cerro	27	35	107	3	2.08	57.121	184.54
Cañas Grandes	30	21	107	57	1.48	54.562	182.47
Imur Esteban Coronado	26	44	105	10	1.51	58.446	186.91
Santiago de Anaya	29	28	105	6	1.22	53.54	186.24
Cruz, La	27	52	105	12	1.12	57.106	185.51
Cuauhtémoc	28	21	106	32	2.06	56.753	181.90
Cuauhtémoc	28	14	106	50	2.02	56.913	184.94
Chihuahua	28	38	106	4	1.44	54.41	186.52
Chaparral de Almada	27	24	108	12	0.44	57.941	181.45
Dobles	28	11	105	28	1.17	56.845	187.47
San Lorenzo	28	9	106	29	1.6	57.005	185.74
Hermosillo del Cakana	30	7	107	17	1.43	54.85	185.15
Santa Eulalia	28	21	106	22	1.62	56.765	185.92
Valentín Gómez Farías	29	21	107	44	2.16	53.71	182.99
San Nicolás de Carrizal	28	15	106	31	1.68	56.894	185.65
Guanajuato	26	49	107	4	2.4	58.582	184.72
Guadalupe	31	21	106	6	1.1	51.292	185.94
Guadalupe y Calvo	26	6	106	58	2.12	59.145	185.07
Torres	27	16	106	17	1.42	58.119	182.00
Vicente Guerrero	28	11	107	29	2	56.51	183.39
Alto de la Sierra	26	21	106	30	1.73	56.201	187.77

Municipio (Chihuahua)	Latitud Norte		Longitud Oeste		Altitud	Anomía	Tasa de lluvia			
	Grados	Minutos	Grados	Minutos			Anomía	Elevación	Año 2014	2010%
Bacanuchi	27	31	106	41	1,946	28.26	D1	39.928		
Beleno de Zaragoza	26	59	107	46	1,941	28.26	D1	39.928		
Bentito	26	57	108	11	1,958	28.26	D1	39.928		
Besanzon-Moreno-Jiménez	27	8	104	55	1,920	28.26	D1	39.011		
Bishto	27	44	106	29	1,914	28.26	D1	39.011		
Bolívar	28	25	105	26	1,912	28.26	D1	39.011		
Cajeme-Cerro Lepor	27	50	105	44	1,943	28.26	D1	39.133		
Madera	26	12	106	8	1,941	28.26	D1	39.011		
Mazarrón	27	51	108	10	1,947	28.27	D1	39.928		
Mazatlán-Návarez	26	8	105	54	1,916	28.33	D1	39.011		
Mazatlán	28	51	107	45	1,914	28.26	D1	39.028		
Mazatlán Matamoros	26	46	105	33	1,943	28.47	D2	31.133		
Pedro Escobedo	28	16	105	29	1,913	28.73	D1	39.011		
Morlos	26	40	107	41	1,938	28.76	D1	39.133		
Morón	28	9	106	51	1,976	27.13	D1	39.011		
Namiquipa	27	15	107	23	1,934	33.82	D1	39.928		
Narvarte	27	28	106	44	1,944	37.84	D1	39.928		
Nuevo Casas Grandes	20	25	107	54	1,946	34.52	D1	39.257		
Viezhir-Champi	28	12	108	22	1,747	37.02	D1	39.726		
Manuel Ojinaga	29	34	104	24	1,918	35.11	D1	39.011		
Práxides G. Guerrero	21	22	106	10	1,911	31.11	D1	39.011		
San Andrés	28	33	106	40	1,767	36.53	D1	39.928		
Santa Cruz de Rosales	28	11	105	54	1,918	36.85	D1	39.011		
Valle del Rosario	27	19	106	18	1,935	37.93	D1	39.928		
San Francisco de Borja	27	34	106	43	1,944	37.31	D1	39.928		
San Francisco de Conchos	27	15	105	20	1,921	37.50	D1	31.133		
San Francisco del Oro	26	52	105	51	1,987	38.34	D2	31.133		
Santa Bárbara	26	48	105	49	1,941	38.46	D2	31.133		
San Francisco Javier de Sáenz	27	57	106	6	1,938	37.19	D1	39.928		
Saucillo	28	2	105	17	1,918	36.94	D1	39.011		
Tremedal	28	57	107	50	1,988	36.19	D1	39.928		
Tule El	27	1	106	16	1,938	38.24	D1	39.928		
Unguia	27	13	107	55	1,956	38.18	D1	39.928		
Urachic	27	32	106	13	1,936	37.44	D1	39.011		
Valle de Zaragoza	27	27	105	49	1,934	37.72	D1	31.133		
<b>Áreas geográficas del Distrito Federal</b>										
Acapetzingo	29	29	99	11	2,241	64.44	D2	31.133		
Coyuca	29	21	99	10	2,241	64.50	D2	31.133		
Coquimatlán de Morelos	29	21	99	18	2,276	64.63	D2	31.133		
Gustavo A. Madero	29	29	99	7	2,241	64.06	D2	31.133		
Ixtapaluca	29	24	99	6	2,241	64.62	D2	31.133		

Municipio (Distrito Federal)	Latitud Norte		Longitud Oeste		Altitud	Anomía	Tasa de lluvia			
	Grados	Minutos	Grados	Minutos						
Coatipac	19	21	109	10	2,224	64.533	28.26	D2	31.133	
Mazatlán de Cuernavaca, D.F.	19	18	109	14	2,231	64.633	28.04	D2	31.133	
Malpa, Mix	19	11	109	56	2,241	64.76	28.04	D2	31.133	
Mazatlán de Cuernavaca	19	23	109	21	2,231	64.542	28.04	D2	31.133	
Malpa	19	17	109	19	2,231	64.549	28.26	D2	31.133	
Tlalpan	19	17	109	10	2,231	64.633	28.18	D2	31.133	
Nezahualcóyotl	19	16	109	14	2,231	64.548	28.36	D2	31.133	
Bento Juárez	19	22	109	52	2,231	64.541	28.12	D2	31.133	
Naucalpan	19	26	109	56	2,231	64.474	28.04	D2	31.133	
Alfredo González	19	24	109	11	2,231	64.325	28.04	D2	31.133	
Villanueva Carranza	19	25	109	14	2,231	64.474	28.14	D2	31.133	
<b>Áreas geográficas de Durango</b>										
Coatzacoalcos	20	32	104	47	1,946	60.874	19.04	D1	39.928	
Coxila	23	7	106	33	1,934	60.478	18.22	D1	39.928	
Cerro de Cuernavaca	24	39	104	46	1,946	60.561	19.40	D1	39.928	
Cerro de Cuernavaca	24	52	103	42	1,938	60.268	19.91	D1	39.928	
Villoria de Durango	24	2	104	40	1,938	61.418	19.02	D1	39.928	
General Simón Bolívar	24	41	103	13	1,931	60.155	19.49	D1	39.928	
Gómez Palacio	23	34	103	30	1,933	59.416	19.02	D1	39.928	
Ciudad Guadalupe Victoria	24	27	104	7	2	60.851	19.21	D1	39.928	
Cuauhtémoc	25	56	105	57	2,046	59.471	18.40	D1	39.928	
Villa Hidalgo	26	15	104	55	1,7	58.453	18.61	D2	31.133	
Ende	25	55	105	13	1,946	59.341	18.95	D1	39.928	
Ciudad Lerdo	25	32	103	31	1,944	59.477	19.03	D1	39.928	
Mapimí	25	50	103	31	1,944	59.216	19.21	D1	39.928	
San Francisco del Mercadal	23	28	104	26	1,944	62.033	19.91	D1	39.928	
Natas	25	14	104	7	1,935	59.948	19.79	D1	39.928	
Nombre de Dios	23	31	104	13	1,711	61.517	19.09	D1	39.928	
Nuevo Ideal	24	53	105	4	1,949	61.329	18.75	D1	39.928	
Villa Ocampo	26	26	105	31	1,942	58.841	18.23	D2	31.133	
Santa María del Oro	25	57	103	22	1,7	59.367	18.71	D1	39.928	
Otar	24	42	106	10	1,722	60.866	18.62	D1	39.928	
Franco o J. Madrid	24	24	105	19	1,946	61.913	19.69	D1	39.928	
Peson Blanco	24	47	104	2	1,948	60.437	19.17	D1	39.928	
Villa Unión	23	58	104	1	1,949	61.361	19.23	D1	39.928	
Sulte, El	23	47	105	22	2,256	61.833	18.41	D1	39.928	
Rodríguez	25	11	105	34	1,941	60.046	19.78	D1	39.928	
San Bernardo	26	0	105	31	1,941	59.314	18.35	D2	31.133	
Tayotita	24	6	105	56	1,932	61.562	18.76	D1	39.928	
San Juan de Guadalupe	24	38	102	47	1,932	60.297	19.10	D1	39.928	
San Juan del Rio del Centenario del Norte	24	36	104	28	1,7	60.548	19.18	D1	39.928	



Número de Departamento	Latitud Norte Grados, Minutos y Segundos	Longitud Oeste Grados, Minutos y Segundos	Altitud msnm	Área km <sup>2</sup>	Tasa de lluvia	
					Enero	Diciembre
Puebla de los Santos	19° 25' 00"	98° 15' 00"	1,047	67,728	191,111	131
Puebla de Zaragoza	19° 25' 00"	98° 15' 00"	1,047	67,728	191,241	131
Santa Cruz	19° 25' 00"	98° 15' 00"	1,047	67,728	191,531	131
Santiago Papasquiaro	19° 25' 00"	98° 15' 00"	1,047	67,728	188,888	131
Silao	19° 25' 00"	98° 15' 00"	1,047	67,728	191,723	131
Tamazula de Victoria	19° 25' 00"	98° 15' 00"	1,047	67,728	185,291	131
San Bartolo de Lopéz Rayón	19° 25' 00"	98° 15' 00"	1,047	67,728	188,110	131
Huajuapan de Zaragoza	19° 25' 00"	98° 15' 00"	1,047	67,728	192,942	132
Tiquipaya	19° 25' 00"	98° 15' 00"	1,047	67,728	186,161	131
Vicente Guerrero	19° 25' 00"	98° 15' 00"	1,047	67,728	192,768	132
<b>Aspectos geográficos de Guerrero</b>						
Acapulco de Juárez	18° 52' 00"	98° 34' 00"	0,02	67,484	209,441	G
Ahuatlán	18° 43' 00"	98° 56' 00"	1,47	66,192	210,76	D2
Aquiaján del Progreso	18° 49' 00"	98° 50' 00"	0,25	66,475	210,16	D1
Alvarado de Carrillo	18° 28' 00"	98° 23' 00"	1,36	66,012	212,48	D2
Alfajayucan	17° 43' 00"	98° 31' 00"	1,046	65,932	211,87	D2
Apaxtla de Castañón	18° 8' 00"	98° 56' 00"	1,2	66,391	210,67	D2
Armena	18° 19' 00"	98° 17' 00"	0,4	66,195	210,53	D1
Atzompa del Río	18° 6' 00"	98° 06' 00"	0,64	65,818	209,81	D2
Atlampaquingó el Monte	17° 49' 00"	98° 36' 00"	1,76	66,295	212,16	D2
Axtla	17° 54' 00"	98° 56' 00"	1,66	66,211	210,97	D2
Atzompa de Alvarez	17° 11' 00"	98° 26' 00"	0,04	67,409	207,52	D1
Ayutla de los Libres	16° 58' 00"	98° 08' 00"	0,58	66,951	211,40	G
Ayutla	16° 44' 00"	98° 36' 00"	0,36	66,846	213,02	G
San Jerónimo de Juárez	17° 8' 00"	98° 28' 00"	0,02	67,512	207,54	D1
Buena Vista de Carrillo	18° 28' 00"	98° 21' 00"	1,36	65,397	208,67	D2
Cajitilayutla de Guerrero	18° 19' 00"	98° 41' 00"	0,1	66,861	202,64	D1
Córdoba	18° 14' 00"	98° 40' 00"	0,62	65,468	209,22	D2
Córdoba	16° 36' 00"	98° 59' 00"	0,04	67,227	212,25	G
Córdoba	18° 2' 00"	98° 02' 00"	0,9	65,831	210,08	D2
Coronango	17° 26' 00"	98° 43' 00"	1,38	66,218	211,65	D2
Cerro de Bernal	17° 10' 00"	98° 5' 00"	0,02	67,448	207,76	D1
Coyula de Catalán	18° 19' 00"	98° 42' 00"	0,25	66,398	205,41	D1
Cuauhtémoc	16° 28' 00"	98° 44' 00"	0,05	67,012	213,94	G
Cuauhtémoc	17° 44' 00"	98° 40' 00"	1,44	65,923	211,40	D2
Cuautla	16° 45' 00"	98° 02' 00"	0,2	67,089	211,98	G
Cuernavaca del Progreso	18° 8' 00"	98° 50' 00"	1,12	66,157	207,42	D2
Cutzamala de Pinzón	18° 26' 00"	98° 35' 00"	0,26	66,188	205,57	D1
Chilapa de Álvarez	17° 36' 00"	98° 11' 00"	1,42	66,149	210,29	D2
Chilpancingo de los Bravos	17° 33' 00"	98° 30' 00"	1,1	66,577	209,53	D2
Cruz Grande	16° 43' 00"	98° 07' 00"	0,04	67,194	211,71	G

Número de Departamento	Latitud Norte Grados, Minutos y Segundos	Longitud Oeste Grados, Minutos y Segundos	Altitud msnm	Área km <sup>2</sup>	Tasa de lluvia		
					Enero	Diciembre	
Acapulco de Juárez	18° 25' 00"	98° 58' 00"	1,047	65,984	210,97	D1	
Almoloya	17° 47' 00"	98° 00' 00"	0,9	1,54	66,394	207,98	D2
Alquimia	17° 45' 00"	98° 00' 00"	0,4	1,88	65,766	211,56	D2
Atlatlahucan	18° 18' 00"	98° 00' 00"	2,0	0,96	65,725	208,98	D2
Atzala de la Independencia	18° 21' 00"	98° 00' 00"	1,12	0,72	65,776	208,42	D2
Coquimatlán	16° 45' 00"	98° 00' 00"	2,9	0,46	66,776	213,29	G
Cuauhtémoc	18° 30' 00"	98° 00' 00"	4,8	1,82	65,764	207,55	D2
Fabatlán	17° 18' 00"	98° 00' 00"	3,3	0,02	67,31	205,41	D1
Frontera Colorada	17° 10' 00"	98° 00' 00"	3,2	0,13	66,076	206,99	D2
Huichapan	17° 38' 00"	98° 00' 00"	4,1	1,14	66,572	210,94	D2
Mazatlán	17° 15' 00"	98° 00' 00"	4,0	1,52	66,394	212,09	D2
Apango	17° 44' 00"	98° 00' 00"	2,0	1,1	66,298	209,73	D2
Metzapa	17° 12' 00"	98° 00' 00"	2,1	0,41	67,283	211,17	D2
Mochitlán	17° 28' 00"	98° 00' 00"	2,2	1	66,385	210,01	D2
Ojuelos	17° 47' 00"	98° 00' 00"	4,1	1,34	65,912	211,17	D2
Orizatlán	16° 41' 00"	98° 00' 00"	2,4	0,32	66,792	211,40	G
Quiahuapan	18° 31' 00"	98° 00' 00"	3,1	1,74	65,749	207,32	D2
Teotlalpan	17° 32' 00"	98° 00' 00"	1,6	0,04	67,386	214,82	D1
Pánuco	18° 45' 00"	98° 00' 00"	4,0	1,6	65,439	207,59	D2
Ciudad Altamirano	18° 21' 00"	98° 00' 00"	4,0	0,24	66,346	206,48	D1
Quiahuilpan	17° 25' 00"	98° 00' 00"	1,4	0,84	66,561	210,42	D2
San Luis Atlán	16° 48' 00"	98° 00' 00"	4,4	0,26	66,881	212,50	G
San Marcos	16° 48' 00"	98° 00' 00"	2,4	0,06	67,772	210,86	G
San Miguel Totolapan	18° 10' 00"	98° 00' 00"	2,3	0,29	66,44	206,45	D1
Taxco de Alarcón	18° 33' 00"	98° 00' 00"	1,8	0,61	210,00	D2	
Tecpan	16° 58' 00"	98° 00' 00"	1,6	0,42	67,024	210,47	G
Tepoztlán de Gómez	17° 15' 00"	98° 00' 00"	3,8	0,03	67,311	210,47	D1
Tehuacán	18° 18' 00"	98° 00' 00"	1,64	0,915	217,55	D2	
Tepeyahualco de Troyano	18° 18' 00"	98° 00' 00"	2,8	0,82	65,795	216,65	D2
Tetipac	18° 39' 00"	98° 00' 00"	3,9	1,66	65,311	217,75	D2
Tixtla de Guerrero	17° 34' 00"	98° 00' 00"	2,1	1,54	66,501	210,78	D2
Itzapa Chimalhuaca	16° 49' 00"	98° 00' 00"	1,8	0,14	66,602	213,65	G
Itzapa	17° 16' 00"	98° 00' 00"	4,5	1,14	66,433	211,86	D2
Huitzilac	18° 25' 00"	98° 00' 00"	2,9	0,14	66,188	215,89	D1
Huitzilapa	17° 34' 00"	98° 00' 00"	2,2	1,16	65,912	212,38	D2
Tlapa de Comonfort	17° 11' 00"	98° 00' 00"	1,5	1,11	66,056	211,87	D2
Huipolula	18° 14' 00"	98° 00' 00"	3,2	0,21	66,484	215,97	D1
Uruapan	17° 54' 00"	98° 00' 00"	4,8	0,06	67,246	212,81	D1
Valpantla	17° 28' 00"	98° 00' 00"	9,6	1,54	66,188	211,44	D2
Axochiapan de Carrillo	17° 54' 00"	98° 00' 00"	2,9	1,06	65,652	211,62	D2
Axochiapan de Flores	16° 47' 00"	98° 00' 00"	15	0,46	66,603	211,82	G

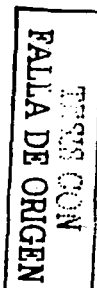
**TESIS CON  
FALLA DE ORIGEN**

Municipio (Cuenca)	Límitud Norte Grados Minutos Segundos	Límite Oeste Grados Minutos Segundos	Altitud Elevación Barométrica	Amarre	Tasa de Riesgo ZONA A al 0.01%
Zapotlán Tablas	20° 21' 00"	107° 17' 56"	201.56	D2	SI.133
Zaragoza de Soto Borda	20° 21' 00"	107° 17' 52"	201.53	S2.14	SI.133
Zitácuaro	20° 21' 00"	107° 17' 44"	201.45	D2	SI.133
Zumpango del Río	20° 21' 00"	107° 17' 36"	201.31	D2	SI.133
Alauapan	20° 21' 00"	107° 17' 28"	201.16	D2	SI.133
<b>Aspectos geográficos de Guanajuato</b>					
Ahuatlán	20° 21' 00"	107° 17' 20"	201.07	D2	SI.133
Alzate	20° 21' 00"	107° 17' 12"	201.51	D2	SI.133
San Miguelito de Allende	20° 21' 00"	107° 17' 04"	202.59	D2	SI.133
Apaseo el Alto	20° 21' 00"	107° 16' 56"	201.36	D2	SI.133
Apaseo el Grande	20° 21' 00"	107° 16' 48"	201.05	D2	SI.133
Atotonilco	20° 21' 00"	107° 16' 40"	201.71	D2	SI.133
Celata	20° 21' 00"	107° 16' 32"	202.81	D2	SI.133
Ciudad Manuel Doblado	20° 21' 00"	107° 16' 24"	202.51	D2	SI.133
Comonfort	20° 21' 00"	107° 16' 16"	202.71	D2	SI.133
Coronango	20° 21' 00"	107° 16' 08"	204.23	D2	SI.133
Cortazar	20° 21' 00"	107° 15' 58"	202.46	D2	SI.133
Cuautitlán	20° 21' 00"	107° 15' 50"	201.37	D2	SI.133
Doctor Mora	20° 21' 00"	107° 15' 42"	201.44	D2	SI.133
Dolores Hidalgo	20° 21' 00"	107° 15' 34"	201.93	D2	SI.133
Guanajuato	20° 21' 00"	107° 15' 26"	201.28	D2	SI.133
Huimilpan	20° 21' 00"	107° 15' 18"	201.23	D2	SI.133
Irapuato	20° 21' 00"	107° 15' 10"	201.34	D2	SI.133
Jerusalén del Prógreso	20° 21' 00"	107° 15' 02"	202.11	D2	SI.133
Jesús María	20° 21' 00"	107° 14' 54"	201.95	D2	SI.133
Leyva de los Aldama	20° 21' 00"	107° 14' 46"	201.12	D2	SI.133
Méndez	20° 21' 00"	107° 14' 38"	202.25	D2	SI.133
Ocampo	20° 21' 00"	107° 14' 30"	201.17	D2	SI.133
Purísima	20° 21' 00"	107° 14' 22"	200.62	D2	SI.133
Pueblo Nuevo	20° 21' 00"	107° 14' 14"	201.43	D2	SI.133
Purísima de Bustos	20° 21' 00"	107° 14' 06"	199.68	D2	SI.133
Romita	20° 21' 00"	107° 13' 58"	200.74	D2	SI.133
Salamanca	20° 21' 00"	107° 13' 50"	201.80	D2	SI.133
Salvatierra	20° 21' 00"	107° 13' 42"	204.68	D2	SI.133
San Diego de la Unión	20° 21' 00"	107° 13' 34"	201.81	D2	SI.133
San Felipe	20° 21' 00"	107° 13' 26"	201.22	D2	SI.133
San Francisco del Rincón	20° 21' 00"	107° 13' 18"	200.96	S2.19	SI.133
San José Iturbide	20° 21' 00"	107° 13' 10"	201.42	S2.10	SI.133
San Luis de la Paz	20° 21' 00"	107° 13' 02"	201.58	S2.20	SI.133
Santa Catarina	20° 21' 00"	107° 12' 54"	204.01	D2	SI.133
Juventino Rosas	20° 21' 00"	107° 12' 46"	202.23	D2	SI.133

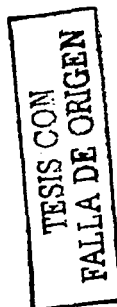
**TESIS CON  
FALLA DE ORIGEN**

Municipio (Cuenca)	Límitud Norte Grados Minutos Segundos	Límite Oeste Grados Minutos Segundos	Altitud Elevación Barométrica	Amarre	Tasa de Riesgo ZONA A al 0.01%
Nantiquia Matamoros	20° 21' 40"	107° 01' 00"	201.57	S2.08	SI.133
Nilo	20° 21' 30"	107° 01' 00"	201.98	S2.09	SI.133
Paracaravaca	20° 21' 20"	107° 01' 00"	201.59	S2.10	SI.133
Tarmamaro	20° 21' 10"	107° 01' 00"	201.54	S2.11	SI.133
Urena Blanca	20° 21' 00"	107° 01' 00"	201.21	S2.12	SI.133
Urimangüa	20° 20' 50"	107° 01' 00"	201.18	S2.13	SI.133
Valle de Santiago	20° 20' 40"	107° 01' 00"	201.02	D2	SI.133
Victoria	20° 20' 30"	107° 01' 00"	201.15	S2.14	SI.133
Villagrán	20° 20' 20"	107° 01' 00"	201.55	S2.15	SI.133
Yahu	20° 20' 10"	107° 01' 00"	201.87	D2	SI.133
Yurumí	20° 20' 00"	107° 01' 00"	202.12	D2	SI.133
<b>Aspectos geográficos de Jalisco</b>					
Acatlán	20° 19' 40"	107° 00' 48"	208.49	D2	SI.133
Ahuatán	20° 19' 30"	107° 00' 48"	202.32	D2	SI.133
Atenguillo	20° 19' 20"	107° 00' 48"	209.42	D2	SI.133
Bajío	20° 19' 10"	107° 00' 48"	207.57	D2	SI.133
Aguila Blanca Turbide	20° 19' 00"	107° 00' 48"	208.66	D2	SI.133
Aparicio	20° 18' 50"	107° 00' 48"	201.74	D2	SI.133
Alliparíapan	20° 18' 40"	107° 00' 48"	201.59	D2	SI.133
Almoloya	20° 18' 30"	107° 00' 48"	201.91	D2	SI.133
Apan	20° 18' 20"	107° 00' 48"	202.45	D2	SI.133
Arenal, El	20° 18' 10"	107° 00' 48"	201.53	D2	SI.133
Atitalaquia	20° 18' 00"	107° 00' 48"	201.85	D2	SI.133
Atlapexco	20° 17' 50"	107° 00' 48"	208.12	D2	SI.133
Atotonilco el Grande	20° 17' 40"	107° 00' 48"	201.58	D2	SI.133
Atotonilco de Tula	20° 17' 30"	107° 00' 48"	201.23	D2	SI.133
Caballito	20° 17' 20"	107° 00' 48"	207.72	D2	SI.133
Cardonal	20° 17' 10"	107° 00' 48"	206.80	D2	SI.133
Cuautepetl de Jiménez	20° 17' 00"	107° 00' 48"	209.40	D2	SI.133
Chapantongo	20° 16' 50"	107° 00' 48"	206.45	D2	SI.133
Chapultepec	20° 16' 40"	107° 00' 48"	201.73	D2	SI.133
Chukantla	20° 16' 30"	107° 00' 48"	206.81	D2	SI.133
Eloxochitlán	20° 16' 20"	107° 00' 48"	202.45	D2	SI.133
Emiliano Zapata	20° 16' 10"	107° 00' 48"	201.41	D2	SI.133
Epicarayucan	20° 16' 00"	107° 00' 48"	206.59	D2	SI.133
Tequilejo	20° 15' 50"	107° 00' 48"	201.27	D2	SI.133
Huasca de Ocampo	20° 15' 40"	107° 00' 48"	208.53	D2	SI.133
Huautla	20° 15' 30"	107° 00' 48"	202.25	D2	SI.133
Huazalingo	20° 15' 20"	107° 00' 48"	207.82	D2	SI.133
Huichapa	20° 15' 10"	107° 00' 48"	202.43	D2	SI.133
Huipolita de Rivas	20° 15' 00"	107° 00' 48"	201.91	D2	SI.133
Huipapan	20° 14' 50"	107° 00' 48"	205.80	D2	SI.133

Municipio (Habitado)	Latitud Norte		Longitud Oeste		Altitud	Altura		Piso de Baja y Alta
	Grados	Minutos	Grados	Minutos		Kilómetros	Elevación	
Jiménez	20	20	-100	45	11	63.428	206.70	D2 31.133
Jocotepec	20	20	-100	45	12	63.428	206.70	D2 31.133
Jaltipan	20	20	-100	45	13	63.428	207.58	D2 31.133
Juárez	20	20	-100	45	14	63.428	207.27	D2 31.133
Juquila	20	20	-100	45	15	63.428	207.45	D2 31.133
Metepec	20	20	-100	45	16	63.428	207.45	D2 31.133
Mesquintla	20	20	-100	45	17	63.428	206.95	D2 31.133
Mexquititlán	20	20	-100	45	18	63.428	206.95	D2 31.133
Miguel Hidalgo	20	20	-100	45	19	63.428	207.63	D2 31.133
Mision del Chico	20	20	-100	45	20	63.428	206.13	D2 31.133
Monterreal del Monte	20	20	-100	45	21	63.428	206.75	D2 31.133
Misión La	20	20	-100	45	22	63.428	206.29	D2 31.133
Miquihuatlán	20	20	-100	45	23	63.428	206.98	D2 31.133
Molango	20	20	-100	45	24	63.428	206.50	D2 31.133
Nicola Flores	20	20	-100	45	25	63.428	207.02	D2 31.133
Nopalula	20	20	-100	45	26	63.428	206.92	D2 31.133
Olmecatlán de Juárez	20	20	-100	45	27	63.428	206.38	D2 31.133
Oriental	20	20	-100	45	28	63.428	207.40	D2 31.133
Pacatlán	20	20	-100	45	29	63.428	205.92	D2 31.133
Pachuca de Soto	20	20	-100	45	30	63.428	206.24	D2 31.133
Paxtlan	20	20	-100	45	31	63.428	206.45	D2 31.133
Progresso	20	20	-100	45	32	63.428	207.04	D2 31.133
Pachuquilla	20	20	-100	45	33	63.428	206.38	D2 31.133
San Agustín Atzompa	20	20	-100	45	34	63.428	207.84	D2 31.133
San Bartolo Tutotepec	20	20	-100	45	35	63.428	206.15	D2 31.133
San Salvador	20	20	-100	45	36	63.428	206.24	D2 31.133
Santiago de Anaya	20	20	-100	45	37	63.428	207.39	D2 31.133
Santiago Tulantepec	20	20	-100	45	38	63.428	207.40	D2 31.133
Sanguliacán	20	20	-100	45	39	63.428	206.99	D2 31.133
Tasquillo	20	20	-100	45	40	63.428	206.40	D2 31.133
Tlaxiaca	20	20	-100	45	41	63.428	206.66	D2 31.133
Tlaxianguillo de Díaz	20	20	-100	45	42	63.428	207.18	D2 31.133
Tepotzalco	20	20	-100	45	43	63.428	206.31	D2 31.133
Tepotzalco de Guerrero	20	20	-100	45	44	63.428	206.99	D2 31.133
Tepotzalco de Ocampo	20	20	-100	45	45	63.428	207.07	D2 31.133
Tepotzalco	20	20	-100	45	46	63.428	206.40	D2 31.133
Tlaxianguillo	20	20	-100	45	47	63.428	206.66	D2 31.133
Tlaxianguillo	20	20	-100	45	48	63.428	207.26	D2 31.133
Tlaxianguillo	20	20	-100	45	49	63.428	206.31	D2 31.133
Tlaxianguillo de Aldama	20	20	-100	45	50	63.428	206.87	D2 31.133
Tlaxianguillo	20	20	-100	45	51	63.428	207.29	D2 31.133
Tlaxianguillo	20	20	-100	45	52	63.428	206.98	D2 31.133
Tlaxianguillo	20	20	-100	45	53	63.428	206.61	D2 31.133
Tlaxianguillo	20	20	-100	45	54	63.428	207.05	D2 31.133



Municipio / Distrito	Latitud Norte			Longitud Oeste			Altitud Mediana	Elevación Minima	Elevación Maxima	Año de Fundación	Tasa de Habitación
	Grados	Minutos	Segundos	Grados	Minutos	Segundos					
Mazatlán	20	35	45	107	2	00	62,833	208,833	212,833	1913	51,133
Mazatlán	20	35	45	107	2	00	62,833	208,833	212,833	1913	51,133
Lázaro Cárdenas	20	34	58	107	132	00	62,442	207,442	212,442	1913	51,133
Huimilpan	20	3	56	107	13	00	63,841	207,14	212	1913	51,133
Tlaxco	19	57	55	107	56	26	63,526	208,526	212,526	1913	51,133
Huasca de Alvarado	20	3	56	107	21	00	63,941	208,86	212,86	1913	51,133
Tultepec	20	3	56	107	21	00	63,941	208,86	212,86	1913	51,133
Velasco	20	54	55	107	06	00	62,931	206,47	212	1913	51,133
Xochimilco	20	4	55	107	41	00	62,833	207,62	212	1913	51,133
Iztapalapa	20	37	55	107	56	00	62,534	208,12	212	1913	51,133
Zacualpan	20	30	1	107	56	00	62,973	207,84	212	1913	51,133
Zapotlán de Juárez	19	58	48	107	52	26	63,784	208,10	212	1913	51,133
Zemepala	19	53	48	107	40	26	63,731	208,63	212	1913	51,133
Zinacantan	20	44	00	107	25	18	61,249	206,05	212	1913	51,133
<b>Aspectos geográficos de Jalisco</b>											
Avalos	20	47	102	55	1	08	64,849	197,24	D2	51,133	
Aztlán de Juárez	20	25	103	35	1	37	65,222	195,74	D1	39,928	
Ahuatlán de Monroy	20	42	103	39	11	08	65,118	191,48	D1	19,928	
Amatlan	20	1	103	36	14	33	65,673	195,98	D1	39,928	
Amatlán	20	50	103	44	1	28	64,799	195,06	D1	39,928	
Ameca	20	33	104	3	1	23	65,214	194,40	D1	39,928	
Antonio Escobedo	20	48	104	10	1	46	64,941	194,37	D1	39,928	
Arandas	20	42	102	21	0	08	64,511	198,77	D2	51,133	
Arenal, El	20	47	103	42	1	18	64,446	195,18	D1	39,928	
Atemajac de Brizuela	20	8	103	44	2	32	65,582	195,54	D1	39,928	
Atemajac	20	16	104	14	1	44	65,572	194,08	D1	39,928	
Atenguillo	20	25	104	30	1	13	65,471	191,26	D1	39,928	
Atotonilco el Alto	20	33	102	30	1	08	64,728	198,50	D2	51,133	
Atoyac	20	1	103	31	1	35	65,648	196,21	D1	39,928	
Autlán de Navarro	19	36	104	22	0	19	64,117	194,04	D1	39,928	
Ayotlán	20	32	102	20	1	08	64,688	198,95	D2	51,133	
Ayutla	20	8	104	21	1	37	65,751	193,85	D1	39,928	
Bonito, La	20	17	102	31	1	32	65,038	198,59	D2	51,133	
Bolívar	20	50	103	47	0	08	64,991	194,30	D2	51,133	
Cuauhtémoc	20	19	103	20	0	06	63,773	191,02	D1	39,928	
Casimiro Castillo	19	36	104	26	0	06	64,276	194,46	D1	39,928	
Chimaltitán	19	14	104	34	0	02	65,824	193,82	D1	39,928	
Coatzacoalcos	19	42	101	26	1	32	65,985	196,59	D1	39,928	
Coxila	20	22	103	50	1	35	65,335	195,11	D1	39,928	
Cuauhtémoc	22	7	103	16	1	40	64,221	195,13	D2	51,133	
Corrientes de Buenos Aires	19	54	103	16	2	06	65,007	196,91	D1	39,928	



APPENDIX E

Municipio (Jalisco)	Centro Norte		Centro Oeste		Altiitud		Altura		Tasa de lluvia anual, mm.
	Centro	Norte	Centro	Oeste	Minima	Maxima	Humedad	Ventos	
Villa Purificación	19	43	104	56	104	144	66-287	101-411	D1 36-928
Quemado	19	56	102	51	104	144	63-237	107-309	D1 36-928
Sabino Félix	20	51	103	51	107	144	63-180	106-74	D1 36-928
San José del Río Pácora	21	3	101	26	102	144	64-171	105-70	D2 51-133
San Juan de Alquiza	21	0	101	59	104	142	62-153	100-46	D2 51-133
San Juan de los Lagos	21	15	102	29	117	147	67-192	108-38	D2 51-133
San Juanito	21	1	102	11	246	144	64-106	108-94	D2 51-133
San Marcos	20	47	104	12	135	144	64-192	101-85	D1 36-928
San Martín de Bolaños	21	41	103	45	103	147	63-187	104-31	D2 51-133
San Martín Hidalgo	20	26	107	56	103	145	65-161	104-29	D1 36-928
San Miguel del Alto	21	2	102	24	135	144	64-182	106-38	D2 51-133
Gómez Farías	19	48	103	29	13	145	65-179	106-46	D1 36-928
San Sebastián del Oeste	20	46	104	51	139	145	63-159	102-11	D1 36-928
Santa María de los Ángeles	22	10	103	13	17	144	61-161	105-52	D2 51-133
Satélite	19	51	103	36	103	145	63-122	106-18	D1 36-928
Tala	20	19	103	42	133	144	64-145	105-27	D1 36-928
Talpa de Allende	20	23	104	49	136	145	63-156	102-41	D1 36-928
Tamazula de Gordiano	19	41	103	15	112	142	63-913	107-19	D1 36-928
Tapalpa	19	37	103	45	136	145	63-792	105-62	D1 36-928
Tepalcatepec	19	28	103	18	114	146	61-191	107-23	D1 36-928
Tepalcatepec	20	12	104	3	12	145	63-397	104-63	D1 36-928
Tepalcatepec de Morelos	20	4	103	33	114	143	63-802	106-18	D1 36-928
Tepicamulco	20	13	104	10	149	145	63-61	104-30	D1 36-928
Tepicatlán	21	26	102	34	174	145	63-778	107-65	D2 51-133
Tepicatlán de Corona	20	5	103	23	137	145	63-513	106-52	D1 36-928
Tepicatlán de Morelos	20	50	102	46	118	145	64-105	107-59	D2 51-133
Tepicatlán	20	51	103	51	118	144	64-771	104-76	D1 36-928
Tepicatlán	20	41	103	51	126	145	64-85	104-85	D1 36-928
Tizapán el Alto	20	10	103	3	135	145	63-315	107-36	D1 36-928
Tlajomulco de Zúñiga	20	28	103	27	136	145	63-126	106-07	D1 36-928
Tlajomulco	20	38	103	19	137	145	64-101	106-30	D1 36-928
Tolman	19	36	103	53	174	146	66-232	105-41	D1 36-928
Tototlán	19	56	105	15	105	146	66-194	101-45	D1 36-928
Tonalá	20	17	103	15	166	144	64-899	106-49	D1 36-928
Tonaya	19	47	103	33	107	146	66-141	105-14	D1 36-928
Torola	19	24	103	31	124	145	66-145	106-39	D1 36-928
Tototlán	21	56	103	27	126	149	63-49	105-19	D1 51-133
Tototlán	20	31	102	48	134	144	64-829	107-72	D2 51-133
Tuxpan Nuevo	19	42	103	39	172	146	62-119	105-15	D1 36-928
Tuxpan	20	9	103	11	151	145	63-346	107-01	D1 36-928
Tuxpan	19	33	103	23	114	146	66-126	106-93	D1 36-928

LÍNEAS PARA LOCALIZACIÓN DEL TERRITORIO NACIONAL

Municipio (D.F.)	Línea Norte	Línea Oeste	Altitud	Antena	Tasa de Banda	
	Grados Minutos	Grados Minutos	Kilómetros	Elevación	Azimut Zona C 2004 ± 2.000%	
Pueblo de San Antonio	21	8	102	0	1.92	63.913 199.31 D2 51.133
El Bosque de Tlalpan	19	10	102	30	3.74	63.927 199.20 D1 51.133
Villa de Cuadonga	21	8	102	3	1.84	63.235 199.81 D2 51.133
Padre de Juárez	19	6	102	35	1.96	63.536 197.81 D1 51.133
Centenario	19	45	103	46	1.28	60.021 195.72 D1 51.133
Alvarado	20	2	103	40	1.35	63.216 195.52 D1 51.133
Alvarado Morelos	21	39	103	56	1.76	63.473 191.68 D2 51.133
Villa Hidalgo	21	4	103	58	1.95	63.525 197.44 D2 51.133
Cuautla de Morelos	21	9	102	41	1.85	61.128 197.37 D2 51.133
Valle de Chalco Solidaridad	21	11	102	55	1.8	63.156 197.03 D2 51.133
Zinacantepec	20	14	103	34	1.33	63.422 195.92 D1 51.133
Zapopan	20	43	103	24	1.56	64.833 196.02 D1 51.133
Zapotlán	19	37	103	25	1.11	60.062 196.79 D1 51.133
Zapotlán de Vadillo	19	33	103	49	1.14	60.259 195.73 D1 51.133
Zapotlán del Rey	20	28	102	35	1.35	64.959 197.48 D2 51.133
Zapotlanejo	20	37	103	4	1.32	64.841 196.97 D1 51.133
Asientos geográficos de México						
Acámbaro	19	52	99	51	2.56	64.286 206.76 D2 51.133
Acuña de Zaragoza central	19	48	98	55	2.25	64.149 208.37 D2 51.133
Acuña de Espinoza	20	6	99	50	2.15	64.121 205.64 D2 51.133
Almoloya de Alquisiras	18	52	99	54	1.96	63.435 206.86 D2 51.133
Villa de Almoloya de Juárez	19	22	99	45	2.0	64.844 206.65 D2 51.133
Almoloya del Río	19	10	99	29	2.6	64.917 207.54 D2 51.133
Amatlan de Bajura	19	15	100	1	2.12	65.045 206.12 D2 51.133
Amatlán	18	41	100	11	1.8	65.765 206.15 D2 51.133
Amecameca de Juárez	19	8	98	46	2.18	64.578 209.11 D2 51.133
Apaxco de Ocampo	19	58	99	10	2.18	63.976 207.39 D2 51.133
San Salvador Atenco	19	33	98	55	2.24	64.234 208.47 D2 51.133
Santa Cruz Atlapozalco	19	11	99	29	2.39	64.9 207.52 D2 51.133
Ciudad López Mateos	19	33	99	14	2.28	64.397 207.71 D2 51.133
Atizatlán de Zaragoza	19	48	99	52	2.37	64.445 205.88 D2 51.133
Atlautla de Victoria	19	2	98	47	2.34	64.688 209.41 D2 51.133
Azcapotzalco	19	43	98	45	2.15	63.478 208.67 D2 51.133
Ayapango de Gabriel Ramón Mollán	19	8	98	46	2.44	64.595 209.25 D2 51.133
Cuernavaca	19	10	99	57	2.86	64.984 207.21 D2 51.133
Cuernavaca de Morelos	19	12	99	28	2.62	64.875 207.33 D2 51.133
San Francisco Cuautitlán	19	37	99	5	2.25	64.232 207.99 D2 51.133
Cuautitlán Xoxoco	18	55	99	46	2.26	63.317 207.11 D2 51.133
Cuautitlán	19	14	98	52	2.28	64.531 208.96 D2 51.133
Cuautitlán	19	47	99	12	2.3	64.141 207.52 D2 51.133
Cuautitlán	19	40	99	11	2.24	64.252 207.69 D2 51.133



ANEXO C

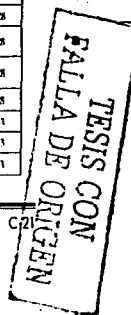
Municipio (Méjico)	Línea Norte	Línea Oeste	Altitud	Antena	Tasa de Banda	
	Grados Minutos	Grados Minutos	Kilómetros	Elevación	Azimut Zona C 2004 ± 2.000%	
Chalco de Díaz Covarrubias	19	16	98	54	2.21	64.514 208.84 D2 51.133
Chapa de Mota	19	42	99	32	2.6	64.272 208.85 D2 51.133
Coatepec	19	12	99	34	2.58	64.425 207.51 D2 51.133
Cuautla	19	55	98	33	2.26	64.217 205.55 D2 51.133
Chimalhuacán	19	51	98	34	2.23	64.361 206.06 D2 51.133
Huasca de Juan	19	51	98	34	2.24	64.226 206.51 D2 51.133
Huasca de Juan	19	51	98	37	2.24	64.387 206.51 D2 51.133
Huimilpan	19	25	98	37	2.24	64.387 206.51 D2 51.133
Villa Donato Guerra	19	18	98	4	2.2	63.106 207.73 D2 51.133
Ecatepec de Morelos	19	56	98	3	2.25	64.252 208.09 D2 51.133
Ecatepec de Hidalgo	18	57	98	45	2.44	64.754 204.59 D2 51.133
Fudimba	19	50	98	12	2.26	64.188 207.46 D2 51.133
Huipoltla	19	34	98	5	2.26	63.942 207.06 D2 51.133
Huipulco de Deppoldo	19	22	98	21	2.68	64.641 207.64 D2 51.133
Huixtala de Fabila	19	11	98	25	2.8	64.489 207.26 D2 51.133
Ixtapaluca	19	39	98	31	2.25	64.454 208.82 D2 51.133
Ixtapan de la Sal	18	51	98	41	1.88	63.344 207.42 D2 51.133
Ixtapan del Oro	19	16	100	16	1.94	63.349 205.47 D2 51.133
Jaltenco de Rayón	19	42	98	46	2.54	64.413 206.19 D2 51.133
Jalatlaco	19	11	99	25	2.72	64.866 207.69 D2 51.133
Jaltenco	19	43	98	6	2.24	64.124 207.80 D2 51.133
Libertadores de Morelos Enríquez	19	57	98	32	2.44	64.134 206.31 D2 51.133
Santa Ana Chalchihue	19	12	98	24	2.75	64.498 207.32 D2 51.133
Jiquipilco	19	11	98	36	2.75	64.358 206.81 D2 51.133
Jilotzingo	19	42	98	47	2.68	64.314 206.20 D2 51.133
Jiquilpan de León Gómez	19	3	98	32	2.63	63.061 207.56 D2 51.133
Juchitlán de Mariano Escobedo	19	6	98	31	2.54	64.674 209.09 D2 51.133
Lerma de Villada	19	17	98	31	2.56	64.814 207.11 D2 51.133
Malinalco	18	57	98	30	1.74	65.118 207.26 D2 51.133
Metlachón Ocampo	19	42	99	9	2.24	64.201 207.73 D2 51.133
Metepec	19	15	99	36	2.61	64.889 207.16 D2 51.133
San Mateo Xalitzintla	19	13	99	45	2.59	64.916 207.24 D2 51.133
San Bartolo Morelos	19	47	99	40	2.72	64.371 206.39 D2 51.133
Santa Apolonia de Juárez	19	28	99	14	2.3	64.482 207.80 D2 51.133
Ciudad Nezahualcóyotl	19	21	98	39	2.22	64.422 206.48 D2 51.133
Santa Ana Xochitepec	19	44	99	4	2.24	64.124 207.89 D2 51.133
Villa Nicolás Romero	19	37	99	19	2.39	64.171 207.43 D2 51.133
Nopaltepec	19	47	98	42	2.45	64.884 206.70 D2 51.133
Ocuilan	19	16	99	28	2.58	64.806 207.47 D2 51.133
Ocuilan de Arteaga	18	59	99	25	2.34	65.071 207.93 D2 51.133
Oro de Hidalgo, El	19	48	100	8	2.74	64.575 205.22 D2 51.133
Quetzaltenango	19	42	98	45	2.36	63.945 206.68 D2 51.133

Municipio (Méjico)	Límitad Norte	Límitad Oeste	Altitud	Altura	Tasa de Bajas
	Grados, Minutos	Grados, Minutos, Segundos	Bajo el viento	Atravesado	ZONA A = 20.010%
Atotonilco	19° 45'	98° 18'	1,38	65.560	205.50 D2 51.133
Cuautitlán	19° 45'	98° 18'	1,38	64.660	205.10 D2 51.133
Coatepec, Veracruz	19° 45'	98° 45'	2,34	64.692	204.17 D2 51.133
Ecatepec	19° 45'	98° 51'	2,36	64.183	205.60 D2 51.133
Guadalupe, Jal.	19° 45'	98° 51'	2,36	64.183	205.60 D2 51.133
Jalapa, Acapulco, I.S.	19° 45'	98° 51'	2,31	64.156	205.52 D2 51.133
Potrerillo de la Justicia	19° 45'	98° 51'	2,32	63.062	205.56 D2 51.133
Nova Mala, Puebla	19° 45'	98° 51'	2,38	64.985	205.12 D2 51.133
San Antonio La Isla	19° 45'	98° 51'	2,38	64.939	205.34 D2 51.133
San Felipe del Progreso	19° 45'	98° 51'	2,38	64.376	205.77 D2 51.133
San Martín de las Pirámides	19° 45'	98° 51'	2,31	64.076	205.45 D2 51.133
San Mateo Atenco	19° 45'	98° 51'	2,32	64.84	205.50 D2 51.133
San Simón de Cuérentz	19° 45'	98° 51'	2,12	65.329	206.43 D2 51.133
Santa Tomás de los Platanos	19° 45'	98° 51'	1,36	65.284	205.57 D2 51.133
San Francisco de Sayangulapan	19° 45'	98° 51'	2,34	64.065	206.46 D2 51.133
Sellos de Pedro Aceves de Alquiza	19° 45'	98° 51'	2,38	65.486	205.71 D2 51.133
Ixmiquilpan de Felipe Villanueva	19° 45'	98° 58'	2,26	64.119	205.13 D2 51.133
Tepic de Hidalgo	19° 45'	98° 58'	1,33	65.523	206.18 D2 51.133
Tlaximalteca	19° 45'	98° 58'	2,26	64.564	205.01 D2 51.133
Tlaxcoapa	19° 45'	98° 58'	2,35	63.954	206.19 D2 51.133
Tlaxcochingo de José María Velasco	19° 45'	98° 58'	2,38	64.191	205.13 D2 51.133
Tlaxcochilepec de González	19° 45'	98° 58'	2,32	63.311	206.11 D2 51.133
Tlaxcoapa	19° 45'	98° 58'	2,38	64.966	205.91 D2 51.133
Tlaxcohuilo de Degollado	19° 45'	98° 58'	2,02	65.182	207.49 D2 51.133
Tlaxcoyango del Aire	19° 45'	98° 58'	2,34	64.015	205.11 D2 51.133
Tlaxcoyango de Arista	19° 45'	98° 58'	2,36	65.056	207.38 D2 51.133
Tlaxcoyan	19° 45'	99° 11'	2,27	64.196	207.60 D2 51.133
Tlaxchula de Arista	19° 45'	98° 52'	2,27	64.073	208.43 D2 51.133
Tepetlaoxtla de Hidalgo	19° 45'	98° 49'	2,31	64.165	208.68 D2 51.133
Tepetlapa	19° 45'	98° 49'	2,32	64.705	209.31 D2 51.133
Tepetzalcan	19° 45'	98° 49'	2,31	64.218	207.55 D2 51.133
Tequipan	19° 55'	99° 4	2,22	63.979	207.49 D2 51.133
Tlaxcalan	19° 56'	99° 56'	2,14	65.541	206.70 D2 51.133
San Matías Tlaltenango	19° 58'	99° 30'	2,39	64.96	207.54 D2 51.133
Tlaxco de Mura	19° 58'	98° 51'	2,25	64.268	206.60 D2 51.133
Tlaxcoyapa	19° 58'	98° 55'	2,25	64.2	206.13 D2 51.133
Santiago Tangancícuaro de Coloma	19° 58'	99° 28'	2,62	64.892	207.57 D2 51.133
San Andrés Timilpan	19° 58'	99° 45'	2,69	64.325	206.10 D2 51.133
Tlaltenango de Vélezquez	19° 58'	98° 48'	2,4	64.526	205.17 D2 51.133
Tlaltenango	19° 58'	99° 11'	2,25	64.806	207.77 D2 51.133
Huitaya	19° 58'	99° 12'	1,82	65.812	206.39 D2 51.133

TODOS CON  
FALLA DE ORIGEN

Municipio (Méjico)	Límitad Norte	Límitad Oeste	Altitud	Altura	Tasa de Bajas
	Grados, Minutos	Grados, Minutos, Segundos	Bajo el viento	Atravesado	ZONA A = 20.010%
Itzapa de Tello	19° 57'	98° 58'	40	2.06	64.889 D2 51.133
Itzapa	19° 58'	98° 58'	40	2.04	63.587 D2 51.133
Itzapa	19° 58'	98° 58'	8	2.24	64.21 D2 51.133
Itzamatlan de Mariano Escobedo	19° 58'	98° 58'	10	2.24	64.261 D2 51.133
Villa de Itzapa	19° 58'	98° 58'	8	1.8	65.205 D2 51.133
Nueva Villa de Allende	19° 58'	98° 58'	10	2.38	65.015 D2 51.133
Villa de Itzapa	19° 58'	98° 58'	28	2.8	64.325 D2 51.133
Villa Cuauhtemoc	19° 58'	98° 58'	38	2.16	65.106 D2 51.133
Villa Victoria	19° 58'	98° 58'	1	2.37	64.896 D2 51.133
Vivacatlan	19° 58'	98° 58'	32	2.58	64.702 D2 51.133
Zacualpan	19° 4	98° 58'	15	1.37	65.398 D2 51.133
Zacualpan	19° 43'	98° 58'	47	2.06	65.512 D2 51.133
San Miguel Zinacantepec	19° 17'	98° 58'	44	2.74	64.922 D2 51.133
Zumpahuapan	19° 30'	98° 58'	35	1.00	65.311 D2 51.133
Zumpango de Ocampo	19° 48'	98° 58'	6	2.25	64.071 D2 51.133
Cuautlán Izcalli	19° 39'	98° 58'	13	2.28	64.268 D2 51.133
Vaco	19° 46'	98° 58'	56	2.24	64.531 D2 51.133
Altepexi geográfico de Michoacán	19° 57'	98° 58'	20	2.06	65.395 D2 51.133
Acuötlan del Camp	19° 40'	98° 101'	20	2.06	65.421 D2 49.928
Aguada	19° 44'	98° 102'	47	0.92	66.822 D1 49.928
Alvaro Obregón	19° 49'	98° 101'	2	1.86	64.958 D2 49.928
Angélica ultrío de la Unión	20° 9'	98° 101'	43	1.69	64.877 D2 51.133
Mineral de Angampato	19° 37'	98° 101'	17	2.58	64.837 D2 51.133
Apatzingán de la Constitución	19° 5'	98° 101'	21	0.1	66.279 D1 49.928
Apona	19° 40'	98° 100'	25	2.28	64.846 D2 51.133
Aquila	19° 36'	98° 101'	30	0.2	67.218 D1 49.928
Anzu de Rosales	19° 12'	98° 101'	42	1.91	65.897 D1 49.928
Arriaga	19° 21'	98° 102'	17	0.82	67.015 D1 49.928
Brión de Matamoros	20° 16'	98° 102'	34	1.52	65.062 D2 51.133
Burriana Tomatlán	19° 12'	98° 102'	35	0.45	66.238 D1 49.928
Carrizal de Morelos	19° 1'	98° 101'	8	0.54	65.854 D2 51.133
Ciudad Guadalupe de Hidalgo	19° 42'	98° 101'	40	0.01	67.161 D1 49.928
Coximán de Vázquez Pálleres	19° 47'	98° 101'	10	1	66.913 D1 49.928
Cerro de la Libertad	19° 48'	98° 101'	15	2.14	65.201 D1 49.928
Comitán	19° 37'	98° 100'	10	2.49	64.433 D2 51.133
Copulanda de Calvano	19° 54'	98° 101'	11	1.84	64.946 D1 49.928
Coppa de la Paz	19° 48'	98° 102'	42	1.61	65.621 D1 49.928
Cuetzalan del Porvenir	19° 38'	98° 101'	8	1.84	64.84 D1 49.928
Charapan	19° 39'	98° 102'	15	2.16	65.624 D1 49.928
Cham	19° 45'	98° 101'	1	1.9	65.016 D1 49.928

Nombre (Número)	Latitud Norte		Longitud Oeste		Altitud	Anisotropo	Tasa de flujo		
	Grados	Minutos	Grados	Minutos					
Cerro del Cerro	20	0	102	28	4.56	65.32	199.01	D1	31.133
Cerro San Juan	19	41	102	57	2.4	65.474	201.89	D1	39.928
Cerro Chimalpa	19	41	102	57	4.77	65.356	201.10	D1	39.928
Cerro Volador	18	42	102	22	0.68	65.107	195.83	D1	39.928
Cerro de la Cuchilla	19	41	102	20	1.53	65.091	201.09	D1	39.928
Cerro de la Cuchilla	19	41	102	24	1.85	65.01	199.97	D1	31.133
Cerro de la Cuchilla	18	40	102	36	0.12	66.45	202.49	D1	39.928
Cerro de la Cuchilla	20	10	102	12	1.57	65.041	199.60	D2	31.133
Cerro en Puerto	20	8	102	17	2.49	64.291	201.50	D2	31.133
Cerro Volador	19	35	101	33	2.08	65.49	201.40	D1	39.928
Cerro Volador	19	35	101	33	0.81	66.091	201.93	D1	39.928
Ciudad Hidalgo	19	42	101	33	2.04	64.871	201.29	D2	31.133
Ciudad La	18	38	101	48	0.48	66.189	201.78	D1	39.928
Ciudad Guadalupe	19	39	101	16	1.84	64.877	202.18	D1	19.928
Ciudad de Morelos	19	34	101	30	2.04	65.062	201.66	D1	39.928
Ciudad de Núñez	18	34	101	54	0.28	66.156	201.54	D1	39.928
Ciudad Guadalupe	19	33	101	26	2.1	65.411	202.18	D1	39.928
Ciudad Guadalajara	19	47	101	58	1.91	64.965	201.15	D2	31.133
Ciudad Juárez	19	42	101	29	2.15	64.841	204.46	D2	31.133
Ciudad de los Héroes	20	10	102	24	1.51	65.111	199.08	D2	31.133
Ciudad de Panteón	19	57	102	18	1.58	65.114	199.51	D1	19.928
Ciudad Jiménez	19	55	101	15	2.02	65.143	201.00	D1	39.928
Ciudad de Juárez	19	59	102	15	1.55	65.425	196.39	D1	19.928
Ciudad Juárez	19	59	101	26	1.32	65.222	204.99	D2	31.133
Ciudad de Juárez	19	57	101	30	1.1	65.112	204.68	D2	31.133
Lazcano	19	34	101	25	2.1	65.386	202.20	D1	39.928
Ciudad de Mérida	19	23	101	17	2.18	65.327	202.71	D1	39.928
Mazatlán de Olampo	19	54	101	27	2.02	64.615	204.31	D2	31.133
San José de Gracia	19	59	101	1	2	65.526	197.59	D1	39.928
Ciudad Lazaro Cárdenas	17	57	102	12	0.01	65.45	201.72	D1	39.928
Mazatlán	19	42	101	11	1.92	65.146	202.68	D1	39.928
Ciudad Morelos	20	0	101	25	2.28	64.921	201.78	D2	31.133
Carretera Italia de Ruiz	19	1	102	6	0.42	66.255	201.92	D1	39.928
Nacozari	19	19	101	55	2.42	65.497	201.81	D1	39.928
Carretera de Morelos	19	2	101	10	0.66	65.851	201.40	D1	39.928
Carretera San Juan	19	23	102	8	1.84	65.814	201.45	D1	39.928
Carretera Lázaro Cárdenas	19	10	101	32	0.7	66	201.40	D1	39.928
Carretera Nacozari	20	15	101	56	1.7	64.852	201.22	D2	31.133
Carretera	19	15	101	21	2.3	64.895	204.96	D2	31.133
Carretera	20	7	102	14	1.52	65.227	198.68	D2	31.133



Número (Número)	Latitud Norte		Longitud Oeste		Altitud	Anisotropo	Tasa de flujo		
	Grados	Minutos	Grados	Minutos					
Patahuaca de Verdúzco	19	39	102	3	2.1	65.518	201.46	D1	39.928
Patahuaca	19	31	101	36	2.14	65.515	201.36	D1	39.928
Papantla de Degollado	20	6	101	36	1.7	65.015	201.56	D2	31.133
Parral de Ramos	19	31	102	25	1.64	65.831	199.80	D1	39.928
Piedral de Chahuita La	20	21	102	2	1.64	64.728	199.85	D2	31.133
Pumpón de Etchaz	19	54	102	0	2.02	65.257	201.77	D1	39.928
Puruarán	20	5	101	31	1.89	64.871	201.45	D2	31.133
Querétaro	19	48	101	54	1.84	64.449	201.50	D2	31.133
Quintana	19	40	101	32	2.08	65.327	201.80	D1	39.928
Comitán de Domínguez	20	7	102	31	1.54	65.324	197.93	D2	31.133
Roxys de Salgado, Los	19	15	102	28	1.1	65.776	199.40	D1	39.928
Sahumado de Morelos	20	1	102	44	1.53	65.158	198.29	D2	31.133
San Lucas	18	35	101	47	0.3	66.155	204.91	D1	39.928
Santa Ana Maya	20	0	101	1	1.84	64.755	202.80	D2	31.133
Santa Clara del Cobre	19	24	101	38	2.22	65.635	201.80	D1	39.928
Santiago	19	44	101	21	2.26	64.745	204.76	D2	31.133
Suspiro de Guerrero	19	13	101	24	1.24	65.311	205.19	D2	31.133
Tacámbaro de Cedillo	19	14	101	28	1.64	65.765	202.40	D1	39.928
Tancitaro	19	20	102	22	2.08	66.013	199.90	D1	39.928
Santiago de Tangamanga	19	57	102	26	1.67	65.363	199.18	D1	39.928
Tangancícuaro de Arriba	19	31	102	12	1.7	65.351	199.45	D1	39.928
Tanhuato de Guerrero	20	17	102	20	1.53	64.942	199.16	D2	31.133
Tardón	19	20	101	35	1.11	65.84	201.11	D1	39.928
Tanimbáro	19	48	101	11	1.86	65.019	202.58	D1	39.928
Tepakaleyes	19	11	102	31	0.37	65.332	198.71	D1	39.928
Tepicquero	19	40	101	51	1.48	65.613	201.13	D1	39.928
Tengundín	19	44	102	29	1.7	65.618	199.23	D1	39.928
Tiquicheo	18	54	101	44	0.38	65.798	204.68	D1	39.928
Tlalpujahua de Rayón	19	48	101	10	2.58	64.591	205.14	D2	51.133
Tlaxazala	19	58	102	3	1.8	65.204	200.17	D1	39.928
Tocumbro	19	42	102	32	1.6	65.672	199.12	D1	39.928
Tumbecito de Rutz	18	31	102	23	0.9	66.949	200.63	D1	39.928
Turicato	19	3	101	25	0.72	65.94	202.72	D1	39.928
Tunpan	19	34	101	28	1.71	64.974	204.64	D2	51.133
Tuzantlán	19	12	101	34	0.58	65.406	204.78	D2	51.133
Tzitzimistan	19	38	101	35	2.05	65.383	201.70	D1	39.928
Totzio	19	35	101	36	1.31	65.164	203.44	D2	51.133
Uruapan	19	25	102	3	1.62	65.802	201.67	D1	39.928
Venustiano Carranza	20	7	102	39	1.51	65.256	198.46	D2	51.133
Villamar	20	1	102	36	1.34	65.348	198.68	D2	51.133
Vista Hermosa de Neygor	20	17	102	29	1.5	65.015	198.76	D2	51.133

Municipio (Alfonso) [1]	Límitad Norte	Límite Oeste	Altitud	Antena	Tasa de lluvia				
	Grados Minutos	Grados Minutos	Latitud	Longitud	Plano de México	Año	ZONA	km. 0.00	
Villanueva	20	20	102	17	1.53	-0.889	192.24	D2	51.133
Zacapa	19	19	101	47	1.94	-0.264	201.01	D1	39.928
Zamora de Hidalgo	19	19	101	17	1.96	-0.272	199.54	D1	39.928
Zinapate	20	20	102	0	1.84	-0.967	201.12	D2	51.133
Zinapetío de Espinoza	19	19	101	50	1.88	-0.819	201.40	D2	51.133
Zinapetío	19	19	101	55	1.88	-0.712	201.01	D1	39.928
Herrera Zalazar	19	19	101	22	1.94	-0.868	205.04	D2	51.133
Pasaje Otro	20	19	101	46	1.88	-0.467	201.04	D2	51.133
<b>Aspectos geográficos de Morelos</b>									
Atlixco	18	18	94	22	0.9	-0.437	206.52	D2	51.133
Atlatlahucan	18	18	94	54	1.64	-0.853	209.25	D2	51.133
Axochipatlán	18	18	94	45	1.03	-0.206	210.17	D2	51.133
Cd. Azcapotzalco	18	18	94	59	1.22	-0.066	209.26	D2	51.133
Cuautlán del Río	18	18	95	26	1.01	-0.319	209.17	D2	51.133
Cuautla	18	18	94	57	1.1	-0.996	209.26	D2	51.133
Cuernavaca	18	18	94	14	1.51	-0.015	208.46	D2	51.133
Ecatepec Zapata	18	18	94	11	1.24	-0.101	208.64	D2	51.133
Huitzilac	18	18	94	16	2.55	-0.943	208.24	D2	51.133
Jantetelco	18	18	94	46	1.42	-0.968	209.85	D2	51.133
Juchitepec	18	18	94	11	1.35	-0.052	208.62	D2	51.133
Jopula	18	18	94	11	0.89	-0.321	208.95	D2	51.133
Jonacatepec	18	18	94	48	1.29	-0.049	207.81	D2	51.133
Mazatepec	18	18	94	22	0.98	-0.301	208.36	D2	51.133
Macuspana	18	18	94	22	1	-0.267	208.31	D2	51.133
Ocotlán	18	18	94	17	1.92	-0.839	209.60	D2	51.133
Puente de Ixtla	18	18	94	19	0.9	-0.394	208.62	D2	51.133
Temixco	18	18	94	14	1.28	-0.312	208.54	D2	51.133
Tepalcingo	18	18	94	51	1.16	-0.16	209.79	D2	51.133
Tepotzán	18	18	94	6	1.7	-0.907	208.70	D2	51.133
Tetecala	18	18	94	24	0.98	-0.318	208.27	D2	51.133
Tlalixtla del Volcán	18	18	94	44	2.22	-0.795	209.70	D2	51.133
Tlalpanapa	18	18	94	0	2.06	-0.837	208.93	D2	51.133
Tlaltizapán	18	18	94	7	0.95	-0.322	209.04	D2	51.133
Tlapulapan	18	18	94	10	0.91	-0.297	208.98	D2	51.133
Tlayacapan	18	18	94	59	1.62	-0.879	209.03	D2	51.133
Totolapan	18	18	94	55	1.9	-0.81	209.13	D2	51.133
Xochitepec	18	18	94	14	1.11	-0.518	208.62	D2	51.133
Yauhque de Zaragoza	18	18	94	4	1.21	-0.991	208.91	D2	51.133
Yecapatzingo	18	18	94	52	1.58	-0.884	209.40	D2	51.133
Zacatepec de Hidalgo	18	18	94	11	0.92	-0.289	208.91	D2	51.133
Zacualpan de Améndiga	18	18	94	46	1.64	-0.93	209.76	D2	51.133



Municipio (Morelos)	Límitad Norte	Límite Oeste	Altitud	Antena	Tasa de lluvia				
	Grados Minutos	Grados Minutos	Latitud	Longitud	Plano de México	Año	ZONA	km. 0.00	
Tecpan	18	18	94	47	1.38	-0.956	209.74	D2	51.133
<b>Lugares geográficos de Nayarit</b>									
Nzapante	22	19	105	22	0.01	-0.305	199.41	D1	39.928
Abueteján	21	19	104	29	0.99	-0.752	199.24	D1	39.928
Amatlán de Carrillo	20	18	104	24	0.73	-0.014	199.30	D1	39.928
Compostela	21	19	104	51	0.56	-0.411	191.71	D1	39.928
Guajay	22	18	105	19	0.16	-0.113	199.00	D1	39.928
Iturbide del Río	21	19	104	22	1.04	-0.742	199.26	D1	39.928
Jala	21	18	105	26	1.08	-0.184	199.00	D1	39.928
Vallejo	21	19	104	54	0.99	-0.745	191.62	D1	39.928
Iván María	22	18	104	31	0.42	-0.304	192.21	D2	51.133
Rincónmorada	22	18	105	12	0.02	-0.369	199.52	D1	39.928
Rutte	21	19	105	9	0.03	-0.879	199.73	D1	39.928
San Blas	21	18	105	17	0.01	-0.334	199.57	D1	39.928
San Pedro Lagunillas	21	18	104	45	1.3	-0.626	192.14	D1	39.928
Santa María del Oro	21	19	104	15	1.16	-0.456	192.51	D1	39.928
Santiago Ixcuintla	21	19	105	12	0.64	-0.041	199.66	D1	39.928
Temascal	22	19	105	27	0.01	-0.342	199.76	D1	39.928
Tepic	21	19	104	54	0.92	-0.319	191.59	D1	39.928
Tepicán	21	19	105	18	0.01	-0.309	190.34	D1	39.928
Yecuá La	21	19	104	0	1.42	-0.431	194.06	D2	51.133
Valle de Banderas	20	18	105	15	0.06	-0.208	199.00	D1	39.928
<b>Lugares geográficos de Jalisco</b>									
Ahuatlán	25	17	100	24	0.5	-0.114	199.48	D1	39.928
Ayapalguas	26	19	99	32	0.18	-0.741	201.02	D1	39.928
Altamas, Los	26	19	99	12	0.09	-0.552	201.86	D1	39.928
Cañada de Altemate	25	17	100	1	0.46	-0.696	200.73	D1	39.928
Analhuac	27	18	100	8	0.2	-0.635	199.22	D1	39.928
Ciudad Apodaca	25	17	100	11	0.43	-0.516	201.04	D1	39.928
Aramberri	24	16	99	49	1.1	-0.987	202.03	D2	51.133
Bustamante	26	18	100	30	0.47	-0.715	199.91	D1	39.928
Cadereyta Jiménez	25	15	100	0	0.32	-0.368	200.56	D2	51.133
Carmen	25	16	100	22	0.5	-0.812	199.56	D1	39.928
Ciudad Cervativo	26	15	99	37	0.29	-0.769	201.01	D1	39.928
Cerro de Flores	25	17	100	10	0.4	-0.012	199.97	D1	39.928
China	25	17	99	14	0.14	-0.755	202.06	D2	51.133
Dos Arroyos	21	19	100	11	1.72	-0.494	201.57	D2	51.133
Dos Bocas	25	15	99	11	0.11	-0.705	202.00	D2	51.133
Dos González	25	15	99	57	0.16	-0.045	201.47	D2	51.133
Gómez	24	19	100	5	1.66	-0.922	200.92	D2	51.133
Kanta	25	17	99	36	0.71	-0.327	199.15	D1	39.928

(Nombre, Número Legis.)	Latitud Norte			Longitud Oeste			Altitud		Anexo		Tasa de lluvia	
	Grados	Minutos	Segundos	Grados	Minutos	Segundos	Elevación	Altura	Zona	Altitud	Tasa de lluvia	
San Pedro Garza García	25	40	100	100	24	0.04	58.42	199.67	D1	39.928	410.011%	
General Bravo	25	48	00	100	11	0.11	57.829	202.00	D2	31.133		
Coludad General Escobedo	25	49	00	100	10	0.12	58.229	199.74	D1	39.928		
Coludad General Terán	25	51	00	100	41	0.13	58.807	201.45	D2	31.133		
General Treviño	25	53	00	100	29	0.15	57.499	201.19	D1	39.928		
General Zaragoza	25	58	00	100	46	1.16	58.011	202.25	D2	31.133		
General Zuazua	25	59	00	100	6	0.16	58.053	201.14	D1	39.928		
Guadalupe	25	41	00	100	16	0.12	58.355	199.94	D1	39.928		
Hermosillo, Son.	25	54	00	100	24	0.15	57.803	201.58	D2	31.133		
Higueras	25	58	00	100	1	0.09	57.661	201.27	D1	39.928		
Huajuqueros	24	51	00	100	40	0.14	58.993	201.76	D2	31.133		
Ixtlán	24	43	00	100	54	1.46	59.26	201.39	D2	31.133		
Ciudad Benito Juárez	25	39	00	100	6	0.17	58.312	201.31	D1	39.928		
Lampazos de Naranjo	27	2	00	100	30	0.12	58.973	198.61	D1	39.928		
Lazcano	25	32	00	100	32	0.15	58.972	201.95	D2	31.133		
Marrón	25	51	00	100	2	0.14	58.057	201.29	D1	39.928		
Melchor Ocampo	26	1	00	100	13	0.25	57.702	201.17	D1	39.928		
Mier y Noriega	25	25	00	100	7	1.67	60.736	201.91	D2	31.133		
Mina	26	0	00	100	12	0.06	58.105	199.17	D1	39.928		
Montemorelos	25	11	00	100	50	0.41	58.735	201.19	D2	31.133		
Monterrey	25	40	00	100	19	0.54	58.391	199.84	D1	39.928		
Parás	26	70	00	100	11	0.11	57.208	201.91	D1	39.928		
Práxiques	25	47	00	100	5	0.13	58.171	210.32	D1	39.928		
Ramones, Son.	25	42	00	100	18	0.21	58.107	201.24	D2	31.133		
Rayones	25	1	00	100	4	0.84	59.003	201.82	D1	39.928		
Ciudad Salinas Hidalgo	26	51	00	100	11	0.1	57.444	199.58	D1	39.928		
Sabino Vázquez	25	58	00	100	18	0.14	58.061	199.68	D1	39.928		
San Nicolás de los Garza	25	44	00	100	18	0.5	58.511	199.83	D1	39.928		
Saladillo	25	59	00	100	27	0.54	58.095	199.36	D1	39.928		
Ciudad Santa Catarina	25	41	00	100	28	0.60	58.425	199.52	D1	39.928		
Santiago	25	26	00	100	9	0.48	58.583	200.35	D1	39.928		
Vallejo	26	40	00	100	59	0.27	57.195	199.88	D1	39.928		
Ciudad de Villalba	26	30	00	100	26	0.42	57.524	199.07	D1	39.928		
Cohuila	17	52	00	100	17	1.31	63.895	212.61	D2	31.133		
Guadalupe de Ramírez	17	45	00	100	113	0.614	212.60	D2	31.133			
Huautla, Nayar.	17	51	00	100	1	2.08	63.771	211.22	D2	31.133		
San Ayacucho Atenango	17	56	00	100	1	1.28	63.67	213.38	D2	31.133		
San Andrés Tepetongo	17	40	00	100	23	1.46	63.82	212.19	D2	31.133		
San Francisco Ixtlán, nayar.	17	29	00	100	16	1.34	63.933	212.74	D2	31.133		
San Juan Bautista Tlachichilo	17	37	00	100	21	1.32	63.851	212.15	D2	31.133		

TESIS CON  
FALLA DE ORIGEN

Municipio	Código	Latitud Norte			Longitud Oeste			Altitud		Anexo		Tasa de lluvia	
		Grados	Minutos	Segundos	Grados	Minutos	Segundos	Elevación	Altura	Zona	Altitud	Tasa de lluvia	
San Juan Cintalapa	17	51	1	98	17	1.98	63.385	212.18	D2	31.133			
San Juan Huamelula	17	44	1	98	17	1.76	63.694	212.31	D2	31.133			
San Lorenzo Victoria	17	40	1	98	17	1.19	63.705	212.84	D2	31.133			
San Mateo Neopam	17	39	1	98	25	1.34	63.886	212.11	D2	31.133			
San Miguel Huichapan	17	40	1	98	19	1.37	63.784	212.36	D2	31.133			
San Nicolás Italpa	17	35	1	98	8	1.11	63.561	212.64	D2	31.133			
Santa Cruz del Bravo	17	35	1	98	15	1.84	63.806	212.72	D2	31.133			
Santiago del Río	17	27	1	98	5	1.04	63.856	211.24	D2	31.133			
Santiago Tamazula	17	40	1	98	13	1.76	63.725	212.60	D2	31.133			
Santiago Yauhquimil	17	36	1	98	12	1.45	63.78	212.74	D2	31.133			
Sala Ajupum	17	30	1	98	8	1.02	63.834	213.04	D2	31.133			
Zapotlán Lajitas	17	45	1	98	23	1.54	63.742	212.08	D2	31.133			
Asunción Cuyutepec	17	56	1	97	40	1.76	63.134	213.53	D2	31.133			
Hacia a Ciudad de Huajuapan de León	17	48	1	97	46	1.6	63.324	213.49	D2	31.133			
Cosoleacaque	18	8	1	97	47	1.82	63.011	212.98	D2	31.133			
Fresnillo de Trujano	17	54	1	98	8	1.02	63.447	212.47	D2	31.133			
Matecaula de Juárez	17	52	1	98	8	1.08	63.48	212.52	D2	31.133			
San Andrés Donatán	17	41	1	97	44	1.65	63.416	213.73	D2	31.133			
San Jerónimo Silcazayapilla	17	48	1	97	51	1.7	63.775	213.29	D2	31.133			
San Jorge Nacachita	17	39	1	98	6	1.19	63.671	212.91	D2	31.133			
San José Ayupilla	17	56	1	97	58	1.36	63.315	212.82	D2	31.133			
San Juan Bautista Suchiapa	17	58	1	97	39	1.84	63.092	213.53	D2	31.133			
San Marcos Arriaga	17	43	1	97	51	1.84	63.456	213.41	D2	31.133			
San Martín Zacalpan	17	48	1	98	4	1.51	63.505	212.77	D2	31.133			
San Miguel Amatlán	17	51	1	98	1	1.36	63.394	212.77	D2	31.133			
San Pedro y San Pablo	18	3	1	97	43	1.84	63.052	213.25	D2	31.133			
San Simón Zahuatlán	17	50	1	98	2	1.62	63.453	212.80	D2	31.133			
Santa Catarina Zapotlán	18	4	1	97	36	1.98	64.965	213.30	D2	31.133			
Santa Cruz Taxacte de Mina	17	49	1	98	9	1.08	63.539	212.35	D2	31.133			
Santa María Camotlán	17	54	1	97	41	1.72	63.177	213.34	D2	31.133			
Santiago Ayupilla	17	56	1	97	57	1.58	63.505	212.86	D2	31.133			
Santiago Cañalulapa	17	43	1	97	44	1.76	63.384	213.69	D2	31.133			
Santiago Chameuta	18	11	1	97	41	1.7	64.902	213.14	D2	31.133			
Santiago Huipolotlán	17	49	1	97	44	1.81	63.288	213.54	D2	31.133			
Santiago Malpaso	17	39	1	97	41	1.85	63.096	213.42	D2	31.133			
Santo Domingo Tonala	17	41	1	97	58	1.19	63.559	213.18	D2	31.133			
Santo Domingo Yodohino	17	37	1	97	41	1.84	63.45	213.95	D2	31.133			
Santos Reyes Yucuna	17	47	1	98	0	1.94	63.482	212.96	D2	31.133			
Tecozautla de Segura y Luna	17	39	1	97	49	1.52	63.5	213.39	D2	31.133			
Zapotlán Palmar	17	53	1	97	49	1.91	63.274	212.25	D2	31.133			

Municipio/Ciudad	Latitud Norte		Longitud Oeste		Altitud kmms	Área m.s.n.m.	Tamaño de área		
	Grados	Minutos	Grados	Minutos					
Santa Cruz Buenavista	17°	33'	-97°	24'	2.12	63.018	214.23	D2	51.133
Santa Cruz del Sachatlahuaca	17°	33'	-97°	22'	2.08	63.137	214.35	D2	51.133
Santa Cruz de Tepeyan	17°	31'	-97°	29'	2.28	63.102	214.08	D2	51.133
Santa Cruz de Tlaxiaca	17°	33'	-97°	14'	2.11	63.126	214.09	D2	51.133
Santa Cruz Huipilapa	17°	48'	-97°	25'	2.22	63.199	214.31	D2	51.133
Santa Cruz Ixtapetepetl	17°	48'	-97°	20'	2.02	63.057	214.50	D2	51.133
Santa Cruz Julian	17°	45'	-97°	26'	2.22	63.167	214.34	D2	51.133
Santa Cruz La Soledad	17°	45'	-97°	28'	2.18	63.111	214.19	D2	51.133
Santa Maria Atzomita	17°	43'	-97°	20'	2.18	63.181	214.70	D2	51.133
Santa Cruz Huatulpan	17°	31'	-97°	26'	2.12	63.071	214.29	D2	51.133
Santiago Tepeyac	17°	45'	-97°	24'	2.16	63.114	214.37	D2	51.133
Tepalcatepec Villa de Morelos	17°	32'	-97°	22'	2.06	63.011	214.33	D2	51.133
Tlalnepantla Plumas	17°	31'	-97°	26'	2.12	63.071	214.20	D2	51.133
Tlaxco Huatulpan Morelos	18°	10'	-96°	52'	1.46	64.413	215.04	D2	51.133
Tlaxiapa	18°	6'	-96°	47'	1.66	64.423	215.32	D2	51.133
Tlaxiaca de Jiménez	18°	7'	-96°	50'	1.56	64.441	215.19	D2	51.133
Tlaxiaca Villa de Flores	18°	1'	-96°	55'	1.14	64.508	215.14	D2	51.133
San Antonio Naucalpan	18°	8'	-97°	7'	0.76	64.603	215.52	D2	51.133
San Bartolome Asurita	18°	2'	-96°	40'	0.65	64.413	215.68	D2	51.133
San Francisco Huichapan	18°	12'	-96°	37'	1.66	64.413	211.81	D2	51.133
San Jeronimo Texcotzingo	18°	10'	-96°	55'	1.84	64.416	214.91	D2	51.133
San Jose Tenango	18°	8'	-96°	43'	0.82	64.351	215.13	D2	51.133
San Juan Coatepec	18°	1'	-96°	45'	1.88	64.45	215.47	D2	51.133
San Juan de los Cerritos	18°	3'	-97°	1'	0.86	64.641	214.79	D2	51.133
San Lorenzo Cuauhtemoc	18°	12'	-96°	54'	1.94	64.404	214.92	D2	51.133
San Luis de Zinacantan	18°	8'	-96°	55'	1.76	64.477	214.98	D2	51.133
San Martin Tlalpujahua	18°	6'	-97°	1'	1.02	64.591	214.72	D2	51.133
San Mateo Tlaltenango	18°	8'	-96°	52'	1.55	64.446	215.09	D2	51.133
San Pedro Cholula	18°	13'	-96°	54'	1.72	64.42	214.94	D2	51.133
Santa Ana Atenchulapa	18°	12'	-96°	54'	1.81	64.404	214.92	D2	51.133
Santa Cruz Atlapetelco	18°	9'	-96°	52'	1.6	64.43	215.06	D2	51.133
Santa Maria Chiconcuac	18°	14'	-96°	50'	1.71	64.33	215.02	D2	51.133
Santa Maria Cuautla	17°	51'	-97°	11'	1.84	64.915	214.78	D2	51.133
Santa Maria la Asuncion	18°	6'	-96°	49'	1.5	64.446	213.25	D2	51.133
Santa Maria Texomula	17°	57'	-97°	1'	0.6	64.715	213.01	D2	51.133
Santa Maria Teopanzolco	18°	9'	-96°	57'	1.82	64.481	214.88	D2	51.133
Santiago Texcalancingo	18°	12'	-96°	58'	2.02	64.416	214.77	D2	51.133
Tecpan de Flores Magón	18°	8'	-97°	4'	1.02	64.572	215.61	D2	51.133
Chapultepec de Benito Juarez	17°	59'	-96°	44'	0.58	64.501	215.61	D2	51.133
Concepcion Papalo	17°	51'	-96°	51'	2.12	64.74	215.49	D2	51.133
Coyamecalco Villa de Zaragoza	17°	58'	-96°	50'	1.68	64.582	215.41	D2	51.133

TESIS CON  
FALLA DE ORIGEN

Municipio/Ciudad	Latitud Norte		Longitud Oeste		Altitud kmms	Elevación m.s.n.m.	Área kmms	Tamaño de área	
	Grados	Minutos	Grados	Minutos					
San Andres Texololapan	17°	37'	-96°	49'	10'	64.438	215.84	D2	51.133
San Francisco Chapulita	17°	46'	-96°	45'	14'	64.626	215.64	D2	51.133
San Juan Bautista Cuautlán	17°	48'	-96°	47'	10.62	64.814	215.38	D2	51.133
San Juan Bautista Huamantzingo	17°	52'	-96°	45'	11.56	64.515	214.11	D2	51.133
San Juan Teponoxila	17°	41'	-96°	46'	21.15	64.816	215.77	D2	51.133
San Miguel Santa Cruz	17°	35'	-96°	48'	1.81	64.628	215.55	D2	51.133
San Pedro Jalpan de Serra	17°	41'	-97°	2'	1.76	64.978	215.37	D2	51.133
San Pedro La Laguna	17°	46'	-97°	5'	2.04	64.931	215.12	D2	51.133
San Pedro Mixtequilla	17°	44'	-96°	40'	1.22	64.616	216.60	D2	51.133
San Pedro Tlalpan	17°	58'	-96°	42'	1.02	64.497	215.71	D2	51.133
Santa Ana Cuautlacomito	17°	54'	-96°	47'	1.08	64.335	215.49	D2	51.133
Santa Maria Papalo	17°	47'	-96°	48'	2.05	64.734	215.75	D2	51.133
Santa Maria Texmelucan	17°	42'	-97°	4'	1.5	64.983	215.52	D2	51.133
Santa Maria Tlalixtla	17°	57'	-96°	44'	1.16	64.514	215.65	D2	51.133
Santiago Nailexpan	17°	40'	-96°	55'	2.08	65.075	215.91	D2	51.133
Santos Reyes Papalo	17°	48'	-96°	51'	2.03	64.775	215.61	D2	51.133
Vallejo Tlajomulco	17°	46'	-96°	58'	0.62	64.857	215.40	D2	51.133
Acatlán de Perez Figueroa	18°	32'	-96°	36'	0.12	63.898	215.12	D2	51.133
Ayotzinapa	17°	40'	-96°	8'	0.1	64.404	217.41	D2	51.133
Cochimilco	18°	16'	-96°	41'	0.2	63.808	214.84	D2	51.133
Loma Bonita	18°	6'	-95°	53'	0.03	63.838	217.30	D3	67.834
San Felipe Jalapa de Diaz	18°	4'	-96°	32'	0.14	64.296	215.93	D2	51.133
San Felipe Usila	17°	53'	-96°	31'	0.1	64.456	216.24	D2	51.133
San Jose Chilpan	17°	56'	-96°	10'	0.03	64.118	216.94	D2	51.133
San Jose Independencia	18°	15'	-96°	39'	0.1	64.198	215.41	D2	51.133
San Juan Bautista Tlaxiapan	18°	5'	-96°	8'	0.02	64.019	216.79	D2	51.133
San Juan Bautista Valle Nacional	17°	46'	-96°	18'	0.06	64.423	216.89	D2	51.133
San Lucas Ojitlan	18°	3'	-96°	24'	0.15	64.225	216.25	D2	51.133
San Miguel Zapotlapan	18°	15'	-96°	24'	0.04	64.036	215.56	D2	51.133
San Pedro Itzapa	18°	4'	-96°	30'	0.04	64.196	215.88	D2	51.133
Santa Maria Jacatepec	17°	51'	-96°	12'	0.03	64.279	216.99	D1	51.133
San Juan Comalapa	17°	20'	-95°	58'	0.64	64.596	216.28	D3	67.834
San Juan Lalana	17°	28'	-95°	53'	0.48	64.417	216.26	D3	67.834
San Juan Pedrala	17°	28'	-96°	2'	0.68	64.52	217.93	D2	51.133
Santiago Chapaapan	17°	21'	-95°	55'	0.84	64.546	218.37	D3	67.834
Santiago Juxtlahuaca	17°	12'	-95°	56'	0.28	64.391	218.05	D3	67.834
Santiago Yaveo	17°	20'	-95°	42'	0.44	64.412	218.86	D3	67.834
Corazon de las Flores	17°	16'	-98°	16'	2.02	66.145	215.06	D2	51.133
San Juan Mixtepec	17°	18'	-97°	50'	1.75	65.847	214.06	D2	51.133
San Martin Peras	17°	21'	-98°	14'	2.2	66.044	215.02	D2	51.133
San Miguel Tlacholapa	17°	27'	-98°	0'	1.71	65.805	215.44	D2	51.133

Municipio (Código)	Límitad Norte Grados Altimetría	Límitad Oeste Grados Altimetría	Altitud Kilómetros	Área Km²	Población PNUA	Tasa de lluvia mm/año
N.º Sebastián Teomulcháhuac	17	21	96	2	1.65	65.922 213.50 D2 51.133
N.º Tepeyacalcahuac	17	22	97	0	1.66	65.918 213.61 D2 51.133
N.º El Río Tepeyac	17	22	97	36	1.92	65.781 213.62 D2 51.133
N.º Andrés Laguna	17	22	97	31	2.3	n.d.394 214.42 D2 51.133
N.º Antonio Monroyverde	17	22	97	43	2.24	65.551 213.99 D2 51.133
N.º Antonio Avilés	17	23	97	36	2.18	65.231 214.21 D2 51.133
N.º Bartolo Escalón pes	17	23	97	18	2.28	65.241 214.93 D2 51.133
N.º San Topilejula	17	23	97	25	2.3	65.348 214.85 D2 51.133
N.º Pedro Nogales	17	23	97	37	2.18	65.181 214.04 D2 51.133
N.º Pedro Topilejo	17	23	97	21	2.17	65.417 215.01 D2 51.133
N.º Pedro San Pablo	17	23	97	26	2.18	65.421 214.57 D2 51.133
N.º Morelos						
N.º Pedro Yurumáma	17	24	97	26	2.44	65.372 214.50 D2 51.133
N.º Sebastián Niñanduata	17	24	97	41	2.34	65.546 214.10 D2 51.133
N.º Vicente Nurio	17	27	97	27	2.36	65.481 214.73 D2 51.133
N.º María Nahuatlán	17	24	97	60	2.34	65.541 214.70 D2 51.133
Santiago Nepápal	17	25	97	22	2.28	65.443 214.99 D2 51.133
Santiago Yoholomíatl	17	26	97	54	2.12	65.521 214.45 D2 51.133
Santo Domingo Tlaltenango	17	24	97	21	2.26	65.418 215.06 D2 51.133
Santo Domingo Tenultipán	17	27	97	21	2.5	65.242 214.73 D2 51.133
Tetelco	17	23	97	32	2.06	65.261 214.16 D2 51.133
Tonalá Vista Hermosa, La	17	26	97	30	2.16	65.192 214.16 D2 51.133
Vila de Chilapa de Díaz	17	25	97	38	1.9	65.451 214.12 D2 51.133
Vila de Tamazulapan del Ixtenco	17	26	97	34	2	65.331 214.15 D2 51.133
Vila Tequixquiac de la Unión	17	26	97	28	2.11	65.267 214.39 D2 51.133
Azcapotzalco Xochimilco	17	27	97	13	2.08	65.316 215.29 D2 51.133
Magdalena Jalisco	17	19	97	13	2.02	65.442 215.49 D2 51.133
Magdalena Yohualtepec de Perrino Díaz	17	23	97	21	2.31	65.464 215.06 D2 51.133
Miguel Hidalgo Zabálman	17	23	97	13	2.11	65.379 215.39 D2 51.133
San Andrés Nuvo	17	14	97	6	1.84	65.445 215.89 D2 51.133
San Andrés Susticacán	17	26	97	17	2.1	65.343 215.11 D2 51.133
San Francisco Chunduá	17	25	97	19	2.12	65.411 215.11 D2 51.133
San Francisco Jalpetécpingo	17	23	97	16	2.07	65.411 215.28 D2 51.133
San Francisco Náhuatl	17	23	97	21	2.31	65.464 215.08 D2 51.133
San Juan Huipul	17	14	97	6	1.84	65.445 215.89 D2 51.133
San Juan Ixtenco	17	17	97	22	2.27	65.569 215.19 D2 51.133
San Juan Sayulapa	17	27	97	17	2.09	65.358 215.14 D2 51.133
San Juan Tamaralá	17	9	97	13	2.08	65.599 215.75 D2 51.133
San Juan Yauytla	17	17	97	16	2.08	65.3 215.10 D2 51.133
San Matías Ixtacpan	17	23	97	16	2.04	65.379 215.22 D2 51.133
San Matías Sonduras	17	10	97	21	1.36	65.827 215.67 D2 51.133
San Miguel Chalchihua	17	18	97	12	2.3	65.131 215.06 D2 51.133

**TIPOS CON  
FALLA DE ORIGEN**

Municipio (Código)	Límitad Norte Grados Altimetría	Límitad Oeste Grados Altimetría	Altitud Kilómetros	Área Km²	Población PNUA	Tasa de lluvia mm/año
San Miguel Huautla	17	14	97	8	2	65.994 215.6 D2 51.133
San Miguel Pastores	17	10	97	14	1.78	65.751 215.94 D2 51.133
San Miguel Tecpanecatlán	17	21	97	16	2.19	65.411 215.28 D2 51.133
San Pedro Cuautlalpan Cantaros	17	21	97	8	2.3	65.215 215.41 D2 51.133
San Pedro Texcoco	17	1	97	17	1.59	65.768 215.89 D2 51.133
San Pedro Tlalpan	17	20	97	22	2.1	65.522 215.12 D2 51.133
Santa Inés de Zaragoza	17	14	97	9	1.73	65.477 215.77 D2 51.133
Santa María Ajijic	17	18	97	7	2.16	65.988 215.24 D2 51.133
Santa María Chalchicomula	17	11	97	17	2.09	65.293 215.04 D2 51.133
Santiago Apóstol	17	19	97	8	1.95	65.074 215.14 D2 51.133
Santiago Huautla	17	27	97	4	2.08	65.22 215.64 D2 51.133
Santiago Tlalnepantla	17	17	97	20	2.22	65.548 215.27 D2 51.133
Santiago Tlaltoya	17	27	97	19	2.08	65.38 215.06 D2 51.133
Santo Domingo Tlaxcalan	17	13	97	7	1.96	65.471 215.88 D2 51.133
Santo Domingo Yanhuitlán	17	11	97	20	2.14	65.327 214.92 D2 51.133
Teplacuacapa de Guerrero	17	2	97	18	1.62	65.763 215.73 D2 51.133
Tecatitlán Ela	17	10	97	16	6.32	216.65 D2 51.133
Magdalena Apasco	17	14	97	19	1.66	65.26 216.54 D2 51.133
Zacatenco Ela	17	11	97	19	1.6	65.306 216.62 D2 51.133
Reyes Ela	17	12	97	19	1.63	65.291 216.59 D2 51.133
San Agustín Ela	17	11	97	16	1.7	65.271 216.73 D2 51.133
San Andrés Zautla	17	11	97	52	1.64	65.349 216.50 D2 51.133
San Felipe Tlalpan	17	7	97	51	1.64	65.39 216.65 D2 51.133
San Francisco Tlahualilo	17	18	97	54	1.7	65.252 216.25 D2 51.133
San Jerónimo Soyalula	17	22	97	2	1.92	65.276 215.84 D2 51.133
San Juan Bautista Atitláhuac	17	12	97	50	1.01	64.99 216.05 D2 51.133
San Juan Bautista Guachochi	17	14	97	47	1.74	65.238 216.62 D2 51.133
San Juan Bautista Jayacatán	17	25	97	49	1.26	65.198 216.26 D2 51.133
San Juan del Estado	17	16	97	48	1.74	65.217 216.53 D2 51.133
San Lorenzo Cuauterpas	17	8	97	48	1.6	65.342 216.73 D2 51.133
San Pablo Ela	17	4	97	46	1.63	65.404 216.79 D2 51.133
San Pablo Huitzol	17	16	97	51	1.7	65.272 216.34 D2 51.133
Santa María Penoles	17	5	97	0	1.98	65.32 216.35 D2 51.133
Santiago San Hilario Atzompa	17	15	97	52	1.67	65.277 216.40 D2 51.133
Santiago Temascaltepec	17	19	97	0	2.04	65.302 215.99 D2 51.133
Santiago Tlalnepantla	17	2	97	0	2.54	65.567 216.43 D2 51.133
Santo Tomás Mazaltepec	17	10	97	52	1.66	65.335 216.51 D2 51.133
Soleá Ela	17	10	97	49	1.6	65.322 216.65 D2 51.133
Villa de Ela	17	12	97	48	1.66	65.28 216.63 D2 51.133
Alejandría	17	26	97	16	2.26	64.93 216.73 D2 51.133
Copalquín de Méndez	17	18	97	27	2.04	64.954 217.27 D2 51.133

Municipio (Código)	Límitd Norte Grados Minutos Latitud	Límite Oeste Grados Minutos Longitud	Altitud msn.m.	Flujo km²	Tasa de flujo al 0.01%
	Elevación km	Asimut km	ZONA km²		
Ciudad de Méjico	19° 19' 36"	29° 17' 37"	12	31.133	
Ciudad de Méjico	19° 20' 16" 29° 20' 03"	29° 17' 43" 29° 17' 24"	12	31.133	
Santos Reyes	17° 18' 36" 25° 18' 56"	21° 34' 21° 34"	12	31.133	
San Juan Zinapécuaro	17° 17' 36" 37° 20' 06"	21° 49' 21° 49"	12	31.133	
San Juan Atenco	17° 26' 36" 32° 2' 46"	21° 58' 21° 58"	12	31.133	
San Juan Ixtenco zuchitlán	17° 17' 36" 30° 1' 57"	21° 43' 21° 43"	12	31.133	
San Juan Evangelista Atotonilco	17° 24' 36" 32° 2' 12"	21° 47' 21° 47"	12	31.133	
San Juan Cuautitlán	17° 56' 36" 35° 1' 02"	21° 51' 21° 51"	12	31.133	
San Miguel Alajuelita	17° 25' 36" 41° 2' 26"	21° 01' 21° 01"	12	31.133	
San Miguel Amatlán	17° 16' 36" 28° 2' 2"	21° 28' 21° 28"	12	31.133	
San Miguel del Río	17° 19' 36" 34° 1' 57"	21° 06' 21° 06"	12	31.133	
San Miguel Totolapan	17° 22' 36" 29° 1' 13"	21° 43' 21° 43"	12	31.133	
San Pablo Mazatlanquero	17° 32' 36" 33° 2' 21"	21° 49' 21° 49"	12	31.133	
San Pedro Yácatan	17° 21' 36" 21° 1' 13"	21° 55' 21° 54"	12	31.133	
San Pedro Yoholmo	17° 15' 36" 11° 1' 04"	21° 58' 21° 58"	12	31.133	
Santa Ana Yauhquemehcan	17° 23' 36" 27° 2' 28"	21° 27' 21° 27"	12	31.133	
Santa Catarina Ixtapa	17° 16' 36" 34° 1' 02"	21° 03' 21° 03"	12	31.133	
Santa Catarina Lachoutzapa	17° 16' 36" 28° 1' 08"	21° 28' 21° 28"	12	31.133	
Santa María Jaltipanquero	17° 22' 36" 32° 1' 04"	21° 48' 21° 48"	12	31.133	
Santa María Yauhquemehcan	17° 14' 36" 26° 2' 2"	21° 41' 21° 41"	12	31.133	
Santiago Comalcalco	17° 14' 36" 31° 2' 2"	21° 44' 21° 44"	12	31.133	
Santiago La Laguna	17° 13' 36" 38° 1' 56"	21° 73' 21° 73"	12	31.133	
Santiago Xalitzintla	17° 17' 36" 26° 2' 2"	21° 96' 21° 93"	12	31.133	
Provincia de Morelos, Perote	17° 21' 36" 17° 1' 18"	21° 09' 21° 05"	12	31.133	
San Andrés Chalchihuitán	17° 16' 36" 11° 1' 19"	21° 80' 21° 80"	12	31.133	
San Andrés Yaa	17° 16' 36" 9° 1' 59"	21° 51' 21° 51"	12	31.133	
San Baltazar Yatzachi el Bajo	17° 31' 36" 11° 1' 16"	21° 73' 21° 72"	12	31.133	
San Bartolo Zoquihua	17° 14' 36" 14° 1' 13"	21° 09' 21° 85"	12	31.133	
San Cristóbal La Laguna	17° 20' 36" 10° 1' 12"	21° 73' 21° 75"	12	31.133	
San Francisco Caporaso	17° 10' 36" 15° 1' 17"	21° 48' 21° 92"	12	31.133	
San Ildefonso Villa Alta	17° 20' 36" 9° 1' 23"	21° 73' 21° 88"	12	31.133	
San Juan Jaquela Yajalon	17° 21' 36" 18° 1' 32"	21° 07' 21° 53"	12	31.133	
San Juan Tabula	17° 18' 36" 12° 1' 36"	21° 25' 21° 22"	12	31.133	
San Juan Yaret	17° 26' 36" 17° 1' 14"	21° 79' 21° 43"	12	31.133	
San Juan Yatzompa	17° 24' 36" 10° 1' 13"	21° 67' 21° 74"	12	31.133	
San Matías Caporaso	17° 4' 36" 12° 1' 39"	21° 92' 21° 06"	12	31.133	
San Melchor Ocampo	17° 15' 36" 9° 1' 48"	21° 01' 21° 01"	12	31.133	
San Pablo Yayautepec	17° 9' 36" 14° 1' 15"	21° 45' 21° 98"	12	31.133	
San Pedro Caporaso	17° 10' 36" 16° 1' 08"	21° 45' 21° 88"	12	31.133	
Santa María Tenango del Valle	17° 23' 36" 10° 1' 11"	21° 06' 21° 77"	12	31.133	
Santa María Yauhquemehcan	17° 14' 36" 16° 1' 86"	21° 75' 21° 75"	12	31.133	

TESIS CON  
FALLA DE ORIGEN

Municipio (Código)	Límitd Norte Grados Minutos Latitud	Límite Oeste Grados Minutos Longitud	Altitud msn.m.	Flujo km²	Tasa de flujo al 0.01%
	Elevación km	Asimut km	ZONA km²		
Santiago Camotán	17° 27' 36" 11° 1' 38"	21° 45' 21° 45"	12	31.133	
Santiago Lalopala	17° 25' 36" 15° 1' 12"	21° 52' 21° 52"	12	31.133	
Santiago Zinacantla	17° 13' 36" 14° 1' 06"	21° 48' 21° 48"	12	31.133	
Santo Domingo Robles	17° 20' 36" 7° 1' 16"	21° 49' 21° 46"	12	31.133	
Santo Domingo Zapotlán	17° 4' 36" 16° 1' 38"	21° 41' 21° 41"	12	31.133	
Taracuri de Tapajoya	17° 22' 36" 16° 1' 36"	21° 72' 21° 50"	12	31.133	
Villa Hidalgo	17° 31' 36" 11° 1' 11"	21° 48' 21° 44"	12	31.133	
Villa Talpa de Castro	17° 22' 36" 15° 1' 06"	21° 58' 21° 61"	12	31.133	
Azcapotzalco	17° 2' 36" 45° 37' 16"	21° 45' 21° 29"	12	31.133	
Mazatlán de la Reforma	17° 10' 36" 5° 1' 06"	21° 27' 21° 29"	12	31.133	
San Juan Colotlán	17° 10' 36" 95° 47' 12"	21° 85' 21° 85"	12	31.133	
San Juan Matatlán	17° 2' 36" 45° 26' 03"	21° 49' 21° 51"	12	31.133	
San Lucas Camotán	16° 57' 36" 95° 41' 13"	21° 48' 21° 44"	12	31.133	
San Miguel Quetzaltepe	16° 58' 36" 95° 46' 12"	21° 78' 21° 30"	12	31.133	
San Pedro Cuajimalpa	16° 57' 36" 95° 31' 16"	21° 15' 21° 15"	12	31.133	
San Pedro Cuajimalpa	17° 2' 36" 95° 45' 20"	21° 54' 21° 54"	12	31.133	
Santa María Atepeque	17° 5' 36" 95° 31' 14"	21° 47' 21° 43"	12	31.133	
Santa María Tenampulco	17° 0' 36" 1° 18' 135"	21° 49' 21° 20"	12	31.133	
Santa María Tenango de Tlaloc	17° 6' 36" 4° 22' 135"	21° 47' 21° 43"	12	31.133	
Santiago Atlántida	17° 6' 36" 95° 37' 135"	21° 69' 21° 69"	12	31.133	
Santiago Ixtlán	16° 56' 36" 95° 47' 08"	21° 48' 21° 48"	12	31.133	
Santiago Zautla	17° 9' 36" 95° 35' 12"	21° 72' 21° 68"	12	31.133	
Santo Domingo Tepatlaxco	16° 57' 36" 95° 1' 21"	21° 87' 21° 87"	12	31.133	
Tlapanalpan del Espíritu Santo	17° 3' 36" 96° 4' 20"	21° 52' 21° 52"	12	31.133	
Totontepec Villa de Morelos	17° 13' 36" 9° 2' 18"	21° 71' 21° 27"	12	31.133	
Concepción del Rosario	17° 2' 36" 97° 56' 07"	21° 42' 21° 22"	12	31.133	
Mesones Hidalgo	16° 55' 36" 97° 34' 04"	21° 43' 21° 43"	12	31.133	
Puerta Villa de Guerrero	17° 1' 36" 97° 55' 075"	21° 28' 21° 28"	12	31.133	
Reforma, La	16° 37' 36" 97° 31' 081"	21° 51' 21° 57"	12	31.133	
San Andrés Calvillo Nueva	16° 51' 36" 97° 41' 218"	21° 05' 21° 05"	12	31.133	
San Pedro Atzompa	16° 39' 36" 98° 05' 627"	21° 44' 21° 44"	12	31.133	
Santa Cruz Itzapa	16° 52' 36" 97° 39' 212"	21° 16' 21° 16"	12	31.133	
Santa Lucía Monteverde	16° 58' 36" 98° 40' 248"	21° 06' 21° 06"	12	31.133	
Santa María Ixtapuza	16° 38' 36" 98° 2' 048"	21° 61' 21° 59"	12	31.133	
Santa María Zautla	16° 45' 36" 97° 59' 034"	21° 53' 21° 53"	12	31.133	
Chalatenango de Hidalgo	17° 2' 36" 97° 31' 215"	21° 94' 21° 10"	12	31.133	
Herrera o Ciudad de Tlaxiaco	17° 16' 36" 97° 41' 204"	21° 79' 21° 47"	12	31.133	
Magdalena Pertusio	17° 14' 36" 97° 33' 146"	21° 84' 21° 84"	12	31.133	
San Agustín Tlaxiapa	17° 12' 36" 97° 31' 205"	21° 74' 21° 96"	12	31.133	
San Antonio Semetabaj	17° 9' 36" 97° 34' 211"	21° 52' 21° 92"	12	31.133	
San Bartolomé Yauhquemehcan	17° 14' 36" 97° 27' 183"	21° 57' 21° 07"	12	31.133	

Municipio (Código)	Latitud Norte Grados Minutos Segundos	Longitud Oeste Grados Minutos Segundos	Altitud Metros	Área Km²	Tasa de Ilusión 2013 A 2014
San Cristóbal Amatlan	17° 17' 07"	98° 31' 23"	65 468	214.72	D2 51.133
San Esteban Malinaltepec	17° 1' 07"	98° 31' 23"	65 497	214.77	D2 51.133
San Juan Achutla	17° 21' 07"	98° 20' 23"	65 501	214.78	D2 51.133
San Juan Xoxo	17° 24' 07"	98° 42' 23"	65 498	214.23	D2 51.133
San Juan Yxta	17° 6' 07"	98° 25' 13"	65 473	215.53	D2 51.133
San Martin Huamolapan	17° 24' 07"	98° 36' 22"	65 446	214.47	D2 51.133
San Martin Ixtaczoquitlán	17° 11' 07"	98° 35' 26"	65 412	214.04	D2 51.133
San Matías Tlaltenango	17° 9' 07"	98° 32' 19"	65 402	215.00	D2 51.133
San Miguel Ahualula	17° 38' 07"	98° 29' 19"	65 428	214.89	D2 51.133
San Miguel El Grande	17° 1' 07"	98° 37' 26"	65 45	214.96	D2 51.133
San Pablo Tlapalco	17° 1' 07"	98° 31' 22"	65 498	215.28	D2 51.133
San Pedro Martir Yuracareo	17° 26' 07"	97° 37' 22"	65 384	211.38	D2 51.133
San Pedro Molina	17° 6' 07"	98° 32' 21"	65 65	215.08	D2 51.133
Santa Catarina Taxala	17° 20' 07"	97° 31' 21"	65 458	211.68	D2 51.133
Santa Catarina Taxui	17° 8' 07"	97° 12' 22"	65 881	215.11	D2 51.133
Santa Catarina Tonandu	17° 1' 07"	98° 40' 22"	66 014	214.89	D2 51.133
Santa Cruz Nundaro	17° 10' 07"	97° 41' 21"	65 942	214.54	D2 51.133
Santa Cruz Tahuihu	16° 55' 07"	97° 29' 17"	65 991	215.48	G 100.99
Santa Cruz Taxala	17° 21' 07"	97° 34' 21"	65 613	214.62	D2 51.133
Santa María del Rosario	17° 21' 07"	98° 23' 23"	65 654	214.54	D2 51.133
Santa María Tataltepec	17° 8' 07"	97° 21' 16"	65 711	215.14	D2 51.133
Santa María Volotepec	16° 51' 07"	97° 30' 19"	66 034	215.49	G 100.99
Santa María Yosoyuwa	17° 7' 07"	97° 31' 19"	65 823	215.09	D2 51.133
Santa María Yucuita	17° 1' 07"	97° 46' 17"	66 077	214.65	D2 51.133
Santiago Nundabe	17° 20' 07"	97° 46' 21"	65 712	211.41	D2 51.133
Santiago Nuyedo	17° 0' 07"	97° 46' 16"	66 075	214.67	D2 51.133
Santiago Yonondúa	16° 52' 07"	97° 34' 22"	66 092	215.36	G 100.99
Santo Domingo Ixcallan	16° 55' 07"	97° 32' 23"	66 024	215.36	G 100.99
Santo Tomás Cholula	17° 9' 07"	97° 45' 21"	65 939	214.4	D2 51.133
San Antonio Huipetz	16° 55' 07"	97° 8' 23"	65 704	216.30	G 100.99
San Miguel Peras	16° 56' 07"	97° 0' 21"	65 16	216.59	G 100.99
San Pablo Cuatro Venados	16° 59' 07"	96° 51' 24"	65 536	216.78	G 100.99
Santa Inés del Monte	16° 56' 07"	96° 52' 24"	65 572	216.90	G 100.99
Trinidad Zaachila	16° 55' 07"	96° 46' 18"	65 52	217.15	G 100.99
Villa de Zaachila	16° 56' 07"	95° 15' 23"	65 494	217.16	G 100.99
Aynerqueo de Alajuela	16° 41' 07"	96° 50' 14"	65 78	217.17	G 100.99
Cerropea de Zamatlán	16° 53' 07"	96° 46' 14"	65 531	217.20	G 100.99
Magdalena Mixtepec	16° 51' 07"	96° 54' 2	65 625	216.87	G 100.99
San Antonino el Alto	16° 39' 07"	97° 1' 20"	65 78	216.73	G 100.99
San Bernardo Mixtepec	16° 49' 07"	96° 54' 16"	65 702	217.00	G 100.99
San Miguel Mixtepec	16° 46' 07"	96° 57' 19"	65 782	216.97	G 100.99

**TESES CON  
FALLA DE ORIGEN**

Municipio (Código)	Latitud Norte Grados Minutos Segundos	Longitud Oeste Grados Minutos Segundos	Altitud Metros	Área Km²	Tasa de Ilusión 2013 A 2014
San Pablo Huixtla	16° 49' 06"	95° 50' 47"	148	65 824	217.27 G 100.99
Santa Ana Tlapacoyan	16° 44' 06"	95° 50' 14"	65 734	217.29	G 100.99
Santa Catarina Oxtanepec	16° 33' 06"	95° 44' 44"	131	65 329	217.28 G 100.99
Santa Cruz Mixtepec	16° 47' 06"	95° 51' 31"	156	65 722	217.09 G 100.99
Santa Gertrudis	16° 47' 06"	95° 48' 48"	146	65 700	217.29 G 100.99
Santa Inés Tzatzelapa	16° 48' 06"	95° 45' 14"	146	65 617	217.17 G 100.99
Zimatlán de Álvarez	16° 52' 06"	95° 56' 47"	135	65 578	217.19 G 100.99
Amatlán Tlapaneca	16° 50' 06"	95° 56' 41"	152	65 425	217.16 G 100.99
Eulalio de Gutiérrez	16° 34' 06"	95° 47' 47"	156	65 47	217.01 G 100.99
Oaxaca de Juárez	17° 4' 06"	94° 41' 43"	153	65 348	217.03 D2 51.133
San Agustín de las Juntas	17° 0' 06"	94° 41' 41"	153	65 41	217.13 D2 51.133
San Agustín Yuletlan	17° 5' 06"	94° 40' 16"	156	65 299	217.12 D2 51.133
San Andrés Huayapan	17° 6' 06"	94° 40' 17"	171	65 284	217.09 D2 51.133
San Andrés Itzapa	17° 4' 06"	94° 49' 49"	162	65 345	216.80 D2 51.133
San Antonio de la Cal	17° 2' 06"	94° 46' 42"	151	65 388	217.12 D2 51.133
San Bartolo Coyotepec	16° 57' 06"	94° 42' 152	152	65 445	217.25 G 100.99
San Juanito Amilpas	17° 6' 06"	94° 46' 46"	155	65 335	216.86 D2 51.133
San Pedro Itzapa	17° 3' 06"	94° 49' 14"	153	65 43	216.83 D2 51.133
San Raymundo Jalpan	16° 58' 06"	94° 45' 15"	151	65 361	217.11 G 100.99
San Sebastián Tuxtla	17° 4' 06"	94° 40' 154	151	65 315	217.14 D2 51.133
Santa Cruz Amilpas	17° 4' 06"	94° 41' 154	154	65 326	217.10 D2 51.133
Santa Cruz Xoxo villa	17° 2' 06"	94° 41' 153	65 359	217.04 D2 51.133	
Santa Lila la del Camino	17° 4' 06"	94° 41' 151	65 326	217.10 D2 51.133	
Santa María Atzompa	17° 6' 06"	94° 47' 158	156	65 361	216.82 D2 51.133
Santa María Coyotepec	16° 58' 06"	94° 42' 154	154	65 429	217.22 G 100.99
Santa María del Tule	17° 1' 06"	94° 34' 156	156	65 308	217.24 D2 51.133
Santo Domingo Tlaltetela	17° 4' 06"	94° 37' 159	159	65 281	217.26 D2 51.133
Tlalolula de Cabral	17° 4' 06"	94° 39' 158	159	65 303	217.18 D2 51.133
Magdalena Tlazula	16° 54' 06"	94° 31' 173	158	65 389	217.67 G 100.99
Roxas de Cuauhtémoc	17° 0' 06"	94° 37' 157	157	65 343	217.36 D2 51.133
San Bartolomé Quisalapa	16° 54' 06"	94° 30' 178	158	65 338	217.78 G 100.99
San Dionisio Ocotlán	16° 48' 06"	94° 24' 167	167	65 379	218.17 G 100.99
San Francisco La Huigolera	17° 0' 06"	94° 16' 156	156	65 319	217.40 D2 51.133
San Jerónimo Tlachichuaya	17° 0' 06"	94° 15' 158	158	65 32	217.44 D2 51.133
San Juan del Río	16° 51' 06"	94° 9' 118	118	65 133	218.59 D2 51.133
San Juan Guelavila	16° 57' 06"	94° 32' 16	16	65 332	217.63 D2 51.133
San Juan Tlachapa	16° 56' 06"	94° 36' 16	16	65 349	217.50 D2 51.133
San Lorenzo Alcalá	16° 54' 06"	94° 15' 181	181	65 185	218.34 D2 51.133
San Lucas Quiriville	16° 54' 06"	94° 28' 173	173	65 333	217.86 D2 51.133
San Pablo Villa de Mitla	16° 55' 06"	94° 22' 168	168	65 249	218.06 D2 51.133
San Pedro Quetzalteca	16° 47' 06"	94° 2 182	182	65 14	219.01 D2 51.133

Municipio (Código)	Latitud Norte	Longitud Oeste	Altitud	Antena	Tasa de Densidad
	Latitud Minutos Seg.	Longitud Minutos Seg.	Altitud Metros	Antena Punto de Referencia Animales	ZONA A ZONA B
San Pedro Totolapa	16° 40' 56"	-102° 09' 41"	63410	216.61	D2 51.133
San Sebastián Atavacal	16° 01' 56"	-102° 55' 43"	63412	217.44	D2 51.133
San Sebastián Teapa	16° 57' 56"	-102° 16' 38"	63389	217.44	D2 51.133
Santa Ana del Valle	17° 01' 56"	-102° 28' 16"	63211	217.70	D2 51.133
Santa Cruz Papaluta	16° 57' 56"	-102° 35' 58"	63366	217.52	D2 51.133
Santa María Cuauhté	17° 01' 56"	-102° 56' 51"	63331	217.40	D2 51.133
Santa María Zapatla	16° 54' 56"	-102° 21' 02"	63356	216.60	D2 51.133
Santiago Matatlán	16° 52' 56"	-102° 23' 17"	63348	218.10	D2 51.133
Santo Domingo Alvarado	17° 04' 56"	-102° 12' 52"	64368	218.19	D2 51.133
Tuxtla del Valle	17° 2' 56"	-102° 31' 67"	63214	217.53	D2 51.133
Hacienda de Matamoros	16° 57' 56"	-102° 28' 14"	63267	217.76	D2 51.133
Villa de Tuttlupe de Melchor Ocampo	16° 59' 46"	-102° 26' 17"	63234	217.80	G 100.99
Mártires de Tuxtla Gutiérrez	16° 52' 58"	-102° 15' 01"	66841	214.21	G 100.99
Panteón de Don Luis	16° 26' 47"	-102° 38' 04"	6676	215.07	G 100.99
San Agustín Chacayec	16° 24' 47"	-102° 48' 05"	66881	215.51	G 100.99
San Andrés Huipulco	16° 21' 47"	-102° 35' 22"	66823	215.32	G 100.99
San Antonio Tepetlaju	16° 12' 48"	-102° 04' 19"	66728	218.67	G 100.99
San José Estanzas La Grande	16° 22' 48"	-102° 15' 01"	67101	214.17	G 100.99
San Juan Bautista Ilo de Soto	16° 10' 48"	-102° 21' 08"	66919	214.01	G 100.99
San Juan Caobaltepec	16° 17' 48"	-102° 09' 42"	66701	214.31	G 100.99
San Juan Colordad	16° 27' 47"	-102° 37' 04"	66734	215.09	G 100.99
San Lorenzo	16° 23' 47"	-102° 52' 03"	66741	215.40	G 100.99
San Miguel Tlachinula	16° 25' 48"	-102° 01' 27"	66829	218.89	G 100.99
San Pedro Atayuc	16° 29' 47"	-102° 59' 03"	66721	214.95	G 100.99
San Pedro Jayán	16° 27' 48"	-102° 01' 04"	66776	214.92	G 100.99
San Sebastián Ixapa	16° 12' 48"	-102° 09' 02"	66781	214.46	G 100.99
Santa Catarina Mexicuacan	16° 20' 47"	-102° 50' 28"	66769	215.56	G 100.99
Santa María Coripe	16° 27' 48"	-102° 17' 06"	66945	216.26	G 100.99
Santa María Huixcolotlán	16° 18' 47"	-102° 55' 09"	66854	215.41	G 100.99
Santiago Ixtayutla	16° 34' 47"	-102° 39' 06"	6643	215.63	G 100.99
Santiago Jamiltepec	16° 17' 47"	-102° 49' 04"	66805	215.68	G 100.99
Santiago Llano Grande	16° 29' 48"	-102° 17' 07"	66913	211.21	G 100.99
Santiago Pinotepa Nacional	16° 20' 48"	-102° 03' 02"	66909	215.02	G 100.99
Santiago Tapalpa	16° 20' 48"	-102° 27' 06"	67161	214.02	G 100.99
Santiago Tetepila	16° 19' 47"	-102° 45' 06"	66731	215.79	G 100.99
Santo Domingo Armenta	16° 19' 48"	-102° 22' 06"	67125	214.26	G 100.99
San Gabriel Mixtepec	16° 6' 47"	-102° 03' 06"	66887	217.75	G 100.99
San Juan La Hoz	16° 9' 47"	-102° 07' 06"	66444	217.58	G 100.99
San Juan Quiliche	16° 18' 47"	-102° 19' 06"	6646	216.86	G 100.99
San Miguel Parastahuaca	16° 15' 47"	-102° 21' 07"	66351	216.78	G 100.99
San Pedro Juchitán	16° 20' 47"	-102° 5' 06"	66272	217.36	G 100.99

TESIS CON  
FALLA DE ORIGEN

Municipio (Código)	Latitud Norte	Longitud Oeste	Altitud	Antena	Tasa de Densidad
	Latitud Minutos Seg.	Longitud Minutos Seg.	Altitud Metros	Antena Punto de Referencia Animales	ZONA A ZONA B
San Pedro Mixtepec	16° 54' 47"	-102° 5' 5	66543	217.94	G 100.99
Santa Catarina Juquila	16° 14' 47"	-102° 17'	66545	217.05	G 100.99
Santa María Temascaltepec	16° 10' 47"	-102° 12'	66540	217.36	G 100.99
Santiago Yantey	16° 11' 47"	-102° 16'	66541	217.12	G 100.99
Santos Reyes Nopala	16° 6' 47"	-102° 0	66516	217.50	G 100.99
Tlalolpan de Valdés	16° 18' 47"	-102° 33'	66613	216.30	G 100.99
Villa de Tuttlupe de Melchor Ocampo	16° 8' 47"	-102° 36'	66804	216.45	G 100.99
San Francisco Cahuanox	16° 34' 47"	-102° 18'	65888	215.94	G 100.99
San Francisco Sula	16° 31' 47"	-102° 05'	66814	217.16	G 100.99
San Ildefonso Sula	16° 11' 47"	-102° 14'	66835	217.29	G 100.99
San Jacinto Tlacholapa	16° 31' 47"	-102° 23'	66118	216.35	G 100.99
San Lorenzo Tenochtitlán	16° 15' 47"	-102° 12'	66119	216.68	G 100.99
San Vicente La Piedad	16° 42' 47"	-102° 1	65888	216.92	G 100.99
Santa Cruz Zetzontlapan	16° 32' 47"	-102° 0	66361	216.04	G 100.99
San María La Victoria	16° 44' 47"	-102° 1	65857	216.87	G 100.99
San Pedro Sula	16° 34' 47"	-102° 1	66612	217.13	G 100.99
San María Zamora	16° 16' 47"	-102° 20'	66143	216.25	G 100.99
Santiago Amolopas	16° 18' 47"	-102° 10'	66269	215.88	G 100.99
Santiago Minas	16° 25' 47"	-102° 13'	66265	216.91	G 100.99
Santiago Tetelcingo	16° 41' 47"	-102° 15'	66059	216.40	G 100.99
Santo Domingo Tzompulco	16° 15' 47"	-102° 13'	66113	216.64	G 100.99
Villa Sula de Vega	16° 10' 47"	-102° 59'	66707	214.92	G 100.99
Zapotlán del Río	16° 52' 47"	-102° 14'	65876	216.13	G 100.99
Coduleras Altas	16° 32' 46"	-102° 40'	65805	218.00	G 100.99
Companía La	16° 33' 46"	-102° 49'	65892	217.62	G 100.99
Herrera Ciudad de Epita de Cervantes	16° 34' 46"	-102° 44'	6582	217.79	G 100.99
Pv. La	16° 38' 46"	-102° 48'	65804	217.53	G 100.99
San Agustín Amatlanengo	16° 31' 46"	-102° 13'	659	217.76	G 100.99
San Andrés Zabache	16° 36' 46"	-102° 51'	65869	217.47	G 100.99
San Juan Lachigalla	16° 36' 46"	-102° 32'	65653	218.19	G 100.99
San Martín de los Carrizos	16° 39' 46"	-102° 44'	65743	217.65	G 100.99
San Martín Lachila	16° 37' 46"	-102° 51'	65851	217.44	G 100.99
San Miguel Epita	16° 35' 46"	-102° 44'	65805	217.76	G 100.99
San Vicente Coatlán	16° 23' 46"	-102° 51'	66048	217.82	G 100.99
Tamaulípeca	16° 34' 46"	-102° 45'	65831	217.73	G 100.99
Togana	16° 28' 46"	-102° 47'	65946	217.84	G 100.99
Asumpción Ocotlán	16° 36' 46"	-102° 41'	65825	217.50	G 100.99
Magdalena Ocotlán	16° 42' 46"	-102° 41'	65866	217.61	G 100.99
Ocotlán de Morelos	16° 48' 46"	-102° 40'	6556	217.57	G 100.99
San Antonio Castilla Velasco	16° 48' 46"	-102° 41'	65572	217.51	G 100.99

Municipio (Código)	Límito Sur	Límite Oriente	Altitud	Ancho	Tasa de Densidad			
	Grados	Minutos	Grados	Minutos	Altimetría	ZONA	2001%	
San Baltazar Chichenapan	16	16	16	29	134	65400	218.00	G 100.99
San Benito Cuatla	16	15	16	41	13	65500	217.61	G 100.99
San Bernardo Taxila	16	15	16	55	13	65550	217.59	G 100.99
San José del Progreso	16	15	16	43	138	65670	217.71	G 100.99
San Juan Chilapa	16	15	16	40	13	65531	217.31	G 100.99
San Martín Tilcajete	16	15	16	41	13	65526	217.45	G 100.99
San Miguel Huipulpan	16	15	16	35	161	65510	217.28	G 100.99
San Pedro Apóstol	16	14	16	43	13	65560	217.56	G 100.99
San Pedro Martir	16	14	16	42	13	65644	217.40	G 100.99
San Pedro Taxchile	16	15	16	32	16	65622	218.14	G 100.99
Santa Ana Zepetla	16	15	16	44	15	65375	217.36	G 100.99
Santa Catarina Minas	16	17	16	36	136	65331	217.74	G 100.99
Santa Luis Chedán	16	14	16	41	152	65611	217.61	G 100.99
Santiago Aporreado	16	15	16	43	147	65590	217.45	G 100.99
Santo Tomás Jiltepec	16	15	16	40	13	65514	217.19	G 100.99
Vare	16	14	16	28	13	653	218.15	G 100.99
Mazahuatlán de Porfirio Díaz	16	14	16	15	16	65445	218.34	G 100.99
Menga	16	22	16	38	153	65934	218.35	G 100.99
San Andrés Pustlán	16	15	16	40	2	65977	218.40	G 100.99
San Cristóbal Amatlán	16	14	16	24	172	65817	218.96	G 100.99
San Francisco Loriguero	16	21	16	23	188	65775	218.94	G 100.99
San Francisco de Orozco	16	16	16	13	2	65582	219.74	G 100.99
San Ildefonso Amatlán	16	20	16	29	154	6586	218.74	G 100.99
San Jerónimo Cuautlán	16	14	16	32	174	66216	218.01	G 100.99
San José del Progreso	16	15	16	30	138	65920	218.76	G 100.99
San José Lachiguiri	16	22	16	21	167	65737	218.99	G 100.99
San Juan Mixtepec	16	16	16	18	205	65799	219.27	G 100.99
San Juan Oroxolotlán	16	8	16	15	210	65876	219.61	G 100.99
San Luis Amatlán	16	21	16	30	15	65827	218.62	G 100.99
San Matías Oroxolotlán	16	5	16	24	238	66027	219.35	G 100.99
San Matías Río Hondo	16	9	16	27	23	66031	219.13	G 100.99
San Miguel Coatán	16	12	16	42	186	66132	218.47	G 100.99
San Miguel Susticape	16	5	16	28	246	66074	219.20	G 100.99
San Nicolas	16	26	16	45	146	65954	217.97	G 100.99
San Pablo Cuatla	16	11	16	47	148	66171	218.25	G 100.99
San Pedro Mitlares	16	16	16	17	212	6578	219.11	G 100.99
San Sebastián Cuatla	16	12	16	49	198	6621	218.20	G 100.99
San Sebastián Río Hondo	16	11	16	28	242	65984	219.03	G 100.99
San Simón Almolongas	16	25	16	43	152	65946	218.07	G 100.99
Santa Ana	16	21	16	41	16	66022	218.21	G 100.99
Santa Catarina Cuatla	16	18	16	38	176	65993	218.46	G 100.99

FALLA DE ORIGEN  
TESIS CON

Municipio (Código)	Límito Sur	Límite Oriente	Altitud	Ancho	Tasa de Densidad				
	Grados	Minutos	Grados	Minutos	Altimetría	ZONA	2001%		
Santa Cruz Atul	16	19	16	40	182	66101	218.35	G 100.99	
Santa Lucía Huasteca	16	11	16	37	2	66180	218.44	G 100.99	
Santa María Oroxolotlán	16	8	16	22	23	65494	219.35	G 100.99	
Santiago Xaná	16	0	16	13	124	65471	219.91	G 100.99	
Santo Domingo Oroxolotlán	16	9	16	19	232	65485	219.43	G 100.99	
Santo Tomás Tamazulápam	16	16	16	15	17	65444	218.87	G 100.99	
Star de Atlapetla	16	21	16	32	157	65288	218.80	G 100.99	
Asunción Huasteca	16	18	16	41	045	65341	220.51	G 100.99	
Nogales de Madero	16	26	16	45	26	66160	219.42	G 100.99	
San Bartolo Lautlán	16	26	16	45	38	65407	219.74	G 100.99	
San Carlos Autlán	16	21	16	46	1	65441	219.11	G 100.99	
San Juan Juquila Mixes	16	26	16	45	33	142	64923	219.01	G 100.99
San Juan Luján	16	20	16	45	35	049	65312	219.71	G 100.99
San Pedro Martir Quetzapa	16	25	16	45	13	182	65622	219.11	G 100.99
Santa Ana Tovela	16	19	16	45	17	65171	219.49	G 100.99	
Santa Catalina Quemada	16	19	16	46	16	193	65723	219.26	G 100.99
Santa Catalina Quexquihui	16	19	16	46	17	21	65713	219.22	G 100.99
Santa María Eratipos	16	17	16	45	51	184	65485	220.17	G 100.99
Santa María Quetzalam	16	16	16	46	1	216	65615	219.81	G 100.99
Güerrero de Humboldt	16	47	16	45	22	06	64667	220.16	G 100.99
Magdalena Tiquendam	16	24	16	45	14	019	65173	220.59	G 100.99
Magdalena Thacolpa	16	30	16	45	12	019	64794	221.28	G 100.99
Salina Cruz	16	21	16	45	12	014	65164	221.81	G 100.99
San Blas Atempa	16	19	16	45	13	014	64156	221.55	G 100.99
San Mateo del Mar	16	12	16	44	59	010	64189	222.24	G 100.99
San Miguel Tenango	16	16	16	45	133	6529	220.82	G 100.99	
San Pedro Comitán	16	29	16	45	9	007	64772	221.41	G 100.99
San Pedro Huamelula	16	1	16	45	40	018	65359	221.10	G 100.99
San Pedro Huixtla	16	15	16	45	9	002	64974	221.81	G 100.99
Santa María Guematzal	16	44	16	45	21	031	64169	220.37	G 100.99
Santa María Jaltipan del Manzano	16	26	16	45	27	016	65035	220.66	G 100.99
Santa María Minatitlán	16	22	16	45	13	016	64917	221.40	G 100.99
Santa María Totolapilla	16	16	16	45	37	048	65119	221.22	G 100.99
Santiago Atitlán	15	39	16	45	40	003	65587	221.16	G 100.99
Santiago Lachiguiri	16	41	16	45	32	018	64875	220.26	G 100.99
Santiago Ledesma	16	35	16	45	12	011	64721	221.14	G 100.99
Santo Domingo Chubután	16	35	16	45	10	010	64697	221.21	G 100.99
Santo Domingo Tehuantepec	16	20	16	45	18	012	64594	221.49	G 100.99
Asunción Atlapexco	16	30	16	45	3	001	64166	221.59	G 100.99
Rancho de la Soledad, El	16	48	16	45	7	024	64171	220.96	G 100.99
San Juan Atlapexco	16	34	16	45	6	014	64661	221.18	G 100.99

DATOS PARA CADA MUNICIPIO DEL TERRITORIO NACIONAL

Municipio (Código)	Límite Norte	Límite Oeste	Altitud	Antena	Tasa de lluvia				
	Grados	Minutos	Grados	Minutos	km/min	Elevación	Área km <sup>2</sup>	ZONA	2015
Chalchihuitán	16°	17'	94°	12'	0.03	64228	221.76	G	100.99
Espinal, El	16°	26'	95°	2'	0.02	64488	221.06	G	100.99
Juchitán de Zaragoza	16°	26'	95°	1'	0.03	64717	221.78	G	100.99
Mataz, Romita	16°	32'	95°	2'	0.18	64352	221.02	G	100.99
Reforma de Pineda	16°	24'	94°	37'	0.02	64321	221.01	G	100.99
San Dionisio del Mar	16°	19'	94°	45'	0.01	64618	222.33	G	100.99
San Francisco del Mar	16°	26'	94°	31'	0.01	64426	222.98	G	100.99
San Francisco Ixhuatlán	16°	21'	94°	29'	0.01	64588	221.02	G	100.99
San Juan Guelaviva	16°	38'	95°	5'	0.26	64301	221.76	G	100.99
San Miguel Chimalapa	16°	43'	94°	45'	0.12	64273	221.86	G	100.99
San Pedro Ixtapanes	16°	22'	94°	12'	0.04	64159	221.56	G	100.99
Santa María Chimalapa	16°	54'	94°	41'	0.18	64167	221.69	G	100.99
Santa María Prájula	16°	49'	95°	7'	0.26	64457	221.93	G	100.99
Santa María Xadani	16°	22'	95°	1'	0.02	64774	221.89	G	100.99
Santiago Niltepec	16°	44'	94°	17'	0.06	64304	222.38	G	100.99
Santo Domingo Ixtapa	16°	15'	94°	46'	0.04	64402	222.04	G	100.99
Santo Domingo Ixtapa	16°	49'	95°	8'	0.25	64169	231.04	G	100.99
Santo Domingo Zanatepec	16°	28'	94°	21'	0.06	64389	221.93	G	100.99
Unión Hidalgo	16°	24'	94°	50'	0.02	64318	222.07	G	100.99
Candelaria Loxicha	15°	55'	96°	29'	0.45	nn246	219.43	G	100.99
Pluma Hidalgo	15°	55'	96°	25'	1.1	nn183	219.60	G	100.99
San Dionisio Chontlán	16°	45'	96°	41'	1.5	nn318	217.91	G	100.99
San Jerónimo Taváche	16°	43'	96°	35'	1.7	nn358	217.89	G	100.99
San José del Progreso	16°	41'	96°	41'	1.58	nn379	217.71	G	100.99
San Juan Chilateca	16°	50'	96°	40'	1.5	nn331	217.51	G	100.99
San Martín Tlilcapet	16°	51'	96°	41'	1.5	nn326	217.45	G	100.99
San Miguel Tlakupan	16°	47'	96°	35'	1.65	nn319	217.78	G	100.99
San Pedro Apóstol	16°	44'	96°	41'	1.5	nn356	217.56	G	100.99
San Pedro Martir	16°	44'	96°	42'	1.5	nn344	217.40	G	100.99
San Pedro Tzompantepec	16°	38'	96°	32'	1.6	nn322	218.14	G	100.99
Santa Ana Zegache	16°	50'	96°	44'	1.5	nn373	217.36	G	100.99
Santa Catarina Minas	16°	47'	96°	36'	1.56	nn331	217.74	G	100.99
Santa Lucia Quetzaltenango	16°	44'	96°	31'	1.52	nn311	217.63	G	100.99
Santiago Apóstol	16°	48'	96°	43'	1.47	nn391	217.45	G	100.99
Santo Tomás Jalteca	16°	51'	96°	40'	1.5	nn314	217.49	G	100.99
Yauy	16°	43'	96°	28'	1.5	nn35	218.15	G	100.99
Muhsatán de Purfino Díaz	16°	19'	96°	15'	1.6	nn345	218.54	G	100.99
Nanquín	16°	22'	96°	38'	1.31	nn314	218.15	G	100.99
San Andrés Pavillán	16°	11'	96°	10'	2	nn477	218.90	G	100.99
San Cristóbal Amatlán	16°	19'	96°	21'	1.72	nn317	218.96	G	100.99
San Francisco Lopéz Izquierdo	16°	21'	96°	23'	1.81	nn375	218.91	G	100.99

TIPOS CON  
VALLE ALDEA ORIGEN

ANEXO C

Municipio (Código)	Límite Norte	Límite Oeste	Altitud	Antena	Tasa de lluvia				
	Grados	Minutos	Grados	Minutos	km/min	Elevación	Área km <sup>2</sup>	ZONA	2015
San Francisco Ozolotepec	16°	8'	96°	29'	1.54	nn382	219.74	G	100.99
San Ildefonso Amatlán	16°	21'	96°	29'	1.54	nn386	219.74	G	100.99
San Jerónimo Cuatlapán	16°	14'	96°	32'	1.74	nn216	218.03	G	100.99
San José del Progreso	16°	18'	96°	34'	1.58	nn392	219.76	G	100.99
San José La Chiguaya	16°	22'	96°	21'	1.67	nn370	219.84	G	100.99
San Juan Matías Pérez	16°	16'	96°	18'	2.05	nn379	219.27	G	100.99
San Juan Ozolotepec	16°	8'	96°	15'	2.08	nn387	219.61	G	100.99
San Luis Amatlán	16°	23'	96°	34'	1.5	nn382	219.62	G	100.99
San Marcos Chimalapa	16°	5'	96°	24'	2.58	nn107	214.13	G	100.99
San Matías Rio Hondo	16°	9'	96°	27'	2.1	nn103	219.13	G	100.99
San Miguel Cuatlapán	16°	12'	96°	42'	1.66	nn132	219.47	G	100.99
San Miguel Suchitepec	16°	5'	96°	28'	2.46	nn174	219.20	G	100.99
San Nicolas	16°	26'	96°	43'	1.46	nn454	217.97	G	100.99
San Pablo Cuatlapán	16°	13'	96°	47'	1.48	nn174	218.25	G	100.99
San Pedro Matías Pérez	16°	16'	96°	17'	2.12	nn78	219.31	G	100.99
San Sebastián Cuatlapán	16°	12'	96°	49'	1.98	nn213	219.20	G	100.99
San Sebastián Rio Hondo	16°	11'	96°	28'	2.42	nn484	219.03	G	100.99
San Simón Almolongas	16°	25'	96°	43'	1.52	nn916	218.07	G	100.99
Santa Ana	16°	20'	96°	41'	1.6	nn122	218.21	G	100.99
Santa Catalina Cuatlapán	16°	18'	96°	38'	1.76	nn345	218.46	G	100.99
Santa Cruz Yala	16°	19'	96°	40'	1.82	nn181	219.35	G	100.99
Santa Lucia Muhabatlan	16°	11'	96°	37'	2	nn189	218.69	G	100.99
Santa María Ozolotepec	16°	8'	96°	22'	2.5	nn359	219.35	G	100.99
Santiago Xamaxa	16°	0'	96°	11'	1.21	nn471	219.91	G	100.99
San Domingo Ozolotepec	16°	0'	96°	15'	1.7	nn348	219.43	G	100.99
San Tomás Tamazulapam	16°	16'	96°	15'	1.7	nn494	218.61	G	100.99
Santo Domingo de Kalapa	16°	21'	96°	32'	1.57	nn88	218.60	G	100.99
Asunción Tla Olula	16°	18'	96°	41'	0.45	nn346	220.51	G	100.99
Axixapa de Madre	16°	36'	95°	59'	0.66	nn269	219.42	G	100.99
San Bartolo Yautepetl	16°	26'	95°	58'	0.84	nn307	219.74	G	100.99
San Bartolo Yautepetl	16°	30'	96°	6'	0.88	nn441	219.33	G	100.99
San Juan Jiquila Mixes	16°	36'	95°	55'	1.42	nn423	219.03	G	100.99
San Juan Lajón	16°	30'	95°	55'	0.9	nn312	219.73	G	100.99
San Pedro Martir Querétaro	16°	25'	96°	15'	1.82	nn622	219.13	G	100.99
Santa Ana Tavila	16°	19'	95°	55'	0.7	nn178	219.49	G	100.99
Santa Catalina Querétaro	16°	19'	96°	16'	1.95	nn721	219.26	G	100.99
Santa Catalina Querétaro	16°	19'	96°	17'	2.1	nn713	219.22	G	100.99
Santa María Etlapec	16°	17'	95°	51'	1.81	nn48	220.17	G	100.99
Santa María Querétaro	16°	16'	96°	1'	2.16	nn615	219.83	G	100.99
Guerra de Humboldt	16°	47'	95°	22'	0.6	nn467	220.46	G	100.99
Mogollón Trujillan	16°	24'	95°	36'	0.19	nn173	220.59	G	100.99

Municipio (Código)	Límita Norte Grados, Minutos y Segundos	Límite Oeste Grados, Minutos y Segundos	Altitud msnm	Antena msnm	Fase de lluvia Actual
Magdalena Huixtla	16° 21' 55"	102° 31' 09"	4,474	221.28	G, 100.99
Salina Cruz	16° 21' 13"	102° 31' 04"	4,104	221.81	G, 100.99
San Blas Atempa	16° 20' 55"	102° 31' 03"	4,146	221.55	G, 100.99
San Mateo del Mar	16° 20' 44"	102° 31' 03"	4,083	222.24	G, 100.99
San Miguel Tetipac	16° 20' 36"	102° 31' 03"	4,125	220.52	G, 100.99
San Pedro Comitán de Domínguez	16° 20' 24"	102° 31' 07"	4,172	221.41	G, 100.99
San Pedro Huamelula	16° 20' 14"	102° 31' 06"	4,168	221.10	G, 100.99
San Pedro Huamelula	16° 20' 14"	102° 31' 06"	4,147	221.81	G, 100.99
Santa María Coatepec	16° 20' 04"	102° 31' 03"	4,099	220.37	G, 100.99
Santa María Jalapa del Marqués	16° 20' 05"	102° 31' 08"	4,053	220.86	G, 100.99
Santa María Mixtequilla	16° 22' 05"	102° 31' 06"	4,017	221.10	G, 100.99
Santa María Tonantzintla	16° 26' 1' 45"	102° 31' 08"	5,019	220.22	G, 100.99
Santiago Atitlán	15° 59' 45"	102° 40' 01"	5,587	221.16	G, 100.99
Santiago La Laguna	16° 21' 05"	102° 32' 08"	4,875	220.26	G, 100.99
Santiago Lindiyá	16° 25' 05"	102° 12' 03"	4,721	221.14	G, 100.99
Santo Domingo Chubután	16° 35' 05"	102° 10' 09"	4,697	221.21	G, 100.99
Santo Domingo Ixhuatlán	16° 20' 45"	102° 02' 44"	4,644	221.49	G, 100.99
Azucarón Ixtaltepec	16° 30' 45"	102° 03' 05"	4,686	221.59	G, 100.99
Burro de la Soledad, El	16° 18' 45"	102° 02' 24"	4,471	221.96	G, 100.99
Ciudad Ixtepec	16° 34' 45"	102° 04' 09"	4,663	221.38	G, 100.99
Chahuites	16° 17' 45"	102° 01' 03"	4,228	221.70	G, 100.99
Espinal, El	16° 29' 45"	102° 02' 03"	4,686	221.66	G, 100.99
Juchitán de Zaragoza	16° 26' 45"	102° 01' 03"	4,717	221.78	G, 100.99
Mazatlán Rojano	16° 52' 45"	102° 01' 18"	4,352	221.02	G, 100.99
Reforma de Pineda	16° 24' 45"	102° 02' 02"	4,321	221.00	G, 100.99
San Benito del Mar	16° 19' 45"	102° 01' 01"	4,616	222.51	G, 100.99
San Francisco del Mar	16° 20' 41' 31"	102° 01' 01"	4,428	222.96	G, 100.99
San Francisco Ixhuatlán	16° 21' 91' 29"	102° 01' 01"	4,388	223.02	G, 100.99
San Juan Guelaviva	16° 58' 95"	102° 02' 26"	4,301	220.76	G, 100.99
San Miguel Chimalapa	16° 43' 94"	102° 01' 12"	4,275	221.86	G, 100.99
San Pedro Tapanatepec	16° 22' 93"	102° 01' 04"	4,159	223.56	G, 100.99
Santa María Chimalapa	16° 54' 94" 41"	102° 01' 08"	4,171	221.49	G, 100.99
Santa María Petapa	16° 49' 95" 7"	102° 02' 45"	4,157	230.93	G, 100.99
Santa María Xadalu	16° 22' 95" 1"	102° 02' 47"	4,774	221.89	G, 100.99
Santiago Niltepec	16° 34' 94" 37"	102° 06' 06"	4,304	222.38	G, 100.99
Santo Domingo Inguru	16° 35' 94" 46"	102° 04' 04"	4,402	222.04	G, 100.99
Santo Domingo Ixtapa	16° 49' 95" 8"	102° 02' 46"	4,460	220.90	G, 100.99
Santo Domingo Zanatepec	16° 28' 91" 21"	102° 06' 06"	4,189	221.79	G, 100.99
Unión Hidalgo	16° 29' 94" 50"	102° 02' 43"	4,318	222.07	G, 100.99
andilena Loschi	15° 55' 96"	29° 04' 15"	4,626	219.45	G, 100.99
Pluma Hidalgo	15° 55' 96"	25° 13'	4,688	219.80	G, 100.99

## TÉSIS CON FALLA DE ORIGEN

Municipio (Código)	Límita Norte Grados, Minutos y Segundos	Límite Oeste Grados, Minutos y Segundos	Altitud msnm	Antena msnm	Fase de lluvia Actual
San Agustín Loschi	16° 1' 56"	102° 47' 37"	4,82	46.24	238.97 G, 100.99
San Baltazar Loschi	16° 1' 56"	102° 47' 37"	4,82	46.26	238.48 G, 100.99
San Bartolomé Loschi	15° 58' 56"	102° 47' 42"	4,149	46.34	238.87 G, 100.99
San Mateo Pánuco	16° 0' 56"	102° 47' 21"	4,12	46.15	239.65 G, 100.99
San Miguel del Puerto	15° 53' 56"	102° 47' 10"	4,12	46.14	239.17 G, 100.99
San Pedro del Alto	16° 2' 56"	102° 47' 23"	4,19	46.19	239.29 G, 100.99
San Pedro Prohíbida	15° 45' 56"	102° 47' 28"	4,15	46.23	239.78 G, 100.99
Santa Catarina Loschi	16° 4' 56"	102° 47' 12"	4,21	46.28	238.38 G, 100.99
Santa María Cobatépec	15° 54' 56"	102° 47' 36"	4,085	46.36	238.44 G, 100.99
Santa María Huatulco	15° 50' 56"	102° 47' 19"	4,22	46.19	239.97 G, 100.99
Santa María Tomatlán	15° 45' 56"	102° 47' 34"	4,04	46.12	239.59 G, 100.99
Santo Domingo de Morelos	15° 50' 56"	102° 47' 40"	4,16	46.44	239.17 G, 100.99
Atzompa (separación de la parte norte)	16° 11' 56"	102° 47' 25"	4,25	46.25	238.65 D, 51.133
Acultzingo de Osorio	18° 12' 56"	9° 3'	1,18	65.10	222.25 D, 51.133
Amatlán	20° 1' 47"	9° 48"	1,21	61.132	210.46 D, 51.133
Amozoc de Mota	19° 3' 48"	9° 3'	2,32	64.26	211.13 D, 51.133
Aquautla	19° 48' 47"	9° 22"	6,435	210.46 D, 51.133	
Atempan	19° 50' 47"	9° 28"	1,94	63.161	211.47 D, 51.133
San Martín Atexcal	18° 21' 47"	9° 44"	1,8	64.721	212.73 D, 51.133
Atlixco	18° 54' 48"	9° 26"	1,84	64.65	210.42 D, 51.133
Atoyacalpan	18° 19' 47"	9° 55"	1,93	64.42	211.74 D, 51.133
Atzala	18° 11' 49"	9° 33"	1,14	65.045	210.59 D, 51.133
Santiago Atzitzihuán	18° 49' 48"	9° 18"	6,479	210.16 D, 51.133	
Atzatzahuatl	18° 54' 47"	9° 19"	2,68	61.987	213.01 D, 51.133
Axtla	18° 11' 48"	9° 23"	0,86	63.314	211.48 D, 51.133
Ayotlán o de Guerrero	20° 6' 47"	9° 25"	0,83	62.869	212.26 D, 67.834
San Andrés Colpan	19° 6' 48"	28"	2,42	64.416	210.08 D, 51.133
Cahabón	18° 11' 47"	29"	1,9	64.781	213.61 D, 51.133
Camoxauila	20° 2' 47"	46"	0,72	63.131	210.56 D, 67.834
Cathuacán	20° 4' 47"	36"	0,7	63.005	210.89 D, 67.834
Coualepec	20° 4' 47"	44"	1	63.079	210.59 D, 67.834
Coutzongo	18° 37' 48"	10° 12"	6,476	211.42 D, 51.133	
Santa María Cobatépec	18° 12' 48"	48"	0,74	65.534	210.44 D, 51.133
Cohuecan	18° 47' 48"	43"	1,7	64.903	209.88 D, 51.133
Santa María Coronango	19° 7' 48"	17"	2,18	64.331	210.30 D, 51.133
Coxatán	18° 16' 47"	9"	1,14	64.496	214.26 D, 51.133
Santa María Coyomeapan	18° 17' 47"	9"	2	64.387	214.57 D, 51.133
San Vicente Coyomeapan	18° 25' 47"	50"	1,88	64.761	212.47 D, 51.133
Chapulita de Madero	18° 55' 47"	50"	2,06	64.274	211.80 D, 51.133
San Esteban Cuautlalpan	19° 55' 47"	47"	1,52	61.256	210.66 D, 51.133
Cuauhtémoc	18° 37' 48"	1	2,14	64.346	211.31 D, 51.133

Municipio (Pueblo)	Latitud Norte Grados Minutos Grados	Longitud Oeste Minutos Grados Minutos	Altitud msnm	Antena Punto de elevación Altura ZONA Área de influencia	Tasa de lluvia mm/año
San Juan Cuautlancingo	19 6 48	95 15 218	6,129	210.59 D2	51.133
San Pedro Huayutla	19 29 26	95 11 138	6,043	211.55 D2	51.133
Centro de Cuautlancingo	20 1 45	95 31 1	6,118	211.14 D3	67.834
Cuautlalpan	19 36 47	95 37 242	6,176	211.43 D2	51.133
Cunduacán	18 39 47	95 27 252	6,085	212.60 D2	51.133
Chapulco	18 38 47	95 24 202	6,126	213.15 D2	51.133
Chapultepec	18 38 47	95 26 1	6,132	210.80 D2	51.133
San Antonio Cuautlalpan	19 12 45	95 28 236	6,118	209.96 D2	51.133
Chimalhuacán	20 6 47	95 32 135	6,161	210.00 D3	67.834
Chiahuapan	19 12 47	95 4 18	6,157	211.17 D2	51.133
Chiautla	18 31 46	95 15 112	6,097	210.55 D2	51.133
Chignautla	18 39 46	95 8 15	6,171	211.61 D2	51.133
Chilapa de Álvarez	19 50 58	95 2 226	6,177	210.19 D2	51.133
Chimalpa	19 49 47	95 23 2	6,111	211.68 D2	51.133
Chilpancingo	17 58 47	95 32 162	6,221	213.01 D2	51.133
Chila de la Sal	18 6 46	95 29 046	6,154	211.15 D2	51.133
Huixtla	20 14 46	95 11 21	6,174	209.30 D2	51.133
Rafael L. Garza	19 15 47	95 11 22	6,150	212.85 D2	51.133
Chinantla	18 12 48	95 16 11	6,231	211.74 D2	51.133
Domingo Arenas	19 8 46	95 27 244	6,106	210.08 D2	51.133
Eloxochotla	18 31 46	95 57 148	6,119	211.38 D2	51.133
San Juan Epulon	18 38 46	95 22 136	6,159	209.92 D2	51.133
Esperanza	18 31 47	95 22 244	6,105	212.96 D2	51.133
Metlalopan	20 44 47	95 51 032	6,273	209.55 D1	67.834
San Pablo de las Tunas	18 59 47	95 42 216	6,131	212.02 D2	51.133
Guadalupe	18 5 48	95 7 11	6,258	212.26 D2	51.133
Guadalupe Victoria	19 17 47	95 20 244	6,162	212.47 D2	51.133
Buenavista	20 7 47	95 45 078	6,108	210.49 D1	67.834
Huaquechula	18 46 48	95 33 158	6,228	210.31 D2	51.133
Huasca de Ocampo	18 41 48	95 3 158	6,429	211.60 D2	51.133
Huasca de Ocampo	20 10 48	95 1 134	6,152	209.76 D2	51.133
Huichapan	20 6 47	95 17 054	6,298	210.81 D1	67.834
Huehuetlán el Chico	18 22 48	95 41 096	6,302	205.05 D2	51.133
Huipolco	19 10 48	95 28 228	6,345	210.16 D2	51.133
Huayapan	19 53 47	95 27 148	6,102	211.45 D2	51.133
Huayapan	19 56 47	95 17 07	6,258	211.76 D2	51.133
Huaytlalpan	20 2 47	95 42 094	6,194	210.71 D1	67.834
Huizotlán	19 58 47	95 42 09	6,116	210.79 D2	51.133
Santa Clara Huasteca	18 46 47	95 31 149	6,145	211.88 D2	51.133
Ahuatlán	20 1 47	95 38 08	6,173	210.88 D1	67.834
Ixtapalapa	18 1 48	95 42 07	6,361	210.93 D2	51.133

FALLA DE ORIGEN

Municipio (Pueblo)	Latitud Norte Grados Minutos Grados	Longitud Oeste Minutos Grados Minutos	Altitud msnm	Antena Punto de elevación Altura ZONA Área de influencia	Tasa de lluvia mm/año
San Juan Ixtacuixtla	18 28 47	95 50 181	6,181	212.40 D2	51.133
Itzamantzinco	19 37 47	95 49 21	6,157	210.95 D2	51.133
Itzapa	20 2 47	95 30 116	6,168	210.82 D3	67.834
Ixtacuixtla	18 36 48	95 28 133	6,148	210.72 D2	51.133
Jalpan	20 2 47	95 56 158	6,205	209.69 D3	67.834
Jalpan	18 19 47	95 51 084	6,145	210.16 D2	51.133
Jocotitlán	20 2 47	95 31 101	6,101	211.01 D3	67.834
Jiquilpan	20 10 47	95 41 082	6,252	210.58 D3	51.133
Jiquilpan	19 6 47	95 20 118	6,173	210.40 D2	51.133
Naranjo Novela	20 13 47	95 0 113	6,105	209.81 D3	67.834
Atotonilco	18 32 47	95 46 192	6,111	212.47 D2	51.133
Sabíllo	19 17 47	95 17 29	6,359	212.58 D2	51.133
Ciudad de México	19 27 47	95 41 236	6,362	211.46 D2	51.133
Vigilancia Tlalnepantla, La	18 45 48	95 6 162	6,392	211.40 D2	51.133
Mazapilco de Juárez	19 7 47	95 42 24	6,14	211.85 D2	51.133
San Francisco Mexita	18 54 47	95 54 218	6,329	211.67 D2	51.133
Molcaxac	18 44 47	95 34 186	6,493	211.89 D2	51.133
Morillo Canala	18 44 47	95 25 408	6,208	213.01 D2	51.133
Nacpan	20 14 48	95 6 154	6,312	209.57 D2	51.133
Nauzontla	19 37 47	95 16 146	6,121	211.03 D2	51.133
San Buenaventura Xoxotlán	19 3 48	95 25 222	6,471	210.26 D2	51.133
Nicola Bravo	19 17 47	95 18 25	6,378	212.12 D2	51.133
Nopalapa de la Grampa	19 13 47	95 39 248	6,369	211.45 D2	51.133
Octupes	19 31 47	95 39 244	6,354	211.41 D2	51.133
Santa Clara Chalchihuitán	18 38 48	95 18 214	6,489	210.65 D2	51.133
Ómitla	20 6 47	95 41 074	6,318	210.66 D3	67.834
Oriental	19 22 47	95 37 236	6,376	211.72 D2	51.133
Palmatlán de Valle	20 16 48	95 9 1.1	6,105	209.41 D2	51.133
Palmar de Bravo	18 30 47	95 33 2.2	6,119	212.57 D2	51.133
Pantepec	20 31 47	95 56 0.64	6,2738	209.61 D3	67.834
Petzilango	18 5 47	95 55 1.26	6,139	212.73 D2	51.133
Pusté	18 12 48	95 15 1.1	6,221	211.78 D2	51.133
Herrera o Pueblo de Zaragoza	19 3 48	95 12 2.16	6,135	210.78 D2	51.133
Querétaro	18 37 47	95 39 2.16	6,135	212.18 D2	51.133
Quetzaltenango	19 15 47	95 8 1.96	6,358	212.46 D2	51.133
Rafael Lara Grajales	19 13 47	95 48 2.38	6,159	211.49 D2	51.133
Reyes de Juárez, Los	18 57 47	95 48 2.12	6,222	211.84 D2	51.133
San Andrés Cholula	19 3 48	95 18 2.14	6,406	210.54 D2	51.133
San Antonio Cañada	18 30 47	95 17 1.7	6,434	210.63 D2	51.133
Tlahualizapan	18 48 48	95 20 1.78	6,4674	210.78 D2	51.133
San Felipe Tlalnepantla	19 14 48	95 30 2.42	6,4333	209.84 D2	51.133

Municipio (Puebla)	Límito Norte	Límite Oeste	Altitud	Antena	Tasa de flujo	
	Grados Minutos	Grados Minutos	Kilómetros	Elevación	Antena ZONA A m.s.n.m.	
San Felipe Tejalpan	20	5	97	48	0.6	631090 21042 D1 67.814
San Gabriel Chiles	18	19	97	21	1.22	64371 21373 D2 51.133
San Gregorio Atzompa	19	2	98	21	2.14	64431 21041 D2 51.133
San Jerónimo Texipac	19	1	98	21	2.14	64495 21035 D2 51.133
San Jerónimo Xayacatlán	18	13	97	35	1.13	631099 21255 D2 51.133
San José Chapa	19	14	97	46	2.36	63924 21135 D2 51.133
San José Malibatán	18	15	97	17	1.11	64562 21191 D2 51.133
San Juan Atenco	19	5	97	32	2.14	63946 21227 D2 51.133
San Juan Atzompa	18	15	98	1	1.56	64541 21159 D2 51.133
San Martín Texmelucan, s/n	19	17	98	26	2.24	64216 20941 D2 51.133
San Martín Tetotepec	18	39	98	20	1.32	64821 21098 D2 51.133
San Matías Tlaltenango	19	19	98	30	2.44	64219 20974 D2 51.133
San Miguel Atitlán	18	0	97	46	1.71	65121 21220 D2 51.133
San Miguel Xoxita	19	10	98	18	2.2	6429 21039 D2 51.133
San Nicolás de Bari, A.C.	19	10	97	11	2.4	63864 21211 D2 51.133
San Nicolás los Ranchos	19	4	98	29	2.46	64491 21009 D2 51.133
San Pablo Amatepec	18	7	98	5	1.14	65206 21229 D2 51.133
Chimalita de Rivadavia	19	3	98	18	2.22	64306 21034 D2 51.133
San Pedro Yeloixtlahuaca, s/n	18	7	98	8	1.12	65196 21211 D2 51.133
San Salvador el Señor	19	8	97	38	2.3	63945 21198 D2 51.133
San Salvador el Verde	19	16	98	31	2.4	64108 20976 D2 51.133
San Salvador Huipolotla	18	55	97	16	2.04	64233 21196 D2 51.133
El Cuajete de Díaz	18	24	96	31	0.3	64182 21175 D2 51.133
Santa Catarina Tlaltempan	18	17	98	5	1.5	64714 21161 D2 51.133
Santa Inés Ahuatepec	18	25	98	1	1.8	64872 21204 D2 51.133
Santa Isabel Cholula	19	0	98	23	2.1	64503 21041 D2 51.133
Santiago Muñoz	18	11	97	26	1.78	64196 21122 D2 51.133
Santo Domingo Huichaltán	18	44	98	10	1.34	64616 21126 D2 51.133
Santo Tomás Huixtla	18	51	97	52	2.02	64326 21177 D2 51.133
Soltepec	19	7	97	43	2.1	6401 21181 D2 51.133
Tlaxiaca de Herrera	18	54	97	58	2.18	64367 21151 D2 51.133
Tlaxiachalco	18	51	97	44	2.02	64249 21208 D2 51.133
Tlaxomulco	18	6	98	19	0.94	65358 21175 D2 51.133
Tlaxiácan	18	28	97	21	1.64	64457 21141 D2 51.133
Tlaxianguillo	18	20	98	16	2.06	651094 21156 D2 51.133
Tenampulco	20	10	97	23	0.22	62765 21125 D1 67.814
Tepotzán	18	43	98	15	1.12	6471 21109 D2 51.133
Tetelcingo	18	28	98	46	1	65249 21017 D2 51.133
Tepotzán de López	18	33	97	11	1.8	64466 21245 D2 51.133
Tepotzán de Rodríguez	21	0	97	48	1.54	63182 21052 D1 67.814
Tepotzán de Hidalgo	19	4	97	58	2.18	64202 21130 D2 51.133

Municipio (Puebla)	Límito Norte	Límite Oeste	Altitud	Antena	Tasa de flujo	
	Grados Minutos	Grados Minutos	Kilómetros	Elevación	Antena ZONA A m.s.n.m.	
Tepotzán	18	58	97	54	2.23	64263 21138 D2 51.133
San Felipe Tepotzán	18	44	98	38	1.82	64948 21043 D2 51.133
Tepoztlan	18	43	97	27	1.48	64824 20961 D2 51.133
Tepotzán	19	58	97	50	1.88	63214 21049 D2 51.133
Tepotzán	18	58	98	41	1.19	63103 21016 D2 51.133
Tepotzán de Rodríguez	18	33	97	56	1.7	64900 21209 D2 51.133
Tepoztlan	19	29	97	40	2.11	63524 21184 D2 51.133
Tepoztlan Cuautitlán	18	49	97	51	1.94	64401 21182 D2 51.133
Tetela de Osasco	19	49	97	48	1.7	63165 21074 D2 51.133
Tetehuacán Asila Castilla	19	51	97	26	1.86	63114 21145 D2 51.133
Tetzutlán	19	49	97	22	1.94	63112 21172 D2 51.133
Tlanguimulco	18	39	98	27	2.14	64556 21027 D2 51.133
Tlaxca	18	36	98	33	1.22	64945 21032 D2 51.133
Tlaxiápero de Benito Juárez	18	40	97	39	1.94	64412 21256 D2 51.133
Tlaxiápero	20	20	98	4	1.34	62991 20951 D2 51.133
Tlachichila	19	7	97	25	2.6	63835 21250 D2 51.133
Santa Rita Tlahuapan	19	20	98	35	2.64	64277 20952 D2 51.133
Tlaltenango	19	10	98	20	2.2	64308 21031 D2 51.133
Tlancapán	18	32	97	51	2	64352 21175 D2 51.133
Tlaxiápan	20	8	97	55	1.18	63111 20110 D1 67.834
Tlapacoya	20	7	97	51	1.1	63091 20127 D1 67.834
Tlapanalá	18	42	98	12	1.4	64886 21041 D2 51.133
Ciudad de Tlaxiáquicpan	19	51	97	29	1.9	63134 21142 D2 51.133
Tlaxco	20	25	98	1	0.86	62881 20954 D2 51.133
Tlaxiápan	18	51	98	34	2.06	64721 21012 D2 51.133
Tlaxiápero	18	50	97	50	1.98	64156 21191 D2 51.133
Totoltepec de Guerrero	18	13	97	51	1.36	6497 21270 D2 51.133
Totoltepec de Valle	18	2	98	26	1.1	65492 21156 D2 51.133
Tuzamapan de Gómez	20	4	97	35	0.54	62996 21093 D3 67.834
Tzitziláyan	18	50	98	2	2	64471 21145 D2 51.133
Ventustiano Carranza	20	30	97	40	0.13	6261 21023 D1 67.834
Santa María del Monte	18	32	97	12	2.6	64271 21177 D2 51.133
Xayacatlán de Bravo	18	14	97	58	1.26	65022 21241 D2 51.133
Totoltepec de Juárez	20	16	97	57	1.18	62998 20987 D3 67.834
Xochimilco	18	3	98	31	1.24	65523 21134 D2 51.133
San Juan Xoxepec	19	47	97	19	1.92	61124 21187 D2 51.133
Cerro de Mayo	19	49	97	40	2.06	6329 21104 D2 51.133
Xochimilco	18	39	98	20	1.34	64823 21098 D2 51.133
Xochimilco Romero Rubio	19	58	97	37	1.04	63113 21097 D2 51.133
Xochimilco	18	42	97	46	1.9	64418 21224 D2 51.133
Xonacaxia	19	52	97	28	1.7	63128 21143 D2 51.133

TESIS CON  
FALLA DE ORIGEN

DATOS PARA CAUSA MINERA Y DEL TERRITORIO NACIONAL

Municipio (Pais-Ma)	Latitud Norte		Longitud Oeste		Altitud Kilometro	Ancho		Tasa de Baja	
	Grados	Minutos	Grados	Minutos		Elevación	Ancho	Zona A	Zona B
Tlalpujahua	18	47	97	40	21	64.308	212.76	D2	51.133
La Cebada	18	45	98	4	128	64.312	213.70	D2	51.133
Cerro de la Villa	19	32	97	35	18	63.194	211.17	D2	51.133
Morelos	19	56	97	57	204	63.131	210.26	D2	51.133
Cerro del Salinero	18	29	97	28	148	64.626	213.44	D2	51.133
Cerro del Monte	20	0	97	42	064	63.127	210.75	D1	67.834
Morelos	19	46	97	33	23	63.274	211.37	D2	51.133
Nicaragua-Zacualpa	19	41	97	40	2	63.389	211.17	D2	51.133
Morelos	20	15	97	53	056	62.978	210.04	D1	67.834
S. Sebastian-Zacualpa	18	20	97	15	112	63.141	211.94	D2	51.133
Zacualpa	19	58	97	43	0001	63.169	210.75	D2	51.133
Zacualpan	20	0	97	36	104	63.071	210.97	D1	67.834
Zacualpan	18	20	97	1	214	64.15	211.47	D2	51.133
<b>Aspectos geográficos de Querétaro</b>									
Ayutla	20	11	100	9	262	64.181	204.78	D2	51.133
Pta. de Amoles	21	8	99	17	232	62.941	205.09	D2	51.133
Ayutla-Smo	21	33	99	41	098	62.531	204.51	D2	51.133
Kuernavaca	20	42	99	49	204	63.386	205.06	D2	51.133
Kuern.	21	47	100	3	14	61.504	204.41	D2	51.133
Purísima, El	20	32	100	26	142	63.917	201.73	D2	51.133
Elizalde Montes	20	40	99	34	197	61.559	204.89	D2	51.133
Huascaapan	20	22	100	16	228	64.04	204.31	D2	51.133
Luzon	21	11	99	28	076	62.781	205.36	D2	51.133
Luzon	21	11	99	19	104	62.749	205.74	D2	51.133
Catada, La	20	46	100	20	185	61.821	201.91	D2	51.133
Picos Escobedo	20	30	100	9	191	61.817	204.46	D2	51.133
Potamiller	21	3	99	49	133	61.119	204.71	D2	51.133
Santiago de Querétaro	20	36	100	21	182	63.852	201.75	D2	51.133
San Joaquín	20	53	99	14	245	61.144	205.41	D2	51.133
San Juan del Rio	20	21	99	59	192	63.894	204.98	D2	51.133
Tecozapan	20	31	99	31	148	61.709	205.08	D2	51.133
Tolman	20	55	99	56	132	63.311	204.56	D2	51.133
<b>Aspectos geográficos de Querétaro</b>									
Carmen	20	11	86	56	0	55.118	229.44	G	100.99
Felix Carrillo Puerto	19	15	88	1	001	56.724	229.09	G	100.99
Alta Madera	21	15	86	45	0	54.422	228.74	G	100.99
Chimaltenango	18	10	88	18	001	57.714	230.28	G	100.99
Cerroso	21	10	86	50	001	54.552	228.73	G	100.99
Isla María Morelos	19	45	88	42	0102	57.121	227.89	G	100.99
Karenindán	21	6	87	29	002	55.119	227.89	G	100.99
Plaza del Carmen	20	17	87	5	001	55.165	229.09	G	100.99

ANEXO C

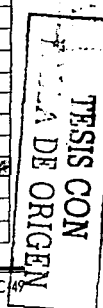
Municipio	Latitud Norte		Longitud Oeste		Altitud Kilometro	Ancho		Tasa de Baja	
	Grados	Minutos	Grados	Minutos		Elevación	Ancho	Zona A	Zona B
<b>Aspectos geográficos de Sinaloa</b>									
Moxica, Los	25	48	109	0	0.01	59.841	180.46	F	26.011
Angostura	25	22	108	10	0.01	60.316	182.41	D1	39.928
Rodríguez	25	22	107	31	0.2	60.203	181.65	D1	39.928
Concepción	25	17	106	4	0.12	62.315	187.88	D1	39.928
Coralia	24	23	106	41	0.38	61.296	186.07	D1	39.928
Culiacán Rosales	24	48	107	21	0.06	60.422	184.32	D1	39.928
Chivato	26	43	108	20	0.22	58.77.2	181.91	D1	39.928
Cruz, La	23	35	106	54	0.02	61.893	185.66	D1	39.928
Esmirna	22	50	105	47	0.02	62.966	188.73	D1	39.928
Fuerte, El	26	25	108	37	0.08	59.123	181.31	D1	39.928
Guanave	25	34	106	28	0.05	60.090	181.70	D1	39.928
Marazal	23	14	106	25	0.01	62.623	187.01	D1	39.928
Moctezuma	25	24	107	55	0.08	61.171	182.98	D1	39.928
Rosario, El	22	59	105	51	0.02	62.856	188.53	D1	39.928
Guamuchil	25	28	108	5	0.05	60.199	182.60	D1	39.928
San Ignacio	23	56	109	25	0.14	61.818	186.83	D1	39.928
Senda de Leyva	25	49	104	13	0.08	59.802	182.26	D1	39.928
Navolato	24	46	107	42	0.01	60.963	181.58	D1	39.928
<b>Aspectos geográficos de San Luis Potosí</b>									
Ahuatlán del Sureste 13	22	24	101	10	1.85	62.212	201.32	D2	51.133
Albuquerque	22	8	99	36	1.28	61.881	204.18	D2	51.133
Aquismón	21	17	99	1	0.1	62.158	205.99	D2	51.133
Armadillo de los Infantes	22	15	100	39	1.64	62.196	201.66	D2	51.133
Cárdenas	22	0	99	39	1.2	62.045	204.19	D2	51.133
Real de Catorce	23	41	100	51	2.68	62.738	200.00	D2	51.133
Cedillo	23	49	100	43	1.7	60.333	203.27	D2	51.133
Cerritos	22	26	100	17	1.15	61.851	202.35	D2	51.133
Cerro de San Pedro	22	13	100	48	2.04	62.29	201.33	D2	51.133
Ciudad del Maiz	22	24	99	36	1.25	61.602	201.93	D2	51.133
Ciudad Fernández	21	57	100	1	0.48	62.256	203.19	D2	51.133
Tancamáhuac de Santander	21	36	98	58	0.2	62.152	206.12	D2	51.133
Ciudad Valles	21	59	99	1	0.07	61.777	205.61	D2	51.133
Cocotán	21	32	98	54	0.16	62.189	206.34	D2	51.133
Charcas	23	8	101	7	2.01	61.419	199.88	D2	51.133
Ehmo	22	13	98	23	0.05	61.236	206.81	D2	51.133
Guadalupe	22	37	100	24	1.64	61.704	201.93	D2	51.133
Huehuetlán	21	31	98	58	0.38	62.204	206.17	D2	51.133
Lagunillas	21	35	99	34	0.92	62.44n	204.77	D2	51.133
Matamala	23	39	100	39	1.57	60.689	203.53	D2	51.133
Almiquita de Carrizosa	22	16	101	7	2.02	62.357	203.55	D2	51.133

C-48

UNAM, FI

TESIS CON  
FALLA DE ORIGEN

Municipio (San Luis Potosí)	Latitud Norte		Longitud Oeste		Altitud	Ancho	Tasa de lluvia		
	Grados	Minutos	Grados	Minutos				ZONA	km²
Alejandría	22	45	100	5	1.72	-1.822	201.24	D2	31.133
Raven	21	57	98	36	0.08	-0.201	204.12	D2	31.133
Bonete	21	57	98	36	0.98	-0.267	201.44	D2	31.133
Pánuco de Hidalgo	22	45	101	45	2.07	-0.273	198.85	D2	31.133
San Antonio	21	57	98	34	0.12	-0.203	206.26	D2	31.133
San Cristóbal de Acatita	21	57	98	37	0.92	-0.287	204.13	D2	31.133
San Luis Potosí	22	45	100	58	1.86	-0.237	201.01	D2	31.133
San Martín Chalchihuitán	21	57	98	36	0.14	-0.249	207.04	D2	31.133
San Nicolás Tolentino	22	45	100	33	1.46	-0.256	201.89	D2	31.133
Santa Catarina	21	57	98	36	0.84	-0.246	204.86	D2	31.133
Santa María del Río	21	45	100	44	1.71	-0.272	201.84	D2	31.133
Santo Domingo	21	57	98	44	1.97	-0.133	198.12	D2	31.133
San Vicente Tamazulápam	21	45	98	35	0.04	-0.148	206.87	D2	31.133
Sololá de Graciano Sánchez	22	11	100	56	1.95	-0.278	201.05	D2	31.133
Tamazula	21	55	98	23	0.54	-0.204	204.87	D2	31.133
Tamazunchale	21	16	98	48	0.14	-0.216	206.84	D2	31.133
Tampico	21	24	98	44	0.12	-0.217	206.85	D2	31.133
Tampico Mol. Coahuila	21	31	98	49	0.1	-0.232	206.51	D2	31.133
Temixco	22	0	98	47	0.02	-0.151	206.11	D2	31.133
Tenajapá	21	40	98	51	0.14	-0.203	206.24	D2	31.133
Tancan	21	56	98	40	0.05	-0.208	206.80	D2	31.133
Terrazas	21	40	100	14	1.78	-0.287	202.35	D2	31.133
Valladolid	23	51	100	37	1.71	-0.345	199.70	D2	31.133
Venado	22	56	100	6	1.79	-0.129	200.06	D2	31.133
Villa de Arriaga	21	33	100	21	2.16	-0.216	202.19	D2	31.133
Villa de Guadalupe	23	22	100	45	1.61	-0.032	200.53	D2	31.133
Villa de la Paz	21	41	100	42	1.8	-0.167	201.41	D2	31.133
Villa de Ramos	22	50	100	55	2.2	-0.203	198.23	D2	31.133
Villa de Reyes	21	48	100	56	1.82	-0.271	201.37	D2	31.133
Villa Hidalgo	22	27	100	41	1.67	-0.194	201.41	D2	31.133
Villa Juárez	22	19	100	16	1.11	-0.171	202.49	D2	31.133
Ávila de Terrazas	21	26	98	52	0.1	-0.277	206.52	D2	31.133
Ridala	21	23	98	59	0.6	-0.284	206.30	D2	31.133
Villa de Zaragoza	22	2	100	44	1.97	-0.246	201.64	D2	31.133
Villa de Arista	22	19	100	51	1.61	-0.143	200.86	D2	31.133
Mallapa	21	20	98	50	0.12	-0.246	206.70	D2	31.133
Naranjo, El	22	31	99	19	0.27	-0.155	204.46	D2	31.133
<b>Áreas geográficas de riesgo</b>									
Aronchi	29	50	110	14	0.6	55.194	177.92	F	26.011
Aguja Preta	31	20	109	11	1.22	51.501	179.31	D1	39.928
Alman	27	1	108	56	0.38	58.441	180.59	D1	39.928



Municipio (San Luis Potosí)	Latitud Norte		Longitud Oeste		Altitud	Ancho	Tasa de lluvia		
	Grados	Minutos	Grados	Minutos				ZONA	km²
Altar	20	45	110	11	50	0.42	34.092	F	26.011
Ameca	20	36	109	11	0.48	36.245	180.01	F	26.011
Angulo	20	20	110	10	0.8	34.229	178.19	F	26.011
Antón	20	51	111	15	0.57	33.941	175.36	F	26.011
Atotonilco el Grande	20	49	109	9	0.7	35.235	180.10	F	26.011
Atotonilco el Chico	20	39	109	24	0.46	36.187	179.59	F	26.011
Atzingo	20	21	108	56	1.02	34.225	180.33	D1	39.928
Bacanuchi	20	38	109	58	1.04	34.293	178.50	D1	39.928
Balam	20	33	110	5	0.02	37.816	178.04	F	26.011
Banámichi	20	0	110	15	0.68	35.008	177.47	F	26.011
Barranca	20	45	110	10	0.58	35.333	178.05	F	26.011
Baveque	20	29	108	56	1	34.473	180.53	D1	39.928
Bengoa Hill	20	10	111	7	0.71	34.773	176.19	F	26.011
Berriozábal	20	45	112	10	0.28	34.061	174.21	F	26.011
Candelaria Obrayón	27	29	109	56	0.01	37.897	178.41	F	26.011
Caniame	30	59	110	18	1.6	33.884	177.86	F	26.011
Carbó	29	41	110	57	0.47	35.334	176.47	F	26.011
Caborca, La	28	48	110	15	0.34	36.463	177.13	F	26.011
Cárcega	20	20	110	42	0.86	34.607	177.01	F	26.011
Campus	20	0	109	47	0.74	35.001	178.83	D1	39.928
Derivadero	29	17	109	28	0.66	35.463	179.46	F	26.011
Empalme	27	58	110	49	0.01	37.501	176.56	F	26.011
Echájoya	26	55	109	18	0.01	36.554	179.04	F	26.011
Frontieras	30	54	109	34	1.12	33.997	179.29	D1	39.928
Granados	29	52	109	19	0.54	35.178	179.77	F	26.011
Herrera y Grijalva	27	55	110	54	0.01	37.335	176.37	F	26.011
Hermosillo	29	7	110	58	0.21	35.98	176.37	F	26.011
Huasteca	30	13	108	58	1.08	34.777	180.46	D1	39.928
Huichapan	29	54	109	18	0.56	35.114	179.80	F	26.011
Ixtlahuapan	26	50	109	39	0.01	38.649	179.00	F	26.011
Jalapa	29	55	110	13	0.64	35.103	177.96	F	26.011
Imbers	30	47	110	32	0.84	34.065	176.75	F	26.011
Magdalena de Kino	30	38	110	36	0.76	34.251	176.54	F	26.011
Mazatlán	29	0	110	8	0.54	36.153	178.08	F	26.011
Metepec	29	48	109	41	0.62	35.225	179.03	F	26.011
Naco	31	20	109	57	1.42	31.494	178.36	D1	39.928
Nacozari Chico	29	41	108	59	0.82	35.387	180.44	D1	39.928
Nacozari de García	30	22	109	41	1.1	34.441	179.04	D1	39.928
Navojoa	27	5	109	27	0.04	36.365	179.45	F	26.011
Heroica Nogales	31	19	110	57	1.2	31.474	176.64	F	26.011
Oaxaca	28	28	109	12	0.18	36.778	179.30	F	26.011

Municipio (Sección)	Latitud Norte Grados Minutos	Longitud Oeste Grados Minutos	Altitud Metros	Área Hectáreas	Fuera de ZONA Hectáreas	Tasa de Densidad Hectáreas por km²
Villahermosa	20 56	110 28	000	35,096	177.11	F 26.011
Cárdenas	20 45	111 44	018	41,063	175.05	F 26.011
Montejo	20 41	112 03	032	31,111	174.43	F 26.011
Puerto Penasco	20 19	113 32	009	31,216	171.71	F 26.011
Quintana Roo	20 11	109 15	022	37,846	179.89	F 26.011
Bávaro	20 11	110 34	031	35,317	177.24	F 26.011
Sisal	20 50	109 57	022	37,501	176.64	F 26.011
Santa Lucía	20 3	109 14	044	36,112	179.93	F 26.011
San Felipe de Jesús	20 52	110 14	062	33,16	177.93	F 26.011
San Ignacio	20 56	109 44	074	36,622	178.89	F 26.011
San Luis Rio Colorado	20 28	114 46	010	31,756	180.71	F 26.011
San Miguel de Hidalgo	20 29	110 44	014	35,573	176.89	F 26.011
San Pedro de la Cueva	20 17	109 44	034	35,84	178.91	F 26.011
Santa Ana	20 33	111 7	038	34,136	176.21	F 26.011
Santa Cruz	20 14	110 36	134	31,587	177.40	F 26.011
Sara	20 6	111 23	078	31,691	175.78	F 26.011
Soyopa	20 46	109 58	029	36,431	179.10	F 26.011
Sonajío Grande	20 24	109 51	028	36,817	176.36	F 26.011
Tepachio	20 32	109 32	016	35,537	179.42	F 26.011
Tinum	20 24	111 32	031	34,477	175.40	F 26.011
Tubutama	20 51	111 28	053	31,932	175.59	F 26.011
Urrá	20 26	110 23	038	33,649	177.59	F 26.011
Villa Hidalgo	20 10	109 19	062	34,815	179.77	D 19.928
Villa Pequeña	20 7	109 54	072	36,025	178.42	F 26.011
Vivorá	20 22	108 56	154	36,893	180.56	D 19.928
Sierra Alta	20 52	112 51	04	52,656	171.11	F 26.011
<b>Aspectos geográficos de Tamaulipas</b>						
Balancán	17 48	91 12	001	60,907	226.18	G 100.99
Cárdenas	17 59	91 22	002	62,164	222.57	G 100.99
Frontón	18 12	92 38	001	61,352	223.10	G 100.99
Villahermosa	17 59	92 56	001	61,810	223.38	G 100.99
Conkal	18 15	93 13	001	61,826	222.45	G 100.99
Cunduacán	18 1	93 10	001	61,958	222.85	G 100.99
Emiliano Zapata	17 44	91 45	002	61,131	225.90	G 100.99
Humango	17 50	91 23	002	62,703	222.77	G 100.99
Jalapa	17 43	92 48	002	61,961	221.04	G 100.99
Lafayette	18 10	93 3	001	61,772	222.89	G 100.99
Jonuta	18 5	92 8	001	61,116	224.68	G 100.99
Mazatlán	17 45	92 13	001	61,767	221.39	G 100.99
Navarria	18 9	93 1	001	61,762	222.97	G 100.99
Parás	18 21	91 12	001	61,7	222.28	G 100.99

**TESIS CON  
FALLA DE ORIGEN**

Municipio (Cabecera)	Latitud Norte Grados Minutos	Longitud Oeste Grados Minutos	Altitud Metros	Área Hectáreas	Fuera de ZONA Hectáreas	Tasa de Densidad Hectáreas por km²
Tampico	21 35	92 49	49	0.02	62,084	221.22 G 100.99
Tula	21 32	92 57	57	0.14	62,228	224.05 G 100.99
Torreón de Pina-Saenz	21 28	91 25	0.02	61,078	228.40	G 100.99
<b>Aspectos geográficos de Tamaulipas</b>						
Ahuatlán	21 2	98 22	0.02	59,111	265.15	D 51.133
Almada	22 33	98 4	0.13	61,364	208.81	D 51.133
Altamira	22 21	97 56	0.03	60,846	207.82	D 51.133
Antiguo Morelos	22 33	98 5	0.2	61,216	204.95	D 51.133
Burgos	24 56	98 47	0.16	58,565	201.56	D 51.133
Bustamante	21 26	98 45	1.68	60,571	202.71	D 51.133
Ciudad Camargo	26 18	98 50	0.05	57,162	202.41	D 51.133
Cávica	21 43	98 44	0.15	59,841	204.67	D 51.133
Ciudad Madero	22 15	97 50	0.01	60,930	207.96	D 51.133
Cruillas	24 45	98 32	0.21	58,672	204.22	D 51.133
Coahuila	21 2 99 9	0.34	60,739	204.37	D 51.133	
González	22 49	98 25	0.08	60,633	206.16	D 51.133
Gómez Farías	23 33	98 59	0.16	59,739	209.97	D 51.133
Nueva Ciudad Guerrero	26 31	99 13	0.1	57,043	201.50	D 39.928
Ciudad Gustavo Díaz Ordaz	26 11	98 15	0.04	57,15	202.99	D 51.133
Hidalgo	24 14	99 26	0.33	59,592	202.75	D 51.133
Juárez	23 24	99 22	0.74	60,447	203.58	D 51.133
Santander Jiménez	24 13	98 29	0.11	59,208	204.77	D 51.133
Llera de Cañas	23 19	99 1	0.28	60,381	204.41	D 51.133
Villa Madero	24 33	99 36	0.48	59,322	202.15	D 51.133
Ciudad Mante	22 45	98 58	0.08	60,955	205.02	D 51.133
Nevado Matamoros	25 52	97 30	0.01	57,059	205.39	D 51.133
Méndez	25 7	98 35	0.08	58,308	203.83	D 51.133
Mier	26 25	99 9	0.07	57,116	201.72	D 39.928
Ciudad Miguel Alemán	26 23	99 1	0.05	57,144	202.01	D 39.928
Maquishana	23 34	99 45	1.86	60,429	202.60	D 51.133
Nuevo Laredo	27 29	99 31	1.15	56,154	202.29	D 39.928
Nuevo Morelos	22 32	99 13	0.26	61,293	204.67	D 51.133
Ocampo	22 50	99 20	0.35	61,03	204.14	D 51.133
Nueva Villa de Padilla	24 2	98 54	0.15	59,581	204.05	D 51.133
Palomillas	23 18	99 32	1.26	60,622	203.30	D 51.133
Reynosa	26 4	98 17	0.02	57,166	201.70	D 51.133
Ciudad Reynosa	25 59	98 5	0.03	57,19	204.16	D 51.133
San Carlos	24 34	98 56	0.44	59,034	201.54	D 51.133
San Fernando	24 50	98 9	0.04	58,419	204.94	D 51.133
San Nicolas	24 41	98 49	0.7	58,862	201.69	D 51.133
Soto La Marina	23 46	98 12	0.01	59,549	205.75	D 51.133

Municipio (Tamaulipas)	Límite Norte Grado, Minutos (Grado, Minutos)	Límite Oeste Kilómetros (Kilómetros)	Altitud Elevación m.s.n.m.	Área km²	Tasa de flujo 2010/11			
Lampazos	22° 11' 57"	96° 32'	1,010	60,983	205,45	D2	51,133	
Madredios	22° 10' 56"	96° 42'	1,17	61,01	203,18	D2	51,133	
Villa Hidalgo	22° 10' 57"	96° 48'	1,02	57,398	204,86	D2	51,133	
Madrid Victoria	22° 11' 56"	96° 49'	1,12	60,010	201,77	D2	51,133	
Villarreal	22° 18' 56"	96° 59'	29	0,38	59,961	202,46	D2	51,133
Ayala	22° 20' 56"	96° 56'	0,04	61,006	204,89	D2	51,133	
<b>Asociados geográficos de Tamaulipas</b>								
Amaxac de Guerrero	22° 21' 56"	96° 10'	2,3	61,013	210,48	D2	51,133	
Apetlán	22° 20' 55"	96° 12'	2,34	61,008	210,42	D2	51,133	
Altamirano	22° 20' 55"	96° 12'	2,5	61,008	210,17	D2	51,133	
Arias	22° 26' 57"	96° 48'	2,6	61,745	211,22	D2	51,133	
Apizaco	22° 25' 56"	96° 8'	2,38	63,948	210,47	D2	51,133	
Calpulalpan	22° 15' 59"	96° 34'	2,58	61,016	209,26	D2	51,133	
Tequixquiac	22° 19' 57"	96° 39'	2,38	61,775	211,71	D2	51,133	
Cuautitlán	22° 18' 57"	96° 46'	2,44	61,658	211,46	D2	51,133	
Cuernavaca	22° 21' 58"	96° 6'	2,42	61,996	210,63	D2	51,133	
Chalcoapan	22° 19' 58"	96° 12'	2,3	61,065	210,44	D2	51,133	
Minatitlán	22° 20' 58"	96° 12'	2,18	61,915	210,25	D2	51,133	
Espíñola	22° 27' 58"	96° 25'	2,64	61,07	209,77	D2	51,133	
Huamantla	22° 19' 57"	96° 55'	2,5	61,926	211,10	D2	51,133	
Huayapan	22° 20' 58"	96° 21'	2,56	61,017	209,40	D2	51,133	
Villa Mariano Matamoros	22° 20' 58"	96° 23'	2,24	61,169	209,99	D2	51,133	
Ixtenco	22° 15' 57"	96° 31'	2,5	61,974	211,26	D2	51,133	
Mazatlán Chico	22° 11' 58"	96° 11'	2,31	64,206	210,65	D2	51,133	
Centla	22° 20' 58"	96° 10'	2,32	61,015	210,50	D2	51,133	
Tepetula	22° 16' 58"	96° 23'	2,22	61,216	210,07	D2	51,133	
Sanatorium	22° 29' 58"	96° 28'	2,74	61,061	209,61	D2	51,133	
Ciudad de Naranjalpa	22° 29' 58"	96° 32'	2,72	61,099	209,45	D2	51,133	
Atzacanapa	22° 11' 58"	96° 12'	2,3	64,184	210,56	D2	51,133	
Nativitas	22° 14' 58"	96° 19'	2,2	64,232	210,27	D2	51,133	
Panotla	22° 19' 58"	96° 16'	2,22	61,122	210,28	D2	51,133	
Villa Vicente Guerrero	22° 7' 58"	96° 10'	2,3	64,265	210,77	D2	51,133	
Santa Cruz Tlaxcala	22° 21' 58"	96° 9'	2,32	64,024	210,51	D2	51,133	
Tenancingo	22° 9' 58"	96° 12'	2,26	64,251	210,65	D2	51,133	
Tecolotlán	22° 14' 58"	96° 11'	2,32	64,159	210,58	D2	51,133	
Tepexpan	22° 15' 58"	96° 14'	2,26	64,17	210,45	D2	51,133	
Terrerito	22° 28' 57"	96° 55'	2,5	63,778	210,91	D2	51,133	
Tella	22° 26' 58"	96° 6'	2,44	61,913	210,51	D2	51,133	
Tetlatlahuca	22° 11' 58"	96° 18'	2,2	61,223	210,31	D2	51,133	
Huasteca de Xochimilco	22° 19' 58"	96° 11'	2,21	64,103	210,36	D2	51,133	
Huasteca	22° 37' 58"	96° 7'	2,54	61,749	210,26	D2	51,133	

**TESIS CON  
FALLA DE ORIGEN**

Municipio (Tamaulipas)	Límite Norte Grado, Minutos (Grado, Minutos)	Límite Oeste Kilómetros (Kilómetros)	Altitud Elevación m.s.n.m.	Área km²	Tasa de flujo 2010/11				
Ixtlán	19° 21' 58"	96° 21'	98	2	63,926	210,74	D2	51,133	
Iturbide	19° 20' 58"	96° 21'	98	15	2,26	64,046	210,30	D2	51,133
Zimapán	19° 12' 58"	96° 32'	97	34	2,54	64,012	210,28	D2	51,133
Comrientes	19° 22' 58"	96° 21'	98	5	2,46	63,947	210,65	D2	51,133
Valparaíso	19° 21' 58"	96° 21'	98	1	2,53	63,918	210,68	D2	51,133
Altamira	19° 23' 58"	96° 21'	98	12	2,5	63,985	210,32	D2	51,133
Popotla	19° 10' 58"	96° 21'	98	12	2,22	64,234	210,63	D2	51,133
Alvarado	19° 11' 58"	96° 21'	98	14	2,2	64,256	210,51	D2	51,133
Lafragua del Maiz	19° 24' 58"	96° 21'	98	11	2,42	63,942	210,37	D2	51,133
Zaragoza	19° 15' 58"	96° 21'	98	11	2,21	64,201	210,49	D2	51,133
Bento Juárez	19° 15' 58"	96° 21'	98	26	2,51	63,945	210,57	D2	51,133
Endrino Zapata	19° 14' 58"	96° 21'	97	35	2,9	63,678	210,78	D2	51,133
Lázaro Cárdenas	19° 12' 58"	96° 21'	97	59	2,52	63,718	210,67	D2	51,133
Magdalena Tlalchapa, La	19° 17' 58"	96° 21'	98	12	2,12	64,118	210,48	D2	51,133
San Juan Tepeka	19° 17' 58"	96° 21'	98	17	2,26	64,164	210,29	D2	51,133
San Francisco Tlaltenango	19° 16' 58"	96° 21'	98	10	2,42	64,116	210,58	D2	51,133
San Jerónimo Zalatlán	19° 11' 58"	96° 21'	98	16	2,2	64,265	210,39	D2	51,133
San José Tlachinol	19° 20' 58"	96° 21'	98	4	2,6	63,994	210,73	D2	51,133
San Juan Huautenco	19° 14' 58"	96° 21'	98	13	2,2	64,196	210,43	D2	51,133
San Lorenzo Axocomulco	19° 14' 58"	96° 21'	98	15	2,2	64,196	210,43	D2	51,133
San Lucas Tlachinol	19° 29' 58"	96° 21'	98	15	2,58	63,946	210,12	D2	51,133
Santa Ana Nopalucan	19° 18' 58"	96° 21'	98	20	2,2	64,175	210,15	D2	51,133
Santa Apolonia Teacalco	19° 14' 58"	96° 21'	98	19	2,2	64,232	210,27	D2	51,133
Santa Catarina Ayoquila	19° 12' 58"	96° 21'	98	13	2,24	64,21	210,55	D2	51,133
Santa Cruz Quelite	19° 13' 58"	96° 21'	98	13	2,24	64,194	210,53	D2	51,133
Santa Isabel Ixtlán	19° 16' 58"	96° 21'	98	13	2,24	64,144	210,46	D2	51,133
<b>Asociados geográficos de Tlaxcala</b>									
Acapulco	19° 35' 57"	97° 1'	1	2,0	63,145	212,79	D2	51,133	
Aratlan	19° 42' 56"	97° 30'	1,74	62,923	213,04	D3	67,834		
Azoyuán	19° 57' 54"	97° 35'	0,1	63,313	219,56	E	103,89		
Autlán	19° 30' 57"	97° 37'	0,26	62,986	213,77	D3	67,834		
Azula	18° 30' 55"	95° 46'	46	0,01	63,391	216,97	D3	67,834	
Azulengo	18° 43' 57"	95° 18'	18	1,6	64,155	213,29	D2	51,133	
Camerón de Tepita	19° 1' 57"	96° 37'	37	0,32	63,449	214,41	D3	67,834	
Ajpalulpan	19° 7' 57"	96° 6'	1,86	63,647	213,21	D2	51,133		
Abío Lávora	19° 17' 56"	96° 46'	44	1,08	62,944	213,37	D3	67,834	
Abutongo	19° 46' 57"	95° 15'	1,85	61,102	212,04	D2	51,133		
Alvarado	18° 46' 55"	95° 46'	46	0,01	63,144	216,59	D3	67,834	
Amatlán	18° 26' 55"	95° 44'	0,01	63,431	217,11	D3	67,834		
Naranjos	21° 21' 57"	97° 41'	0,06	61,767	219,23	D2	51,133		
Amatlán de los Reyes	18° 51' 56"	96° 35'	0,72	61,793	211,98	D2	51,133		

Municipio/Ver. nro.	Límite Norte Grados Minutos	Límite Oeste Grados Minutos	Altitud kmmsn	Altimetro Bar. vs. Anemómetro	ZONA A o B	Tasa de lluvia mm/mes	
Ancón, Cabada	18° 36' 00"	96° 27' 00"	0.01	212.49	D1	67.834	
Ant. Cardel	19° 22' 00"	96° 22' 00"	0.02	214.61	D1	67.834	
Apazapan	19° 14' 00"	96° 43' 00"	0.03	211.22	D1	67.834	
Apula	18° 48' 00"	96° 18' 00"	0.04	211.18	D2	51.133	
Atzompa	18° 34' 00"	96° 08' 00"	0.05	211.95	D2	51.133	
Atzompa	18° 34' 00"	96° 08' 00"	0.05	211.95	D2	51.133	
Atzompa	18° 34' 00"	96° 08' 00"	0.05	211.95	D2	51.133	
Atzompa	18° 34' 00"	96° 08' 00"	0.05	211.95	D2	51.133	
Atzompa	18° 34' 00"	96° 08' 00"	0.05	211.95	D2	51.133	
Atzompa	18° 34' 00"	96° 08' 00"	0.05	211.95	D2	51.133	
Balbuena	19° 12' 00"	96° 54' 00"	0.06	211.31	D1	67.834	
Balbuena	19° 12' 00"	96° 54' 00"	0.06	211.31	D1	67.834	
Banderilla	19° 15' 00"	96° 56' 00"	0.07	212.27	D2	51.133	
Bentito Juárez	20° 33' 00"	96° 12' 00"	0.26	205.08	208.60	D2	51.133
Boca del Rio	19° 7' 00"	96° 6' 00"	0.07	215.03	215.40	D1	67.834
Cahualtán	19° 7' 00"	96° 5' 00"	0.07	215.25	D2	51.133	
Cañada Mendoza	18° 48' 00"	97° 11' 00"	1.34	214.04	211.45	D2	51.133
Camarmo	18° 47' 00"	96° 34' 00"	0.18	211.64	211.81	D2	51.133
Calexico	18° 25' 00"	95° 7' 00"	0.34	210.02	210.45	D1	67.834
Cañones de Herrera	20° 42' 00"	97° 18' 00"	0.01	212.21	210.80	D1	67.834
Cerro Arul	21° 11' 00"	97° 44' 00"	0.14	211.96	209.11	D2	51.133
Cetálego	21° 20' 00"	97° 51' 00"	0.22	211.88	208.82	D2	51.133
Ciudad Guadalupe	19° 19' 00"	96° 56' 00"	0.46	211.01	212.89	D1	67.834
Progreso de Zaragoza	21° 16' 00"	97° 43' 00"	0.18	212.87	210.39	D1	67.834
Ciutatlán	19° 27' 00"	96° 58' 00"	1.2	213.25	211.07	D1	67.834
Ciutatlán	18° 9' 00"	94° 26' 00"	0.01	212.79	220.21	D1	67.834
Coatza	20° 29' 00"	97° 28' 00"	0.12	212.317	210.69	D1	67.834
Coatzacoalcos	18° 47' 00"	96° 55' 00"	0.62	211.87	211.07	D2	51.133
Colpa	19° 55' 00"	96° 41' 00"	0.2	212.64	213.02	D1	67.834
Concepción	19° 10' 00"	96° 51' 00"	1.04	213.69	213.63	D1	67.834
Coneto	18° 51' 00"	96° 56' 00"	0.86	213.72	213.89	D2	51.133
Conselmequán de Carpio	18° 22' 00"	95° 48' 00"	0.01	213.37	217.09	D1	67.834
Conselmequán de Carpio	19° 20' 00"	96° 39' 00"	1.24	63.368	213.16	D1	67.834
Conselmequán de Bravo	19° 4' 00"	97° 1' 00"	1.32	63.666	213.39	D2	51.133
Conselmequán	18° 0' 00"	94° 18' 00"	0.05	63.09	220.06	D3	67.834
Cotaxtla	18° 50' 00"	96° 24' 00"	0.01	63.388	215.14	D2	51.133
Coxquihui	20° 11' 00"	97° 15' 00"	0.28	212.88	210.79	D1	67.834
Coyula	20° 15' 00"	97° 39' 00"	0.16	212.85	210.56	D1	67.834
Coxhuahuacan	18° 16' 00"	96° 52' 00"	0.51	63.841	211.20	D2	51.133
Cuauhtémoc	18° 19' 00"	96° 41' 00"	0.38	63.702	211.47	D2	51.133
Chalchihuitán	18° 18' 00"	95° 50' 00"	0.01	63.62	217.12	D1	67.834
Chilapa	21° 11' 00"	98° 24' 00"	0.14	62.27	207.79	D2	51.133

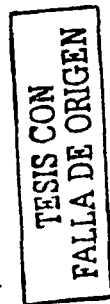
TESTS CON  
FALLA DE ORIGEN

Municipio/Ver. nro.	Límite Norte Grados Minutos	Límite Oeste Grados Minutos	Altitud kmmsn	Altimetro Bar. vs. Anemómetro	ZONA A o B	Tasa de lluvia mm/mes		
Chiconcuac	21° 14' 00"	98° 27' 00"	0.14	62.278	207.60	D2	51.133	
Chiconcuac	19° 45' 00"	96° 59' 00"	0.04	62.865	213.01	D1	67.834	
Chicontepec de Trujillo	20° 58' 00"	95° 48' 00"	10	0.52	62.046	208.56	D2	51.133
Chimalhuacán	18° 1' 00"	94° 41' 00"	41	0.04	61.180	214.91	D1	67.834
Chimalpa de Gutiérrez	21° 22' 00"	97° 44' 00"	44	0.1	61.776	210.11	D2	51.133
Chiapas, Los	17° 55' 00"	94° 6' 00"	6	0.01	62.76	221.25	E	101.89
Chivatán	19° 1' 00"	95° 2' 00"	2	1.36	63.704	211.49	D2	51.133
Chivatán	21° 18' 00"	95° 55' 00"	55	0.26	61.720	206.78	D2	51.133
Chimalhuacán	20° 12' 00"	97° 56' 00"	56	0.42	62.875	210.73	D1	67.834
Dos Ríos	19° 24' 00"	96° 48' 00"	48	0.04	61.111	211.39	D1	67.834
Espinal	20° 15' 00"	97° 24' 00"	24	0.1	62.711	211.11	D1	67.834
Falamenco Mata	20° 12' 00"	97° 42' 00"	42	0.74	62.928	210.51	D1	67.834
Fortín de Flores	18° 54' 00"	97° 9' 00"	0	1	61.796	213.72	D2	51.133
Gutiérrez Zamora	20° 27' 00"	97° 5' 00"	5	0.02	62.336	211.57	D1	67.834
Hidalgoján	17° 46' 00"	94° 19' 00"	19	0.01	63.267	220.18	E	101.89
Huautla de Chacelar	19° 0' 00"	96° 58' 00"	58	1.3	63.513	213.46	D1	67.834
Hayacocula	20° 12' 00"	98° 29' 00"	29	2.14	63.009	208.35	D2	51.133
Hueyapan de Ocampo	18° 4' 00"	95° 9' 00"	0.02	61.295	218.78	D1	67.834	
Huixtlaapan de Cuauhtémoc	18° 49' 00"	97° 10' 00"	10	1.28	61.977	213.46	D2	51.133
Ixmiquilpan de la Llave	18° 44' 00"	95° 59' 00"	59	0.01	63.316	216.18	D1	67.834
Ixmiquilpan	20° 47' 00"	98° 27' 00"	27	1.16	62.738	208.15	D2	51.133
Ixtla	18° 2' 00"	95° 32' 00"	32	0.06	61.661	218.15	D3	67.834
Ixtapetepetl	21° 14' 00"	98° 0' 00"	0	0.2	62.015	206.67	D2	51.133
Ixtlahuacán de los Reyes	19° 21' 00"	97° 7' 00"	7	1.8	63.431	212.87	D2	51.133
Ixtlahuacán del Cañón	19° 1' 00"	96° 59' 00"	59	1.35	63.641	216.56	D3	67.834
Ixtlahuacán	18° 54' 00"	97° 9' 00"	9	1.42	63.887	213.39	D2	51.133
Ixtlahuacán del Sureste	18° 1' 00"	94° 23' 00"	23	0.03	62.876	220.54	D3	67.834
Ixtlahuacán de Madero	20° 41' 00"	98° 1' 00"	1	0.26	62.614	209.24	D2	51.133
Ixtlahuacán	18° 27' 00"	95° 50' 00"	50	0.01	63.482	216.40	D3	67.834
Ixtaczoquillán	18° 51' 00"	97° 4' 00"	4	1.14	63.885	217.64	D2	51.133
Jalapa	19° 48' 00"	97° 18' 00"	18	1.86	63.098	211.89	D2	51.133
Kalapa Enriquez	19° 32' 00"	96° 55' 00"	55	1.46	63.134	213.07	D3	67.834
Lakonukó	19° 20' 00"	96° 46' 00"	46	0.14	63.237	213.16	D3	67.834
Liltzupan de Morelos	17° 58' 00"	94° 43' 00"	43	0.05	63.157	219.94	E	101.89
Lomería	19° 3' 00"	96° 14' 00"	14	0.01	63.178	215.20	D3	67.834
Jesus Carranza	17° 26' 00"	95° 1' 00"	1	0.02	63.812	220.15	D3	67.834
Xico	19° 25' 00"	97° 1' 00"	1	1.32	63.307	213.00	D2	51.133
Jilotzingo	19° 37' 00"	96° 57' 00"	57	1.18	63.073	212.89	D3	67.834
Juan Rodríguez Clara	18° 0' 00"	95° 21' 00"	21	0.11	63.003	218.48	D1	67.834
Juchitán de Ferrer	19° 50' 00"	96° 42' 00"	42	0.38	62.715	211.16	D1	67.834
Landerío y Coss	19° 44' 00"	96° 51' 00"	51	1.98	62.901	212.96	D1	67.834

Municipio/Delegación	Límitad Norte	Límitad Oeste	Altitud	Ancho	Franja de Borda
	Grados Grados Minutos Minutos	Grados Grados Minutos Minutos	Llamado	Elevación Ancho	ZONA ± 0.00%
Tlalpan	19	38	95	31	0.00
Alvarado	19	38	97	31	0.00
Atizapán	18	34	97	31	0.00
Alfonso Fabio Almáchar	19	6	96	31	0.00
Mariano Escobedo	18	33	97	31	0.00
Martínez de la Torre	20	4	97	31	0.00
Metzatlan	20	13	97	31	0.00
Mexiquipan	18	13	94	31	0.00
Miguel Hidalgo	19	3	96	31	0.00
Militar	19	12	96	31	0.00
Minatitlán	19	42	97	31	0.00
Monterrey, Las	19	42	97	31	0.00
Minatitlán	17	59	94	31	0.02
Misantla	19	56	96	31	0.3
Mistla de Alatorre	18	36	97	31	0.00
Molinoan	17	59	94	31	0.00
Natividad de Victoria	19	79	96	32	1.51
Naranjal	18	49	96	30	0.74
Nautla	20	12	96	36	0.01
Nogales	18	49	97	30	1.28
Otula	17	56	94	31	0.08
Orizaba	18	45	96	47	0.04
Orizaba	18	51	97	6	1.21
Otutlaan	18	11	96	2	0.00
Otzoyan	18	0	94	40	0.05
Ozuluama de Macorazos	21	40	97	51	0.12
Pajapan	18	16	94	41	0.08
Pánuco	22	3	98	11	0.01
Papantla de Olarte	20	27	97	19	0.18
Paso del Macho	18	58	96	41	0.05
Paso de Ovejas	19	17	96	26	0.04
Perote, La	18	56	97	8	1.62
Perote	19	34	97	15	2.1
Plátan Sánchez	21	16	98	22	0.06
Playa Vicente	17	50	95	49	0.05
Puza Roca de Hidalgo	20	32	97	27	0.05
Vigas de Ramírez, Las	19	38	97	6	2.42
Cd. Cuauhtémoc	22	11	97	50	0.01
Purís Natural	19	20	96	29	0.1
Rafael Delgado	18	49	97	4	1.16
Rafael Lugo	19	15	96	59	1.84
Reyes, Los	18	40	97	2	1.84

Municipio/Delegación	Límitad Norte	Límitad Oeste	Altitud	Ancho	Franja de Borda
	Grados Grados Minutos Minutos	Grados Grados Minutos Minutos	Llamado	Elevación Ancho	ZONA ± 0.00%
Rancho Nuevo	18	50	97	4	1.1
Saltillorruana	18	35	95	12	0.01
San Andrés Texquapan	18	47	97	6	1.2
San Andrés Tuila	18	27	95	13	0.1
San Juan Evangelista	17	51	95	8	0.02
Santiago Tuila	18	28	95	18	0.2
Sayulapa de Alvarado	17	51	94	57	0.05
Silencio	17	58	94	33	0.06
Sonchupas	19	12	96	56	1.12
Soleidad Atzompa	18	45	97	9	2.26
Soleidad de Doblado	19	3	96	25	0.11
Soteroápan	18	14	94	32	0.42
Talamán	21	20	97	49	0.14
Tamahua	21	17	97	27	0.01
Tampico Alto	22	7	97	43	0.02
Tancoco	21	17	97	47	0.22
Tantima	21	20	97	50	0.2
Tantoyuca	21	21	98	14	0.14
Tatitlán	19	42	97	7	2.16
Castillo de Teayo	20	15	97	31	0.08
Tecolutla	20	29	97	0	0.01
Tehuacán	18	31	97	1	2.36
Alamo	20	35	97	41	0.04
Temascal de Sanchez	21	31	98	21	0.18
Tetepango	19	15	96	51	1.06
Temascalitan	19	48	96	55	0.04
Teocelo	19	23	96	58	1.16
Tepetlaco	19	4	96	51	0.78
Tepetlán	19	40	96	48	1.18
Tepetitlán	21	10	97	51	0.26
Tequila	18	44	97	4	1.66
Villa Azueta	18	4	95	42	0.01
Texcaltzopan	20	35	98	22	1.84
Tehuacán	18	37	97	2	1.94
Texistepec	17	54	94	49	0.04
Tixtla	18	36	96	41	0.22
Tierra Blanca	18	27	96	21	0.06
Tibúcatan	20	43	97	32	0.1
Tlacotalpan	18	14	95	57	0.01
Tlacholulan	19	40	97	0	1.74
Tlaxcalapan	18	37	95	40	0.01

**TESIS CON  
FALLA DE ORIGEN**



Municipio-Natural	Llamado Nuevo		Llamado Olden		Altitud	Ancho	Zona	Piso de Iluminación	
	Grados	Minutos	Grados	Minutos					
Colestun	20	52	19	24	00	57.541	225.70	G	
Cromelito	20	58	19	36	00	56.810	226.41	G	
Cunkal	21	4	19	31	00	56.717	226.88	G	
Cunumul	20	38	19	18	00	56.123	227.30	G	
Cuzamá	20	44	19	14	00	56.814	227.61	G	
Chaxkin	20	10	19	49	1	56.055	226.84	G	
Chankom	20	34	19	33	00	56.143	227.16	G	
Chupách	20	27	19	27	00	57.163	225.78	G	
Chumás	20	30	19	36	00	55.921	227.82	G	
Chulaluk Pueblo	21	8	19	31	00	56.962	224.78	G	
Chumulá	20	36	19	13	00	56.057	227.42	G	
Chikindzonot	20	20	19	55	29	56.5	227.42	G	
Chochoala	20	45	19	50	00	57.213	224.77	G	
Chumayel	20	26	19	15	00	57.16	224.04	G	
Dzán	20	23	19	28	00	57.229	225.84	G	
Dzemul	21	13	19	18	00	56.412	225.01	G	
Dzidzantún	21	15	19	2	00	56.203	225.38	G	
Dzalam de Bravo	21	24	19	31	00	55.949	225.42	G	
Dzalam González	21	17	19	36	00	56.1	223.49	G	
Dzitás	20	50	19	12	00	56.15	226.68	G	
Dzonaanch	21	8	19	53	00	56.182	225.76	G	
Espita	21	1	19	18	00	55.824	226.80	G	
Habách	20	29	19	40	5	00	57.19	224.73	G
Hocabá	20	39	19	15	00	56.716	225.61	G	
Huatán	20	52	19	12	00	56.617	225.62	G	
Hóman	20	44	19	17	00	56.818	225.66	G	
Huhí	20	44	19	10	00	56.718	225.85	G	
Hunucmá	21	1	19	32	00	57.02	224.37	G	
Jul	21	9	19	29	00	56.624	224.81	G	
Lazamal	20	56	19	1	00	56.444	225.82	G	
Kanekin	20	56	19	34	00	56.863	224.96	G	
Kantún	20	48	19	2	00	56.361	225.96	G	
Kasa	20	37	19	25	00	56.228	227.15	G	
Kuchuk	20	55	19	57	00	57.165	224.37	G	
Kopomá	20	39	19	54	00	57.145	224.80	G	
Mata	20	29	19	22	00	57.072	225.87	G	
Mand	20	21	19	44	00	57.177	225.95	G	
Mazamá	20	35	19	0	00	57.474	224.71	G	
Mazatán	20	28	19	11	00	56.349	226.12	G	
Mérida	20	56	19	17	00	56.873	224.71	G	
Mocochá	21	6	19	27	00	56.619	224.92	G	

Municipio (Pacatán)	Latitud Norte		Longitud Oeste		Altitud Centros, Minutos Grados, Minutos y Segundos	Elevación Centros, Minutos y Segundos	Anexo Zona A al 0.01%	Tasa de Baja al 0.01%
	Centros	Minutos	Centros	Minutos				
Motul de Carrillo Puerto	21	16	88	17	0.00	56.512	225.18	G 10199
Moxia	20	59	89	15	0.00	57.34	225.31	G 10199
Moxixup	20	59	89	15	0.00	56.982	225.17	G 10199
Nahum	20	59	89	15	0.00	57.388	225.01	G 10199
Oxkutzcab	20	18	89	25	0.00	57.25	226.01	G 10199
Panabá	20	18	89	15	0.00	55.576	226.48	G 10199
Peto	20	59	89	15	0.00	57.014	227.06	G 10199
Progreso	20	17	89	43	0.00	56.652	224.34	G 10199
Quintana Roo	20	52	89	15	0.00	56.291	226.49	G 10199
Río Lagartos	20	56	89	15	0.00	55.25	226.27	G 10199
Sahumil	20	51	89	55	0.02	57.225	225.50	G 10199
Sambaló	20	53	89	53	0.00	57.142	224.52	G 10199
Sabalá	20	46	89	13	0.02	56.73	225.72	G 10199
San Felipe	20	34	89	14	0.00	55.34	226.19	G 10199
Santa Elena	20	19	89	58	0.03	57.41	225.67	G 10199
Seyé	20	50	89	22	0.01	56.791	225.40	G 10199
Sián Ka'an	21	14	89	11	0.01	56.11	225.17	G 10199
Sotuta	20	36	89	10	0.02	56.66	226.28	G 10199
Souka	21	9	88	19	0.01	55.713	226.60	G 10199
Suytznal	20	32	88	59	0.02	56.471	225.95	G 10199
Suma	21	5	89	9	0.01	56.425	225.41	G 10199
Tahmek	20	12	88	57	0.01	56.972	226.89	G 10199
Tahmek	20	32	89	15	0.01	56.676	225.54	G 10199
Tehuantepec	20	24	89	17	0.01	57.074	226.11	G 10199
Tehuantepec	20	44	89	28	0.01	56.948	225.38	G 10199
Tehuantepec de Venegas	21	1	88	57	0.01	56.126	225.81	G 10199
Tehuantepec de Venegas	21	1	89	6	0.01	56.441	225.58	G 10199
Tehuantepec de Alvaro Obregón	20	12	89	17	0.01	57.232	226.38	G 10199
Tekal	20	32	89	20	0.01	57.004	225.45	G 10199
Tekom	20	36	88	16	0.02	56.121	227.19	G 10199
Tekoh	21	12	89	16	0	56.42	225.08	G 10199
Tekoh Puerto	21	20	89	16	0	56.312	224.91	G 10199
Temax	21	9	88	56	0.01	56.207	225.66	G 10199
Temaxzon	20	18	88	12	0.01	55.915	227.21	G 10199
Tepakán	21	3	89	2	0.01	56.361	225.64	G 10199
Tetiz	20	38	89	56	0.01	57.111	224.11	G 10199
Teya	21	3	89	4	0.01	56.383	225.59	G 10199
Tixul	20	24	89	32	0.02	57.267	225.72	G 10199
Tixmuy	20	49	89	31	0.01	56.919	225.19	G 10199
Tixum	20	46	88	24	0.01	56.094	226.97	G 10199
Tixkokob	20	32	88	16	0.01	56.174	227.18	G 10199



Municipio (Pacatán)	Latitud Norte		Longitud Oeste		Altitud Centros, Minutos Grados, Minutos y Segundos	Elevación Centros, Minutos y Segundos	Anexo Zona A al 0.01%	Tasa de Baja al 0.01%
	Centros	Minutos	Centros	Minutos				
Tixkokob	21	0	89	21	0.01	56.67	225.16	G 10199
Tixkokob	21	14	89	6	0.01	57.08	226.82	G 10199
Tixkokob	21	50	89	26	0.01	56.721	225.10	G 10199
Tixkokob	21	9	88	9	0.02	55.603	226.85	G 10199
Tixkokob	20	54	88	45	0.01	56.265	226.27	G 10199
Tixkokob	20	4	89	3	0.01	57.155	226.92	G 10199
Tixkokob	20	43	88	12	0.01	56.071	227.16	G 10199
Tixkokob	21	2	89	45	0.01	56.919	224.34	G 10199
Tixkokob	20	53	89	45	0.01	57.042	224.73	G 10199
Tixkokob	20	41	88	12	0.02	56.106	227.38	G 10199
Tixkokob	20	50	89	11	0.01	56.651	225.69	G 10199
Tixkokob	20	33	88	50	0.01	56.660	226.60	G 10199
Tixkokob	21	4	89	25	0.01	56.616	225.02	G 10199
Tixkokob	21	14	89	7	0.01	56.279	225.27	C 10099
<b>Ángulos geográficos de Zacatlán</b> E = 21° 15' 27" W = 91° 20' 20"								
Apatzingán	21	28	103	5	1.28	61.933	196.32	D2 51.133
Apulco	21	23	102	41	1.78	61.871	197.40	D2 51.133
Atzompa	21	48	103	29	2.12	61.644	195.13	D2 51.133
Berlín Juárez	21	30	103	31	2.16	61.000	195.31	D2 51.133
Víctor Rosales	22	57	102	42	2.16	62.142	196.29	D2 51.133
Cantón de Felipe Pescador	23	36	102	44	2.02	61.431	195.81	D2 51.133
Concepción del Oro	24	37	101	25	2.08	59.905	198.17	D1 39.928
San Pedro Pándora Gordón	22	27	102	21	2.01	62.586	197.46	D2 51.133
Chalchihuitán	23	29	103	51	2.26	61.865	191.15	D2 51.133
Fresnillo	23	10	102	32	2.19	61.95	195.76	D2 51.133
García de la Cadena	21	12	103	28	1.72	64.314	195.52	D2 51.133
Genaro Codina	22	29	102	27	2.15	62.581	197.20	D2 51.133
General Enrique Estrada	23	0	102	41	2.15	62.046	196.18	D2 51.133
Narváez	24	0	103	1	1.91	61.185	194.92	D1 39.928
General Joaquín Amaro	21	56	103	5	2.36	61.865	196.01	D2 51.133
General Pánfilo Natera	22	40	102	7	2.11	62.272	197.47	D2 51.133
Guadalupe	22	55	102	31	2.28	62.308	196.86	D2 51.133
Huamantla	21	46	102	58	1.5	61.515	196.41	D2 51.133
Jalpu	21	38	102	58	1.38	61.683	196.50	D2 51.133
Jerónimo del Trío	21	15	101	48	1.9	62.107	191.47	D2 51.133
Juan Aldama	24	17	103	24	1.99	60.841	191.87	D1 39.928
Juárez	21	25	101	7	1.21	61.466	196.27	D2 51.133
Lázaro Cárdenas	22	16	101	54	2.03	62.667	198.48	D2 51.133
Luis Moya	22	26	102	15	1.99	62.571	197.72	D2 51.133
Mazapil	24	38	101	11	2.26	59.91	197.86	D1 39.928

Municipio (Zonas)	Límite Norte	Límite Oeste	Altitud I	Altitud II	Altura	Tasa de flujo		
	Coord. Minima	Coord. Maxima	Altitud Minima	Altitud Maxima	Altura	ZONA	Área	
Méjico (Zona 20)	20	30	100	200	100	197.52	D1	70.928
Miguel H. Ruiz	21	31	100	200	100	197.56	D2	31.133
Miguel Alemán	21	31	100	200	100	197.52	D1	70.928
Alemán	21	31	100	200	100	197.52	D2	31.133
Miguel E. Sánchez	22	31	100	200	100	197.57	D2	31.133
Merlo	22	32	100	200	100	196.54	D2	31.133
Miraflores (Zona 23)	21	31	100	200	100	196.25	D2	31.133
Nicolás Bravo	21	31	100	200	100	196.60	D2	31.133
Norte de Méjico	22	31	100	200	100	196.50	D2	31.133
Ocampo	22	31	100	200	100	197.62	D2	31.133
Pánuco	22	31	100	200	100	196.71	D2	31.133
Pánuco	22	31	100	200	100	199.15	D2	31.133
Río Grande	23	30	100	200	100	191.55	D2	31.133
San Alfonso	23	33	100	200	100	194.60	D2	31.133
Salvador Elizalde	24	31	100	200	100	199.44	D2	31.133
Santander	23	38	100	200	100	196.66	D2	31.133
Santiago	22	37	100	200	100	196.54	D2	31.133
Tlahualilpan	21	32	100	200	100	196.47	D2	31.133
Tepetlaoxtoc	21	40	100	200	100	197.55	D2	31.133
Tepotzotlán	22	28	100	200	100	195.50	D2	31.133
Toluca de González Ortega	21	28	100	200	100	195.34	D2	31.133
Tlalnepantla de Sánchez Román	21	37	100	200	100	195.56	D2	31.133
Tlaxco	22	44	100	200	100	197.21	D2	31.133
Valle de Bravo	22	46	100	200	100	194.30	D2	31.133
Villagrande	22	50	100	200	100	196.72	D2	31.133
Villa de Cos	23	18	100	200	100	196.89	D2	31.133
Villa García	22	10	100	200	100	198.61	D2	31.133
Villa González Ortega	22	31	100	200	100	198.46	D2	31.133
Villa Hidalgo	22	21	100	200	100	199.06	D2	31.133
Villanueva	22	21	100	200	100	196.21	D2	31.133
Zacatelco	22	46	100	200	100	196.71	D2	31.133

**TESTS CON  
FALLA DE ORIGEN**